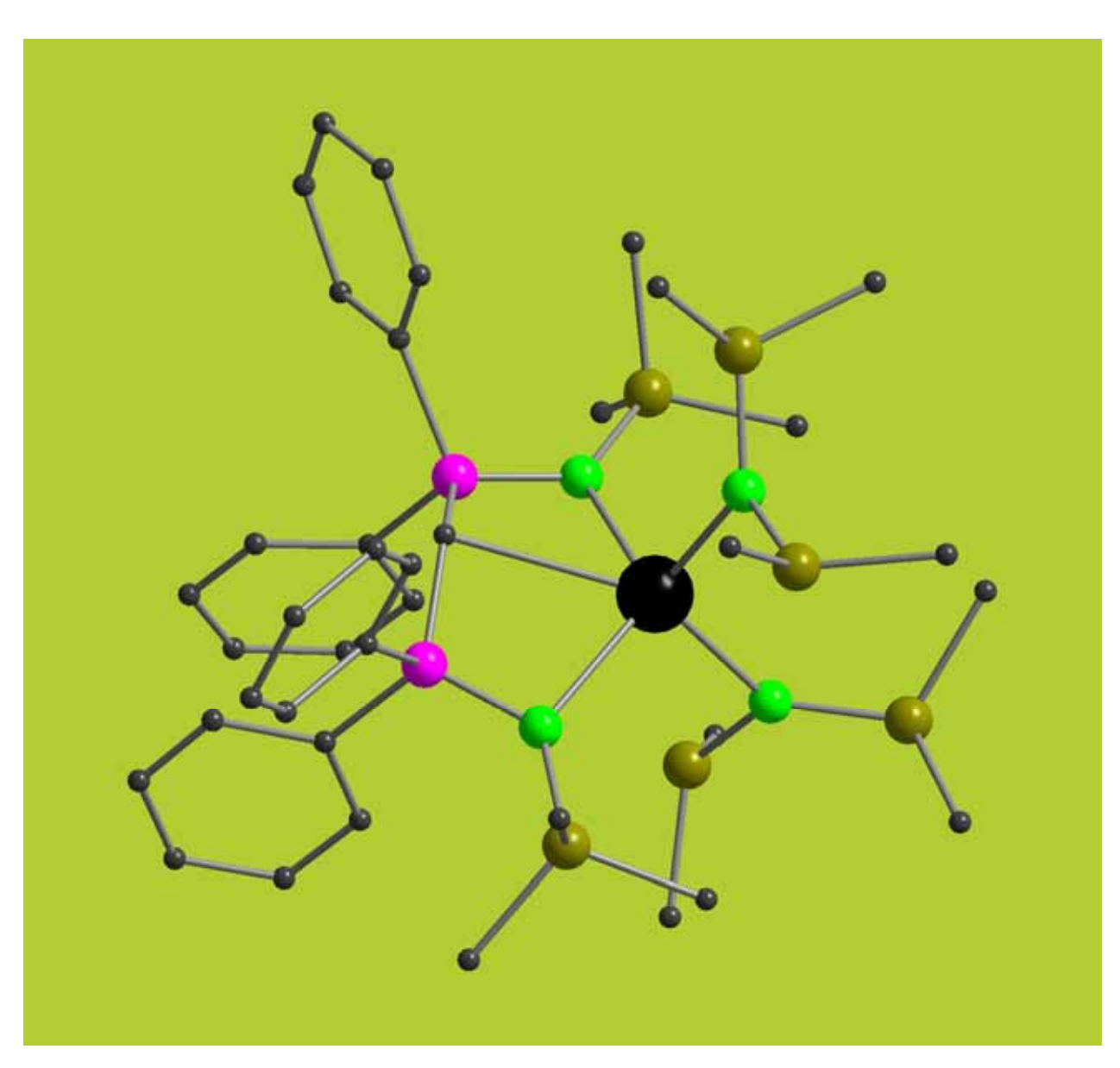


Marcus Rastätter

P-N-Liganden in der Lanthanoid-, Zirkoniumund Aluminiumalkyl-Chemie

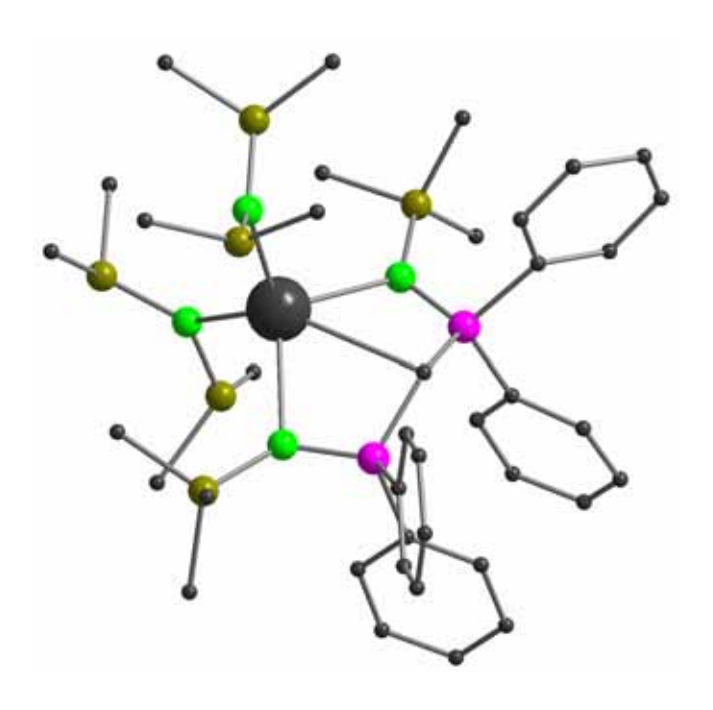
Synthese - Charakterisierung - Katalyse



Cuvillier Verlag Göttingen

P-N-Liganden in der Lanthanoid-, Zirkonium- und Aluminiumalkyl-Chemie

Synthese - Charakterisierung - Katalyse



Zur Erlangung des akademischen Grades DOKTOR DER NATURWISSENSCHAFTEN (Dr. rer. nat.)

im Fachbereich Biologie, Chemie, Pharmazie der Freien Universität Berlin eingereichte

DISSERTATION

von

Dipl.-Chem. Marcus Rastätter aus Karlsruhe

Oktober 2006

Bibliografische Information Der Deutschen Bibliothek

Die Deutsche Bibliothek verzeichnet diese Publikation in der Deutschen Nationalbibliografie; detaillierte bibliografische Daten sind im Internet über http://dnb.ddb.de abrufbar.

1. Aufl. - Göttingen : Cuvillier, 2007 Zugl.: Berlin, Univ., Diss., 2006

978-3-86727-162-2

Die vorliegende Arbeit wurde von Juni 2003 bis Oktober 2006 am Institut für Chemie und Biochemie der Freien Universität Berlin (FU) unter Anleitung von Herrn Prof. Dr. P. W. Roesky angefertigt.

1. Gutachter: Prof. Dr. P.W. Roesky

2. Gutachter: Prof. Dr. U. Abram

Disputation am: 20.12.2006

© CUVILLIER VERLAG, Göttingen 2007

Nonnenstieg 8, 37075 Göttingen

Telefon: 0551-54724-0 Telefax: 0551-54724-21

www.cuvillier.de

Alle Rechte vorbehalten. Ohne ausdrückliche Genehmigung des Verlages ist es nicht gestattet, das Buch oder Teile daraus auf fotomechanischem Weg (Fotokopie, Mikrokopie) zu vervielfältigen.

1. Auflage, 2007

Gedruckt auf säurefreiem Papier

978-3-86727-162-2

"Lanthanons

These elements perplex us in our researches, baffle us in our speculations, and haunt us in our very dreams. They stretch like an unknown sea before us - mocking, mystifying and murmuring strange relevations and possibilities."

Sir William Crookes (16. Februar 1887)

Inhaltsverzeichnis

1	Einleitung	1
1.1	Seltenerdmetalle	1
1.2	Organometallchemie der Lanthanoide	8
1.3	Seltenerdamide	. 11
1.3.1	Einleitung	11
1.3.2	Bis(trimethylsilyl)amid und Bis(dimethylsilyl)amid als Ligandsystem	14
1.3.3	Die Silylamid-Route	17
1.3.4	Bis(phosphinimino)methanid als Ligandsystem	19
2	Aufgabenstellung	. 21
3	Ergebnisse und Diskussion	. 23
3.1	Bis(phosphinimino)methanid-bis-dimethylsilylamid-Komplexe	23
3.1.1	Bis(phosphinimino)methanid als Ligandsystem in der Katalyse	23
3.1.2	Synthese von $[Ln\{N(SiHMe_2)_2\}_3(THF)_2]$ (Ln = Y (1a), La (1b)),
	Sm (1c), Ho (1d) und Lu (1e))	23
3.1.3	Synthese von $[\{(Me_3SiNPPh_2)_2CH\}Ln\{N(SiHMe_2)_2\}_2]$ (Ln = Y (2a)),
	La (2b), Sm (2c), Ho (2d) und Lu (2e))	25
3.1.4	$Synthese \ von \ [\ \{(Me_3SiNPPh_2)_2CH\}La\{N(SiMe_3)_2\}_2]$	30
3.1.5	Katalytische Eigenschaften der Seltenerdmetallkatalysatoren	n
	$[\{(Me_3SiNPPh_2)_2CH\}Ln\{N(SiHMe_2)_2\}_2]$ (Ln = Y (2a), La (2b)),
	Sm (2c), Ho (2d) und Lu (2e))	31
3.1.5.1	Allgemeiner Überblick zu der Hydroaminierung	31
3.1.5.2	Hydroaminierung und Hydrosilylierung in Abhängigkeit des Zentralmetalles	32
3.1.5.3	Sequentielle Hydroaminierung/Hydrosilylierung	35
3.2	Bis(amido)cyclodiphosph(III)azan-Komplexe	. 37
3.2.1	Überblick Bis(amido)cyclodiphosph(III)azane als Ligandsystem	37
3.2.2	Überblick Bis(amido)cyclodiphosph(III)azan-Komplexe	41
3.2.3	Bis (t-butylamido) cyclodiphosph (III) azan-Lanthanoid-Komplexe	
	mit Lithiumchlorid in der Ligandsphäre	44

4.1	Allgemeines79
4	Experimenteller Teil79
3.5.2.4	Synthese von [(PhCH ₂) ₃ Zr{ η^2 -N(S-*CHMePh)(PPh ₂)}] (14)
	$[(\eta^{5}-C_{5}H_{5})_{2}Zr(Cl)\{\eta^{2}-N(S-*CHMePh)(PPh_{2})\}] (\mathbf{13b})$
3.5.2.3	Synthese von $[(\eta^5-C_5H_5)_2Zr(Cl)\{\eta^2-N(R-*CHMePh)(PPh_2)\}]$ (13a) und
-	LiN(S-*CHMePh)(PPh ₂) (12b)
3.5.2.2	$HN(S-*CHMePh)(P(=O)Ph_2)$ (11b)
3.5.2.1	Synthese von $HN(R-*CHMePh)(P(=O)Ph_2)$ (11a) und
3.5.2	HN(R,S-*CHMePh)(PPh ₂) als Ligandsystem in der Zirkoniumchemie71
3.5.1	HN(<i>R</i> , <i>S</i> -*CHMePh)(PPh ₂) als Ligandsystem70
3.5	Chirale Zirkoniumverbindungen70
3.4.4	Synthese von cis -[(2,6- i PrC $_6$ H $_3$ NH) $_2$ (PN t Bu) $_2$] (10)
3.4.3	Synthese von cis -[(Me ₂ NC ₂ H ₄ NH) ₂ (PN t Bu) ₂] (9)66
	cis-[(PhMeHC(S)*NH) ₂ (PN t Bu) ₂] (8b)64
3.4.2	Synthese von cis -[(PhMeHC(R)*NH) ₂ (PN t Bu) ₂] (8a) und
3.4.1	Überblick Bis(amido)cyclodiphosph(III)azane63
3.4	Bis(amido)cyclodiphosph(III)azan-Derivate63
	(X = Me (7d) und Cl (7e))
3.3.4	Synthese von cis -[$(tBuNH)(PNtBu)(tBuN\cdot AIXCl_2)(P(H)NtBu)$]
3.3.3	Isomerisierung von cis -[$(tBuNH)_2(PNtBu)(P(\cdot AlMe_2Cl)NtBu)$] (7b)59
	Cl (7b) und Br (7c))
3.3.2	Synthese von cis -[$(tBuNH)_2(PNtBu)(P(\cdot AlMe_2X)NtBu)$] (X = Me (7a),
3.3.1	Aluminiumalkyle als Lewis-Säure53
	<i>Addukte</i> 53
3.3	Bis(t-butylamido)cyclodiphosph(III)azan-Aluminiumalkyl-
	und Sm (6c))
3.2.4	Synthese von cis -[{ $(tBuN)_2(PNtBu)_2$ }LnCl·THF] (Ln = Y (6a), La (6b)
3.2.3.3	Synthese von cis -[$\{(tBuN)_2(PNtBu)_2\}Y\{(NPh_2)_2\}\{Li(THF)_4\}$] (5)
3.2.3.2	Synthese von cis -[$\{(tBuN)_2(PNtBu)_2\}SmCl_3Li_2THF_2$] (4)
3.2.3.1	Ho (3b) und Er (3c))
3.2.3.1	Synthese von $cis-\{(tBuN)_2(PNtBu)_2\}Ln(Cl_2)\{Li(THF)_4\}\}$ (Ln = Y (3a),

4.1.1	Arbeitstechnik	79
4.1.2	Lösungsmittel	79
4.1.3	Spektroskopie	80
4.2	Darstellung der bekannten Ausgangsverbindungen	. 80
4.3	Darstellung der neuen Verbindungen	81
4.3.1	Bis(phosphinimino)methanid-bis-dimethylsilylamid-Komplexe	81
4.3.1.1	Synthese von $[Ln\{N(SiHMe_2)_2\}_3(THF)_2]$ (Ln = Y (1a), La (1b), Sm (1c)	,
	Ho (1d) und Lu (1e))	81
4.3.1.2	Synthese von $[{(Me_3SiNPPh_2)_2CH}Ln{N(SiHMe_2)_2}_2]$ (Ln = Y (2a), La (2b)	,
	Sm (2c), Ho (2d) und Lu (2e))	83
4.3.2	Bis(t-butylamido)cyclodiphosph(III)azan-Komplexe	86
4.3.2.1	Synthese von $cis-[\{(tBuN)_2(PNtBu)_2\}Ln(Cl_2)\{Li(THF)_4\}]$ (Ln = Y (3a)	,
	Ho (3b) und Er (3c))	86
4.3.2.2	Synthese von $[\{(tBuN)_2(PNtBu)_2\}SmCl_3Li_2(THF)_4]$ (4).	87
4.3.2.3	Synthese von $[{(tBuN)_2(PNtBu)_2}Y{(NPh_2)_2}{Li(THF)_4}]$ (5)	87
4.3.2.4	Synthese von cis -[${(tBuN)_2(PNtBu)_2}LnCl\cdot THF$] (Ln = Y (6a), La (6b))
	und Sm (6c))	88
4.3.3	Bis(t-butylamido)cyclodiphosph(III)azan-Aluminiumalkyl-Addukte	89
4.3.3.1	Synthese von cis -[$(tBuNH)_2(PNtBu)(P(\cdot AlMe_2X)NtBu)$] (X = Me (7a)	,
	Cl (7b) und Br (7c))	89
4.3.3.2	Synthese von cis-[(tBuNH)(PNtBu ₂)(tBuN·AlMeCl ₂)(P(H)NtBu)] (7d)	90
4.3.3.3	Synthese von cis-[(tBuNH)(PNtBu)(tBuN·AlCl ₃)(P(H)NtBu)] (7e)	91
4.3.4	Bis(amido)cyclodiphosph(III)azan-Derivate	91
4.3.4.1	Synthese von cis -[(PhMeHC(R)*NH) ₂ (PN t Bu) ₂] (8a) und	
	cis-[(PhMeHC(S)*NH) ₂ (PN t Bu) ₂] (8b)	92
4.3.4.2	Synthese von cis -[(Me ₂ NCH ₂ CH ₂ NH) ₂ (PN t Bu) ₂] (9)	92
4.3.4.3	Synthese von cis -[(2,6- i Pr ₂ C ₆ H ₃ NH) ₂ (PN t Bu) ₂] (10)	93
4.3.5	HN(R,S-*CHMePh)(PPh ₂) als Ligandsystem in der Zirkoniumchemie	93
4.3.5.1	Synthese von $HN(R-^*CHMePh)(P(=O)Ph_2)$ (11a) und	
	$HN(S-^*CHMePh)(P(=O)Ph_2)$ (11b)	93
4.3.5.2	Synthese von $LiN(R-*CHMePh)(PPh_2)$ (12a) und	
	LiN(S-*CHMePh)(PPh ₂) (12b)	94
4.3.5.3	Synthese von $[(\eta^5-Cp)_2Zr(Cl)\{\eta^2-N(R-*CHMePh)(PPh_2)\}]$ (13a) und	
	$[(\eta^{5}\text{-Cp})_{2}Zr(Cl)\{\eta^{2}\text{-N}(\textit{S-*CHMePh})(PPh_{2})\}] \ \ (\textbf{13b}).$	94
4.3.5.4	Synthese von [(PhCH ₂) ₃ Zr{ η^2 -N(S-*CHMePh)(PPh ₂)}] (14)	95

5	Kristallstrukturuntersuchungen97
5.1	Datensammlung und Verfeinerung97
5.2	Daten zu den Kristallstrukturanalysen
5.2.1	Kristallstruktur von [$Ho\{N(SiHMe_2)_2\}_3(THF)_2$] (1d)
5.2.2	$Kristallstruktur\ von\ [\{(Me_3SiNPPh_2)_2CH\}Y\{N(SiHMe_2)_2\}_2]\ \ \textbf{(2a)}101$
5.2.3	$Kristallstruktur\ von\ [\ \{(Me_3SiNPPh_2)_2CH\}La\{N(SiHMe_2)_2\}_2]\ \ (\textbf{2b})\102$
5.2.4	$Kristallstruktur\ von\ [\ \{(Me_3SiNPPh_2)_2CH\}Sm\{N(SiHMe_2)_2\}_2]\ \ \textbf{(2c)}103$
5.2.5	$Kristallstruktur\ von\ [\ \{(Me_3SiNPPh_2)_2CH\}Ho\{N(SiHMe_2)_2\}_2]\ \ \textbf{(2d)}104$
5.2.6	$Kristallstruktur\ von\ [\ \{(Me_3SiNPPh_2)_2CH\}Lu\{N(SiHMe_2)_2\}_2]\ \ \textbf{(2e)}105$
5.2.7	Kristallstruktur von cis -[$\{(tBuN)_2(PNtBu)_2\}Y(Cl_2)\{Li(THF)_4\}$] (3a)106
5.2.8	Kristallstruktur von cis -[$\{(tBuN)_2(PNtBu)_2\}Ho(Cl_2)\{Li(THF)_4\}$] (3b)109
5.2.9	Kristallstruktur von cis -[$\{(tBuN)_2(PNtBu)_2\}$ Er(Cl ₂) $\{Li(THF)_4\}$] (3c) 113
5.2.10	Kristallstruktur von cis -[$\{(tBuN)_2(PNtBu)_2\}SmCl_3Li_2THF_2$] (4)117
5.2.11	Kristallstruktur von cis -[$\{(tBuN)_2(PNtBu)_2\}Y\{(NPh_2)_2\}\{Li(THF)_4\}$] (5) 120
5.2.12	Kristallstruktur von cis-[{(tBuN) ₂ (PNtBu) ₂ }YCl·THF] (6a)124
5.2.13	Kristallstruktur von cis -[{ $(tBuN)_2(PNtBu)_2$ }LaCl·THF] (6b)127
5.2.14	Kristallstruktur von cis -[$\{(tBuN)_2(PNtBu)_2\}SmCl\cdot THF$] (6c)130
5.2.15	Kristallstruktur von <i>cis</i> -[(<i>t</i> BuNH) ₂ (PN <i>t</i> Bu)(P(·AlMe ₃)N <i>t</i> Bu)] (7 a)133
5.2.16	Kristallstruktur von cis -[(t BuNH) ₂ (PN t Bu)(P(·AlMe ₂ Cl)N t Bu)] (7 b)136
5.2.17	Kristallstruktur von cis -[$(tBuNH)_2(PNtBu)(P(\cdot AlMe_2Br)NtBu)_2$] (7c)139
5.2.18	Kristallstruktur von cis-[(tBuNH)(PNtBu)(tBuN·AlMeCl ₂)(P(H)NtBu)] (7d) 141
5.2.19	Kristallstruktur von cis-[(tBuNH)(PNtBu)(tBuN·AlCl ₃)(P(H)NtBu)] (7e)144
5.2.20	Kristallstruktur von cis-[(PhMeHC(R)*NH) ₂ (PNtBu) ₂] (8a)147
5.2.21	Kristallstruktur von cis -[(PhMeHC(S)*NH) ₂ (PN t Bu) ₂] (8b)
5.2.22	Kristallstruktur von cis-[(Me ₂ NCH ₂ CH ₂ NH) ₂ (PNtBu) ₂] (9)153
5.2.23	Kristallstruktur von cis -[(2,6- i PrC $_6$ H $_3$ NH) $_2$ (PN $_t$ Bu) $_2$] (10)
5.2.24	Kristallstruktur von HN(<i>R</i> -*CHMePh)(P(=O)Ph ₂) (11a)
5.2.25	Kristallstruktur von HN(S-*CHMePh)(P(=O)Ph ₂) (11b)160
5.2.26	Kristallstruktur von $[(\eta^5-Cp)_2Zr(Cl)\{\eta^2-N(R-*CHMePh)(PPh_2)\}]$ (13a) 161
5.2.27	Kristallstruktur von $[(\eta^5-Cp)_2Zr(Cl)\{\eta^2-N(S-*CHMePh)(PPh_2)\}]$ (13b) 162
5.2.28	Kristallstruktur von [(PhCH ₂) ₃ Zr $\{\eta^2$ -N(S-*CHMePh)(PPh ₂) $\}$] (14)163

6	Zusammenfassung/Summary	165
6.1	Zusammenfassung	165
6.2	Summary	170
7	Verwendete Abkürzungen	177
8	Literatur	179

1 Einleitung

1.1 Seltenerdmetalle

Die Reihe der Lanthanide* bilden zusammen mit der Reihe der Actiniden die Gruppe, die im Periodensystem "ganz unten" steht. Zusammen mit den Metallen der Gruppe 3 gehören die Lanthanide zu der Familie der "Seltenerdmetalle". Nach der Entdeckung der ersten Elemente in Schweden im 18. Jahrhundert stellte sich die Frage, wie viele Seltenerdmetalle es noch zu entdecken gab. Dies konnte auch nach der Erstellung Periodensystems durch Mendelejew und Meyer¹ nicht beantwortet werden, da sich die Einordnung dieser Elemente in das Periodensystem als nicht einfach erwies. Erst die Ermittlung der Kernladungszahlen durch Moseley² konnte hier endgültige Klarheit schaffen. Nur die Entdeckung des Elements 61, des Promethiums, stand aufgrund dessen kurzlebiger, radioaktiver Isotope zu dieser Zeit noch aus.² Vergleicht man das Vorkommen der Seltenerdmetalle mit anderen Metallen, so stellt man fest, dass Zinn und Kobalt seltener sind als Cer. Blei ist seltener zu finden als Neodym. Im Vergleich zu Silber, Gold und Platin erweisen sich sogar Europium und Thulium als häufiger (Tabelle 1).^{2,3} Was die Vorkommen allerdings unterscheidet ist die Tatsache, dass die Seltenen Erden stets mineralogisch vergesellschaftet sind und nur in wenigen Lagerstätten vorkommen.² Selbst im Pflanzenreich lassen sich Seltenerdmetalle nachweisen. So findet man zum Beispiel in Trockenmasse von Lupinen ca. 15ppm Y, sowie ca. 10ppm Sc, Yb, Eu, Gd.4 Die Seltenen Erden sind also keineswegs "selten" auf Erden.

^{*}Die Lanthanide sind die 14 Elemente, die im Periodensystem nach dem Lanthan folgen. Nach einer Empfehlung der IUPAC werden die Lanthanide zusammen mit dem La als Lanthanoide bezeichnet (Abkürzung Ln), da Lanthan gewissermaßen der Prototyp für die folgenden 14 Elemente ist. Der Begriff "Seltene Erden" gilt für die Oxide der Elemente der Gruppe 3 und den Lanthaniden, als Seltenerdmetalle werden die entsprechenden Elemente bezeichnet.

Tabelle 1 Massen-% in der Erdrinde einschließlich Wasser- und Lufthülle:

```
> 10 %:
                           O, Si
10 – 1 %:
                           Al, Fe, Ca, Na, K, Mg
1 - 10^{-1} %:
                           H, Ti, Cl
10^{-1} - 10^{-2} %:
                           P, C, Mn, S, N, F, Ba, Zr, Cr, Ni, Sr, V, Zn, Cu
10^{-2} - 10^{-3} %:
                           W, Li, Ce, Co, Sn, Rb, Y, Nd, Nb, Pb, La, Mo, Th
10^{-3} - 10^{-4} %:
                           Ta, Cs, Br, Sm, Gd, Ge, As, Pr, Sc, Be, Dy, Hf,
                           Ar, U, Yb, Er, Ho
10^{-4} - 10^{-5} %:
                           Tb, Se, Lu, Sb, Hg, Cd, Tl, Bi, Tm, In, Ag
10^{-5} - 10^{-6} %:
                           Eu, I, Ru, Os, Pd, Te
10^{-6} - 10^{-7} %:
                           Au, Ne, Pt, He, Ir, Re, Rh
10^{-7} - 10^{-9} %:
                           Kr, Xe
10^{-9} - 10^{-20} %:
                           Ra, Pa, Ac, Po, Rn, Np, Pu, Pm
< 10<sup>-20</sup> %:
                           Fr, At, Am, Tc, Transmericium-Elemente
```

Das Hauptproblem bei der Gewinnung der Lanthanoide ist deren Trennung. Früher wurde die unterschiedliche Löslichkeit der Nitrate oder der Hydroxide bei der fraktionierten Kristallisation ausgenutzt.⁵ Es ist auch möglich, die Seltenerdmetalle aufgrund der unterschiedlichen Komplexbzw. Adduktbildung mit Hilfe der Solventextraktion, z.B. mit Tri-n-butylphosphat (TBP), zu trennen.³ Der Nachteil dieser Methode besteht darin, dass mehrere hundert einzelne Trennungsschritte nötig sind und diese Methode technisch sehr aufwendig ist (Mischer-Scheider-Batterien) und wird aus diesem Grund heute kaum noch verwendet. Der heute angewandte, moderne Ionenaustausch.^{3,5} Gesamtproduktionsprozess läuft über den Die Seltenerdmetallerze werden zuerst fein gemahlen und anschließend bei hoher Temperatur in konzentrierter Natronlauge gelöst. Die ausfallenden. schwerlöslichen Seltenerdhydroxide werden abgetrennt, in Salpetersäure gelöst und anschließend durch eine Ionenaustauschersäule geschickt. Die auf den organischen Austauschersäulen (z.B. Ammoniumpolystyrolsulfonat) adsorbierten Seltenerdmetalle werden in Abhängigkeit ihrer lonengröße ("hydrodynamischer Radius") mehr oder weniger stark gebunden. Analog zu den Alkalimetallionen besitzt beispielsweise das kristallographisch kleinste Lanthanoid Lu den größten hydratisierten Radius, während Lanthan den kleinsten hydratisierten Radius hat. Infolge dessen wird La am stärksten und

Lu am schwächsten gebunden, und die Eluierungsfolge ergibt sich zu Lu \rightarrow La. Diese Abfolge wird durch den Einsatz von Komplexbildnern (z.B. EDTAH₄, Me₂CH(OH)CO₂H bzw. andere Hydroxy- oder Aminocarbonsäuren) bei passendem pH-Wert noch verstärkt; das Ion mit dem kleinsten Radius bildet auch die stärksten Komplexe und somit wird die Präferenz für die wässrige Phase erhöht.^{3,5,6} Zur Herstellung der Metalle werden entweder Seltenerdmetallfluoride mit Calcium oder die Seltenerdchloride elektrolytisch reduziert.³ Die Weltjahresproduktion an Lanthanoiden beträgt insgesamt ca. 50 000t.⁵

Tabelle 2 Elektronenkonfiguration und Oxidationsstufen der Lanthanoide und Sc, Y.

Z	Nama	Cymah al	Elektronenko	Wertig-	
	Name	Symbol	Ln	Ln(+III)	keiten
21	Scandium	Sc	[Ar]3d ¹ 4s ²	[Ar]	3
39	Yttrium	Y	[Kr]4d ¹ 5s ²	[Kr]	3
57	Lanthan	La	[Xe]5d ¹ 6s ²	[Xe]	3
58	Cer	Се	[Xe]4f ¹ 5d ¹ 6s ²	[Xe]4f ¹	3,4
59	Praseodym	Pr	[Xe]4f ³ 6s ²	[Xe]4f ²	3,4
60	Neodym	Nd	[Xe]4f ⁴ 6s ²	[Xe]4f ³	3
61	Promethium	Pm	[Xe]4f ⁵ 6s ²	[Xe]4f ⁴	3
62	Samarium	Sm	[Xe]4f ⁶ 6s ²	[Xe]4f ⁵	2,3
63	Europium	Eu	[Xe]4f ⁷ 6s ²	[Xe]4f ⁶	2,3
64	Gadolinium	Gd	[Xe]4f ⁷ 5d ¹ 6s ²	[Xe]4f ⁷	3
65	Terbium	Tb	[Xe]4f ⁹ 6s ²	[Xe]4f ⁸	3,4
66	Dysprosium	Dy	[Xe]4f ¹⁰ 6s ²	[Xe]4f ⁹	3
67	Holmium	Но	[Xe]4f ¹¹ 6s ²	[Xe]4f 10	3
68	Erbium	Er	[Xe]4f ¹² 6s ²	[Xe]4f 11	3
69	Thulium	Tm	[Xe]4f ¹³ 6s ²	[Xe]4f 12	3
70	Ytterbium	Yb	[Xe]4f ¹⁴ 6s ²	[Xe]4f 13	2,3
71	Lutetium	Lu	[Xe]4f ¹⁴ 5d ¹ 6s ²	[Xe]4f 14	3

Die chemischen und physikalischen Eigenschaften der Lanthanoid-Elemente verlaufen im Periodensystem teils kontinuierlich, teils diskontinuierlich.⁶ Die Gründe liegen in den elektronischen Verhältnissen. Innerhalb der Gruppe der Lanthanoide werden die 4f-Zustände kontinuierlich besetzt (mit Ausnahme von Ce, Gd und Lu die Elektronenkonfigurationen 6s 2 5d 4f n+1). 2,6 Da die f-Orbitale energetisch tiefer liegen als die 6s- und 5d-Orbitale und diese räumlich nicht so ausgedehnt sind, ist die Zahl der f-Elektronen für die Chemie dieser Elemente praktisch ohne Bedeutung. 2,6 So bilden beispielsweise alle Lanthanide dreiwertige Ln³⁺-lonen, wie sie auch bereits beim Lanthan selber vorliegen (Elektronenkonfiguration 6s 0 5d 4f n) (Tabelle 2).^{2,6} Die Besetzung der f-Zustände hat damit nur Auswirkungen kontinuierlicher Art. Am wichtigsten ist hierbei die sogenannte Lanthanoidenkontraktion, d.h. die kontinuierliche Abnahme der Ionen- (z.B. für Ln³⁺) und Atomradien.^{2,6} So beträgt der Ionenradius von La³⁺ 117pm und nimmt bis zum Lutetium auf 100pm ab (Abbildung 1).7 Der Grund hierfür ist

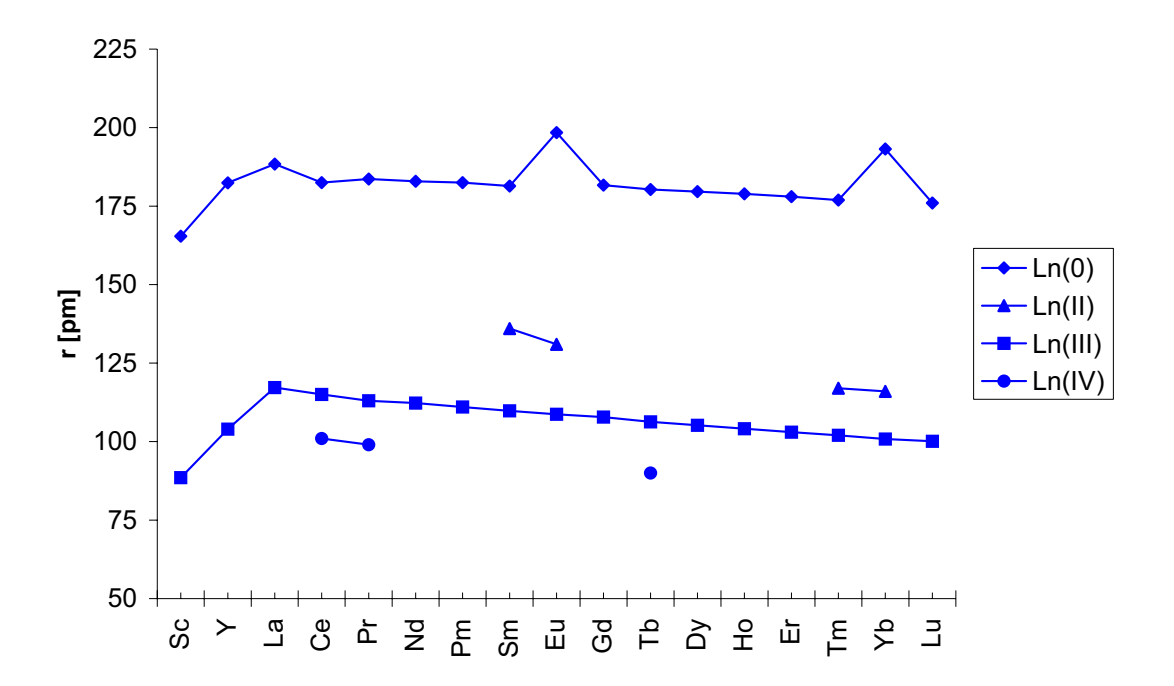


Abbildung 1 Atom-⁸ und Ionenradien⁷ der Lanthanoide (Atomradius: Hälfte des interatomaren Abstandes für die bei Raumtemperatur stabilste Modifikation, berechnet aus den Gitterkonstanten. Ionenradius: KZ 6, r(O²⁻) = 140pm).

die steigende Kernladung bei Erhöhung der Ordnungszahl in Verbindung mit einer schlechteren Abschirmung der *f*-Elektronen bezüglich Außenelektronen. Dadurch steigt die effektive Kernladungszahl Zeff und die Radien nehmen ab. Es werden jedoch auch relativistische Effekte für die Kontraktion diskutiert.9 Die Abnahme der Radien bedingt unterschiedliche Kristallstrukturen und Koordinationszahlen. So beispielsweise die Metallionen in den Trichloriden von La bis Gd neunfach koordiniert vor, wogegen die Chloride von Tb bis Lu eine AlCl₃-Struktur mit oktaedrisch koordinierten Metallatomen (KZ 6) annehmen.⁶ Ebenfalls abnehmend ist die Basizität der Oxide und Hydroxide (vgl. z.B. analog zu Ba-Die Lanthanoidenkontraktion hat auch Auswirkung auf die nachfolgenden Elemente der Periode und bewirkt z.B. die große chemische Ähnlichkeit von Zircon und Hafnium, Niob und Tantal und auch noch von Molybdän und Wolfram.^{2,6}

Aufgrund der jeweils etwas stabileren Elektronenkonfigurationen f^0 (alle f-Zustände unbesetzt), f^7 (alle f-Zustände halbbesetzt) und f^{14} (vollständig gefüllte f-Zustände) lassen sich die Elemente in zwei Gruppen einteilen:

- Die Oxide der ersten sieben Elemente mit Elektronenkonfigurationen von f^0 bis f^7 bezeichnet man als *Ceriterden*.
- Die Oxide der Elemente mit der Elektronenkonfigurationen zwischen f^8 bis f^{14} bezeichnet man als *Yttererden*.

Schreibt man die beiden Elementgruppen untereinander, so ergeben sich für untereinander stehende Elemente auch Gemeinsamkeiten. So besitzen z.B. die Schmelz- und Siedepunkte von Europium und Ytterbium jeweils ein Minima. Die Dichte dieser Elemente besitzt ebenfalls ein Minimum, die metallischen Radien haben umgekehrt Maxima bei diesen beiden Elementen. Die Oxidationsstufe +IV mit der Grundelektronenfiguration 6s 2 5d 2 4f $^{n-1}$ werden nur von den Elementen eingenommen, die am Anfang der jeweiligen Gruppen stehen. Bei den Ceriterden sind es die Elemente Ce, Pr und Nd, bei den Yttererden die Elemente Tb und Dy. Die zweiwertigen Ionen sind nur bei den jeweils letzten Elementen der beiden Gruppen stabil (Grundkonfiguration

6s ² 5d ⁰ 4f ⁿ⁺¹); bei den Ceriterden Europium und Samarium und bei den Yttererden Thulium und Ytterbium. Es sind auch zweiwertige Verbindungen von Neodym, Dysprosium und Thulium bekannt.¹⁰ Die dreiwertigen Lanthanoid-Ionen mit ungepaarten Elektronen sind auf Grund Laporteverbotener $4f\rightarrow 4f$ Übergänge schwach farbig und mehr oder weniger stark paramagnetisch. 2,6 wodurch spektroskopische Untersuchungen mittels kernmagnetischer Resonanzspektroskopie (NMR) nicht immer möglich sind. Die farblosen, diamagnetischen Verbindungen von Sc³⁺, Y³⁺, La³⁺ und Lu³⁺ können hingegen problemlos gemessen werden. In der zweiwertigen Oxidationsstufe zeigen die Lanthanoiden hingegen sehr intensive Farben, die durch einen Laporte-erlaubten $4f\rightarrow 5d$ Übergang verursacht werden. 26 Von den d-Übergangsmetallelementen unterscheiden sie sich vor allem durch innen liegende 4f-Elektronen, wodurch die darüber liegenden 5s²- und 6p⁶-Schalen gegen den Einfluss äußerer Kräfte sehr wirkungsvoll abgeschirmt werden (s.o.). Infolge dessen wirken sich Ligandfelder nur schwach aus. Daher sind auch die Absorptionsbanden der Elektronenübergänge zwischen den f-Orbitalen extrem scharf - im Gegensatz zu den breiten Banden der d-d-Übergänge – und auch die magnetischen Eigenschaften der Ionen werden durch die chemische Umgebung nur wenig beeinflusst.^{2,6} Alle Elemente sind stark elektropositiv und die Potentiale der M³⁺/M-Redoxpaare liegen in einem Bereich von -2.255V (Lu) bis -2.522V (La) (Tabelle 3).11 Daher wird die Bindung dieser Elemente vor allem ionisch betrachtet.

Es gibt sehr viele Beispiele für die Verwendung von Seltenerdmetalle. An dieser Stelle sollen nur einige genannt werden, um einen Eindruck zu vermitteln, in welchen Bereichen uns die Lanthanoide — oft unbekannterweise — begegnen. So ist Cer im "Feuerstein" von Feuerzeugen enthalten (Auermetall), ebenso in selbstreinigenden Öfen und als Katalysator bei Crackprozessen. Praseodym und Neodym finden in gefärbten Gläsern Verwendung, z. B. in Schweißerschutzbrillen. Neodym wird weiterhin in Feststofflasern an Stelle von Rubinen eingesetzt. Promethium dient z.B. in der Raumfahrt zur Energieversorgung von (unbemannten) Satelliten und Raumsonden (Radioisotopengenerator). Samarium findet hauptsächlich in Permanentmagneten Anwendung, z.B. in Kopfhörern oder Elektromotoren.

Europium- bzw. Gadoliniumverbindungen dienen als Aktivator der roten bzw. grünen Leuchtstoffe in der Fernsehröhre. Terbium wird als Lasermaterial und als Terbium-Eisen-Cobaltlegierungen in der MiniDisc[®] eingesetzt. Dysprosium ist wie Europium und Thulium als Neutronenabsorber in Kernkraftreaktoren zu

 Tabelle 3
 Spannungsreihe und Russel-Saunders-Terme der Seltenerdionen.

Cumbal		E ⁰ _{298K} [V] ¹¹		Farbe der	
Symbol	$M^{4+} + e^{-} = M^{3+} M^{3+} + 3e^{-} = M$		$M^{3+} + e^{-} = M^{2+}$	Ln(+III)	M ⁿ⁺ (aq.)-lonen
Sc		- 2.077		¹ S ₀	farblos
Υ		- 2.372		¹ S ₀	farblos
La		- 2.522		¹ S ₀	farblos
Ce	1.74	- 2.483		² F _{5/2}	farblos (3+) rotgelb (4+)
Pr	2.86	- 2.462		³ H ₄	Grün
Nd		- 2.431		⁴ I _{9/2}	violettrot
Pm		- 2.423		⁵ I ₄	schwach rosa
Sm		- 2.414	- 1.55	⁶ H _{5/2}	rötlich (+2) schwach gelb (+3)
Eu		- 2.407	- 0.43	⁷ F ₀	schwach rosa
Gd		- 2.397		⁸ S _{7/2}	farblos
Tb	1.28	- 2.391		⁷ F ₆	schwach rosa
Dy		- 2.353		⁶ H _{15/2}	schwach grüngelb
Но		- 2.319		⁵ I ₈	braungelb
Er		- 2.296		⁴ I _{15/2}	rosa
Tm		- 2.278		³ H ₆	schwach grün
Yb		- 2.267	- 1.15	² F _{7/2}	schwach grün (+2) farblos (+3)
Lu		- 2.255		¹ S ₀	farblos

finden. Holmium wird in Legierungen eingesetzt und Erbium ist in fotographischen Filtern enthalten. Ytterbium erzeugt Röntgenstrahlen ohne Elektrizität, z.B. in tragbaren Röntgenapparaten und Lutetium dient als Katalysator beim Cracken und Polymerisieren. Gemische aus Salzen und Oxiden der Seltenen Erden werden in China bei fast allen Nutztieren in nahezu jeder Altersstufe als Leistungsförderer mit z.T. erstaunlichen Leistungsverbesserungen eingesetzt. So wurden bei Versuchen in der Schweinemast Verbesserungen bis zu 23% bei der Gewichtszunahme und bis zu 14% bei der Futterverwertung der Tiere erzielt.¹²

1.2 Organometallchemie der Lanthanoide

Obwohl Organolanthanoidverbindungen wie die Cyclopentadienylverbindungen der Lanthanoide Cp₃Ln (Ln = Sc, Y, La, Ce, Pr, Nd, Sm, Gd),¹³ fast so alt wie Cyclopentadienylverbindungen der Übergangsmetalle (z.B. der Prototyp Ferrocen), schon lange bekannt sind, gibt es erst seit ca. 25 Jahren eine außerordentliche Forschungsaktivität auf dem Gebiet der Organometallchemie der f-Elemente. Nachdem der experimentelle Nachweis erbracht war, dass π -Komplexe der f-Elemente prinzipiell darstellbar sind, trat eine gewisse Stagnation in der Weiterverfolgung des Themas ein. Dies ist auf die extreme Wasser- und Luftempfindlichkeit, die Unlöslichkeit in vielen organischen Lösungsmitteln und die hohe Neigung zu unerwünschter Adduktbildung zurückzuführen.¹⁴ Erst in jüngster Zeit erkannte man, dass die Besonderheiten der f-Elementorganyle vielfältige Anwendungsmöglichkeiten in der organischen Synthese und der homogenen Katalyse eröffnen.

Die *f*-Elemente besitzen gegenüber den Übergangsmetallen entscheidende Vorteile. So bilden die Seltenerdmetalle im Vergleich zu den Haupt- und Nebengruppenelementen (z.B. Al³⁺: 68pm, Fe³⁺(ls): 69pm, Fe³⁺(hs): 79pm, jeweils KZ 6)⁷ relativ große Kationen Ln³⁺, was die hohe Lewis-Acidität und die Neigung zu hohen Koordinationszahlen erklärt. Dies begünstigt z.B. Katalysereaktionen, bei denen das Substrat zuerst koordinativ an das Zentralmetall des Katalysators gebunden wird. Daher besteht die

Herausforderung darin, gleichzeitig die elektrostatischen Wechselwirkungen zu optimieren und die großen Ln³⁺-Kationen vor nucleophilem Angriff, z.B. durch harte Basen, sterisch abzuschirmen.

Da bei den Lanthanoidkationen Ln^{3+} bei konstanter Ladung eine Abnahme des Radius stattfindet (Lanthanoidenkontraktion),^{2,6} kann man dies zur Steuerung von stöchiometrischen und katalytischen Reaktionsfolgen ausnutzen. So verläuft zum Beispiel die Hydroaminierung/Zyklisierung von 2,2-Di-methyl-1-aminopent-4-en mit $[(\eta^5-Cp^*)_2LaCH(SiMe_3)_2]$ als Katalysator bei Raumtemperatur ca. 300-mal schneller als mit $[(\eta^5-Cp^*)_2LuCH(SiMe_3)_2]$ bei $80^{\circ}C.^{15}$ Bei den Haupt- und Nebengruppenelementen lässt sich eine Reaktion auf diese Weise nicht so einfach steuern. Beispielsweise muss dann wie bei der Katalyse mit Rhodiumverbindungen ein "Feintuning" der Liganden zur Reaktionssteuerung durchgeführt werden.¹⁶

Neben der allgegenwärtigen Oxidationsstufe +III sind für einige Lanthanoide auch die benachbarten Stufen +II (z.B Sm, Eu, Yb) oder +IV (z.B. Ce, Tb) zugänglich, aber nie alle drei Oxidationsstufen für ein Element gleichzeitig. Somit werden die wichtigen mechanistischen Schritte der Übergangsmetallchemie, oxidative die Addition und der reduktive Eliminierung, ^{2,6,14} bei *f*-Metallen nicht angetroffen, da sie immer einen Wechsel um zwei Oxidationsstufen beinhalten würden. Stattdessen spielen in den Reaktionsmechanismen der Lanthanoidorganyle σ-Bindungsmetathesen $(\sigma$ -BM) und Insertationen (INS) eine wichtige Rolle.

$$(\eta^{5}-Cp^{*})_{2}Sc-R \xrightarrow{+R'H} (\eta^{5}-Cp^{*})_{2}Sc \xrightarrow{R'} H \xrightarrow{} (\eta^{5}-Cp^{*})_{2}Sc \xrightarrow{R'} H \xrightarrow{} (\eta^{5}-Cp^{*})_{2}Sc \xrightarrow{R'} H$$

$$\sigma-BM$$

$$R = H, Alkyl, Alkenyl, Alkinyl, Aryl$$

$$(\eta^{5}-Cp^{*})_{2}Sc-R'$$

$$(\eta^{5}-Cp^{*})_{2}Sc-R'$$

Abbildung 2 Schematische Darstellung der σ -Bindungsmetathese (σ -BM).

Beide Prozesse werden durch eine Adduktbildung eingeleitet, die durch den Grad der sterischen Absättigung am Zentralmetall gesteuert wird. 14 Diese

 σ -Bindungsmetathese¹⁷ wird als konzentrierter Prozess mit einem relativ unpolaren Übergangszustand betrachtet (Abbildung 2). Ihre Geschwindigkeit sinkt mit abnehmendem s-Charakter der reagierenden σ -Bindung. Ein erster Hinweis auf derartige Reaktionen ist die Beobachtung von Watson et al.,¹⁸ dass [(η^5 -Cp*)₂LnCH₃] mit C-H-Bindungen extrem niedriger Azidität reagiert, wie das folgende Beispiel zeigt (Abbildung 3):

$$(\eta^{5}Cp^{*})_{2}Ln^{-}CH_{3}$$
 + $^{13}CH_{4}$ \longrightarrow $(\eta^{5}Cp^{*})_{2}Ln^{-13}CH_{3}$ + CH_{4} G -BM

Abbildung 3 Beispiel für die σ -Bindungsmetathese durch Aktivierung von C-H-Bindungen.

Dies ist gleichzeitig ein eindrucksvolles Beispiel einer CH-Aktivierung durch elektronenarme Lanthanoidorganyle. Beide Beispiele lassen sich gut miteinander vergleichen, da es sich um die kleinsten Lanthanoidkationen handelt (vgl. Abbildung 1), die sich somit chemisch analog verhalten.

Als Alternative zur σ -Bindungsmetathese können ungesättigte Substrate auch Insertionen in Ln-C- σ -Bindungen vollführen (Abbildung 4). Entscheidend ist hierbei, dass die sterischen Verhältnisse eine Annäherung des Substrat- π -Systems an das Zentralmetall gestatten. Im Falle des Komplexes $[(\eta^5\text{-Cp*})_2\text{Sc-R}]$ blockieren die sperrigen $\eta^5\text{-Cp*-Liganden}$ für substituierte Alkene eine Wechselwirkung ihrer π -Orbitale mit dem Zentralmetall, erlauben eine solche jedoch für das sterisch weniger anspruchsvolle Ethylen. Deshalb wird für erstere σ -Bindungsaktivierung, für letztere hingegen Insertion beobachtet. Diese Insertion ist der entscheidende Schritt der durch Cp₂MR katalysierten Olefinpolymerisation mit Lanthanoidorganylen als Ziegler-Natta-Katalysatoren.

$$(\eta^5-Cp^*)_2Sc-R$$
 + $n CH_2=CH_2$ \longrightarrow $(\eta^5-Cp^*)_2Sc(CH_2CH_2)_nR$ INS

Abbildung 4 Beispiel für die Insertion (INS) von Ethylen in eine Metall-C-Bindung.

Wesentlich für die Organometallchemie der Lanthanoide ist, dass partiell gefüllte f-Orbitale aufgrund ungünstiger Überlappung mit Ligandorbitalen als Partner einer Ln-L π -Rückbindung ungeeignet sind, was weite Bereiche der Organoübergangsmetallchemie für die Chemie der Lanthanoide ausklammert, σ -Donor/ π -Akzeptor-Synergismus leben.14 soweit sie vom **Typische** CNR PR_3 π -Akzeptorliganden wie CO, und sind in der Organolanthanoidchemie somit selten. Akzeptoreigenschaften π -Perimeterliganden C_5H_5 und C₆H₆ auf. Während auch der Organometallchemie der *d*-Elemente kovalent gebundene η^5 -Cyclopentadienyl- und η^6 -Arenkomplexe umfangreiche Stoffklassen darstellen.^{2,6,14} ist die Organo-f-Elementchemie eindeutig durch den anionischen Cyclopentadienylliganden beherrscht. Komplexe und ungeladener Arenliganden sind sehr selten. 14 Daraus ist bereits zu folgern, dass der elektrostatischen Wechselwirkung in der Organolanthanoidchemie analog den Cyclopentadienylverbindungen der Alkaliund Erdalkalimetallen zentrale Bedeutung zukommt. Bei diesen Verbindungsklassen wird die Ln-C Bindung als dominant ionisch betrachtet.

1.3 Seltenerdamide

1.3.1 Einleitung

In der Organolanthanoidchemie beschäftigt man sich intensiv mit der Beeinflussung der Reaktivität von Katalysatorsystemen.²⁰ Durch die Wahl eines geeigneten Liganden (Typ, Größe, Basizität, harte und weiche Säure/Basen-Eigenschaften) können die Eigenschaften des Komplexes (Einkernigkeit, Kationgröße, Lewisacidität, usw.) gezielt beeinflusst werden. In den Anfängen der Organolanthanoidchemie wurden homoleptische Organolanthanoid-verbindungen mit Cyclopentadienylliganden (Cp) und dessen Derivaten (Cp*, ansa-Metallocene etc.) hergestellt und erfolgreich in der Ziegler-Natta-Polymerisationskatalyse eingesetzt (vgl. Kap 1.2).^{21,22,23} Neben dem Cp-Liganden und seinen Derivaten sind weitere Komplexe, z.B.

mit Pentadienyl-²⁴, Indenyl-,²⁵ Cyclooctatetraen(di)id (COT)-²⁶ Aren-,²⁷ Allyl-,²⁸ und Alkylliganden,²⁹ mit einer Metall-Kohlenstoffbindung bekannt. Bei der Wahl der Liganden spielen neben den eben genannten anionischen Liganden auch Phosphane als neutrale Donorliganden bisher eine entscheidende Rolle. Neben diesen als klassisch anzusehenden Möglichkeiten zur Steuerung der Reaktivität von Komplexen gibt es seit Beginn der neunziger Jahre des letzten Jahrhunderts verstärkt Bestrebungen, neuartige Liganden, die nicht auf den eben erwähnten Ligandtypen basieren, für die Seltenerdmetallchemie zu entwickeln. So eignen sich z.B. zur Stabilisierung früher, elektronenarmer Übergangsmetalle in mittlerer bis hoher Oxidationsstufe neben den Cp-, auch Alkoxy- oder Amidoliganden (Abbildung 5).³⁰ Von diesen beiden Alternativen ist der Amidoligand nicht nur für die Übergangsmetallchemie, sondern auch für die Seltenerdmetallchemie besonders interessant, eröffnet er doch aufgrund der zweifachen Substituierbarkeit am Donoratom im Vergleich zu Alkoxyliganden bessere Möglichkeiten zum Ligand- und Komplexdesign.

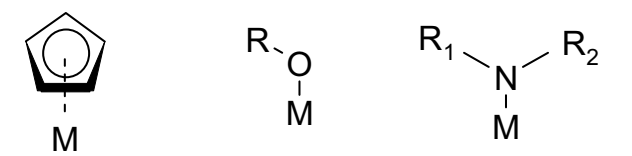


Abbildung 5 Die drei wichtigsten Ligandtypen in der Koordinationschemie der Lanthanoide.³⁰

Nach dem HSAB-Konzept von Pearson³¹ sind Ln³⁺-Ionen harte Lewis-Säuren, wodurch sich Amide analog zu den Alkoxiden aufgrund ihrer Eigenschaften als harte Lewis-Basen für die Ausbildung stabiler Ln-N-Bindungen eignen. Diese können wiederum zur Darstellung wohldefinierter Reaktionszentren herangezogen werden, wodurch die Reaktivität der resultierenden Komplexe für unterschiedlichste Anwendungen angepasst werden kann.

In Abbildung 6 ist die Einteilung der verschiedenen Seltenerdamide wiedergegeben. Sie erfolgt in anorganische und organische Amide, wobei die Zugehörigkeit zu einer Gruppe abhängig ist von der Substitution am N-Atom.³² So werden die N-Alkyl(-Aryl)-Amide und cyclischen (ungesättigten) Amide zu

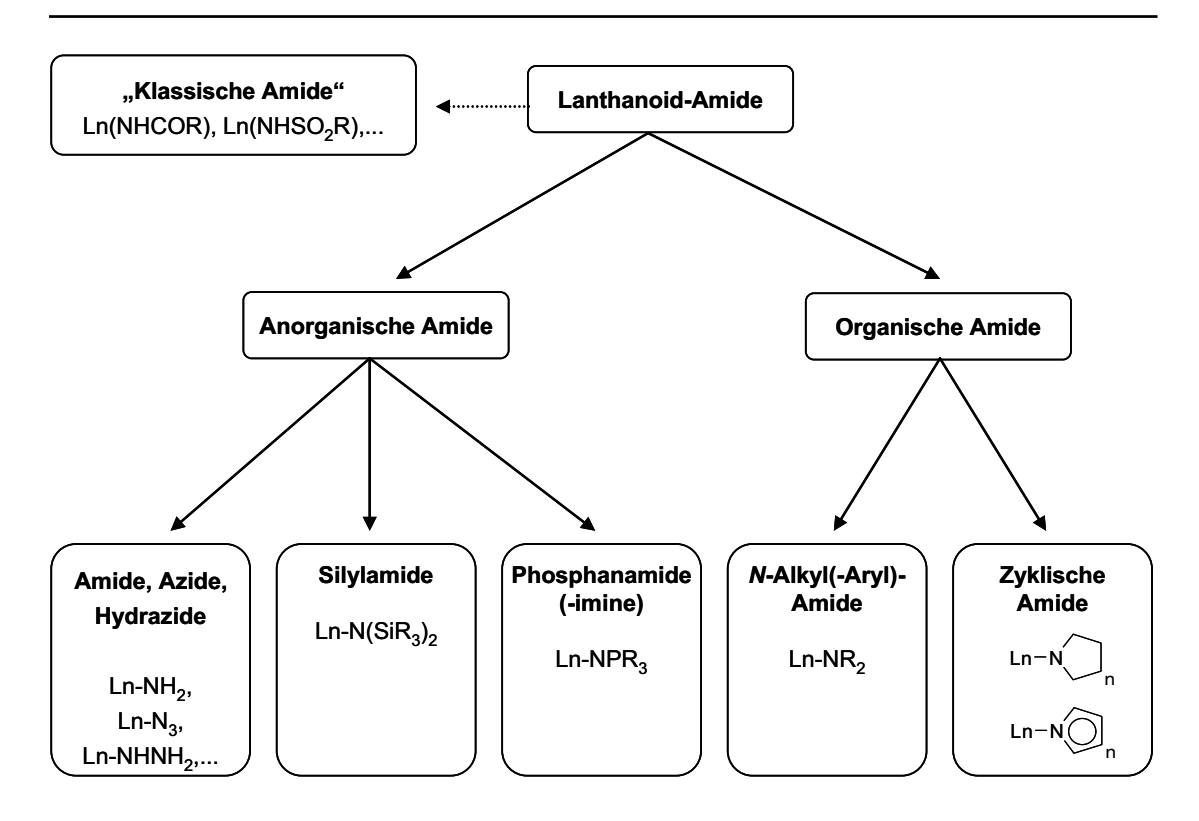


Abbildung 6 Formelle Einteilung der Seltenerdmetallamide. 32

den organischen Amiden gezählt, während alle anderen Amide, die nicht N-Csubstituiert sind (z.B. N-H, N-Si, N-P, etc.), zu den anorganischen Amiden gezählt werden. Die klassischen, nasschemisch zugänglichen Amide (z.B. Säure- und Sulfonamide) spielen an dieser Stelle keine Rolle. Im gängigen Sprachgebrauch und in der Literatur werden die Amide (analog die Alkoxide, usw.) oftmals in die metallorganische Komplexchemie eingegliedert, wobei in diesem Zusammenhang von metallorganischen Amidliganden gesprochen wird, 32 obwohl streng genommen der Begriff "metallorganisch" nur für Verbindungen und Liganden, die eine Metall-Kohlenstoff-Bindung aufweisen, gilt. Wie wichtig Lanthanoidamide neben den klassischen metallorganischen Liganden und Alkoxiden inzwischen geworden sind, beweist ein eigenes, umfangreiches Kapitel in "Topics in Current Chemistry", Band 179.32 In der Annahme elektrostatischer Ligandwechselwirkung, sollte der optimale Ladungsaustausch von Ln(III)-Kationen durch drei stabile einwertige anionische Liganden erreicht werden. Identische, sterisch weniger anspruchsvollere Anionen bewirken homoleptische neutrale [(MR_n)_x] oder ionische "at"-[MR_n]^{z-}[X_m]^{z+} Komplexe.³³ Durch Verwendung von sterisch anspruchsvolleren Liganden sollte das Zentralmetall sterisch besser gegen

Adduktbildung mit Lösungsmittelmolekülen oder in Form von "at"-Komplexbildung abgeschirmt werden. Im folgenden Abschnitt werden aus der großen Vielfalt der Amidoliganden drei anorganische Amidliganden und deren Komplexchemie näher erläutert. Zum einen sind es die Silylamine Bis(trimethylsilyl)amin HN(SiMe₃)₂ und Bis(dimethylsilyl)amin HN(SiHMe₂)₂ sowie der sterisch anspruchsvolle Bis(phosphinimino)methan-Ligand (Me₃SiNPPh₂)₂CH₂.34

1.3.2 Bis(trimethylsilyl)amid und Bis(dimethylsilyl)amid als Ligandsystem

Amidoliganden werden in der Regel via Salzmetathese an das Zentralmetall gebunden. Als Transferreagenzien werden die Li-, Na- und K-Salze der Amine verwendet. Die Alkalimetallamide [M{N(SiMe₃)₂}] wurden zuerst von Wannagat et al. in den sechziger Jahren des letzten Jahrhunderts synthetisiert³⁵ und erfolgreich in der Übergangsmetallchemie³⁶ Stabilisierung von niedrig koordinierten Verbindungen³⁷ sowie niedrigen Oxidationsstufen³⁸ der Metalle eingesetzt. Obwohl das Lithiumsalz des sterisch weniger anspruchsvollen Bis(dimethylsilylamid)-Liganden zum ersten mal 1980 von Andersen et al. in einer in situ Reaktion synthetisiert wurde,³⁹ sind die Alkalimetallamide überraschenderweise erst vor etwa 8 Jahren vollständig charakterisiert worden.40 Die isoliert und solvatfreien Alkalimetallamide werden ausgehend von den Neutralverbindungen durch Umsetzung mit geeigneten Alkalibasen in unpolaren Lösungsmitteln hergestellt.

Anwander *et al.* konnten zeigen, dass sich Natriumbis(dimethylsilylamid) durch eine neuartige Transsilylaminierungsreaktion aus Natriumbis(trimethylsilylamid) und dem neutralen Bis(dimethylsilylamin)

Abbildung 7 Unterschied der Basizität von HN(SiMe₃)₂ und HN(SiHMe₂)₂.

herstellen lässt (Abbildung 7).⁴⁰ Die Reaktion verläuft annähernd quantitativ, da der pK_s-Wert von HN(SiMe₃)₂ höher ist (pK_s(THF) = 25.8)⁴¹ als von HN(SiHMe₂)₂ (pK_s = 22.8)⁴⁰ und somit das Anion {N(SiMe₃)₂}⁻ die stärkere Base darstellt. Außerdem werden Transaminierungsreaktionen durch die geringe Lewisazidität des Alkalimetallkations begünstigt.

Der erste homoleptische Bistrimethylsilyl-Lanthanoidkomplex ist der von Bradley et al. synthetisierte Scandiumkomplex [Sc{N(SiMe₃)₂}₃].⁴² Die Synthese bestand in der direkten Umsetzung von HN(SiMe₃)₂ mit n-Butyllithium in THF und anschließender Zugabe von ScCl₃. Anschließend wurde das Rohprodukt mit n-Pentan extrahiert und aus konzentrierter n-Pentanlösung kristallisiert. Da allgemein bei der Kristallisation der Produkte unerwünschte Nebenprodukte, wie z.B. $[Nd\{N(SiMe_3)_2\}_3(\mu-CI)Li(THF)_3]^{43}$ oder $[Y{N(SiMe_3)_2}_3(CI)][Li(THF)_4]^{44}$ gebildet werden können. werden dargestellten Seltenerdamide zur besseren Aufreinigung und Abtrennung von Nebenprodukten bei 75-100°C/10⁻⁴mbar sublimiert.⁴⁵ Mittlerweile werden bevorzugt die Natriumoder Kaliumsalze $HN(SiMe_3)_2$ von als Transferreagenzien eingesetzt, wodurch Nebenprodukte wie z.B. [Li{N(SiMe₃)₂}(THF)]₂⁴⁶ bei der Synthese vermieden werden.

Die entsprechenden Bis(dimethylsilylamid)-Lanthanoidkomplexe lassen sich hingegen ohne störende Nebenprodukte aus dem Lithiumsalz von HN(SiHMe₂)₂ und dem THF-Addukt LnCl₃·THF_n darstellen, wobei als Produkt das THF-Addukt [Ln{N(SiHMe₂)₂}₃(THF)₂] erhalten wird (Abbildung 8).⁴⁷

$$\begin{array}{c} \text{1. THF} \\ \text{2. Toluol} \\ -3 \text{ KCI} \end{array}$$

$$\begin{array}{c} \text{1. THF} \\ \text{2. Toluol} \\ -3 \text{ KCI} \end{array}$$

$$\begin{array}{c} \text{Sublimation} \\ \text{[Ln{N(SiMe}_3)_2}_3] \end{array} + \text{Nebenprodukte}$$

$$LnCl_3 \cdot THF_n + 3 Li\{N(SiHMe_2)_2\}_3 \xrightarrow{n-Pentan} [Ln\{N(SiHMe_2)_2\}_3(THF)_2]$$

Abbildung 8 Synthese dreifach substituierter Seltenerdamidkomplexe mit $N(SiMe_3)_2^-$ und $N(SiHMe_2)_2^-$.

In **Abbildung** 9 sind als Beispiele die Molekülstrukturen $[Sm{N(SiHMe_2)_2}_3(THF)_2]^{48}$ und $[Sm{N(SiMe_3)_2}_3]^{49}$ im Festkörper dargestellt. Die Ln{N(SiHMe₂)₂}₃-Komplexe nehmen eine verzerrt trigonal-bipyramidale Struktur ein, wobei die {N(SiHMe₂)₂}₃-Gruppen die äquatorialen und zwei THF-Moleküle die axialen Positionen besetzen. Im Vergleich dazu ist die Molekülstruktur der solvatfreien, homoleptischen [Ln{N(SiMe₃)₂}₃]-Komplexe wesentlich interessanter. In den Komplexen nimmt das Seltenerdatom unabhängig von der Größe und Zustandes des Metalles eine pyramidale Geometrie ein. 44,45c,49,50,51,52,53,54 Im Vergleich dazu sind die Haupt- und Nebengruppenamide planar. 38c

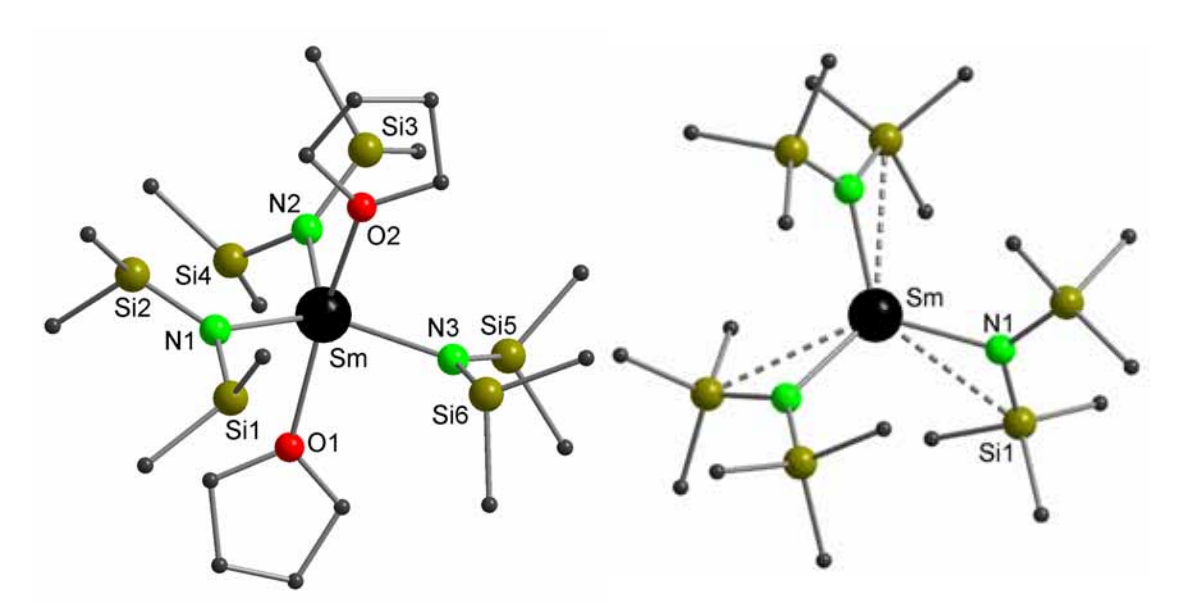


Abbildung 9 Molekülstruktur von $[Sm{N(SiHMe_2)_2}_3(THF)_2]$ (links)⁴⁸ und $[Sm{N(SiMe_3)_2}_3]$ (rechts).⁴⁹

Die gängige Erklärung für dieses Phänomen beruht auf den kurzen Ln···Si-Abständen, die innerhalb der Summe der van der Waals-Radien von Ln und Si liegen. Die Elektronendichte der Si-C-Bindung stabilisiert somit die nichtplanare LnN₃-Geometrie des elektronenarmen Kations. Wie in Abbildung 9 angedeutet, ändert sich die Koordinationszahl des Zentralatoms von KZ 3 nach KZ 6. Diese sogenannten agostischen Wechselwirkungen treten hauptsächlich bei Metallzentren mit formal geringen Koordinationszahlen auf. Diese Verzerrung durch die SiMe₃-Gruppe ist deutlich ausgeprägter in

Komplexen mit {CH(SiMe₃)₂}⁻-Liganden,⁵⁶ bei denen längere Ln-C-σ-Bindungen eine bessere "agostische Erreichbarkeit" ermöglichen.

1.3.3 Die Silylamid-Route

Die Renaissance der Organolanthanoid-Amidchemie, insbesondere der Silylamide, ist eng verknüpft mit deren Verwendung als Ausgangsmaterialien für die sogenannte "Silylamid-Route" (Hitchcock *et al.* 1983). 57 Die treibende Kraft dieser Amineliminierungs-Reaktionen liegt im pK_s -Wertunterschied zwischen dem Amin und dem einzuführenden, protonierten Liganden. Vor allem finden Alkohole, Phenole, Cyclopentadienyle, Acetylene, Phosphane oder Thiole als Substrate Verwendung (Abbildung 10). Ein besonderer Vorteil der Amineliminierungsreaktionen ist die Vermeidung unerwünschter Nebenreaktionen wie z.B. Redoxreaktionen oder Halogenidinsertionen in Komplexe, wie sie häufig bei den üblichen Methathesereaktionen auftreten.

Abbildung 10 Schematische Darstellung der Silylamidroute.

Weitere Vorteile der Silylroute sind die einfache Verfügbarkeit von Mono- und heterobimetallischen Amiden, Reaktionsdurchführung in nicht-koordinierenden Lösungsmitteln aufgrund der hohen Löslichkeit der monomeren Metallamide (keine Adduktbildung), milde Reaktionsbedingungen sowie Vermeidung von Halogenidadsorptionen. Weiterhin sind die einfache Reinigung des Produkts (Abdestillation des freien Amins zusammen mit dem Lösungsmittel im Vakuum möglich (z.B. Sdp. HN(SiMe₃)₂: 125 °C)), donorfreie Produkte (der sterische Anspruch des abgegebenen Amins verhindert weitere Koordination an das Zentralmetall) sowie "quantitative Ausbeuten" zu nennen.³²

Aufgrund des sterischen Anspruches des {N(SiMe₃)₂}-Liganden sind jedoch nicht alle Substrate für diese Amineliminierungsreaktionen geeignet. So reagieren die {N(SiMe₃)₂}-Amide der großen Lanthanoide (z.B. Nd) mit HOC*t*Bu₃ (tritox-H) unter Ausbildung der entsprechenden Alkoxid-Komplexe.⁶⁸ Bei Verwendung der {N(SiMe₃)₂}-Komplexe der kleineren Lanthanoide (z.B Y, Dy) findet jedoch keine Reaktion statt. Werden stattdessen die sterisch weniger anspruchsvollen {N(SiHMe₂)₂}-Amide verwendet, findet die Reaktion auch mit den kleineren Seltenerdamiden statt (Abbildung 11). Wahrscheinlich wird die Reaktion mit HOC*t*Bu₃ durch die Dissoziation des THF-Moleküls und somit Freigabe einer Koordinationsstelle am Zentralmetall eingeleitet.

$$Ln\{N(SiMe_3)_2\}_3 \ + \ 3 \ HOCtBu_3$$

$$- \ 3 \ HN(SiMe_3)_2$$

$$Ln(OCtBu_3)_3$$

$$Ln\{N(SiMe_3)_2\}_3 \ + \ 3 \ HOCtBu_3$$

$$[Ln\{N(SiHMe_2)_2\}_3(THF)_2] \ + \ 3 \ HOCtBu_3$$

$$- \ 3 \ HN(SiMe_2H)_2$$

Abbildung 11 Reaktion von Ln{(N(SiHMe₂)₂}₃ und [Ln{(N(SiHMe₂)₂}₃(THF)₂] mit HOCtBu₃.

Diese sogenannte "erweiterte Silylamidroute" stellt eine wertvolle Erweiterung der Silylamidroute dar. So kann durch die unterschiedliche Basizität der Amide (vgl. Kapitel 1.3.2) die Reaktivität des Zentralmetalls gesteuert werden. Die geringere sterische Abschirmung durch den Liganden begünstigt den Angriff eines protischen Reagenzes. Außerdem erleichtert der geringere Siedepunkt von HN(SiHMe₂)₂ (93-95°C) die Abtrennung des freien Amins.³²

1.3.4 Bis(phosphinimino)methanid als Ligandsystem

Der Bis(phosphinimino)methan-Ligand sterisch anspruchsvolle (Me₃SiNPPh₂)₂CH₂³⁴ kann durch eine geeignete Base deprotoniert werden.⁶⁹ Die einfach deprotonierte Spezies wurde bereits erfolgreich in der Haupt- und eingesetzt.^{70,71,72,73} Übergangsmetallchemie Ligand Die als zweifach deprotonierte Form wurde von Cavell et al. beschrieben.74 Während der monoanionische Ligand mit Zentralmetallen Chelatkomplexe beobachtet dianionischen man bei den Liganden carbenartige Bindungsverhältnisse.

Der monoanionische Bis(phosphinimino)methanid -Ligand wurde zuerst von unserer Arbeitsgruppe in die Lanthanoidchemie eingeführt. Die Umsetzung des Kaliumsalzes des Liganden mit einem geringen Überschuss an $LnCl_3$ in THF ergibt nach Filtration das erwünschte Produkt. Überraschenderweise liegt der Komplex als Dimer vor, wobei zwei Metallzentren asymmetrisch über zwei Chloratome μ -verbrückt sind (Abbildung 12) und in der Ln_2Cl_2 -Ebene ein kristallographisches Inversionszentrum besitzt.

Ln = Y, Sm, Dy, Er, Yb, Lu

Abbildung 12 Synthese von [{(Me₃SiNPPh₂)₂CH}LnCl₂]₂.⁷⁵

Der Ligand ist chelatisierend über die beiden Trimethylsilylimingruppen an das Zentralmetall gebunden. Der gebildete sechsgliedrige Metallazyklus (N1-P1-C1-P2-N2-Ln) liegt in einer Wannenkonformation vor, wobei das Methin-Kohlenstoffatom und das Metallatom aus der nahezu planaren P₂N₂-Ebene

herausragen. Der Grund ist eine geringe Wechselwirkung zwischen dem Methin-Kohlenstoffatom und dem Zentralmetall, was durch NMR-spektroskopische Untersuchungen und DFT-Rechnungen belegt werden kann. Die Kristallstruktur von [{(Me₃SiNPPh₂)₂CH}LuCl₂]₂ ist in Abbildung 13 gezeigt.⁷⁵

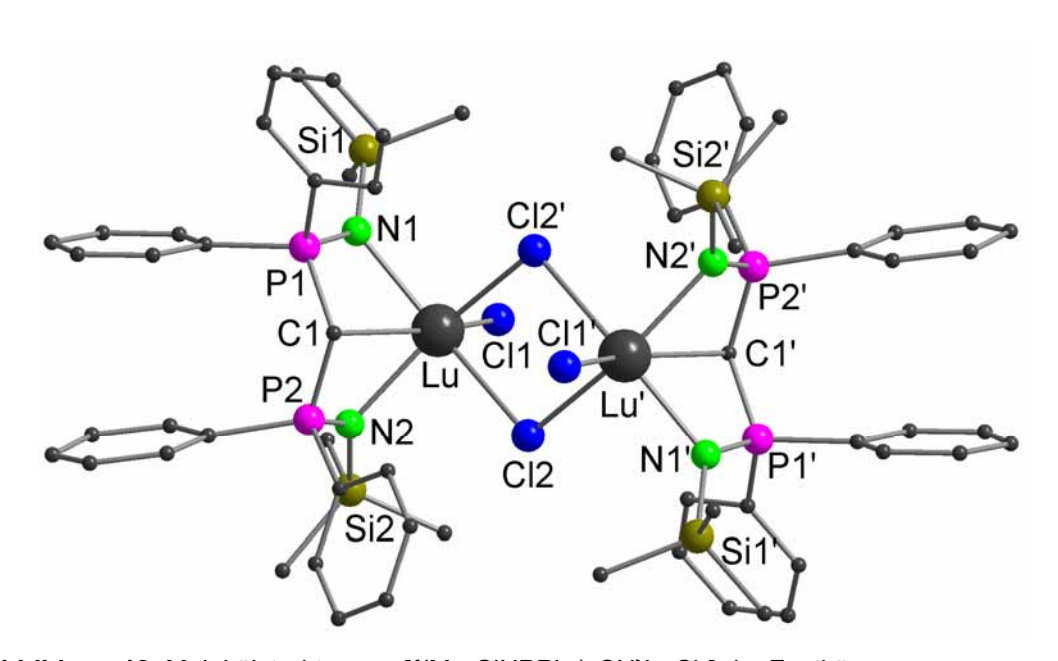


Abbildung 13 Molekülstruktur von [{(Me₃SiNPPh₂)₂CH}LuCl₂]₂ im Festkörper.

Diese Komplexe kann man weiter derivatisieren. So können zum Beispiel die restlichen Chloratome durch Diphenylamid (NPh₂⁻)-Liganden ersetzt werden. Die erhaltene Verbindung ist monomer. Ebenso geeignete Liganden für die Derivatisierung sind Cp, Cp* und {N(PPh₂)₂}. Unsere Abreitsgruppe konnte zeigen, dass der einfach chlorsubstituierte Komplex $[\{(Me_3SiNPPh_2)_2CH\}Ln\{N(PPh_2)_2\}CI]$ (Ln = Y, La, Nd, Yb) sowie der heteroleptische Komplex [{(Me₃SiNPPh₂)₂CH}La{N(PPh₂)₂}(NPh₂)] aktive, effektive Katalysatoren für die Ringöffnungspolymerisation von ε-Caprolacton und die Polymerisation von Methylmetacrylat sind. 76 Weiterhin wurde der $[\{(Me_3SiNPPh_2)_2CH\}Ln(\eta^8-C_8H_8)]$ Komplex für die als Katalysator Hydroaminierung/Zyklisierung verwendet.⁷⁷

AUFGABENSTELLUNG 21

2 Aufgabenstellung

Aufgrund der erfolgreichen Verwendung von Bis(phosphinimino)methanid-Liganden in der Lanthanoidchemie und der Einsatz solcher Komplexe in der Katalyse der Ringöffnungspolymerisation von ε-Caprolacton und der Polymerisation von Methylmetacrylat⁷⁶ sollten geeignete Komplexe für die Hydroaminierung hergestellt werden. Die Verbindungen sollten durch Umsetzung von Lanthanoid-Silylamidokomplexen mit dem Neutralliganden (Me₃SiNPPh₂)₂CH₂ über die erweiterte Silylamidroute hergestellt werden. Zuerst sollten die Reaktionsbedingungen für diese Reaktion bestimmt werden. Anschließend sollten homologe Verbindungen mit ausgesuchten Vertretern der leichten bis schweren Lanthanoide synthetisiert und eine möglichst umfassende Charakterisierung dieser Seltenerdmetallkomplexe durchgeführt werden. Die katalytischen Eigenschaften dieser Verbindungen sollten in Zusammenarbeit mit Agustino Zulys in unserer Arbeitsgruppe ermittelt werden.

Aufgrund der erfolgreichen Synthese von Bis(amido)cyclodiphosph(III)azan-Derivaten und deren Verwendung als Liganden in der Haupt- und Übergangsmetallchemie waren wir interessiert, dieses Ligandensystem in die Amido-Metallchemie der Seltenerdmetalle einzuführen. Dazu war es notwendig, zuerst die Reaktionsbedingungen sowie geeignete Aufarbeitungsund Kristallisationsmethoden für die Umsetzung mit wasserfreien Lanthanoidtrichloriden zu untersuchen. Als Mustersystem wurde das Lithiumsalz cis-[(tBuNLi·THF)₂(PNtBu)₂] gewählt, da es sehr einfach und kostengünstig darzustellen ist. Außerdem wurde dieses Ligandsystem schon erfolgreich in der Haupt- und Übergangsmetallchemie eingesetzt. Nach der Bis(amido)cyclodiphosph(III)azan-Lanthanoid-Komplexen Synthese von sollten diese derivatisiert werden. Dabei lag das Hauptaugenmerk auf den Alkylen und Amiden, da diese Liganden geeignete Abgangsgruppen für katalytische Reaktionen sind.

Neben den Lanthanoiden sollte der Neutralligand mit Aluminiumalkylen umgesetzt werden, da Aluminiumverbindungen ebenfalls erfolgreich für

22 AUFGABENSTELLUNG

organische Transformationsreaktionen eingesetzt werden können. Auch hier sollten zuerst die Reaktionsbedingungen sowie geeignete Aufarbeitungs- und Kristallisationsmethoden entwickelt werden.

Nach erfolgreicher Synthese der Lanthanoidkomplexe mit dem Modellsystem cis-[(tBuNLi·THF)₂(PNtBu)₂] sollten auch Derivate des Bis(*t*-butylamino)cyclodiphosph(III)azan-Ligandes synthetisiert werden. Hauptaugenmerk lag dabei auf der Synthese sterisch anspruchsvollerer Bis(amino)cyclodiphosph(III)azan-Komplexe. Da wir auch an chiralen Liganden interessiert sind, sollten ebenfalls chirale Derivate des Ligandsystems synthethisiert werden. Als chirale Komponenten wurden die käuflich erhältlichen, primären Amine H₂N(R,S-*CHMePh) ausgewählt.

Um das Koordinationsverhalten des chiralen Amines zu untersuchen, sollte zunächst ein einfaches, chirales P-N-Ligandsystem synthetisiert werden. Es wurden die leicht zugänglichen Enantiomere von HN(*R*,*S*-*CHMePh)(PPh₂) gewählt.⁷⁸ Basierend auf den Erfahrungen in der Zirkonocenchemie⁷⁹ sollten Derivate mit den chiralen P-N-Liganden synthetisiert werden. Dazu war es notwendig, dass zunächst geeignete Transferreagenzien in Form der Lithiumkomplexe {N(*R*,*S*-*CHMePh)(PPh₂)}⁻ synthetisiert werden, die für die Darstellung der eigentlichen Komplexe durch Metathesereaktionen mit Zirkonocendichlorid verwendet werden können. Die Verwendung des Ligandsystems in der Lanthanoidchemie wurde kürzlich von unserer Arbeitsgruppe vorgestellt.⁸⁰

3 Ergebnisse und Diskussion

3.1 Bis(phosphinimino)methanid-bis-dimethylsilylamid-Komplexe

3.1.1 Bis(phosphinimino)methanid als Ligandsystem in der Katalyse

In der Organolanthanoidchemie erweisen sich besonders Alkyl-, Amido- und Hydrido-Cyclopentadienylkomplexe wie $[(\eta^5-Cp^*)_2LnR]$ (R = CH(SiMe₃)₂, N(SiMe₃)₂, H) als hocheffiziente Katalysatoren⁸¹ für eine ganze Reihe an Olefintransformationen wie die Hydrogenierung, 82,83,84,85 Polymerisation, 86,87,88 Hydroaminierung,84,89 Hydrosilylierung, 90,91 Hydroborierung⁹² Hydrophosphinierung.93 Neben ausführlich den untersuchten Cyclopentadienylkomplexen gibt es auch cyclopentadienylfreie Amido- oder Alkoxylanthanoide, welche ebenfalls effektive Katalysatoren für die Hydroaminierung sind. 94,95,96,97 Wie in der Einleitung vorgestellt wurde der Bis(phosphinimino)methanid-Ligand {(Me₃SiNPPh₂)₂CH}⁻ Arbeitsgruppe als Alternative für den Cyclopentadienylliganden in die Yttriumund Lanthanoidchemie eingeführt. Sie berichten von der Verwendung der Bis(phosphinimino)methanid-Komplexe in der homogenen Katalyse (Kap. 1. 3.4).

3.1.2 Synthese von $[Ln{N(SiHMe_2)_2}_3(THF)_2]$ (Ln = Y (1a), La (1b), Sm (1c), Ho (1d) und Lu (1e))

Die Synthese von [Ln{N(SiHMe₂)₂}₃(THF)₂] (Ln = Y (**1a**), La (**1b**), Sm (**1c**), Ho (**1d**) und Lu (**1e**)) (Anwander Amide) wurde zum ersten Mal von der Arbeitsgruppe von R. Anwander beschrieben.⁴⁷ Die Synthese erfolgte durch Umsetzung von LnCl₃(THF)₂ mit LiN(SiHMe₂)₂ in n-Pentan.

Zur Vermeidung von Nebenprodukten und zur leichteren Abtrennung des Alkalichlorides wird im Unterschied zur Anwander-Route nun KN(SiHMe₂)₂ als Transferreagenz verwendet. Die Synthese erfolgt durch direkte Umsetzung

von LnCl₃ (Ln = Y, La, Sm, Ho, Lu) mit 2.9 Äquivalenten KN(SiHMe₂)₂⁴⁰ in THF. Somit können die Seltenerdamide **1a-e** im Vergleich zu der von Anwander *et al.* beschriebenen zweistufigen Synthese in sehr guten Ausbeuten in einer Eintopfreaktion hergestellt werden (Abbildung 14).

$$LnCl_3 + 3 KN(SiHMe_2)_2 \xrightarrow{THF} [Ln\{N(SiHMe_2)_2\}(THF)_2]$$

$$Ln = Y (1a), La (1b), Sm (1c), Ho (1d), Lu (1e)$$

Abbildung 14 Synthese von [Ln{N(SiHMe₂)₂}₃(THF)₂] in einer "Eintopfreaktion".

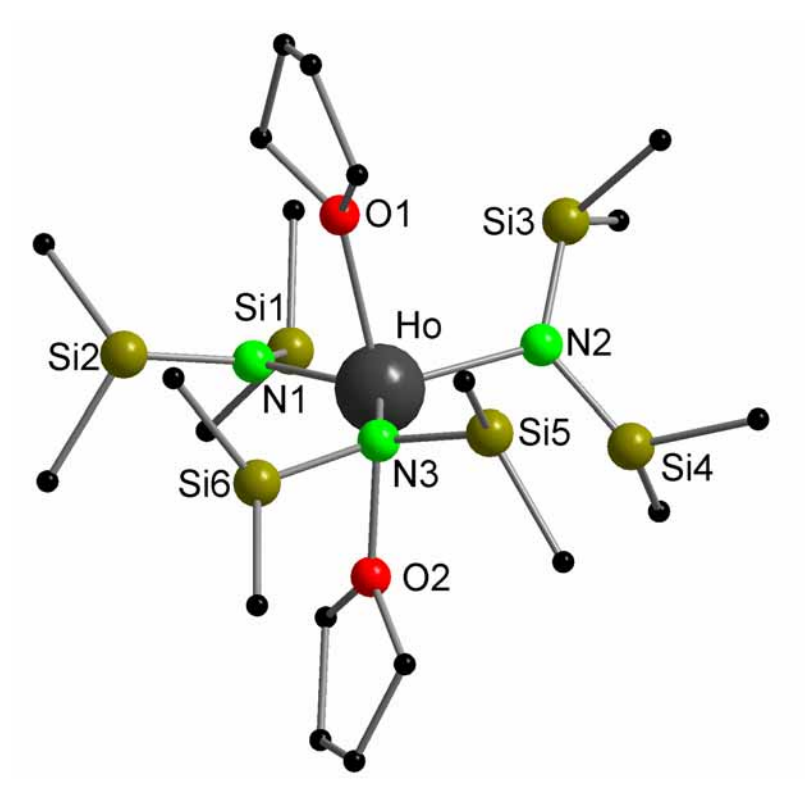


Abbildung 15 Molekülstruktur von **1d** im Festkörper (ohne Darstellung der Wasserstoffatome). Ausgewählte Abstände [pm] und Winkel [°]: Ho-N1 227.0(2), Ho-N2 223.5(2), Ho-N3 227.8(2), Ho-O1 238.5(2), Ho-O2 240.4(2), Ho-Si4 329.60(9), Ho-Si6 330.50(10); N1-Ho-N2 110.69(10), N1-Ho-N3 135.14(10), N2-Ho-N3 114.05(10), N1-Ho-O1 88.00(7), N2-Ho-O1 95.32(8), N3-Ho-O1 84.81(8), N1-Ho-O2 87.32(8), N2-Ho-O2 101.70(8), N3-Ho-O2 86.96(8), O1-Ho-O2 162.92(8).

Die Verbindungen **1a-c** und **1e** wurden bereits beschrieben.^{47,48,98} Die analoge Holmium-Verbindung **1d** wurde mittels Ramanspektroskopie und

Elementaranalyse charakterisiert. Die charakteristischen Si-H Schwingungen von **1d** beobachtet man im Ramanspektrum bei 2013cm⁻¹ und 2076cm⁻¹. Die Molekülstruktur 1d im konnte von Festkörper durch Einkristallröntgenstrukturanalyse aufgeklärt werden (Abbildung 15). Verbindung 1d besitzt im Festkörper eine verzerrt trigonal bipyramidale Struktur und kristallisiert in der monoklinen Raumgruppe P2₁/c mit vier Molekülen 1d in der Elementarzelle und ist erwartungsgemäß isostrukturell zu den bereits beschriebenen Verbindungen 1a-c und 1e. 47,48,98

3.1.3 Synthese von $[\{(Me_3SiNPPh_2)_2CH\}Ln\{N(SiHMe_2)_2\}_2]$ (Ln = Y (2a), La (2b), Sm (2c), Ho (2d) und Lu (2e))

Die Zielverbindungen $[\{(Me_3SiNPPh_2)_2CH\}Ln\{N(SiHMe_2)_2\}_2]$ (Ln = Y (2a), La (2b), Sm (2c), Ho (2d) und Lu (2e)) können auf drei unterschiedlichen Syntheserouten hergestellt werden. Verbindungen 2a-e können via einer Amin-Eliminierungsreaktion ausgehend von den Seltenerdamiden 1a-e durch Umsetzung mit (Me₃SiNPPh₂)₂CH₂³⁴ in siedendem Toluol erhalten werden (Abbildung 16). Diese Methode ergibt die höchsten Ausbeuten und die saubersten Produkte und wurde für alle fünf Verbindungen angewendet. Im Gegensatz zu der bekannten Reaktion von Samariumtris(dicyclohexylamid) und (Me₃SiNPPh₂)₂CH₂, welche unter ähnlichen Reaktionsbedingungen [{(Me₃SiNPPh₂)₂C}Sm(NCy₂)·THF] ergibt, 99 werden bei der Verwendung von **1a-e** als Ausgangsmaterial keine carbenartigen Nebenprodukte beobachtet. Die Verbindungen 2a und 2c können ebenfalls durch Umsetzung von einem Äguivalent [{(Me₃SiNPPh₂)₂CH}LnCl₂]₂ (Ln = Y, Sm)⁷⁵ und zwei Äguivalenten KN(SiHMe₂)₂ erhalten werden (Abbildung 16). Die einfachste Möglichkeit, **2b** herzustellen, ist eine Eintopfreaktion ausgehend vom Kaliummethanid [{(Me₃SiNPPh₂)₂CH}K],⁷⁵ welches mit wasserfreiem Lanthantrichlorid und KN(SiHMe₂)₂ in einem molaren Verhältnis von 1:1:2 in THF umgesetzt wird. Unglücklicherweise sind die Ausbeuten im Vergleich zu den anderen Methoden geringer, da das Produkt durch mehrfache Umkristallisation aufgereinigt werden muss (Abbildung 16).

Abbildung 16 Synthese von [{(Me₃SiNPPh₂)₂CH}Ln{N(SiHMe₂)₂}₂] **2a-2e**.

Um den Einfluss des Ionenradius der Lanthanoide auf die Komplexgeometrie zu untersuchen, wurden Komplexe mit kleinsten (Lu), größten (La) sowie mit ausgewählten mittelgroßen Seltenerdmetallen synthetisiert. Die Verbindungen 2a-e wurden mittels den analytischen/spektroskopischen Standardtechniken ³¹P{¹H}-NMR-Spektroskopie sowie Ramanspektroskopie Elementaranalyse charakterisiert. Von allen Verbindungen konnte die Molekülstruktur im Festkörper durch Einkristallröntgenstrukturanalyse aufgeklärt werden. Im ¹H-NMR-Spektrum von **2a, 2b** und **2e** beobachtet man die charakteristischen Signale der beiden unterschiedlichen Substituenten. Beobachtet werden ein Singulett für die SiMe₃-Gruppe (δ 0.12ppm (**2a**), 0.13ppm (2b), 0.12ppm (2e)) sowie ein Triplett der CH-Gruppe (δ 2.36ppm (2a), 2.65ppm (2b), 2.77ppm (2e)) und ein wenig charakteristisches Multiplett der Phenylgruppen des {(Me₃SiNPPh₂)₂CH}⁻ Liganden sowie ein Dublett (δ 0.60ppm (2a), 0.56ppm (2b), 0.64ppm (2e)) und ein Septett (δ 5.50ppm (2a), 5.44ppm (**2b**), 5.45ppm (**2e**)) für die {N(SiHMe₂)₂}- Gruppen. Im ³¹P{¹H}-NMR-

Spektrum beobachtet die charakteristischen man Signale des {(Me₃SiNPPh₂)₂CH} Liganden der Verbindungen **2a, 2b** und **2e** (δ 20.1 (**2a**), 17.1 (2b), 20.6 (2e)). Aufgrund des paramagnetischen Einflusses von 2c beobachtet man eine Tieffeldverschiebung des Resonanzsignals (δ 26.3) im Vergleich zu den diamagnetischen Verbindungen 2a, 2b und 2e. Im Vergleich ³¹P{¹H}-NMR-Spektren ¹Hden und der zu unsubstituierten Bis(phosphinimino)methanid-Verbindungen [{(Me₃SiNPPh₂)₂CH}LnCl₂]₂ (Ln = Y, Sm, Lu) lassen sich keine signifikanten Unterschiede feststellen. ⁷⁵ Ähnliche chemische Verschiebungen findet man ebenfalls für die heteroleptischen Verbindungen [{(Me₃SiNPPh₂)₂CH}Ln(NPh₂)₂].⁷⁵

Die Komplexe 2a-e kristallisieren bedingt durch die ähnlichen Ionenradien der Seltenerdmetalle isostrukturell in der monoklinen Raumgruppe P2₁/n mit vier Elementarzelle Molekülen Komplex (Abbildung 17). pro Der Koordinationspolyeder um das Zentralmetall wird durch die {N(SiHMe₂)₂} und den {(Me₃SiNPPh₂)₂CH}⁻ Liganden bestimmt. Koordination der Stickstoffatome der beiden Trimethylsilylimingruppen an das Seltenerdmetall wird ein sechsgliedriger N1-P1-C1-P2-N2-Ln-Metallazyklus gebildet. Die Ln-N Bindungsabstände vergrößern sich wie erwartet linear mit zunehmendem Ionenradius des Zentralmetalls. Der Metallazyklus liegt in Wannenkonformation vor, wobei das zentrale Kohlenstoffatom und das Lanthanoidatom aus der nahezu planaren N₂P₂-Ebene herausragen. Eine analoge Anordnung wird beispielsweise auch für die unsubstituierten Bis(phosphinimino)methanid-Verbindungen [{(Me₃SiNPPh₂)₂CH}LnCl₂]₂ (Ln = Y, Sm, Lu)⁷⁵ sowie Verbindungen [{(Me₃SiNPPh₂)₂CH}Ln(NPh₂)₂]⁷⁵ gefunden. Eine ausführliche Diskussion findet man in der Literatur. 75,100 Der Abstand des Methanid-Kohlenstoffatoms (C1) und dem Seltenerdmetallatom (269.7(4)pm (2a), 287.5(4)pm (2b), 277.1(3)pm (2c), 268.5(3)pm (2d), 264.7(4)pm (2e)) ist länger als die durchschnittlichen Ln-C Abstände; was aber auch schon bei dreizähniger Koordination des Liganden in anderen Verbindungen beobachtet wurde. The Vergleich zu den H NMR spektroskopischen Ergebnissen für die diamagnetischen Verbindungen 2a, 2b und 2e sind die beiden

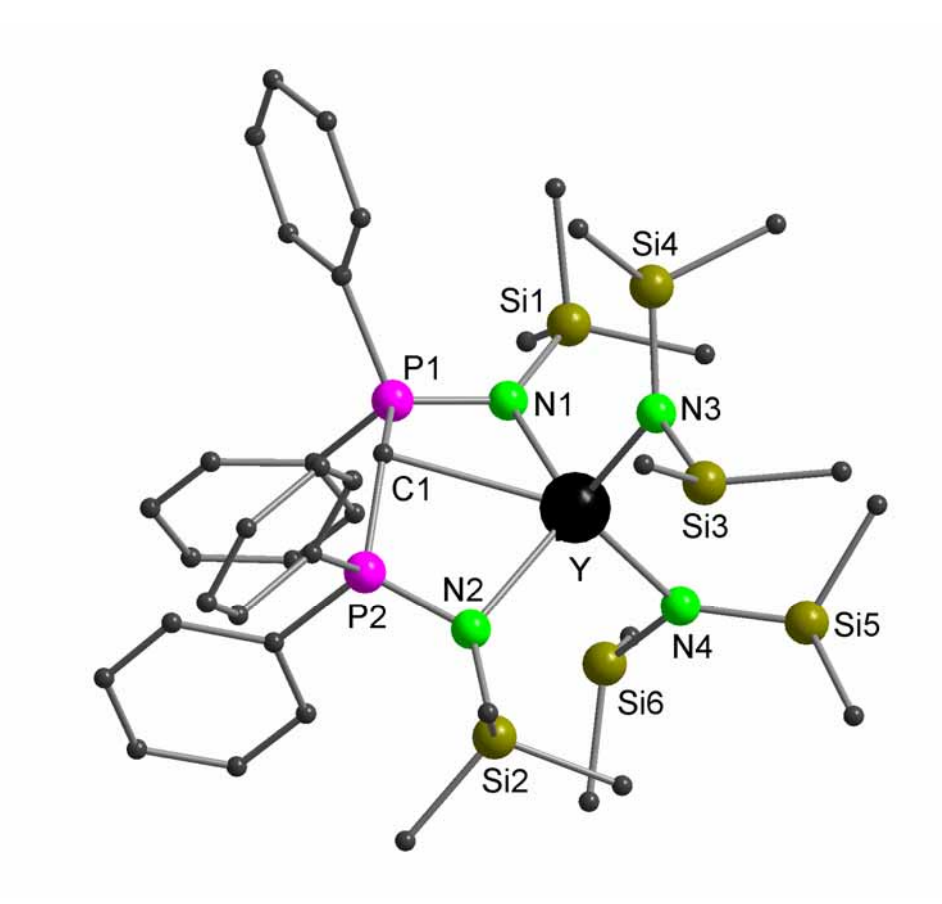


Abbildung 17 Molekülstruktur von 2a im Festkörper (ohne Darstellung Wasserstoffatome). Ausgewählte Abstände [pm] und Winkel [°] (auch für isostrukturelle Verbindungen 2b - 2e): 2a: Y-C1 269.7(4), Y-N1 240.3(3), Y-N2 239.3(3), Y-N3 225.0(4), Y-N4 226.0(3), Y-Si3 329.22(15), Y-Si4 346.10(14), Y-Si6 313.31(13); N1-Y-N2 119.91(12), N1-Y-C1 64.42(12), N2-Y-C1 64.56(12), Y-N4-Si5 134.6(2), Y-N4-Si6 103.5(2). 2b: La-C1 287.5(4), La-N1 253.6(2), La-N2 253.6(3), La-N3 241.5(3), La-N4 239.7(3), La-Si3 344.40(12), La-Si4 347.68(13), La-Si6 328.48(12); N1-La-N2 112.05(9), N1-La-C1 60.75(9), N2-La-C1 60.49(9), La-N4-Si5 130.7(2), La-N4-Si6 105.6(2). 2c: Sm-C1 277.1(3), Sm-N1 245.6(2), Sm-N2 244.3(2), Sm-N3 230.9(3), Sm-N4 231.8(3), Sm-Si3 332.71(11), Sm-Si4 348.28(11), Sm-Si6 319.35(11); N1-Sm-N2 116.50(8), N1-Sm-C1 62.69(8), N2-Sm-C1 62.63(8), Sm-N4-Si5 132.5(2), Sm-N4-Si6 104.49(13). 2d: Ho-C1 268.5(3), Ho-N1 239.2(3), Ho-N2 238.6(2), Ho-N3 225.2(3), Ho-N4 225.7(3), Ho-Si3 330.11(11), Ho-Si4 343.81(11), Ho-Si6 313.42(9); N1-Ho-N2 119.43(9), N1-Ho-C1 64.21(9), N2-Ho-C1 64.57(9), Ho-N4-Si5 134.69(15), Ho-N4-Si6 103.59(13). 2e: Lu-C1 264.7(4), Lu-N1 235.6(3), Lu-N2 234.2(4), Lu-N3 220.7(4), Lu-N4 222.0(4), Lu-Si3 330.42(13), Lu-Si4 339.53(13), Lu-Si6 310.34(14); N1-Lu-N2 121.25(12), N1-Lu-C1 65.11(12), N2-Lu-C1 65.64(13), Lu-N4-Si5 135.0(2), Lu-N4-Si6-Lu 103.8(2).

{N(SiHMe₂)₂} Gruppen im Festkörper nicht äquivalent. Die auf der sterisch gehinderten Seite (cis zu C1) liegende {N(SiHMe₂)₂} Gruppe ist symmetrisch ausgerichtet, während die andere {N(SiHMe₂)₂} Gruppe (trans zu C1) asymmetrisch ist und sich am besten mit der in [(C₅HPh₄)₂La{N(SiHMe₂)₂}] lässt.101 vergleichen Ein gefundenen Geometrie Siliziumatom der asymmetrischen Gruppe (Si6) besitzt einen geringeren Abstand zum Metallzentrum als die Siliziumatome der symmetrischen {N(SiHMe₂)₂}⁻ Gruppe (Ln-Si6 313.31(13)pm (**2a**), 328.48(12)pm (**2b**), 319.35(11)pm 313.42(9)pm (2d), 310.34(14)pm (2e) vs. Ln-Si3 329.22(15)pm (2a), 344.40(12)pm (**2b**), 332.71(11)pm (**2c**), 330.11(11)pm (**2d**), 330.42(13)pm (2e) und Ln-Si4 346.10(14)pm (2a), 347.68(13)pm (2b), 348.28(11)pm (2c), 343.81(11)pm (2d), 339.53(13)pm (2e)).

Ein ähnlicher Effekt wird in der Verbindung [(C5HPh4)2La{N(SiHMe2)2}] für eins der beiden unabhängigen Moleküle in der Elementarzelle beobachtet (326.1(2)pm vs. 347.2(2)pm).¹⁰¹ Begleitend zu diesem Effekt wird eine Abnahme des Ln-N-Si Bindungswinkels (Ln-N4-Si6 103.5(2)° (2a), 105.6(2)° (2b), $104.49(13)^{\circ}$ (2c), $103.59(13)^{\circ}$ (2d), $103.8(2)^{\circ}$ (2e) vs. $134.6(2)^{\circ}$ (2a), 130.7(2)° (**2b**), 132.5(2)° (**2c**), 134.69(15)° (**2d**), 135.0(2)° (**2e**) für Ln-N4-Si5) in 2a-e beobachtet. Dies deutet auf eine schwache, monoagostische β-SiH-Wechselwirkung hin, welche schon für andere Dimethylsilylamid-Seltenerdmetallkomplexe beschrieben wurde. 101,102 Die Metall-Stickstoff-Bindungslängen der {N(SiHMe₂)₂} Gruppen (Ln-N3 225.0(4)pm (**2a**), 241.5(3)pm (2b) 230.9(3)pm (2c), 225.2(3)pm (2d), 220.7(4)pm (2e) und Ln-N4 226.0(3)pm (**2a**), 239.7(3)pm (**2b**) 231.8(3)pm (**2c**), 225.7(3)pm (**2d**), 222.0(4)pm gleichen denen, welche (2e)) im Ausgangsmaterial [Ln{N(SiHMe₂)₂}₃(THF)₂], gefunden werden. Sie sind aber kürzer als die Ln-N-Bindungsabstände des {(Me₃SiNPPh₂)₂CH}⁻ Liganden (Ln-N1 240.3(3)pm (2a), 253.6(2)pm (2b) 245.6(2)pm (2c), 239.2(3)pm (2d), 235.6(3)pm (2e) und Ln-N2 239.3(3)pm (**2a**), 253.6(3)pm (**2b**) 244.3(2)pm (**2c**), 238.6(2)pm (**2d**), 234.2(4)pm (2e)).

3.1.4 Synthese von [{(Me₃SiNPPh₂)₂CH}La{N(SiMe₃)₂}₂]

Die erfolgreiche Synthese von $[\{(Me_3SiNPPh_2)_2CH\}Ln\{N(SiHMe_2)_2\}_2]$ 2a-2e sowie deren katalytischen Eigenschaften als Hydroaminierungs-Hydrosilylierungskatalysator führte der Überlegung, die zu Bis(dimethylsilyl)amidliganden durch die sterisch anspruchsvolleren Bis(trimethylsily)amide zu ersetzen. Es sollte untersucht werden, in wie weit der höhere pKs-Wert von HN(SiMe₃)₂ (pKs(THF) = 25.8),⁴¹ der somit eine stärkere Base darstellt als HN(SiHMe₂)₂ (pKs = 22.8), 40 einen Einfluss auf die katalytischen Eigenschaften besitzt. Jedoch führt die Synthese von [{(Me₃SiNPPh₂)₂CH}La{N(SiMe₃)₂}₂] durch Umsetzung von [La{N(SiMe₃)₂}₃] mit (Me₃SiNPPh₂)₂CH₂ in siedendem Toluol nicht zum gewünschten Zielprodukt. Der Versuch wurde mehrmals mit verschiedenen Reaktionszeiten und Ansatzgrößen durchgeführt. Es konnte jedoch jedes Mal nur ein Produktgemisch isoliert werden, das sich nicht durch fraktionierte Kristallisation aus verschiedenen Lösungsmitteln trennen ließ. Um die Reaktionsbedingungen auszutesten, wurde die Reaktion im NMR-Maßstab in einem unter Vakuum abgeschmolzenen NMR-Röhrchen durchgeführt. Bei einer Reaktionszeit von drei Tagen bei 110°C vollständiger erfolgte ein nahezu Umsatz zum Zielprodukt [{(Me₃SiNPPh₂)₂CH}La{N(SiMe₃)₂}₂] (Abbildung 18), was durch die Änderung der chemischen Verschiebungen im ³¹P{¹H}-NMR-Spektrum verfolgt wurde. Am Ende der angegebenen Reaktionszeit konnte noch eine signifikant kleine Menge des freien Liganden (Me₃SiNPPh₂)₂CH₂ (δ -4.8ppm) neben der Hauptmenge des Produktes (δ 20.3ppm) gefunden werden. Jedoch scheiterte auch dieses Mal die Übertragung vom NMR-Maßstab auf den Labormaßstab.

Abbildung 18 Synthese von [{(Me₃SiNPPh₂)₂CH}La{N(SiMe₃)₂}₂].

Eventuell führt eine Reaktion in einer Ampulle bzw. längerer Reaktionszeit zum gewünschten Produkt. Aufgrund der Ergebnisse aus den katalytischen Untersuchungen, dass [La{(N(SiHMe₂)₂}₃]-Komplexe aktivere Katalysatoren für die Hydrosilylierung sind (Kapitel 3.1.5.2), wurde von einer weiteren Verfolgung des Themas abgesehen.

3.1.5 Katalytische Eigenschaften der Seltenerdmetallkatalysatoren [{(Me₃SiNPPh₂)₂CH}Ln{N(SiHMe₂)₂}₂] (Ln = Y (2a), La (2b), Sm (2c), Ho (2d) und Lu (2e))

3.1.5.1 Allgemeiner Überblick zu der Hydroaminierung

Eine Hydroaminierung bzw. Hydrosilylierung ist in Analogie zu der Hydroborierung eine formale Addition einer N-H/Si-H Bindung an eine Doppelbindung. Der Mechanismus der Hydroaminierung/Zyklisierung von Aminoolefinen katalysiert durch Organolanthanoide wurde im Detail von der Arbeitsgruppe von Marks *et al.* aufgeklärt (Abbildung 19).¹⁰³

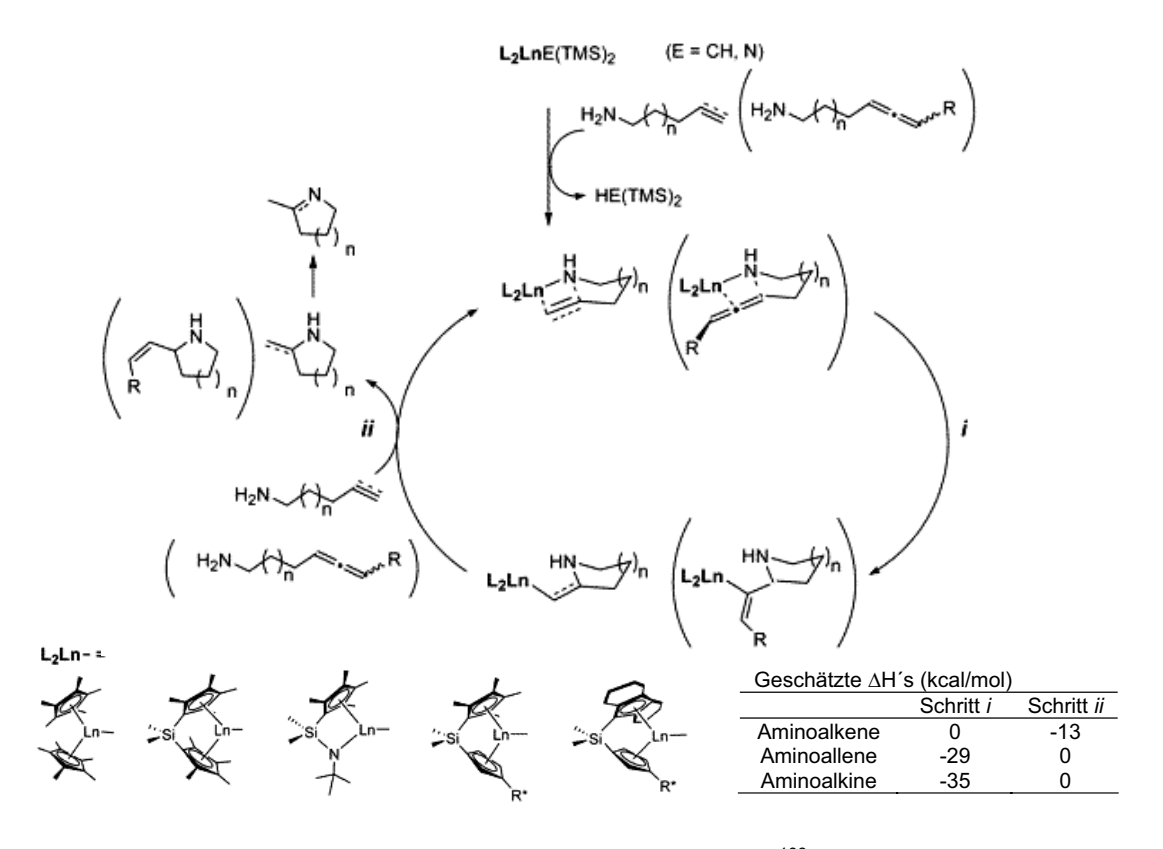


Abbildung 19: Katalysezyklus der Hydroaminierung/Zyklisierung. 103

Der Katalysezyklus wird durch die Bildung eines Amido-Komplexes aus L₂LnE(SiMe₃)₂ und dem freien Amin H₂N-R initiiert. Über einen viergliedrigen Übergangszustand folgt der irreversible Schritt der intramolekularen Olefininsertion in die Ln-N-Bindung (Schritt i) mit anschließender Hydrolyse der Ln-C-Bindung durch ein weiteres Substratmolekül (Schritt ii) unter Bildung des Prekatalysators L₂Ln-N(H)-R. Thermodynamische Betrachtungen zeigen, dass die Olefininsertionen (Schritt i) von Aminoallenen und Aminoalkinen exothermer sind (29kcal/mol bzw. 35cal/mol) als die Insertion der Aminoalkene (0kcal/mol). Die Hydrolyse der Ln-C-Bindung (Schritt ii) bei Aminoalkenen ist allerdings am exothermsten (13kcal/mol vs. 0kcal/mol bei Aminoallenen und Aminoalkinen). Geschwindigkeitsbestimmend ist daher der erste Schritt bei Aminoallenen und -alkinen und der zweite Schritt bei den Aminoalkenen. ausführliche. Eine theoretische Betrachtung Hydroaminierung wurde kürzlich von Tobisch vorgestellt.¹⁰⁴

3.1.5.2 Hydroaminierung und Hydrosilylierung in Abhängigkeit des Zentralmetalles

In Zusammenarbeit mit Agustino Zulys wurden in unserer Arbeitsgruppe die Verbindungen **2a-2e** auf ihre Eigenschaften als Katalysatoren für die Hydroaminierung und Hydrosilylierung untersucht. Es wurde zuerst die Abhängigkeit der Reaktionsgeschwindigkeit der Hydroaminierung/ Zyklisierung von der Größe des Zentralmetalls untersucht. Als Substrat dient 1-(2-Propenyl)-cyclohexanmethanamin, welches mit einer Katalysatormenge von 1.1mol-% bei 60°C quantitativ zu dem zyklischen Katalyseprodukt umgesetzt wird (Abbildung 20).

Abbildung 20 Hydroaminierung/Zyklisierung von 1-(2-Propenyl)-cyclohexanmethanamin.

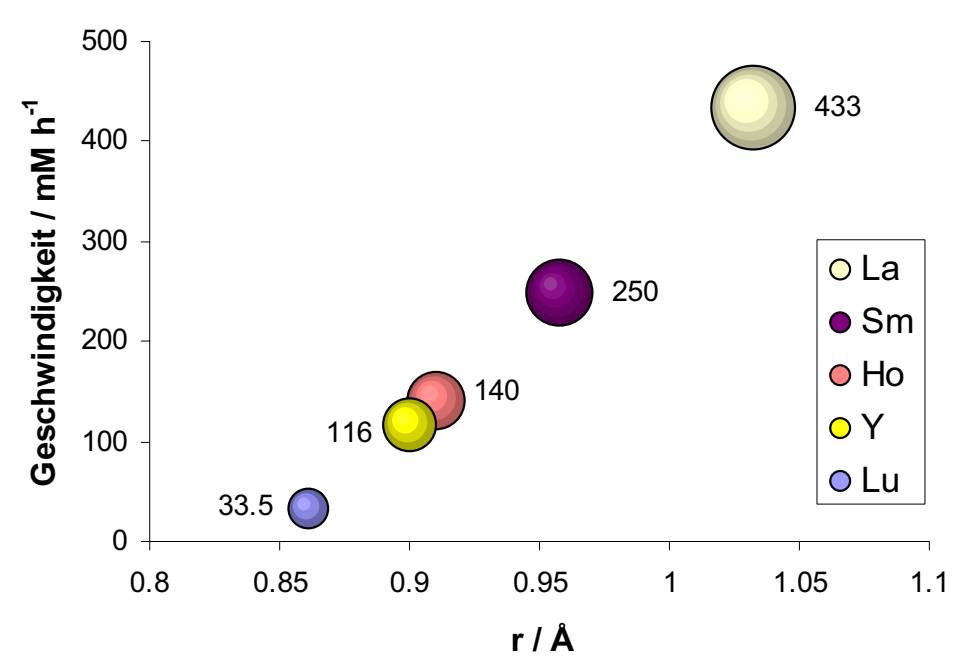


Abbildung 21: Abhängigkeit der Reaktionsgeschwindigkeit der intramolekularen Hydroaminierungsreaktion von 1-(2-Propenyl)-Cyclohexanmethanamin vom Ionenradius der Zentralmetalle der Katalysatoren **2a-e**.

Im Gegensatz zur Hydroborierung entsteht bei der Addition der N-H-Bindung an die Doppelbindung das Markovnikov-Produkt in quantitativen Ausbeuten. In Analogie zu den von Marks *et al.* beschrieben Lanthanoid-Metallocenkatalysatoren⁸⁹ steigt die Reaktionsgeschwindigkeit mit steigendem lonenradius⁷ an, wobei in beiden Fällen die Reaktionsgeschwindigkeit der jeweiligen Lanthanverbindung am höchsten ist (Abbildung 21).

Neben der intramolekularen Hydroaminierung wurde auch die Reaktivität der Katalysatoren für die intermolekulare Hydrosilylierung untersucht, da die Hydrosilylierung von Alkenen generell eine der vielfältigsten und effizientesten Methoden zur Synthese von Alkylsilanen und deren Derivaten ist. Gewöhnlich werden sehr luft- und feuchtigkeitsempfindliche Lanthanoid-Alkyl- und Hydridkomplexe für diese Reaktionen verwendet. Bisher gibt es nur ein Beispiel, bei dem ein etwas stabilerer Seltenerdamid-Komplex, [La{N(SiMe₃)₂}₃], als Katalysator für die Hydrosilylierung verwendet wird. In Analogie zur Hydroaminierung wurde der Einfluss des Ionenradius auf die Reaktionsgeschwindigkeit der Hydrosilylierung untersucht. Bei der Umsetzung der Substrate 1-Hexen und PhSiH₃ mittels der Katalysatoren 2a-e entsteht in

nahezu quantitativen Ausbeuten das Anti-Markovnikov-Produkt Hexyl(phenyl)silan (Abbildung 22).

+ H-SiH₂Ph
$$\longrightarrow$$
 SiH₂Ph \longrightarrow SiH₂Ph \longrightarrow > 99 < 1

Abbildung 22 Hydrosilylierung von 1-Hexen mit PhSiH₃.

Es zeigt sich die gleiche Abhängigkeit der Reaktionsgeschwindigkeit wie bei der Hydroaminierung, bei der der Lanthankomplex ebenfalls am effektivsten ist (Tabelle 4). Die Substrate können mit dem Katalysator **2b** sogar bei Raumtemperatur quantitativ zu Hexyl(Phenyl)silan umgesetzt werden.

Tabelle 4: Hydrosilylierung von 1-Hexen mit Phenylsilan und den Verbindungen **2a-e**, $[La\{N(SiHMe_2)_2\}_3(THF)_2]$ und $[La\{N(SiMe_3)_2\}_3]$.

Nr.	Katalysator	Katalysator- menge [mol%]	T [°C]	t [h]	Ausbeute [%] ^{a)} (ratio n:iso)	
1	2 a	1.5	100	26	99 (99:1)	
2	2 b	1.5	RT	16	99 (99:1)	
3	2 c	1.5	100	6	99 (99:1)	
4	2 e	1.5	100	32	99 (99:1)	
5	$[La\{N(SiHMe_2)_2\}_3(THF)_2]$	3	RT	20	99 (99:1)	
6	[La{N(SiMe ₃) ₂ } ₃]	3	RT	40	98 ^{b)} (96:4)	

a) berechnet aus ¹H NMR. b) Ref. 105.

Wie aus der Tabelle 4 hervorgeht, werden von beiden möglichen Enantiomeren nur das anti-Markovnikov-Produkt in einem sehr hohen Enantiomerenüberschuss gebildet.

Die Hydrosilylierung mit dem Katalysator **2b** verläuft mit der Hälfte der Katalysatormenge schneller als mit [La{N(SiHMe₂)₂}₃]¹⁰⁵ (Tabelle 4, Eintrag 5) und mehr als doppelt so schnell wie [La{N(SiMe₃)₂}₃] (Tabelle 4, Eintrag 6). Aus den Daten ist der sterische Einfluss der Trimethylsilylgruppen von [La{N(SiMe₃)₂}₃] auf die Geschwindigkeit der Hydrosilylierung gut zu erkennen. So verläuft die Hydrosilylierung mit dem sterisch weniger anspruchsvollen Amid [La{N(SiHMe₂)₂}₃] bei gleicher Katalysatormenge doppelt so schnell (Tabelle 4, Eintrag 5 und 6).

3.1.5.3 Sequentielle Hydroaminierung/Hydrosilylierung

Mit den diamagnetischen Katalysatoren **2a** und **2b** werden zum ersten Mal Seltenerdamide für eine sequentielle Hydroaminierungs-/Silylierungsreaktion verwendet. Bei dieser Reaktion wird in einem ersten Schritt eine intramolekulare Hydroaminierung mit einem ungesättigten Aminoalkin durchgeführt, und anschließend Phenylsilan an die entstandene Doppelbindung addiert (Abbildung 23).

$$R \xrightarrow{\text{NH}_2} \begin{array}{c} \textbf{2a,b} \\ \textbf{N} \\ \textbf{SiH}_3\text{Ph} \end{array}$$

Abbildung 23 Kombinierte Hydroaminierung/Zyklisierung und Hydrosilylierung von Aminoalkinen.

Für diese Reaktionsfolge gibt es nur sehr wenige Beispiele aus der Übergangsmetallchemie. So gibt es neben den Titankomplexen¹⁰⁶ nur zwei weitere Iridiumkomplexe,¹⁰⁷ die für diese Reaktionsfolge verwendet wurden. Im Unterschied zu der Katalyse mit den Lanthanoidamiden **2a** und **2b** werden

die Reaktionen bei höherer Temperatur bzw. mit größerer Katalysatormenge durchgeführt. So ist z.B. der Katalysatoren **2b** aktiver als jeder andere Katalysator, der bisher für diese Reaktionsfolge verwendet wurde. Für die kombinierte Hydroaminierungs-/Silylierungsreaktion wurde eine Menge von 10mol% des Titankomplexes eingesetzt, während die Reaktion mit den Katalysatoren **2a,b** bereits mit einer geringeren Menge von 1.5mol% abläuft. Der erste Schritt, die Hydroaminierung/Zyklisierung eines Aminoalkines, verläuft mit dem Titankatalysator erst bei 105°C, während mit den Seltenerdkatalysatoren geringere Temperaturen (60°C) ausreichend sind (Tabelle 5). Der zweite Schritt, die Hydrosilylierung, verläuft mit den Seltenerdkatalysatoren bei wesentlich moderateren Bedingungen, mit **2b** sogar bei Raumtemperatur, während die Hydrosilylierung mit dem Titankatalysator ebenfalls nur bei 105°C verläuft. Die beiden erwähnten Iridiumkomplexe wurden jeweils nur für eine Reaktionsfolge verwendet.

Tabelle 5 Kombinierte Hydroaminierung/Zyklisierung und Hydrosilylierung von Aminoalkinen und Phenylsilan mit den Katalysatoren **2a** und **2b**.

Nr.	Substrat	Produkt	Katalysator ^{a)}	T [°C]	t [h]	Ausbeute [%] ^{b)}
1	Ph————————————————————————————————————	Ph N SiH ₂ Ph	2 a	60	4	99
				60	4	99
			2b	60	4	99
				RT	4	70 ^{c)}
2	Ph== H ₂ N	Ph N SiH ₂ Ph	2a	100	16	99
				RT	4	99
			2b	100	4	99
				RT	4	99
	H ₃ C ————————————————————————————————————	H ₂ PhSi N C ₂ H ₅	2a	RT	30	99
•				RT	4	99
3			2b	RT	16	99
				RT	4	99

^{a)} Bedingung: 2 mol% Katalysator in C₆D₆, Erster Schritt: Hydroaminierung/Zyklisierung; zweiter Schritt: Hydrosilylierung. ^{b)} Berechnet aus ¹H NMR. ^{c)} Isolierte Ausbeute, Reaktion wurde in einem 2 mmol Maßstab durchgeführt.

Die Katalysatormenge beträgt zwar ebenfalls 1.5 mol%, die Hydrosilylierung findet jedoch bei 60°C statt. Wie aus den Ergebnissen hervorgeht, verläuft die Hydroaminierung/Hydrosilylierung sequentielle mit den Seltenerdkatalysatoren 2a und 2b in sehr hohen Ausbeuten bei den vergleichsweise moderatesten Bedingungen. Stellvertretend für eine ganze Anzahl an untersuchten Substraten wurden drei unterschiedlich substituierte Aminoalkine ausgewählt (Tabelle 5). Wie anhand der Ergebnisse der Hydroaminierung/Zyklisierung (Abbildung 21) und der Silylierung (Tabelle 4) erwartet, verläuft die Reaktion mit dem Katalysator 2b am schnellsten unter den vergleichsweise moderatesten Bedingungen. Mit allen Substraten findet der zweite Reaktionsschritt, die Hydrosilylierung, innerhalb kürzester Zeit bei Raumtemperatur statt. Im Gegensatz zur Literatur werden die Produkte isoliert und nicht hydrolytisch aufgearbeitet. So stehen die wertvollen Silane für weitere Derivatisierungsreaktionen, z.B. Umsetzung mit Alkoholen etc., zur Verfügung.

3.2 Bis(amido)cyclodiphosph(III)azan-Komplexe

3.2.1 Überblick Bis(amido)cyclodiphosph(III)azane als Ligandsystem

Die verwandten Elemente Stickstoff und Phosphor bilden zusammen Verbindungen größter struktureller Vielfalt, mehr jede als Elementkombination einer jeweiligen Gruppe im Periodensystem. Von diesen Verbindungen haben die Phosphazane die größte Aufmerksamkeit erfahren, da sie als Vorstufen bei der Synthese von P-N-Polymeren und hybriddienen. 108,109 (organisch-anorganisch)-Materialien Die zyklischen und azyklischen Phosphazane sind P-N-Verbindungen, die bekannt sind für ihre Stabilität und ihre einfache Synthese. Eine wichtige Unterklasse sind die sogenannten Cyclodiphosph(III)azane.* Obwohl sie schon seit dem späten

^{*} Die exakten Nomenklaturregeln und Benennungen werden im Übersichtsartikel von Stahl diskutiert. 110

19. Jahrhundert bekannt sind,¹¹¹ erfolgte die vollständige Charakterisierung erst in den sechziger Jahren des 20. Jahrhunderts.¹¹² Bis Ende der sechziger Jahre wurde die dimere Struktur dieser Verbindungen bezweifelt,¹¹³ da erst 1971 die Röntgenstruktur des zentralen, viergliedrigen (PN)₂-Ringes aufgeklärt werden konnte.¹¹⁴ Die Strukturaufklärung hatte einen katalytischen Effekt auf das Forschungsinteresse dieser Verbindungsklasse. In den letzten dreieinhalb Jahrzehnten wurden viele synthetische und mechanistische Untersuchungen durchgeführt. Heute sind die Strukturen und die Reaktivität dieser gesättigten P-N-Heterozyklen sehr gut verstanden.^{115,116,117,118,119,120}

Vor allem wurden Bis(amido)cyclodiphosph(III)azane als Ligandsysteme in der Hauptund Übergangsmetallchemie zur Darstellung von Katalysatorsystemen Bis(amido)cyclodiphosph(III)azane untersucht. sind [2+2]-Cycloadditionsprodukt von Aminophosphazan (auch: Amino(imino)phosphin) R(H)NP=R (Abbildung 24).

R = t-Bu, Ph; R' = t-Bu, Ph, 2,6-Di-i- Pr_2Ph

Abbildung 24 Dimerisierung von Aminophosphazan.

Wie homologen Cyclobutan existieren beim zwei mögliche Dimerisationsprodukte: Das cis-und trans-Isomer (Abbildung 25). Die Isomere von fast allen bekannten Cyclodiphosph(III)azanen (ca. 100) wurden NMRspektroskopisch untersucht. Interessanterweise lieat die chemische Verschiebung im 31 P-NMR-Spektrum von den \emph{cis} -Isomeren im Bereich von 100ppm, während die Resonanzsignale des trans-Isomers im Bereich von 200ppm beobachtet werden. Obwohl beide Isomere in Lösung in fast gleichen

Mengen gebildet werden, werden im Festkörper (fast) nur die thermodynamisch begünstigten cis-Produkte isoliert. lm Festkörper beobachtet man für cis-Komplexe eine gewellte Anordnung des (PN)2-Ringes, während dieser bei den trans-Komplexen planar ist. Eine Erklärung der gewellten Anordnung von Keat¹²¹ beruht auf der Abstoßung der freien Elektronenpaare der benachbarten P- und N-Atome, welche bei pyramidalen Imino-Stickstoffatomen verringert ist. Dieser logisch erscheinende Ansatz scheitert jedoch, wenn man die geringer verzerrte Struktur in cis-2,4-Dihalocyclodiphosph(III)azanen im Vergleich zu dem sterisch anspruchsvolleren 2,4-Diamino-cyclodiphosph(III)azan oder die Planarität des trans-Isomers erklären möchte.

neuer, theoretischer Ansatz beruht auf der Berechnung von Ein Molekülorbitalenergien von Cyclodiphosph(III)azanen mit sterisch wenig Substituenten.¹²² anspruchsvollen Aus diesen thermodynamischen Berechnungen ergibt sich, die *cis*-Isomere eine höhere Bindungsenthalpie besitzen als die *trans*-Isomere.

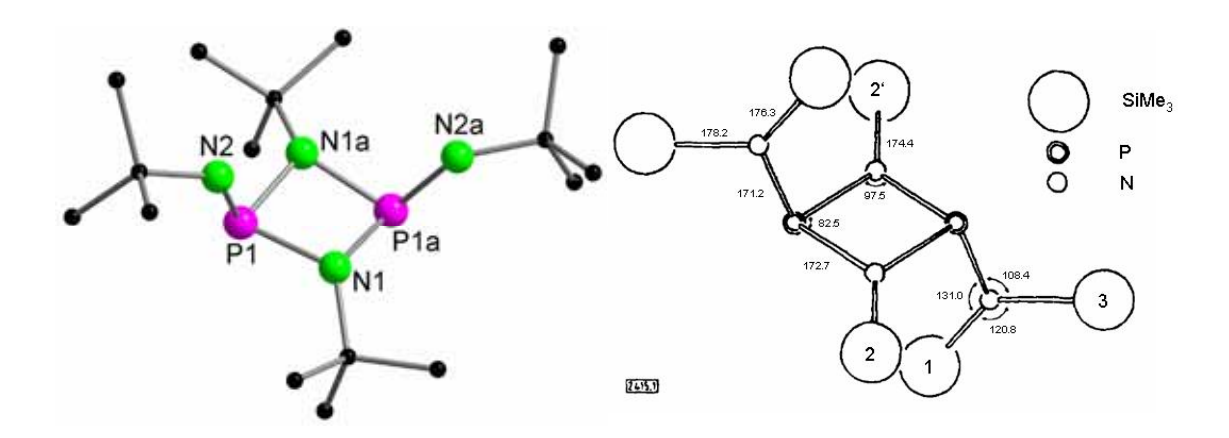


Abbildung 25 Kristallstruktur von cis-[(tBuNH)₂(PNtBu)₂]^{123,124} (links) und trans-[(Me₃Si)₂N)₂(PNSiMe₃)₂]¹¹⁵ (rechts).

So sind die *cis*-Verbindungen, je nach Substituenten, 4-40kJ/mol stabiler als *trans*-Verbindungen. Diese Ergebnisse stehen in gutem Einklang mit der Anwesenheit beider Isomere in Lösung mit einem leichten Überschuss des

cis-Isomers. Dies erklärt außerdem, weshalb hauptsächlich die thermodynamisch bevozugten *cis*-Produkte in kristalliner Form isoliert werden konnten.

Eine genauere Erklärung für die Stabilität des *cis*-Isomeres konnte jedoch nicht gefunden werden. Jedoch sind diese thermodynamischen Tendenzen eng verknüpft mit der verzerrten Struktur des (PN)₂-Ringes. So haben die Cyclodiphosph(III)azane mit der größten, thermodynamischen Stabilität auch die verzerrtesten Ringe. Was auch immer die Verzerrung des (PN)₂-Ringes begünstig, begünstigt also auch die Bildung des *cis*-Isomers und umgekehrt.

Wie im vorangegangenen Abschnitt erläutert sind die cis-Produkte oftmals das thermodynamisch stabilere Isomer, während dessen das trans-Isomer oftmals als kinetisch kontrolliertes Produkt zuerst gebildet wird. Nun stellt sich die Frage, wie sich die trans-Isomere in die entsprechenden cis-Isomere umwandeln. Der plausibelste Mechanismus dieser cis/trans-Isomerisierung ist eine pyramidale Inversion ("vertex"-Inversion) am Phosphoratom. Solche Inversionen sind allgemein für dreiwertige Verbindungen der Gruppe 15 gut untersucht. 125 Neuere theoretische Berechnungen legen jedoch nahe, dass "edge"-Inversionen (T-förmiger sogenannte Übergangszustand Beteiligung des freien Elektronenpaares), z.B. Inversionen am Imino-Stickstoff, ähnliche Aktivierungsenergien besitzen. 126,127 In vielen Fällen ist jedoch die berechnete Aktivierungsenergie für "vertex"-(P)-Inversion höher als bei der "edge"-Inversion. Während die "vertex"- und "edge" Inversion bei intakten Cyclodiphosph(III)azanen auftreten, findet der dritte, denkbare Mechanismus der Interkonversion. nämlich die Cycloreversion Cyclodiphosph(III)azanen unter teilweisem oder vollständigem Bindungsbruch statt. Eine Bindungsrotation und/oder Rekombination dieser Spezies kann dann zu einer Änderung der Geometrie des Isomers führen. 128 Solche Ringöffnungsreaktionen (Cycloreversionen) sind insbesondere bekannt für Cyclodiphosph(III)azane, die sterisch anspruchsvolle Substituenten tragen. Somit muss dieser Prozess als Alternative zu der Isomerisierung des geschlossenen Ringes angesehen werden. 129,130

3.2.2 Überblick Bis(amido)cyclodiphosph(III)azan-Komplexe

Die metallorganische Komplexchemie der Bis(amido)cyclodiphosph(III)azane wird nur durch das cis-Isomer bestimmt. Im Gegensatz z.B. zu den Bisamiden mit Ethyl- oder o-Diphenylbrücke, deren "bite-angle" zu klein ist, um effektiv frühe Übergangsmetalle oder Lanthanoide gegen vielfältige Einflüsse, z.B. Dimerisierung oder Adduktbildung, zu stabilisieren, eignen sich Bis(amido)cyclodiphosph(III)azane als sogenannte dianionische ansa-("A-type")-Liganden³² zur Synthese neuer Katalysatorsysteme. Als Transferreagenz wird überwiegend das Lithiumsalz des Liganden eingesetzt (Abbildung 26).124

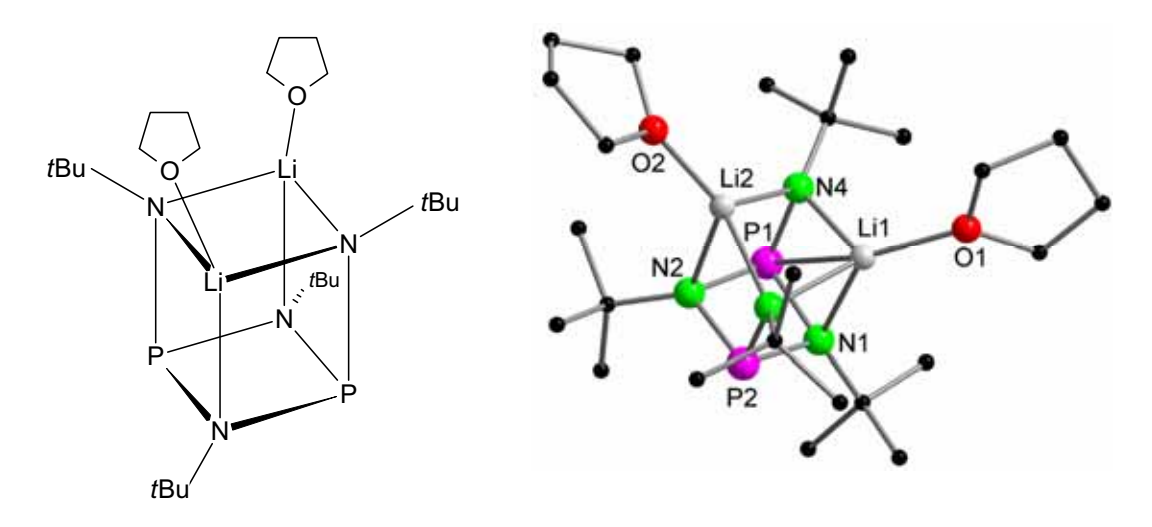


Abbildung 26 Lewis-Struktur (links) sowie Kristallstruktur (rechts) von cis-{(tBuNLi·THF)₂(tBuNP)₂]. 124

Ein großes Problem bei der Verwendung von Lithiumsalzen ist der mögliche Einbau von Lithiumhalogenid in die Koordinationssphäre von Metallkomplexen aufgrund partieller Löslichkeit selbst in unpolaren Lösungsmitteln. Neben der Cokristallisation von Lithiumhalogenid bilden sich oftmals auch unerwünschte "at"-Komplexe vom Typ [(LMX)⁺(LiL)⁻] (M = Metall, L = Ligand(en), x = Halogen). Jeder Versuch, Lithium durch schwerere Alkalimetalle zu ersetzen, scheiterte bislang. So erhält man durch Umsetzung von cis-[(tBuNH)₂(PNtBu)₂] mit Alkalimetallbenzyl PhCH₂M (M = Na, K) ausschließlich das monomere {(tBuN)₂P}-Anion (Abbildung 27). ¹³¹

$$cis$$
-[$(tBuNH)_2(PNtBu)_2$] $\xrightarrow{PhCH_2M}$ $(tBuN)_2PM$]

M = Na. K

Abbildung 27 Synthese des monomeren Alkalimetallsalzes [(tBuN)₂PM]_∞

In situ NMR-spektroskopische Untersuchungen und DFT-Rechnungen belegen, dass die Bevorzugung des Monomers {(tBuN)2P)} bei den schwereren Alkalimetallen thermodynamisch kontrolliert wird, während die cis-[(tBuNLi·THF)₂(PNtBu)₂]¹²⁴ Bildung des Lithiumsalzes des Dimers ist. 131 kinetisch kontrolliert Eine weitere Möglichkeit, Bis(amido)cyclodiphos(III)azankomplexe herzustellen, ist die Aminolyse von polaren E-X-Bindungen mit dem Neutralliganden in Gegenwart eines tertiären Amines. Diese Methode ist besonders für redoxempfindliche Systeme geeignet (Abbildung 28).

R = Ph, o-Tol, m-Tol

Abbildung 28 Aminolyse von polaren E-X-Bindungen mit dem Neutralliganden und TiCl₄.

Die letzte Möglichkeit ist bisher auf die Elemente der Gruppe 14 beschränkt. So ergibt die Redox-Transmetallierung von zweiwertigen $Bis(amido)cyclodiphos(III)azankomplexen der Gruppe 14 mit homologen Elementtetrachloriden <math>EX_4$ (E = Ge, Sn) die entsprechenden vierwertigen Verbindungen (Abbildung 29).

$$tBu$$
 tBu
 tBu

Abbildung 29 Redox-Transmetallierung am Beispiel der schweren Elemente der Gruppe 14.

Die dargestellten Bis(amido)cyclodiphosph(III)azan-Verbindungen können in wesentliche Strukturtypen eingeteilt werden (Abbildung Verbindungen mit zwei koordinierten einwertigen Hauptgruppenelementen besitzen eine heterokubische Struktur (Typ I), in welcher alle Ecken des Kubus durch "anorganische" Elemente besetzt sind. Da jedoch die Atome unterschiedliche Ionenradien besitzen, ist die C_{2v}-Symmetrie Heterokubus oftmals stark verzerrt. Cyclodiphosph(III)azanverbindungen mit nur einem chelatisierten Element nehmen eine der beiden idealisierten Strukturtypen II oder III ein. Bei dem C_s -symmetrischen Strukturtyp II besetzt

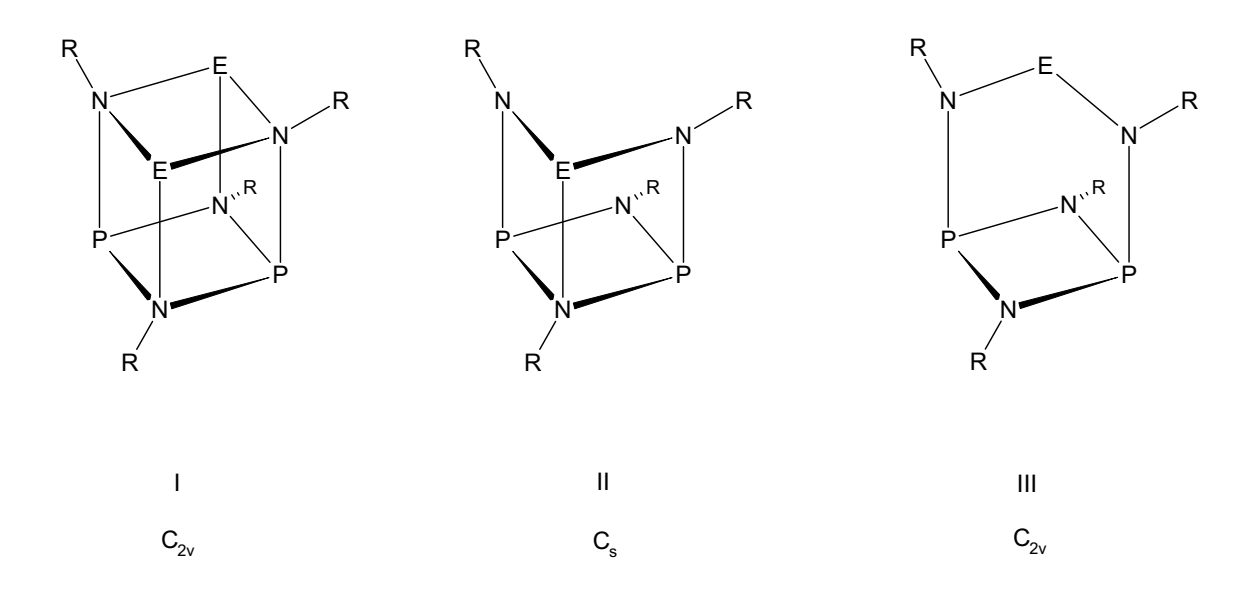


Abbildung 30 Einteilung der Bis(amido)cyclodiphosph(III)azan-Verbindungen in drei wesentliche Strukturtypen.

das Element nur eine Ecke des Heterokubus, während die andere Ecke unbesetzt bleibt. Dieser Strukturtyp wird manchmal auch als *seco*-Heterokubus bezeichnet. Im Strukturtyp III nimmt das koordinierte Element den Platz über dem Schwerpunkt des $(PN)_2$ -Ringes ein. Nur falls das koordinierte Element zwei gleiche, exozyklische Substituenten besitzt, ist die Verbindung (idealisiert) $C_{2\nu}$ -symmetrisch, sonst besitzt sie ebenfalls C_s -Symmetrie. Die meisten Bis(amido)cyclodiphosph(III)azanverbindungen besitzen jedoch Strukturtypen, die zwischen den beiden Grenzstrukturen II und III liegen.

3.2.3 Bis(*t*-butylamido)cyclodiphosph(III)azan-Lanthanoid-Komplexe mit Lithiumchlorid in der Ligandsphäre

3.2.3.1 Synthese von cis-[{(tBuN)₂(PNtBu)₂}Ln(Cl₂){Li(THF)₄}] (Ln = Y (**3a**), Ho (**3b**) und Er (**3c**))

Um das Koordinationsverhalten von Bis(amido)cyclodiphosph(III)azanen in der Organolanthanoidchemie zu untersuchen, wurde das Lithiumsalz von *cis*-[(*t*BuNH)₂(PN*t*Bu)₂]¹²⁴ mit den Seltenerdmetallchloriden umgesetzt. Das Lithiumsalz wurde ausgewählt, da die Synthese sehr einfach ist und die entsprechenden Verbindungen leicht kristallisieren. Die Umsetzung von LnCl₃ (Ln = Y (3a), Ho (3b) und Er (3c)) mit *cis*-[(*t*BuNLi·THF)₂(PN*t*Bu)₂]¹²⁴ in THF und anschließender Extraktion mit Toluol liefert nach der Kristallisation der Verbindungen aus THF/*n*-Pentan (1:3) die anionischen "*at*"-Komplexe 3a-3c (Abbildung 31).

$$LnCl_{3} + cis-[(tBuNLi·THF)_{2}(PNtBu)_{2}] \xrightarrow{1. THF, \Delta \\ 2. Toluol} - LiCl$$

$$Ln = Y (3a), Ho (3b), Er (3c)$$

Abbildung 31 Syntheseroute zur Darstellung der Komplexe 3a-3c.

Die Verbindungen **3a-3c** wurden mittels 1 H- und 31 P{ 1 H}-NMR-Spektroskopie sowie Ramanspektroskopie und Elementaranalyse charakterisiert. Die Molekülstrukturen von **3b-3c** im Festkörper wurden durch Einkristallröntgenstrukturanalyse aufgeklärt. Im 1 H-NMR-Spektrum der diamagnetischen Verbindung **3a** findet man die erwarteten Signale für die t-Butylgruppen bei δ 1.26ppm und δ 1.39ppm. Im 31 P{ 1 H}-NMR-Spektrum

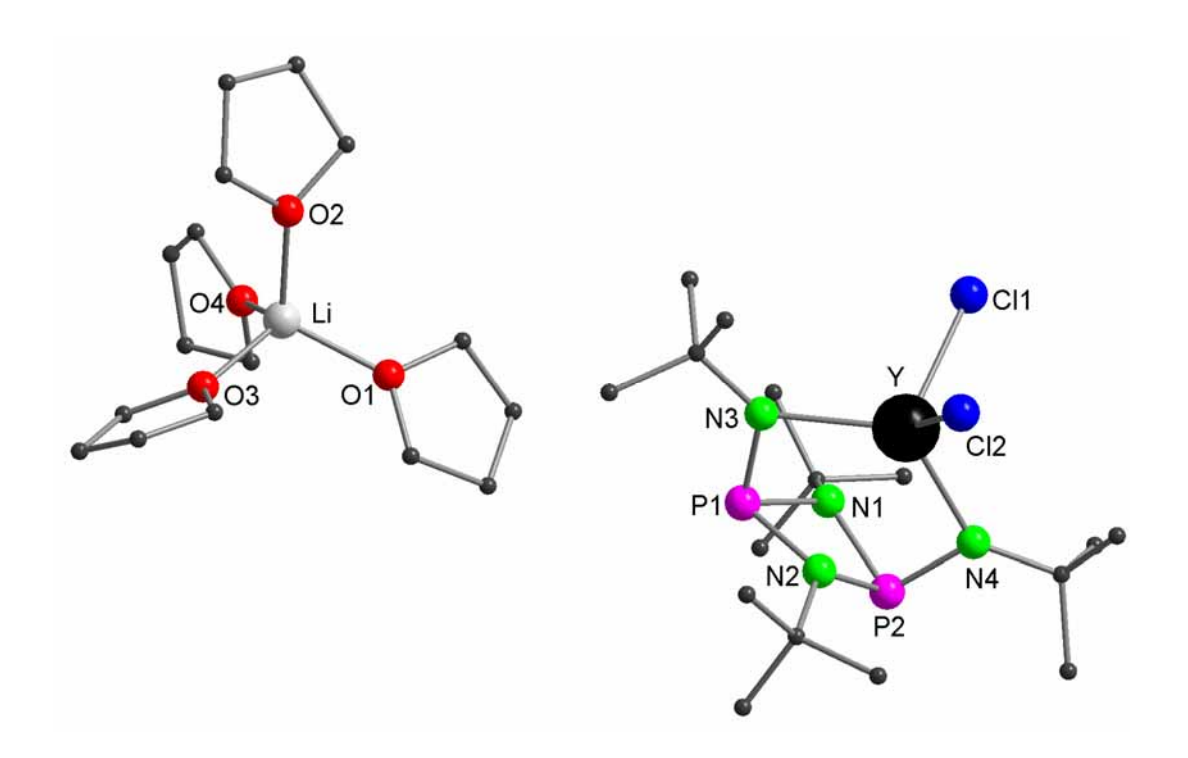


Abbildung 32 Molekülstruktur von 3a im Festkörper (ohne Darstellung der Wasserstoffatome). Ausgewählte Abstände [pm] und Winkel [°] (auch für isostrukturelle Verbindungen 3b,3c): 3a: Y-N3 228.7(5), Y-N4 226.4(5), Y-Cl1 256.3(2), Y-Cl2 256.3(2), P1-N1 177.9(4), P1-N2 178.4(5), P1-N3 164.3(5), P2-N1 177.8(5), P2-N2 178.55), P2-N4 164.4(5), P1-P2 272.9(0), Cl1-Y-CL2 100.79(7), N3-Y-N4 123.0(2), Y-N3-P1 95.2(2), Y-N4-P2 96.2(2), N1-P1-N2 77.7(2), N1-P2-N2 77.7(2). 3b: Ho-N3 227.5(3), Ho-N4 226.3(3), Ho-Cl1 255.71(9), Ho-Cl2 255.92(10), P1-N1 177.8(3), P1-N2 177.9(3), P1-N3 164.7(3), P2-N1 178.2(3), P2-N2 177.6(3), P2-N4 164.4(3), P1-P2 272.9(5), Cl1-Ho-Cl2 101.27(4), N3-Ho-N4 123.16(10), Ho-N3-P1 95.62(12), Ho-N4-P2 96.11(13), N1-P1-N2 77.60(12), N1-P2-N2 77.56(11). 3c: Er-N3 226.7(3), Er-N4 225.2(3), Er-Cl1 254.32(11), Er-Cl2 254.50(10), P1-N1 178.1(3), P1-N2 177.5(3), P1-N3 164.5(3), P2-N4 164.5(3), P2-N1 178.0(3), P2-N2 178.1(3), P1-P2 272.7(3), Cl1-Er-Cl2 101.25(4), N3-Er-N4 123.71(10), Er-N3-P1 95.38(13), Er-N4-P2 95.97(13), N1-P1-N2 77.74(13), N1-P2-N2 77.62(12).

beobachtet man das charakteristische Signal des {(tBuN)2(PNtBu)2}2-Liganden bei δ 91.6ppm. Zum Vergleich beobachtet man das ³¹P{¹H}-NMR-Signal vom freien Liganden *cis*-[(tBuNLiH)₂(PNtBu)₂] bei δ 88.5ppm und vom Lithiumsalz *cis*-[(*t*BuNLi·THF)₂(PN*t*Bu)₂] bei δ 159.6ppm.¹²⁴ Beispielsweise ³¹P{¹H}-NMR-Signale verschiedener findet man Bis(amido)cyclodiphosph(III)azan-Titan oder -Zirkoniumkomplexe in einem Bereich von δ 100-115ppm. ^{143,147}

Die Verbindungen 3a-3c kristallisieren in der orthorhombischen Raumgruppe Pbca mit acht Molekülen Komplex in der Elementarzelle (Abbildung 32). Die Seltenerdatome sitzen wie in den Übergangsmetallkomplexen jeweils über dem Schwerpunkt des (PN)₂-Ringes und entsprechen somit dem Strukturtyp III (Kapitel 3.2.2). Da zwei gleiche Atome gebunden sind, ist die Geometrie des Anions C_{2v}-symmetrisch. Das Kation ist von vier Molekülen THF tetraedrisch umgeben. Eine solche Anordnung wird für lithiumhaltige "at"-Komplexe recht häufig beobachtet. 132,133 Die Abstände der Zentralatome zu den Amido-Stickstoffatomen N3 und N4 sind untereinander recht ähnlich (Y-N3 228.7(5) pm und Y-N4 226.4(5)pm (3a), Ho-N3 227.5(3)pm und Ho-N4 226.3(3)pm (3b), Er-N3 226.7(3)pm und Er-N4 225.2(3)pm (3c)). Bei den entsprechenden Bindungswinkeln beobachtet man den gleichen Trend (N3-Y-N4 123.0(2)° (**3a**), N3-Ho-N4 123.16(10)° (**3b**), N3-Er-N4 123.71(10)° (**3c**)). Neutralliganden *cis*-[(*t*BuNH)₂(PN*t*Bu)₂] sind die Vergleich zum Bindungsabstände im dianionischen Fragment {(tBuN)2(PNtBu)2}2- kaum verändert. Die Bindungswinkel N1-P1-N2 und N1-P2-N2 sind im Vergleich zum Neutralliganden jedoch verringert (N1-P1-N2 77.7(2)° und N1-P2-N2 77.7(2)° (3a), N1-P1-N2 77.60(12)° und N1-P2-N2 77.56(11)° (3b), N1-P1-N2 77.74(13)° und N1-P2-N2 77.62(12)° (**3c**) vs. 80.87(10)° in [(tBuNH)2(PNtBu)2]), was für eine "Streckung" des (PN)2-Zyklus in P-P-Richtung spricht (P1-P2 272.9(0)pm (3a), P1-P2 272.9(5)pm (3b), P1-P2 272.7(3)pm (**3c**)).

3.2.3.2 Synthese von cis-[{(tBuN)₂(PNtBu)₂}SmCl₃Li₂THF₂] (4)

Die Umsetzung von SmCl₃ mit *cis*-[(*t*BuNLi·THF)₂(PN*t*Bu)₂]¹²⁴ in THF und anschließender Extraktion mit Toluol liefert nach der Kristallisation der Verbindungen aus THF/*n*-Pentan (1:3) den Komplex **4** (Abbildung 33).

$$SmCl_{3} + cis-[(tBuNLi\cdot THF)_{2}(PNtBu)_{2}]$$

$$1. THF, \Delta$$

$$2. Toluol$$

$$tBu N tBu$$

$$P P$$

$$tBu N$$

Abbildung 33 Synthese von *cis*-[{(tBuN)₂(PNtBu)₂}SmCl₃Li₂THF₄] **4**.

Die Molekülstruktur im Festkörper durch wurde Einkristallröntgenstrukturanalyse aufgeklärt (Abbildung 34). Die Verbindung kristallisiert in der monoklinen Raumgruppe P2₁/c mit vier Molekülen Komplex in der Elementarzelle. Im Gegensatz zu den Verbindungen 3a-3c koordinieren zwei Moleküle LiCl an das Zentralmetall. Das Samariumatom ist tetraedrisch von den beiden Iminoatomen des Liganden und zwei Chloratomen umgeben. Im Vergleich zu den anionischen Komplexen 3a-3c sind die Bindungslängen (Sm-N3 233.2(5)pm, Sm-N4 234.2(6)pm, Sm-Cl1 274.2(2)pm, Sm-Cl2 274.2(2)pm) verlängert, was durch den sterischen Anspruch des zusätzlich gebundenen Lithiumchlorides begründet wird. Der entsprechende Bindungswinkel N3-Sm-N4 119.3(2)° ist im Vergleich zu den Verbindungen 3a-3c verkleinert.

Die beiden Lithiumchlorid-Moleküle werden im Kristall so angeordnet, dass ein sechsgliedriger Cl-Li-Cl-Sm-Metallazyklus gebildet wird, in dem die Plätze im Ring abwechselnd mit einem Chlor-Atom und einem Metallatom besetzt werden. Der Ring liegt in einer Wannenkonformation vor, wobei das zentrale Chloratom (Cl3) und das Lanthanoidatom aus der nahezu planaren

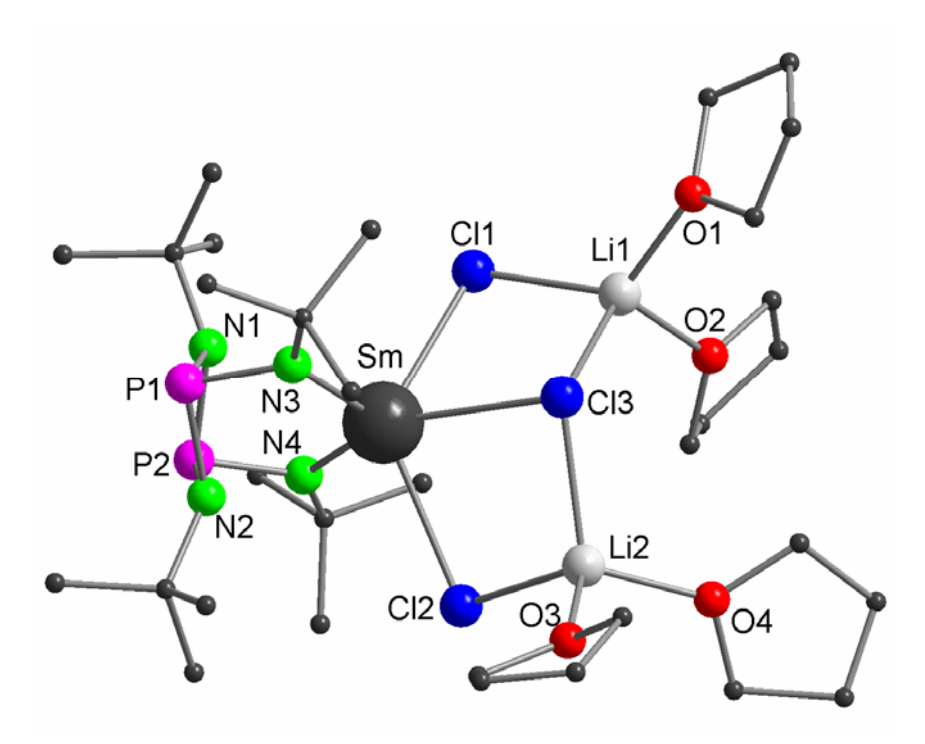


Abbildung 34 Molekülstruktur von **4** im Festkörper (ohne Darstellung der Wasserstoffatome). Ausgewählte Abstände [pm] und Winkel [°]: Sm-Cl1 274.2(2), Sm-Cl2 274.2(2), Sm-Cl3 291.8(2), Sm-N3 233.2(5), Sm-N4 234.2(6), Cl1-Li1 231(2), Cl3-Li1 235(1), Cl2-Li2 227(1), Cl3-Li1 235(1), Cl3-Li2 234(1), N3-P1 165.3(6), N4-P2 162.5(7); Cl1-Sm-Cl2 123.53(7), N3-Sm-N4 119.3(2), Sm-N3-P1 96.2(3), Sm-N4-P2 96.7(3), Sm-Cl1-Li1 94.3(3), Sm-Cl2-Li2 96.4(3), Li1-Cl3-Li2 125.7(5), Cl1-Li1-Cl3 97.1(5), Cl2-Li2-Cl3 96.9(5).

Li $_2$ Cl $_2$ -Ebene herausragen. Die Wannenkonformation kann durch eine schwache Wechselwirkung des Samariumatoms mit dem Chloratom analog zu den beobachteten Wechselwirkungen in den Seltenerdamidenkomplexen [Ln $\{N(SiHMe_2)_2\}_2\{CH(PPh_2NSiMe_3)_2\}$] (Kapitel 3.1.3) erklärt werden. Eine ähnliche Anordnung findet man im Cp´-SiMe $_2$ -Allenyl/Propargyl-Komplex [$\{(Me_3Si)_2(C_5H_2)\}SiMe_2(\eta^3-C=C=C[H]SiMe_3)\}SmCl_3Li_2(TMEDA)_2$]. Der Abstand des Samariumatomes zum zentralen Chloratom Cl3 beträgt 291.8(2)pm, was im Vergleich zu den gebundenen Cloratomen Cl1 und Cl2 (Sm-Cl1 274.2(2)pm, Sm-Cl2 274.2(2)pm) deutlich auf eine Wechselwirkung zwischen diesen beiden Atomen hinweist.

3.2.3.3 Synthese von cis-[{(tBuN)₂(PNtBu)₂}Y{(NPh_2)₂}{Li(THF)₄}] (**5**)

Die Umsetzung von *cis*-[{(*t*BuN)₂(PN*t*Bu)₂}Y(Cl₂){Li(THF)₄}] **3a** mit zwei Äquivalenten Kaliumdiphenylamid KNPh₂¹³⁵ in THF und anschließender Extraktion mit Toluol liefert nach der Kristallisation der Verbindungen aus THF/*n*-Pentan (1:3) den Komplex **5** (Abbildung 35).

Abbildung 35 Synthese von $cis-[\{(tBuN)_2(PNtBu)_2\}Y\{(NPh_2)_2\}\{Li(THF)_4\}]$ **5**.

Die Verbindung 5 wurde mittels ¹H- und ³¹P{¹H}-NMR-Spektroskopie sowie Ramanspektroskopie und Elementaranalyse charakterisiert. Die 5 Molekülstruktur von im Festkörper wurde durch aufgeklärt. Einkristallröntgenstrukturanalyse Im ¹H-NMR-Spektrum der diamagnetischen Verbindung findet man die erwarteten Signale für die t-Butylgruppen bei δ 1.00ppm und δ 1.22ppm sowie für den Phenylbereich bei δ 6.2-6.9ppm. Im ³¹P{¹H}-NMR-Spektrum beobachtet man das charakteristische Signal des Liganden bei δ 127.6ppm. Während die chemischen Verschiebungen der t-Butylgruppen in der Größenordnung des Eduktes 3a liegen, ist das Phosphorsignal deutlich tieffeldverschoben.

Die Verbindung **5** kristallisiert in der monoklinen Raumgruppe $P2_1/c$ mit vier Molekülen Komplex in der Elementarzelle (Abbildung 36). Die Struktur des Anions $\{(tBuN)_2(PNtBu)_2\}Ln\{(NPh_2)_2\}\}^-$ leitet sich von der Kristallstruktur des Eduktes **3a** ab (Kapitel 3.2.3.1) und lässt sich am besten vergleichen mit der Kristallstruktur von cis-[$\{(tBuN)_2(PNtBu)_2\}MCl_2$] (M = Zr, Hf). Das Seltenerdatom ist tetraedrisch von den vier Stickstoffatomen der Liganden umgeben. Im Gegensatz zu den Verbindungen **3a-3a** besetzt das Yttriumatom

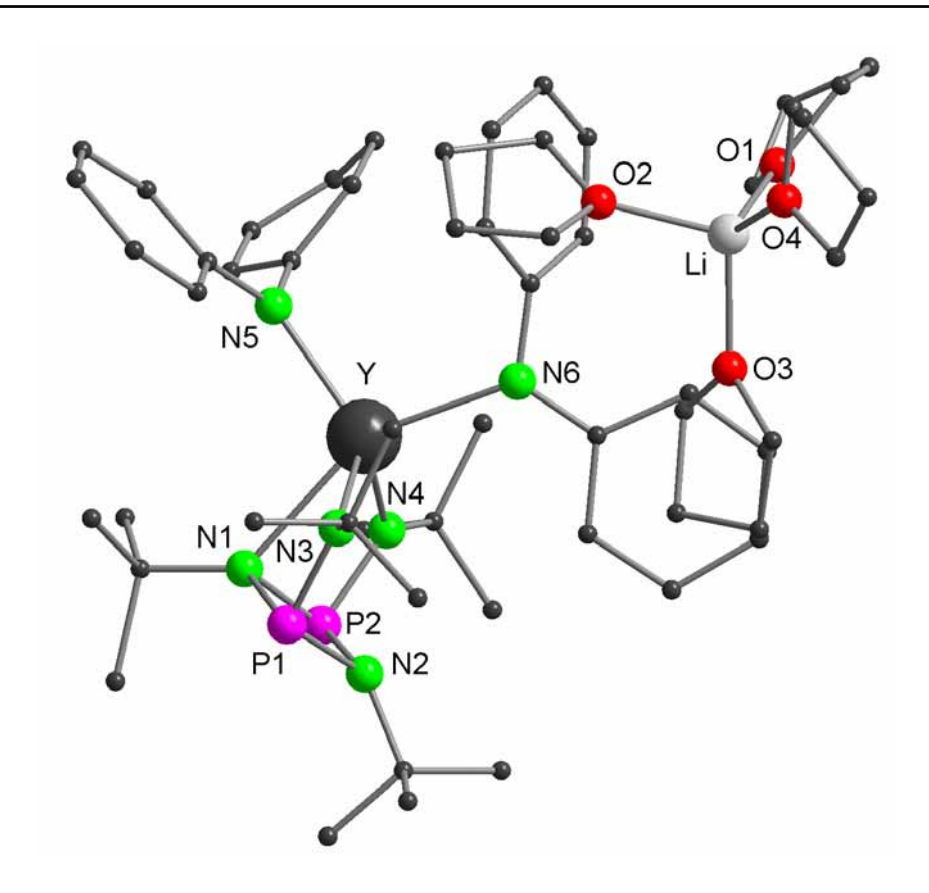


Abbildung 36 Molekülstruktur von **5** im Festkörper (ohne Darstellung der Wasserstoffatome). Ausgewählte Abstände [pm] und Winkel [°]: Y-N1 254.4(4), Y1-N2 337.2(1), Y-N3 227.1(5), Y-N4 225.3(4), Y-N5 229.4(5), Y-N6 234.8(5), P1-N1 177.0(5), P1-N2 172.9(6), P1-N3 167.2(5), P2-N1 178.0(5), P2-N2 173.9(6), P2-N4 167.4(5), P1-P2 267.1(2), N3-Y-N4 108.8(2), N5-Y-N6 106.3(2), Y-N3-P1 103.5(2), Y-N4-P2 103.7(2), P1-N1-P2 97.6(2), P1-N2-P2 100.7(3), N1-P1-N2 81.0(2), N1-P2-N2 80.4(2).

eine Ecke des Heterokubus und entspricht somit dem Strukturtyp II (Kapitel 3.2.2). Das Li-Kation ist wie in den Verbindungen 3a-3c von vier Molekülen THF tetraedrisch umgeben. Eine solche Anordnung wird ebenfalls für den homoleptischen, lithiumhaltigen "at"-Komplex [{(Ph₂N)₄}Y{Li(THF)₄}] beobachtet.¹³³ Die Bindungslängen Y-N5 (229.4(5)pm) und Y-N6 (234.8(1)pm) liegen in der Größenordnung der Y-N-Abstände innerhalb des homoleptischen (224.4(3)pm bis 227.1(3)pm). Aufgrund Komplexes des Koordinationsmodus des Seltenerdatoms in 5 beobachtet man im Vergleich Verbindung 3a veränderte Bindungsabstände {(tBuN)₂(PNtBu)₂}²⁻. Am deutlichsten fallen die Abstände der endozyklischen Stickstoffatome zum Yttriumatom auf. Der Abstand N1-Y ist durch die

Koordination des Metalls deutlich kürzer (254.4(5)pm) als der Abstand Y1-N2 (337.2(1)pm). Die Abstände Y-N3 und Y-N4 liegen in der vergleichbaren Größenordnung der Abstände in **3a**. Die Abstände P1-N3 und P2-N4 sind im Vergleich zu **3a** verlängert (167.2(5)pm und 167.4(5)pm (**5**) vs. 164.3(5)pm und 164.4(5)pm (**3a**)). Die Abstände der Phosphoratome P1 und P2 zum koordinierenden Stickstoffatom N1 sind größer als die Abstände zum nichtkoordinierenden Stickstoffatom N2 (P1-N1 177.0(5)pm und P2-N1 178.0(5)pm vs. P1-N2 172.9(6)pm und P2-N2 173.9(6)pm). Die Bindungswinkel N1-P1-N2 und N1-P2-N2 sind im Vergleich zu **3a** vergrößert, was für eine "Stauchung" des (PN)₂-Zyklus in P-P-Richtung spricht (Abstand P1-P2: 267.1(2)pm (**5**) und 272.9(0)pm (**3a**)).

3.2.4 Synthese von cis-[{(tBuN)₂(PNtBu)₂}LnCI·THF] (Ln = Y (6a), La (6b) und Sm (6c))

Die Synthese der Verbindungen erfolgte durch Umsetzung des Lithiumsalzes des Liganden mit wasserfeiem Lanthanoidtrichlorid in THF. Um zu den Lithiumchlorid-freien Metallkomplexen zu gelangen, war es notwendig, die "at"-Komplexe vom Typ **3a-3c** vor der Extraktion in Toluol zur Siede zu erhitzen. Dabei wird der anionische "at"-Komplex zerstört. Es wurde eine unterschiedlich schnelle Zerfallszeit festgestellt. Während der Yttrium-Komplex in Toluol mehrmals zur Siede erhitzt werden muss, was durch NMR-Untersuchungen verfolgt wurde (zwei Signale im 31 P{ 1 H}-NMR-Spektrum bei 31 P6 91.6ppm für (Li-Komplex) und 31 P7 99.7ppm für (Li-freier Komplex) mit unterschiedlicher Intensität), können die anderen Verbindungen mit deutlich kürzerer Reaktionszeit erhalten werden (Abbildung 37).

$$LnCl_{3} + cis-[(tBuNLi\cdot THF)_{2}(PNtBu)_{2}]$$

$$Ln = Y (6a), La (6b), Sm (6c)$$

$$1. THF, \Delta$$

$$2. Toluol, \Delta$$

$$-2 LiCl$$

$$P$$

$$P$$

$$tBu$$

$$N$$

$$P$$

$$tBu$$

$$N$$

$$P$$

$$tBu$$

$$N$$

$$P$$

$$P$$

Abbildung 37 Synthese der Bis(*t*-butylamido)cyclodiphosph(III)azan-Komplexe **6a-6c**.

Die Verbindungen **6a-6c** wurden mittels 1 H- und 31 P{ 1 H}-NMR-Spektroskopie sowie Ramanspektroskopie und Elementaranalyse charakterisiert. Die Molekülstrukturen von den drei Verbindungen **6a-6c** im Festkörper wurden durch Einkristallröntgenstrukturanalyse aufgeklärt. Im 1 H-NMR- Spektrum der diamagnetischen Verbindungen **6a** und **6b** findet man die erwarteten Signale für die t-Butylgruppen bei δ 1.23ppm und δ 1.37ppm (**6a**) bzw. δ 1.24pm und δ 1.35pm (**6b**). Im 31 P{ 1 H}-NMR-Spektrum beobachtet man die

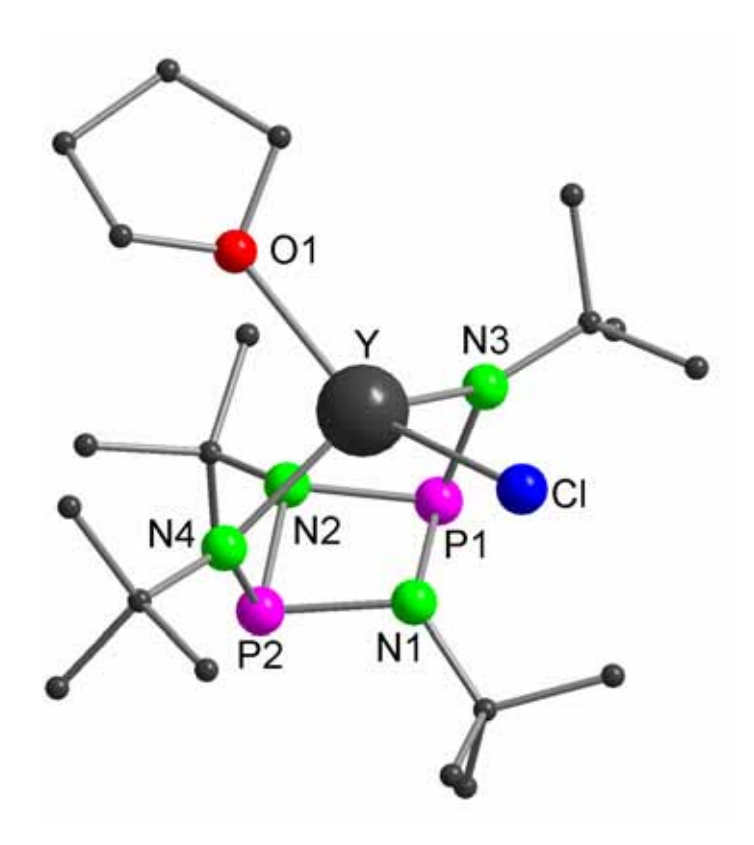


Abbildung 38 Molekülstruktur von **6a** im Festkörper (ohne Darstellung der Wasserstoffatome). Ausgewählte Abstände [pm] und Winkel [°] (auch für isostrukturelle Verbindungen **6b** und **6c**): **6a**: Y-N3 227.3(3), Y-N4 225.9(3), Y-Cl 273.46(10), Y-O 242.6(2), P1-N1 178.2(3), P1-N2 178.0(3), P2-N1 178.0(3), P2-N2 178.0(3), P1-N3 166.0(3), P2-N4 166.1(3); Cl-Y-O 144.58(6), Y-N3-P1 95.29(12), Y-N4-P2 95.79(12) N3-Y-N4 123.66(9), N1-P1-N2 78.52(12), N1-P2-N2 78.58(12). **6b**: La-N3 237.4(6), La-N4 236.1(6), La-Cl 288.1(3), La-O 261.0(5), P1-N1 178.3(6), P1-N2 177.8(6), P2-N1 177.5(6), P2-N2 178.2(6), P1-N3 166.6(6), P2-N4 166.0(5); Cl-La-O 145.97(12), La-N3-P1 97.9(3), La-N4-P2 98.7(3), N3-La-N4 116.6(2), N1-P1-N2 78.7(3), N1-P2-N2 78.8(3). **6c**: Sm-N3 231.1(3), Sm-N4 229.6(3), Sm-Cl 278.69(10), Sm-O 251.3(3), P1-N3 166.1(3), P1-N1 178.0(3), P1-N2 177.6(3), P2-N1 177.6(3), P2-N2 177.7(3), P2-N4 166.6(3); Cl-Sm-O 145.61(6), Sm-N3-P1 96.36(12), Sm-N4-P2 96.89(12), N3-Sm-N4 120.91(9), N1-P1-N2 78.59(12), N1-P2-N2 78.65(12).

charakteristischen Signale des $\{(tBuN)_2(PNtBu)_2\}^{2-}$ Liganden der Verbindungen **6a** und **6b** bei δ 99.7ppm und δ 93.2ppm.

Die Verbindungen **6a-6c** kristallisieren in der triklinen Raumgruppe $P\bar{1}$ mit zwei Molekülen Komplex in der Elementarzelle (Abbildung 38). Die Struktur lässt sich am besten mit der Struktur des Anions $\{\{(tBuN)_2(PNtBu)_2\}LnCl_2\}LnCl_2\}$ (Ln = Y (**3a**), Er (**3b**), Ho (**3c**)) vergleichen (Kapitel 3.2.3.1). Das Seltenerdatom ist ebenfalls tetraedrisch von den verschiedenen Liganden umgeben (Strukturtyp III), jedoch ist die Struktur C_s -symmetrisch, da neben den beiden Iminoatomen des Liganden ein Chloratom und ein THF-Molekül gebunden sind. (Kapitel 3.2.2). Die Abstände innerhalb der Komplexe **6a-6c** sind recht ähnlich. Im Vergleich zum Neutralliganden cis-[(tBuNH)₂(PNtBu)₂] sind die Bindungsabstände wie in den anionischen Komplexen **3a-3c** kaum verändert. Die Bindungswinkel N1-P1-N2 und N1-P2-N2 sind jedoch verringert, was für eine "Streckung" des (PN)₂-Zyklus entlang der P-P-Achse spricht. Die Bindungswinkel N3-Ln-N4 nehmen mit steigendem Ionenradius des Zentralmetalls ab ($123.66(9)^\circ$ (**6a**), $116.6(6)^\circ$ (**6b**), $120.91(9)^\circ$ (**6c**)), während die Bindungswinkel O-Ln-Cl nahezu konstant bleiben.

3.3 Bis(*t*-butylamido)cyclodiphosph(III)azan-Aluminiumalkyl-Addukte

3.3.1 Aluminiumalkyle als Lewis-Säure

Obwohl hochreaktive Aluminiumalkyle seit mehr als hundert Jahren bekannt sind, rückten diese Verbindungen erst durch die Arbeiten von Ziegler in den 50er Jahren des letzten Jahrhunderts in den Vordergrund des Interesses. Ein Grund ist die langjährige Beschränkung auf das Lösungsmittel Diethylether, welches die elektrophile Reaktivität von Monomeren R₃Al durch Bildung von R₃Al·Et₂O mindert.¹⁴ Daran erkennt man die entscheidende Rolle der Adduktbildung in der Organoaluminiumchemie. Aluminiumorganyle sind stärkere Lewis-Säuren als vergleichbare Bororganyle und werden nach dem HSAB-Konzept von Pearson³¹ zu den harten Säuren gezählt. Der Befund,

dass innerhalb der Gruppe 13 nur die Aluminiumorganyle dimere Komplexe ausbilden, erklärt ebenfalls den hohen Lewis-sauren Charakter dieser Verbindungen. Die Lewis-Basizität gegenüber AlMe₃ verschiedenen Lewis-Basen zeigt (Abbildung 39).¹⁴

$$Me_3N > Me_3P > Me_3As > Me_2O > Me_2S > Me_2Se > Me_2Te$$

harte Basen weiche Basen

Abbildung 39 Relative Reaktivität verschiedener Lewis-Basen gegenüber AlMe₃.

Die Reaktion der weichen Lewis-Basen Me₂Se und Me₂Te mit AlMe₃ führt zu kompliziert zusammengesetzten Gleichgewichtsgemischen, da die Stärke der Al-Me-Al-Brücke mit der Lewis-Säure/Base-Wechselwirkung vergleichbar ist. Die Reaktion von Aluminiumalkylen mit tertiären Aminen endet im Allgemeinen mit der Adduktbildung, im Falle von sekundären und primären Aminen schließen sich jedoch Folgereaktionen an (Abbildung 40):

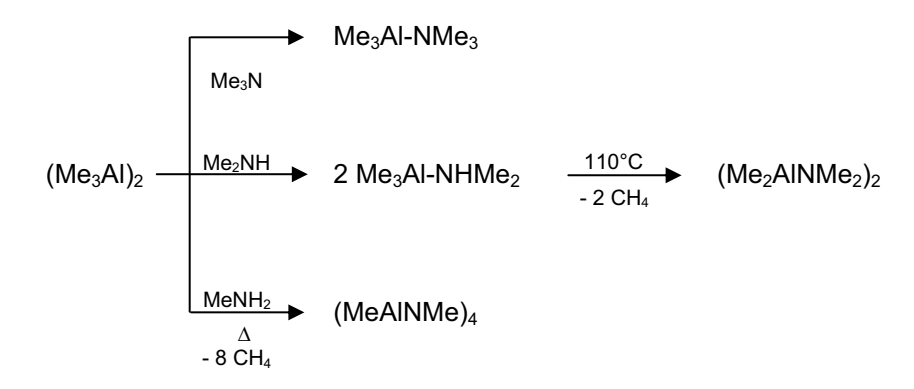


Abbildung 40 Reaktion von AlMe₃ mit den Lewis-Basen Me₃N, Me₂NH und MeNH₂.

Die Lewis-Säure/Base-Wechselwirkung erhöht in dem obigen Beispiel den Carbanionencharakter der Methylgruppe sowie die NH-Azidität. Dadurch wird die Eliminierung von Methan gefördert. Addukte von Aluminiumorganylen mit ungesättigten Lewis-Basen können sich unter Alkylgruppenwanderung so umlagern, dass letztlich eine Carbaluminierung bewirkt wird. Mit Nitrilen werden auf diese Weise dimere Bis(organo)aluminiumketimide gebildet (Abbildung 41).¹⁴

$$(\text{Me}_3\text{Al})_2 \xrightarrow{\text{tBuCN}} \text{tBu} \xrightarrow{\text{C}} \text{N} \xrightarrow{\text{AlMe}_2} \xrightarrow{\Delta} \text{Me} \xrightarrow{\text{N}} \text{N} \xrightarrow{\text{Al}} \text{N} \xrightarrow{\text{Me}} \text{Me}$$

Abbildung 41 Adduktion von AlMe₃ an Pivalonitril tBuCN.

Lewis-azider als neutrale Aluminiumorganyle sind die Bis(organo)aluminiumkationen R_2AI^+ . Die Isolierung solcher Kationen gelingt, ähnlich wie für R_2B^+ -Kationen, nur als Addukt an Lewis-Basen. In dem Komplex [AIMe₂-[15] Krone-5] $^+$ ist das Kation Me₂AI $^+$ nahezu zentrisch platziert (Abbildung 42 links). Im Gegensatz dazu nimmt das Me₂AI $^+$ - Kation in dem größeren Liganden [18]-Krone-6 eine exzentrische Position ein (Abbildung 42 rechts).

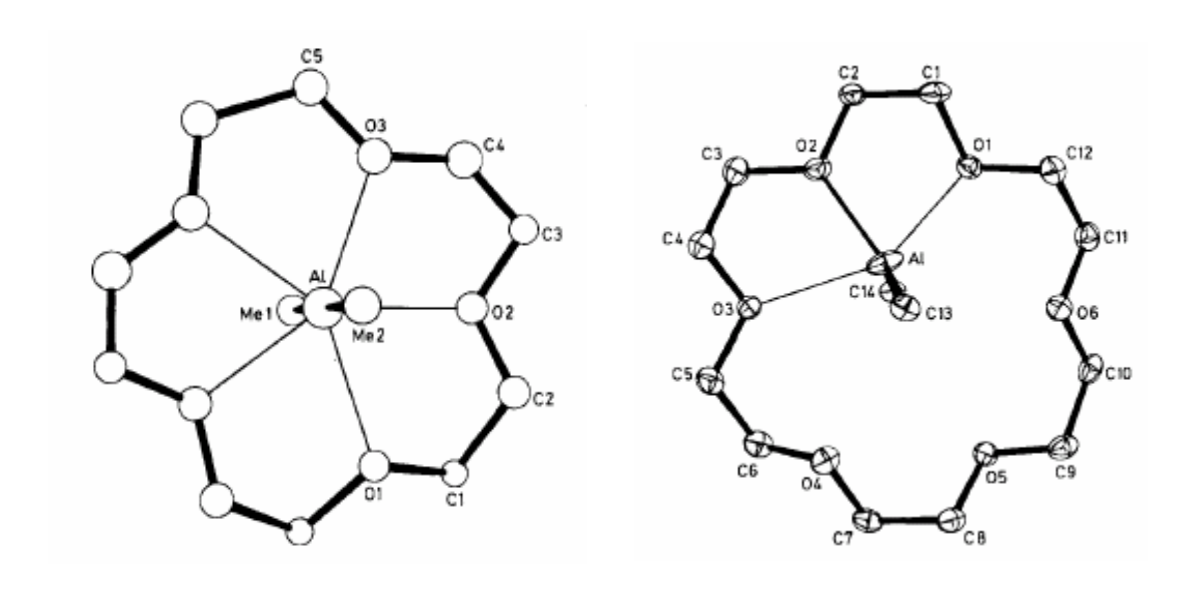


Abbildung 42 Struktur des Kations von $[AlMe_2-[15]$ Krone- $5]^+[AlMe_2Cl_2]^-$ (links) und $[AlMe_2-[18]-Krone-6]^+[AlMe_2Cl_2]^-$ (rechts) im Kristall.

3.3.2 Synthese von cis-[(tBuNH)₂(PNtBu)($P(\cdot AlMe_2X)NtBu$)] (X = Me (7a), CI (7b) und Br (7c))

Wie in Kapitel 3.3.1 erläutert, sind Aluminiumalkyl-Addukte ein wichtiger Bestandteil in der Organoaluminiumchemie. Die Umsetzung von einem Äquivalent cis-[$(tBuNH)_2(PNtBu)_2$]¹²⁴ mit einem Äquivalent AlMe₂X (X = Me (**7a**), Cl (**7b**) und Br (**7c**)) in Toluol liefert das Lewis-Säure/Base-Paar cis-[$(tBuNH)_2(PNtBu)(\{P(\cdot AlMe_2X)NtBu)\}$] (X = Me (**7a**), Cl (**7b**) und Br (**7c**)) in guten Ausbeuten (Abbildung 43).

Abbildung 43 Synthese der Aluminiumalkyl-Addukte des Liganden *cis*-[(*t*BuNH)₂(PN*t*Bu)₂].

Die Verbindungen **7a-7c** wurden mittels ¹H- und ³¹P{¹H}-NMR-Spektroskopie und Elementaranalyse charakterisiert. Die Molekülstrukturen von **7a-7c** im Festkörper wurden durch Einkristallröntgenstrukturanalyse aufgeklärt. Aufgrund von Fehlordnungen und schlechter Qualität des Datensatzes kann die Struktur von **7c** nicht abschließend verfeinert werden, obwohl die Zellkonstanten mit den Verbindungen **7a** und **7b** nahezu übereinstimmen. Somit ist eine Aussage über Bindungslängen und Winkel nur eingeschränkt möglich.

Im 1 H-NMR-Spektrum beobachtet man für die Protonen in den Verbindungen **7a** und **7b** eine ähnliche Verschiebung wie in cis-[(tBuNH)₂(PNtBu)₂]. Die 1 H-NMR Signale der Methylprotonen der Aluminiumalkyle findet man im erwarteten Bereich. Im 141d Im 31 P{ 1 H}-NMR-Spektrum beobachtet man zwei breite Signale für die unterschiedlich substituierten Phosphoratome. Während das Signal für die unsubstituierten Phosphoratome eine ähnliche Verschiebung aufweist wie in cis-[(tBuNH)₂(PNtBu)₂], 124 (\varnothing δ 88.4ppm vs. δ 88.5ppm), findet

man die deutlich hochfeldverschobenen Signale für die substituierten Phorphoratome bei 62.7ppm (7a) und 49.2ppm (7b). Eine ähnliche Verschiebung wird für [$tBuP(AlMe_3)(NH_2)_2$] berechnet (δ 42 ppm). Ein analoges NMR-Spektrum von 7c konnte bisher noch nicht aufgenommen werden. Die Messung des ³¹P{¹H}-NMR-Spektrums ergab ein Phosphorsignal bei 90.1 ppm, was im Rahmen des Messfehlers dem freien Liganden entspricht. Im ¹H-NMR-Spektrum beobachtet man die Signale für die NH-Gruppen *t*-Butylgruppen und sowie mehrere Methylgruppen. Offensichtlich ist der Komplex 7c bei Raumtemperatur in Lösung nicht stabil. dissoziiert und bildet ein kompliziert zusammengesetztes Isomerengemisch. Die verbreiterten Signale im ³¹P{¹H}-NMR-Spektrum deuten auf inter- bzw. intramolekulare Austauschreaktionen der Aluminiumalkyle hin. Durch temperaturabhängige ³¹P{¹H}-NMR-Untersuchungen von **7a** in d₈-Toluol konnte der Koaleszenzpunkt für die Austauschreaktion ermittelt werden. Beide Signale fallen bei einer Koaleszenztemperatur von 36°C zusammen. Die daraus berechnete freie Aktivierungsenergie¹⁴⁰ beträgt 52.1 ± 0.8kJ/mol. Bei einer Temperatur von -50°C erhält man zwei scharfe Signale für die unterschiedlichen Phosphoratome.

Die Komplexe 7a-7c kristallisieren in der monoklinen Raumgruppe P2₁ mit Molekülen in zwei Komplex der Elementarzelle (Abbildung Überraschenderweise addiert die Lewis-Säure AlMe₂X (X = Me (**7a**), Cl (**7b**) und Br (7c)) an das Phosphoratom. In der Literatur gibt es nur wenige Beispiele für eine Addition an ein Phosphoratom. Zumeist sind die Aluminiumalkyl-Lewis-Addukte mit tertiären Phosphino-Basen beschrieben.¹⁴¹ Eine Deprotonierung unter Methanabspaltung wird nicht beobachtet. Dies kann zum einen auf die sterische Abschirmung der N-H Funktion in endo-Position durch die sterisch anspruchsvolle t-Butylgruppe und zum anderen auf die geringe Azidität primärer, aliphatischer Amine (pKa ≈ 35)¹⁴² zurückgeführt werden. Bisher gibt es keine weiteren Beispiele für eine Addition eines Aluminiumalkyles an ein Phosphoratom mit einer α-ständigen, aciden NH-Funktion (Stand 8/2006). Im Vergleich zur Ausgangsverbindung, bei denen die axialen *t*-Butylgruppen in exo-Position relativ zum Heteroring

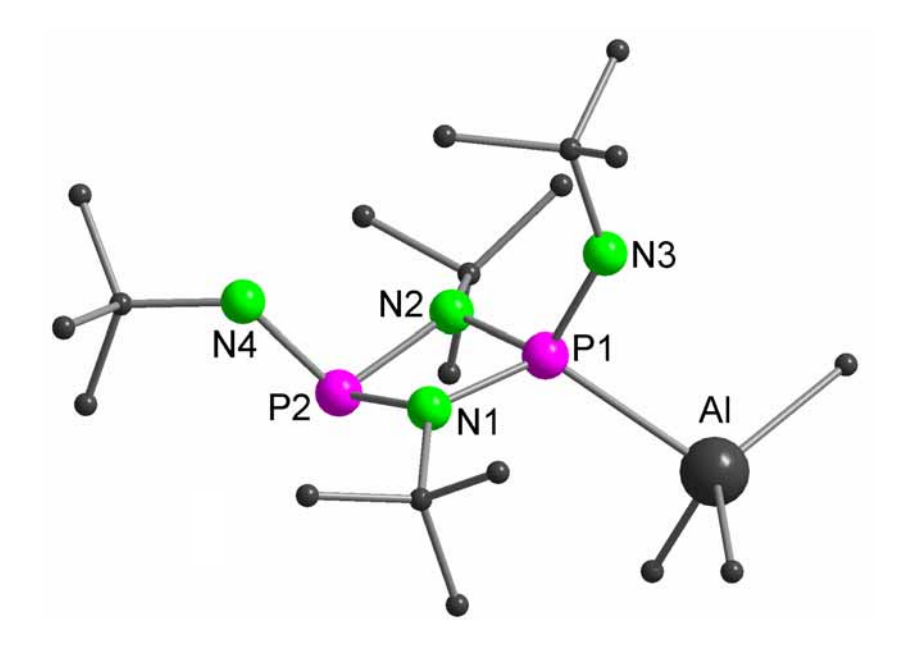


Abbildung 44 Molekülstruktur von 7a im Festkörper (ohne Darstellung der Wasserstoffatome). Ausgewählte Abstände [pm] und Winkel [°] (auch für isostrukturelle Verbindungen 7b,c): 7a: Al-P1 252.01(9), P1-N1 169.5(2), P1-N2 169.0(2), P2-N1 174.5(2), P2-N2 174.6(2), P1-N3 165.1(2), P2-N4 165.0(2), Al-P1-N3 100.40(8), N1-P1-N2 82.57(9), N1-P2-N2 79.56(8), N3-P1-N1 113.42(10), N3-P1-N2 114.23(11), N4-P2-N1 106.06(10), N4-P2-N2 105.38(11). 7b: Al-P1 247.74(13), P1-N1 167.9(3), P1-N2 169.0(3), P2-N1 173.6(3), P2-N2 174.8(3), P1-N3 164.0(3), P2-N4 165.3(3), Al-P1-N3 105.30(12), N1-P1-N2 82.70(13), N1-P2-N2 79.43(13), N3-P1-N1 115.54(15), N3-P1-N2 114.11(14), N4-P2-N1 106.01(14), N4-P2-N2 106.87(14). 7c: Al-P1 247.5(4), P1-N1 167.6(9), P1-N2 167.5(8), P2-N1 175.3(8), P2-N2 175.1(8), P1-N3 163.9(7), P2-N4 163(1), Al-P1-N3 101.2(3), N1-P1-N2 83.5(4), N1-P2-N2 79.2(4), N3-P1-N1 115.9(4), N3-P1-N2 114.7(4), N4-P2-N1 105.8(4), N4-P2-N2 105.9(4).

angeordnet sind, liegt bei den Verbindungen 7a-7c eine endo/exo-Anordnung der t-Butylgruppen vor. Dies kann durch den sterischen Anspruch der Methylgruppen des koordinierten Aluminiumalkyls erklärt werden, die eine endo-Position der benachbarten t-Butylgruppe erzwingt. Es gibt nur zwei weitere Beispiele, bei denen eine ähnliche Anordnung beobachtet wird. In der cis-[(PhNH)₂(PNtBu)₂] Verbindung nehmen die NH-Gruppen eine endo/exo-Position ein.¹⁴³ Die gleiche endo/exo-Anordnung cis-[(tBuNH)₂(P(S)NtBu)₂] beobachtet. Allerdings liegt der Phosphor in der oxidierten Form vor. 144 Die Bindungsabstände für die Lewis-Säure/Base-Bindungen liegen in den erwarteten Bereichen für Aluminium-Phosphor-Addukte. 141f Der Bindungsabstand in Verbindung 7a ist länger als in den

Verbindungen **7b** und **7c** (252.01(9)pm vs. 247.74(13)pm und 247.5(4)pm), was durch den größeren sterischen Anspruch der Methylgruppe im Vergleich zu den Halogenatomen erklärt werden kann. Die Abstände der axialen Aminoatome zu dem (PN)₂-Zyklus sind im Vergleich zur Ausgangsverbindung kaum verändert (Ø 164.4pm vs 166.4(2)pm).¹²⁴ Innerhalb der Heterozyklen sind die Abstände P1-N1 bzw. P1-N2 signifikant kürzer als die Abstände P2-N1 und P2-N2, wobei die Differenz in der Reihe Me > CI > Br aufgrund der besseren e⁻-Donorfähigkeit der Substituenten geringer wird. Die Verkürzung der P-N-Abstände kann durch den höheren Elektronendichtebedarf des formal vierwertigen Phosphoratomes erklärt werden. Im Gegensatz dazu sind die Abstände P2-N1 bzw. P2-N2 im Vergleich zur Ausgangsverbindung leicht verlängert (Ø 174.7pm vs. Ø 172.5pm).

3.3.3 Isomerisierung von cis-[(tBuNH)₂(PNtBu)($P(\cdot AlMe_2Cl)NtBu$)] (7b)

Während man für die Umsetzung von einem Äquivalent *cis*-[(tBuNH)₂(PNtBu)₂]¹²⁴ mit einem Äquivalent AlMe₃ unter gelinder Erwärmung der Reaktionslösung keine Isomerisierung des Produktes (**7a**) beobachtet, findet für die analoge Umsetzung des Neutralliganden mit AlMe₂Cl (**7b**) eine Isomerisierung des Produktes statt (Abbildung 45).

Abbildung 45 Isomerisierung von 7b.

Die Kristallstruktur des Isomerisierungsproduktes **7b** konnte aufgrund von Fehlordnungen nicht abschließend gelöst werden. In Lösung beobachtet man ein kompliziert zusammengesetztes Isomerengemisch, aus dem das

Isomerisierungsprodukt durch 1D-und 2D-NMR-Spektroskopie identifiziert werden konnte.

Eindeutig verfeinert werden konnten die Positionen aller Schweratome bis auf das Chloratom, sowie das Proton am Phosphoratom und die unterschiedlichen Bindungsabstände für die P-N- und P=N-Bindungen. Die Verfeinerung scheiterte an den Substituenten des Aluminiumatomes. Während die Positionen einer Methylgruppe sowie des Chloratomes relativ eindeutig sind, beobachtet man für den dritten Substituenten eine Größe, die zwischen einer Methylgruppe und einem Chloratom liegen muss. Andere Elemente konnten ausgeschlossen werden, da die Isomerisierungsreaktion von 7b ebenfalls in einem abgeschmolzenen NMR-Röhrchen beobachtet werden konnte. Daher wird angenommen, dass das Aluminiumalkyl

$$2 \text{ AIMe}_2 \text{CI} \longrightarrow \text{AI} \longrightarrow$$

Abbildung 46 Mögliche Isomerisierung von AlMe₂Cl.

in Lösung dimerisiert, eine Bindungsrotation um eine Al-Cl-Achse stattfindet und das Dimer unter Bildung zweier unterschiedlicher Aluminiumalkyle wieder heteroleptisch gespalten wird (Abbildung 46). Dies lässt den Schluss zu, dass diese Position statistisch mit Chloratomen bzw. Methylgruppen besetzt wird.

3.3.4 Synthese von cis-[(tBuNH)(PNtBu)($tBuN\cdot AIXCI_2$)(P(H)NtBu)] (X = Me (7d) und CI (7e))

Die Umsetzung von einem Äquivalent cis-[(tBuNH)₂(PNtBu)₂]¹²⁴ mit einem Äquivalent AlXCl₂ (X = Me (**7d**) und Cl (**7e**)) in Toluol liefert das Lewis-Säure/Base-Paar cis-[(tBuNH)($tBuN\cdot AlXCl_2$)($tBuN\cdot AlXCl_2$)($tBuN\cdot AlXCl_2$) in guten Ausbeuten (Abbildung 47).

$$tBu$$
 NH tBu tBu NH tBu tBu NH tBu tBu

Abbildung 47 Synthese von $[(tBuNH)(PNtBu)(tBuN\cdot AIXCl_2)(P(H)NtBu)]$ (X = Me (7d) und CI (7e))

Die neuen Verbindungen wurden mittels ¹H- und ³¹P{¹H}-NMR-Spektroskopie

und Elementaranalyse charakterisiert. Die Molekülstrukturen von 7d und 7e im Festkörper wurden durch Einkristallröntgenstrukturanalyse aufgeklärt. Im ¹H-NMR-Spektrum von **7d** beobachtet man das charakteristische Signal für die Methylgruppen bei δ 0.30ppm. Die *t*-Butylgruppe am N3-Atom $(\delta 0.91 \text{ppm}, {}^{3}J(P,H) = 1.6 \text{Hz})$ ist aufgrund der Kopplung mit dem PH-Phosphoratom zu einem Dublett aufgespalten. Für die t-Butylgruppen am Heterozyklus sowie am N4-Atom findet man jeweils ein Singulettsignal bei δ 1.30ppm bzw. δ 1.50ppm. Das Amino-H-Atom beobachtet man bei δ 1.65ppm. Das Signal des PH-Protones bei δ 8.18ppm ($^{1}J(P,H) = 612$ Hz. $^{3}J(P,H) = 4.18 \text{ Hz}$) ist aufgrund der Kopplung mit den Phosphoratomen zu einem Dublett von Dublett aufgespalten. Die Messung des ³¹P-NMR-Spektrums von **7d** ergibt ein Dublett bei $\delta = -6.8$ ppm ($^{1}J(P,H) = 612$ Hz), sowie ein Singulett bei δ 76.2ppm, wobei das Tieffeldsignal dem PH-Phosphoratom zugeordnet wird. Ähnliche Verschiebungen findet man in $[(iPr_2N)_2P(H)N(H)AI(Me)_3]$ (δ 13.7ppm)^{145a} und in $[(Cy_2N)_2P(H)N(H)AI(tBu)_3]$ (δ 15.9ppm). 145b Ein aussagekräftiges NMR-Spektrum von **1e** konnte aufgrund der geringen Löslichkeit in C₆D₆ nicht aufgenommen werden.

Die Verbindungen **7d** und **7e** kristallisieren in der monoklinen Raumgruppe $P2_1$ /n mit vier Molekülen Komplex in der Elementarzelle (Abbildung 48). Die Lewis-Säure AlXCl₂ (X = Me (**7d**) und Cl (**7e**)) addiert im Gegensatz zu den Verbindungen **7a-7c** an das Stickstoffatom unter Umlagerung des Wasserstoffatomes. Eine solche Umlagerung wurde schon früher beobachtet. Analog zu den Verbindungen **7a-7c** liegen die axialen t-Butylgruppen des Liganden in endo/exo-Anordnung vor. Die Abstände

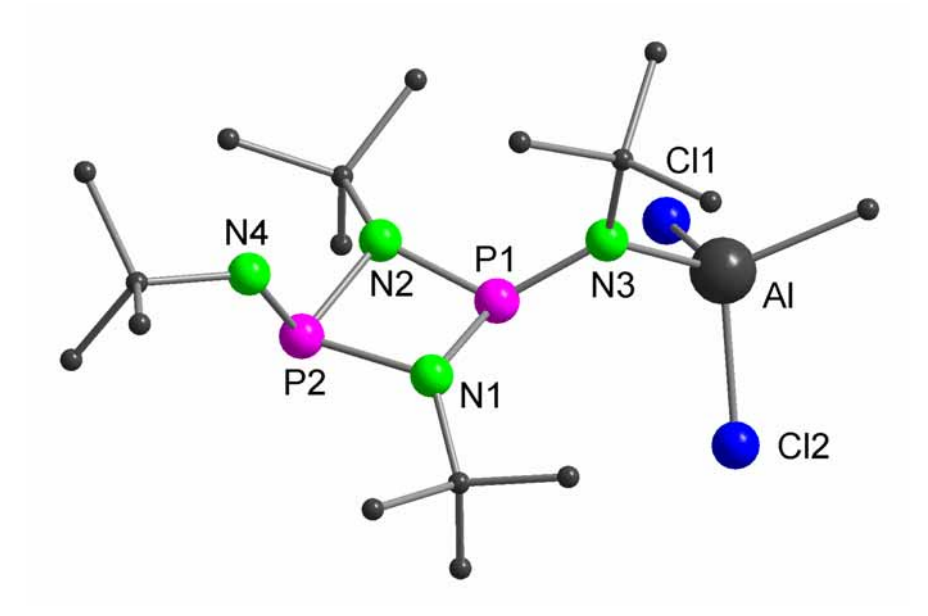


Abbildung 48 Molekülstruktur von **7d** im Festkörper (ohne Darstellung der Wasserstoffatome). Ausgewählte Abstände [pm] und Winkel [°] (auch für isostrukturelle Verbindung **7e**): **7d**: Al-N3 192.6(2), P1-N1 165.3(2), P1-N2 165.2(2), P2-N1 176.3(2), P2-N2 176.2(2), P1-N3 159.5(2), P2-N4 164.4(2), Al-N3-P1 114.74(10), N1-P1-N2 85.92(11), N1-P2-N2 79.45(10), N3-P1-N1 123.40(10), N3-P1-N2 124.53(11), N4-P2-N1 105.82(11), N4-P2-N2 106.49(11). **7e**: Al-N3 190.9(3), P1-N1 164.7(3), P1-N2 164.2(3), P2-N1 176.7(3), P2-N2 176.6(3), P1-N3 160.0(2), P2-N4 164.8(3), Al-N3-P1 113.58(14), N1-P1-N2 86.36(13), N1-P2-N2 79.15(12), N3-P1-N1 124.23(13), N3-P1-N2 123.64(12), N4-P2-N1 106.29(14), N4-P2-N2 106.09(13).

Al-N3 sind mit 192.8(2)pm (7d) und 190.9 (3)pm (7e) wesentlich kürzer als die P-Al - Abstände bei den Aluminiumalkyladdukten **7a-7c** (ø = 249.1 (6)pm), liegen aber in der Größenordnung vergleichbarer Verbindungen. Zum Beispiel betragen die Al-N-Abstände in [(iPr₂N)₂P(H)N(H)Al(Me)₃] 192.8(6)pm^{145a} und in [(Cy₂N)₂P(H)N(H)AlMe₃] 194.1(2)pm. ^{145b} Die Abstände P1-N3 (159.4(3)pm (7d) und 160.0(2)pm (7e)) sind aufgrund der P=N-Doppelbindung wie erwartert kürzer als die Abstände P2-N4 (164.4(2)pm (7d) und 164.8(3)pm (7e)). Innerhalb des Heterozyklus sind in Analogie zu den Verbindungen 7a-7c die Abstände P1-N1 und P1-N2 wesentlich kürzer als die Abstände P2-N1 und P2-N2 (165.3(2)pm und 165.2(2)pm vs. 176.3(2)pm und 172.2(2)pm (7d) bzw. 164.7(3)pm und 164.3(3)pm vs. 176.7(3)pm und 176.7(3)pm (7e)). Die Verkürzung kann ebenfalls durch den Elektronenzug des Phosphoratomes erklärt werden.

3.4 Bis(amido)cyclodiphosph(III)azan-Derivate

3.4.1 Überblick Bis(amido)cyclodiphosph(III)azane

Es gibt eine Reihe Beispielen für ganze an Bis(amido)cyclodiphosph(III)azane. In Arbeit dieser werden nur Cyclodiphosph(III)azane mit t-Butylgruppen in der Ringebene (äquatoriale Positionen) verwendet. Der Zusatz Bis(amido)- bezieht sich daher auf die Amine in den axialen Positionen (Abbildung 49):

R = Me, Et, Ph₂CH, tBu , Ph, m-Tol, p-Tol, 2-CF₃C₆H₄, 2-tBuC₆H₄, 2,4-Me₂C₆H₃, 2,5-tBu₂C₆H₃ und 2,6-tPr₂C₆H₃

Abbildung 49 Überblick über die Synthese von Bis(amido)cyclodiphosph(III)azanen.

Es sind z.B. Bis(amido)cyclodiphosph(III)azane mit Me, 146 Et, 146 Ph₂CH, 143,147 tBu, 124,144 Ph, 130,137 m-Tol, 137 p-Tol, 137 2-CF₃C₆H₄, 147 2-tBuC₆H₄, 147 2,4- $Me_2C_6H_3$, ¹⁴⁷ 2,5- $tBu_2C_6H_3$ und 2,6- $iPr_2C_6H_3$. ¹⁴⁷ in den axialen Positionen Derivate erfolgt bekannt. Die Synthese dieser ausgehend von Bis(chloro)cyclodiphosph(III)azan cis-[Cl(PNtBu)]₂¹⁴⁸ mit Umsetzung des primären Amines in Anwesenheit einer tertiären Aminobase, im Allgemeinen Triethylamin. Diese Verbindungen wurden, teilweise auch strukturell, sehr gut untersucht. Die chemische Verschiebung im ³¹P{¹H}-NMR-Spektrum liegt in dem für Bis(amido)cyclodiphosph(III)azane üblichen Bereich von 90-100ppm (Kapitel 3.2.1).

3.4.2 Synthese von cis-[(PhMeHC(R)*NH)₂(PNtBu)₂] (8a) und cis-[(PhMeHC(S)*NH)₂(PNtBu)₂] (8b)

Auf die in Kapitel 3.4.1 beschriebene Weise gelingt durch Umsetzung des Dichlorides cis-[Cl(PNtBu)]₂ mit zwei Äquivalenten α -Methylbenzylmethanamin in THF die Synthese von den chiralen Derivaten **8a** und **8b** (Abbildung 50).

Abbildung 50 Syntheseroute zur Darstellung von *cis*-[(PhMeHC(*R*,*S*)*NH)₂(PN*t*Bu)₂] **8a**, **8b**.

Dies sind die ersten beiden Beispiele für chirale Bis(amido)cyclodiphosph(III)azane überhaupt. Die Verbindungen besitzen die chirale Information an dem Amin in den axialen Positionen. Die neuen Verbindungen **8a** und **8b** wurden mittels ¹H- und ³¹P{¹H}-NMR-Spektroskopie und Elementaranalyse charakterisiert. Die Molekülstrukturen der Verbindungen im Festkörper wurden durch Einkristallröntgenstrukturanalyse aufgeklärt.

Im 1 H-NMR-Spektrum beobachtet man für die Protonen der t-Butylgruppen ein Signal bei δ 1.25ppm, welches eine ähnliche Verschiebung wie in cis-[(tBuNH) $_2$ (PNtBu) $_2$] (δ 1.22ppm) aufweist. 124 Für die Protonen der chiralen {(PhMeHC(R,S)*NH)} - Gruppe findet man das charakteristische Dublett der CH $_3$ -Gruppe (δ 1.32ppm), das Signal der NH-Gruppe bei δ 3.01ppm sowie ein Signal des CH-Protones (δ 4.6ppm). Das Signal der NH-Gruppe ist im 1 H-NMR-Spektrum zu einem Duplett von Duplett aufgespalten (2 J(H,P) = 14.27Hz und 3 J(H,H) = 9.41Hz.). Die Wechselwirkungen des Protons mit dem Phosphoratom und der CH-Gruppe führen zu der beobachteten 2 J-Kopplung und 3 J-Kopplung. Eine Aufnahme des phosphorentkoppelten 1 H{ 3 1P}-NMR-

Spektrums zeigt für das NH-Proton das erwartete Duplett der Kopplung mit der CH-Gruppe (${}^{3}J(H,H) = 8.71Hz$). Für das Signal des CH-Protones findet man im ¹H-NMR-Spektrum ein Sextett, welches im phosphorentkoppelten ¹H(³¹P)-NMR-Spektrum zu einem Quintett aufspaltet. Aus dem Aufspaltungsmuster lässt sich schließen, dass die Kopplungskonstanten ³J(H,H^{CH}), ³J(H,H^{NH}) und ³J(H,P) in der gleichen Größenordnung liegen müssen (ca. 7.6Hz). Eine genauere Interpretation war jedoch nicht möglich. Die chemische Verschiebung des charakteristischen ³¹P{¹H}-Signales von erwarteten 96.3ppm in dem Bereich für Bis(amido)liegt cyclodiphosph(III)azane (Kapitel 3.2.1). Aufgrund der Kopplungen ist das Signal stark verbreitert. Eine Aufspaltung des Phosphorsignals im protonengekoppelten ³¹P-NMR Spektrum wird nicht beobachtet. Ähnliche Aufspaltungsmuster findet man für Verbindungen mit einer α-ständigen CH-Gruppe relativ zur Aminfunktion, z.B. in cis-[(Ph₂CHNH)₂(PNtBu)₂], 124 cis-[(CH₃NH)₂(PNtBu)₂]¹⁴⁶ oder cis-[MeCH₂NH)₂(PNtBu)₂]. 146

Die Enantiomere **8a** und **8b** kristallisieren in der chiralen, monoklinen Raumgruppe *C*2 mit vier Molekülen in der Elementarzelle(Abbildung 51). Wie

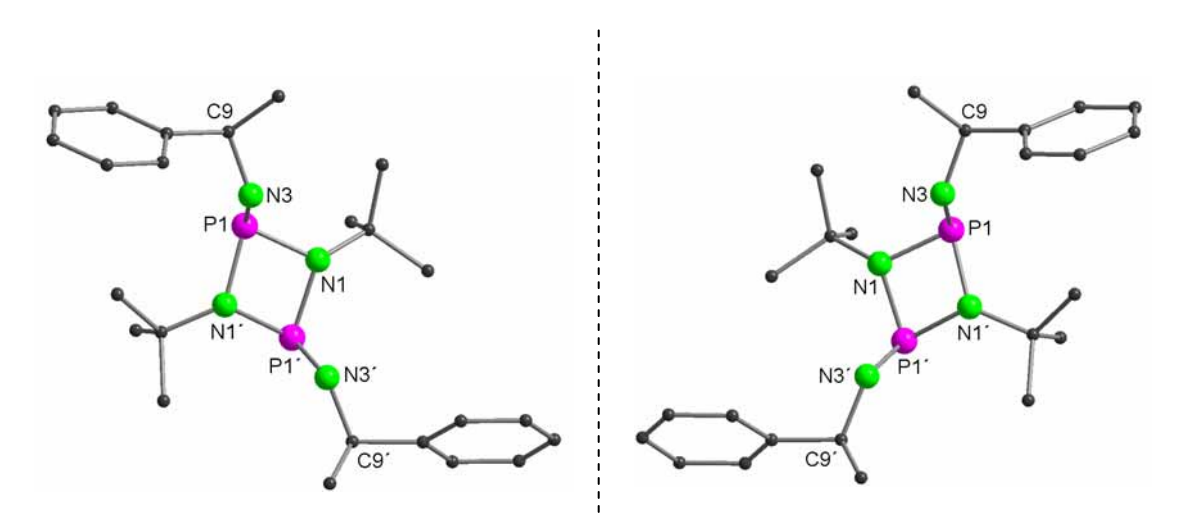


Abbildung 51 Molekülstrukturen von **8a** (links) und **8b** (rechts) im Festkörper (ohne Darstellung der Wasserstoffatome). Ausgewählte Abstände [pm] und Winkel [°]: **8a**: P1-N1 173.4(28), P1-N1 173.2(3), P1-N3 165.9(3), N3-C9 146.7(4), N3-P1-N1 105.56(14), N3-P1-N1 106.12(14), N1-P1-N1 81.10(15), P1-N3-C9 123.6(3). **8b**: P1-N1 173.2(3), P1-N1 172.5(3), P1-N3 166.4(3), N3-C9 145.9(4), N3-P1-N1 105.29(15), N3-P1-N1 105.69(15), N1-P1-N1 80.56(13), P1-N3-C9 123.5(3) (Äquivalente Atome wurden durch folgende Symmetrietransformation erzeugt: -x, y, -z).

9

alle Bis(amido)cyclodiphosph(III)azane besitzen die chiralen Verbindungen einen stark gewellten (PN)2-Ring. Im Vergleich mit dem verwandten cis-[(Ph₂CHNH)₂(PNtBu)₂] nehmen beide Methylbenzylgruppen der jeweiligen Verbindungen 8a und 8b eine exo - Position relativ zum (PN)2-Ring ein, während im anderen Molekül die Phenylbenzylgruppen aufgrund des sterischen Einflusses eine endo/exo-Position einnehmen. 143 Der Abstand der Benzylamin-Stickstoffatome beträgt 425.6(12)pm. Die Abstände Benzylamin-Stickstoffatome zum Heterozyklus sind wie in cis-[(PhNH)₂(PNtBu)₂]¹⁴³ signifikant kürzer als im Heterozyklus selbst (Ø 166.2pm vs. Ø 173.0pm), was durch den geringeren sterischen Anspruch des chiralen Kohlenstoffatomes erklärt werden kann.

3.4.3 Synthese von cis-[(Me₂NC₂H₄NH)₂(PNtBu)₂] (9)

Um die Koordinationsfähigkeit des Liganden zu erhöhen, wurde das Bis(chloro)cyclodiphosph(III)azan mit *N,N*-Dimethylethylendiamin unter analogen Bedingungen wie für die eben beschriebenen chiralen Phosphazane umgesetzt (Abbildung 52).

CI CI
$$V_{\text{Bu}}$$
 V_{Bu} V_{Bu}

Abbildung 52 Syntheseroute zur Darstellung von *cis*-[(Me₂NC₂H₄NH)₂(PN*t*Bu)₂] (9).

Die neue Verbindung **9** wurde mittels ¹H- und ³¹P{¹H}-NMR-Spektroskopie und Elementaranalyse charakterisiert. Die Molekülstruktur von **9** im Festkörper wurde durch Einkristallröntgenstrukturanalyse aufgeklärt.

Im ¹H-NMR-Spektrum beobachtet man für die Protonen der *t*-Butylgruppen das Signal bei 1.1ppm, welches eine ähnliche Verschiebung wie in

cis-[(tBuNH)₂(PNtBu)₂] (δ 1.22ppm) aufweist. Für die Protonen der N,N-Dimethylenethylendiammin-Einheit findet man das charakteristische Singulett für die Protonen der NMe₂-Gruppe bei δ 1.78ppm sowie ein Triplett der Me_2NCH_2 -Gruppe (δ 1.97ppm, $^3J(H,H) = 6.21Hz$). Analog zu den chiralen Phosphazanen 8a und 8b findet man auch eine Kopplung des Phosphoratoms mit den Protonen der CH₂NH-Gruppe. Das Signal der NH-Gruppe ist im ¹H-NMR Spektrum zu einem Triplett von Duplett $(^{2}J(H,P)$ = 25.02Hz und ³J(H,H) aufgespalten 6.13Hz). Die Wechselwirkungen des NH-Protons mit dem Phosphoratom und der CH₂-Gruppe führen zu der beobachteten ²J-Kopplung und ³J-Kopplung. Eine Aufnahme des phosphorentkoppelten ¹H(³¹P)-NMR-Spektrums zeigt für das NH-Proton ein extrem verbreitertes Signal, welches für primäre und sekundäre Amine typisch ist. Für die CH₂N-Gruppe findet man im ¹H-NMR Spektrum ein Quintett, welches im phosphorentkoppelten ¹H{³¹P}-NMR Spektrum zu einem Quartett aufspaltet. Analog zu den Verbindungen 8a und lässt sich aus dem Aufspaltungsmuster schließen, dass Kopplungskonstanten ${}^{3}J(H,H^{CH})$, ${}^{3}J(H,H^{NH})$ und ${}^{3}J(H,P)$ in der gleichen Größenordnung liegen (ca. 6 Hz) müssen. Die chemische Verschiebung des charakteristischen ³¹P{¹H}-Signales von δ 96.2ppm liegt in dem erwarteten **Bereich** Bis(amido)cyclodiphosph(III)azane (Kapitel für 3.2.1). Eine Phosphorsignals im protonengekoppelten ³¹P-NMR Aufspaltung des Spektrum wird analog zu den Verbindungen 8a und 8b nicht beobachtet.

Die Verbindung 9 kristallisiert in der triklinen Raumgruppe P1 mit zwei Molekülen Komplex in der Elementarzelle (Abbildung 53). Wie für die chiralen Bis(amido)cyclodiphosph(III)azane 8a und 8b besitzt der Heterozyklus eine stark gewellte Anordnung der Atome. Der durchschnittliche Abstand innerhalb des (PN)₂-Ringes beträgt Ø 172.6pm. Dies ist signifikat länger als die Abstände zwischen den Phosphoratomen und den axialen Aminoatomen $(\emptyset$ 164.8pm). lm Vergleich zu allen anderen Bis(chloro)cyclodiphosph(III)azanderivaten, bei denen die axialen Substituenten in exo-Position, d.h. die NH-Gruppen in endo-Position, relativ zum Heteroring angeordnet sind, 143 sind beide NH-Gruppen bei Verbindung 9 in exo-Position

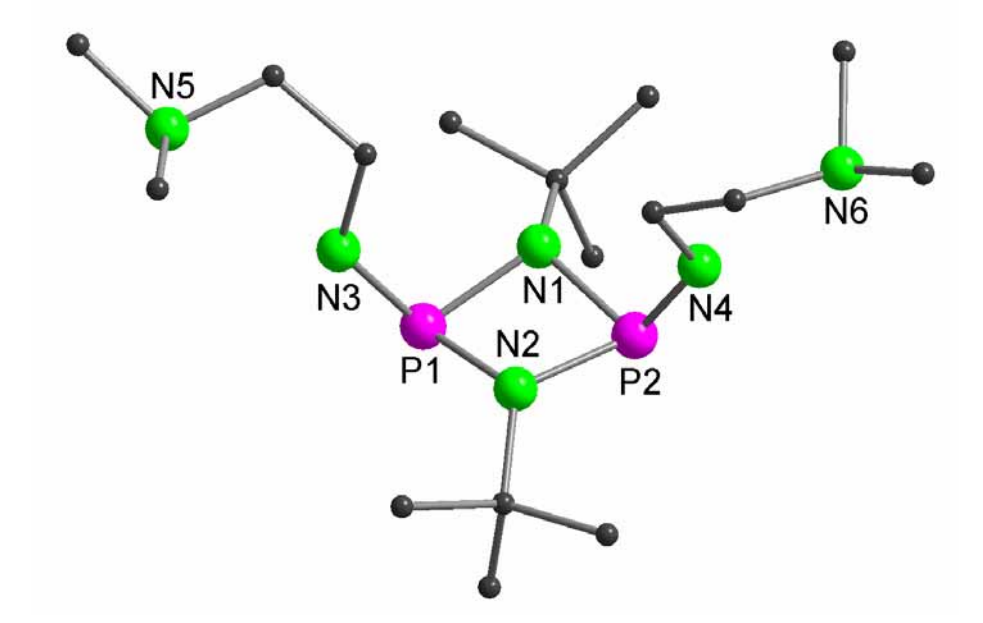


Abbildung 53 Molekülstruktur von **9** im Festkörper (ohne Darstellung der Wasserstoffatome). Ausgewählte Abstände [pm] und Winkel [°]): P1-N1 172.7(3), P1-N2 172.6(3), P2-N1 172.5(3), P2-N2 172.8(3), P1-N3 165.2(3), P2-N4 164.4(3), N3-P1-N1 107.2(2), N3-P1-N2 107.3(2), N4-P2-N1 107.2 (2), N4-P2-N2 107.1(2), N1-P1-N2 80.18(15), N1-P2-N2 80.20(14).

Das kann durch eine bessere Packung der langen angeordnet. *N*,*N*-Dimethylethylendiamin-Ketten im Kristall erklärt werden. Es gibt nur zwei weitere Beispiele, bei denen eine ähnliche Anordnung beobachtet wird. In der $cis-[(PhNH)_2(PNtBu)_2]^{124}$ Verbindung nehmen die NH-Gruppen ein.143 endo/exo-Position Die gleiche endo/exo-Anordnung wird cis-[(tBuNH)(P(S)NtBu)] beobachtet. Allerdings liegt der Phosphor hierbei in der oxidierten Form vor. 144

3.4.4 Synthese von cis-[(2,6-iPrC₆H₃NH)₂(PNtBu)₂] (10)

Die Umsetzung des Dichlorides mit 2,6-Diisopropylanilin wurde schon früher beschrieben.¹⁴⁷ Durch Extraktion des Rohproduktes mit Pentan und anschließender Kristallisation bei -20°C konnte die Molekülstruktur von **10** im Festkörper durch Einkristallröntgenstrukturanalyse aufgeklärt werden (Abbildung 54). Verbindung **10** kristallisiert in der monoklinen Raumgruppe

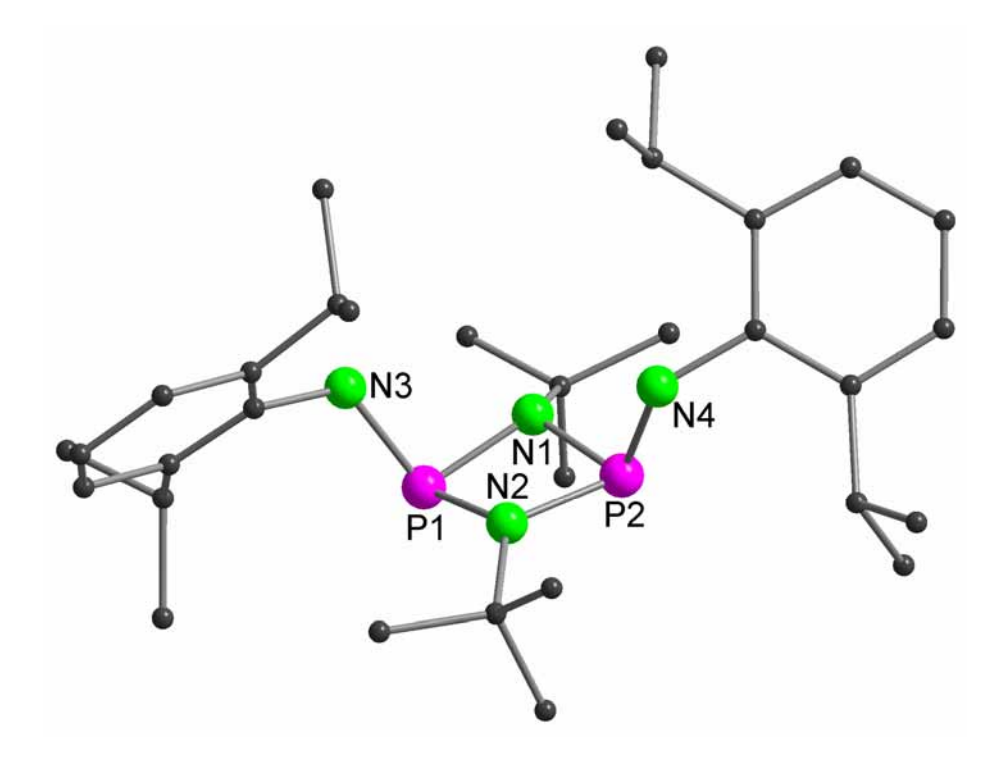


Abbildung 54 Molekülstruktur von **10** im Festkörper (ohne Darstellung der Wasserstoffatome). Ausgewählte Abstände [pm] und Winkel [°]): P1-N1 172.5(2), P1-N2, 172.6(2), P1-N3 170.8(2), P2-N1 174.5(2), P2-N2 171.3(2), P2-N4 169.1(2), N1-P1-N3 99.25(10), N2-P1-N3 107.54(11), N1-P2-N4 107.98(10), N2-P2-N4 101.31(11).

P2₁/c mit vier Molekülen in der Elementarzelle. Die chemischen Verschiebungen im ¹H- und ³¹P{¹H}-NMR-Spektrum sind konsistent mit der Literatur. 147 Die Molekülstruktur lässt sich am besten mit der Struktur von cis-[(PhNH)₂(PNtBu)₂] vergleichen.¹³⁷ Analog zu dieser Verbindung besitzt **10** einen stark gewellten (PN)2-Ring mit nahezu identischen P-N-Abständen (Ø 172.7pm vs. Ø 173.1pm). Aufgrund des sterischen Einflusses der Isopropylgruppen stehen die Anilinogruppen nicht mehr senkrecht auf der (PN)₂-Ebene, sondern sind leicht nach außen ("exozyklischer"), weg vom Heterozyklus, geklappt. Wie in Verbindung cis-[(PhNH)2(PNtBu)2] sind die Arylgruppen gegeneinander verdreht. Die Abstände der Anilinostickstoffatome N3 und N4 zum Heterozyklus sind im Gegensatz zu *cis*-[(PhNH)₂(PN*t*Bu)₂] nicht signifikant kürzer als im Heterozyklus selbst (Ø 170.2pm vs. Ø 168.9pm), was ebenfalls durch den größeren, sterischen Anspruch der Isopropylgruppen erklärt werden kann.

3.5 Chirale Zirkoniumverbindungen

3.5.1 HN(R,S-*CHMePh)(PPh₂) als Ligandsystem

In den letzten Jahren gab es große Forschungsaktivitäten auf dem Gebiet der sogenannten anorganischen Amine und Imine und deren Verwendung in der Übergangsmetallchemie. Insbesondere wurden P-N-Systeme wie Monophosphanylamide (R₂PNR′),¹¹³²,¹¹³²,¹¹⁵0,¹¹⁵¹,¹¹⁵² Diphosphanylamide ((Ph₂P)₂N),¹⁵0,¹⁵³,¹⁵³ Phosphiniminomethanide ((RNPR′₂)CH),⁶⁰,²⁰,²¹,²¹,²¹⁵° Phosphiniminomethandiide ((RNPR,₂)C)²³,²¹,²¹,¹⁵° und Diiminophosphinate ((R₂P(NR′))¹⁵³ als Ligandsysteme verwendet. Die daraus entstandenen Ergebnisse zeigen, dass Übergangsmetallkomplexe mit P-N-Liganden in der Koordinationssphäre ungewöhnliche Koordinationsmoden besitzen.¹⁵⁵

Da wir auch an chiralen P-N-Liganden interessiert sind, sollte zunächst ein einfaches, chirales P-N-Ligandsystem synthetisiert werden, um das Koordinationsverhalten des chiralen Amines H₂N(*R*,*S*-*CHMePh) in der Zirkonocenchemie zu untersuchen. Als Ausgangsmaterial wurde der chirale Phosphanylaminligand HN(*R*,*S*-*CHMePh)(PPh₂) (Abbildung 55), der von Brunner in die Koordinationschemie eingeführt wurde,⁷⁸ ausgewählt. Das Phosphanamin, welches gewöhnlich *via* dem Phosphoratom an das Zentralmetall koordiniert, wurde damals in der Chemie der sogenannten "späten" Übergangsmetalle verwendet.⁷⁸ Die Verwendung des Ligandsystems in der Lanthanoidchemie wurde kürzlich von unserer Arbeitsgruppe vorgestellt.⁸⁰

3.5.2 HN(*R*,*S*-*CHMePh)(PPh₂) als Ligandsystem in der Zirkoniumchemie

3.5.2.1 Synthese von $HN(R-*CHMePh)(P(=O)Ph_2)$ (11a) und $HN(S-*CHMePh)(P(=O)Ph_2)$ (11b)

Die beiden Enantiomere Phosphanylaminen der chiralen HN(R-*CHMePh)(PPh₂) und HN(S-*CHMePh)(PPh₂) werden nach bekannter Literaturvorschrift ausgehend von enantiomerenreinem α -Methylbenzylmethanamin und Ph₂PCI hergestellt. 160,161 Die beiden Enantiomere erhält man als farbloses Öl. Diese Öle werden mit H2O2 an der Luft zu $HN(R-*CHMePh)(P(=O)Ph_2)$ 11a und $HN(S-*CHMePh)(P(=O)Ph_2)$ 11b oxidiert, um sicherzustellen, dass die absolute Konfiguration des Liganden während der Synthese erhalten bleibt (Abbildung 55).

Abbildung 55 Syntheseroute zur Darstellung der Verbindungen 11a,b, 13a,b, 14.

Beide Verbindungen kristallisieren in den enantiomeren Raumgruppen *P*4₁ (**11a**) und *P*4₃ (**11b**) als farblose Verbindungen und wurden schon früher beschrieben. Sie wurden mittels Einkristallröntgenstrukturanalyse untersucht, um die absolute Konfiguration der jeweiligen Verbindungen zu bestimmen (Abbildung 56). Die Bindungslängen (**11a**: P-O 148.48(10)pm, P-N 163.45(12)pm); **11b**: (P-O 149.21(7)pm, P-N 163.35(9)pm) und Winkel (**11a**: O-P-N 116.52(6)°; **11b**: O-P-N 116.60(5)°) der Verbindungen **11a** und **11b** entsprechen den Erwartungen.

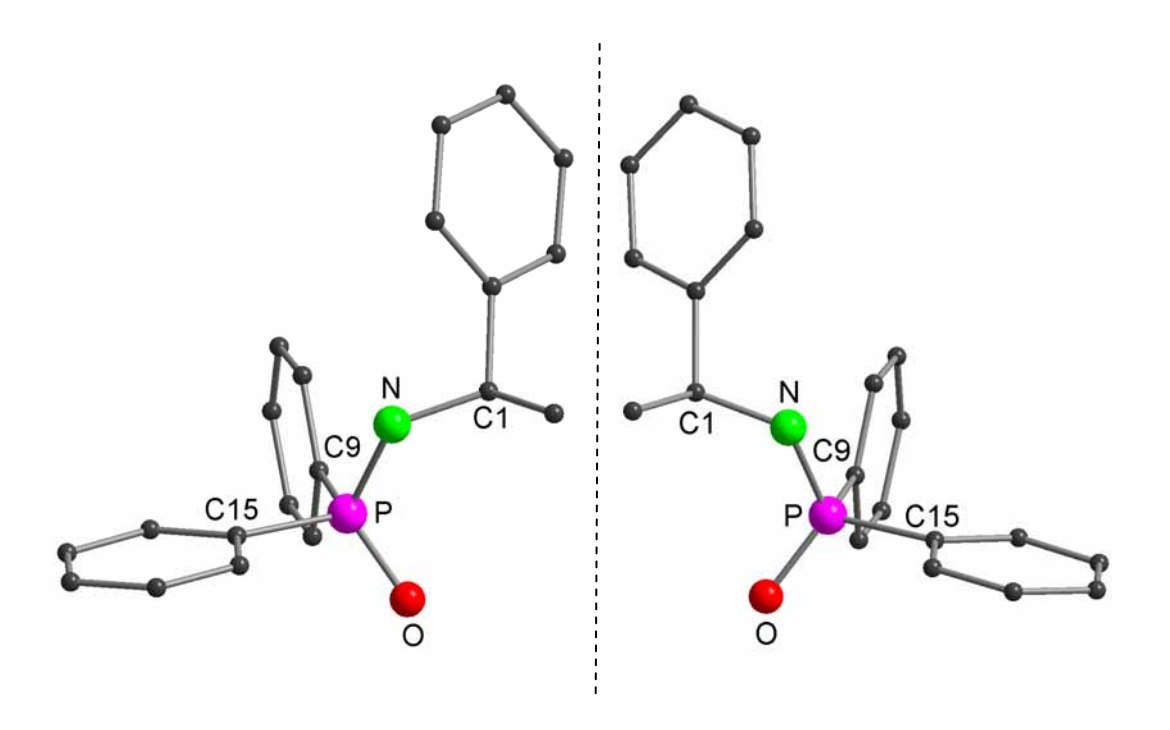


Abbildung 56 Molekülstruktur von **11a** (links) und **11b** (rechts) im Festkörper (ohne Darstellung der Wasserstoffatome). Ausgewählte Abstände [pm] und Winkel [°]: **11a**: P-O 148.48(10), P-N 163.45(12), P-C9 181.27(14), P-C15 180.88(13), N-C1 146.5(2); O-P-N 116.53(6), O-P-C9 108.88(6), N-P-C9 106.94(6), O-P-C15 113.15(6), N-P-C15 103.25(6), C9-P-C15 107.55(6), C1-N-P 120.87(9). **11b**: P-O 149.21(7), P-N 163.35(9), P-C9 180.59(10), P-C15 180.49(9), N-C1 146.99(12); O-P-N 116.60(5), O-P-C9 108.68(4), N-P-C9 107.11(4), O-P-C15 113.40(4), N-P-C15, 103.02(4), C9-P-C15, 107.49(4), C1-N-P 120.54(7).

3.5.2.2 Synthese von $LiN(R-*CHMePh)(PPh_2)$ (12a) und $LiN(S-*CHMePh)(PPh_2)$ (12b)

Lithiumverbindungen LiN(R-*CHMePh)(PPh₂) Die neuen und $LiN(S-*CHMePh)(PPh_2)$ (12b) erhält man durch Umsetzung der Neutralliganden mit einem Äguivalent *n*-Butyllithium in THF. Die Verbindungen 12a und 12b erhält man als luftempfindliche, gelbe Feststoffe und werden mittels ¹H- und ³¹P{¹H}-Spektroskopie untersucht. Verbindungen 12a und 12b zeigen im ¹H-NMR-Spektrum nur eine leichte Verschiebung im Vergleich zu den Neutralliganden. Am deutlichsten fällt der Unterschied bei der CH₃-Gruppe auf (δ 1.08ppm), welche nach der Metallierung um 0.4ppm hochfeldverschoben ist. Im ³¹P{1H}-NMR-Spektrum ist das Resonanzsignal von 12a und 12b (δ 48.8ppm) im Vergleich zu den Neutralliganden (δ 34.4ppm) deutlich tieffeldverschoben.

3.5.2.3 Synthese von $[(\eta^5-C_5H_5)_2Zr(CI)\{\eta^2-N(R-*CHMePh)(PPh_2)\}]$ (13a) und $[(\eta^5-C_5H_5)_2Zr(CI)\{\eta^2-N(S-*CHMePh)(PPh_2)\}]$ (13b)

Die Reaktion von einem äquimolaren Verhältnis 12a und 12b mit Zirkonocendichlorid [η⁵-Cp₂ZrCl₂]¹⁶³ in THF liefert nach Extraktion mit Toluol Kristallisation aus THF/n-Pentan (1:3) die enantiomerenreinen Komplexe von $[(\eta^5-C_5H_5)_2Zr(CI)\{\eta^2-N(R-*CHMePh)(PPh_2)\}]$ (13a) und $[(\eta^5-C_5H_5)_2Zr(CI)\{\eta^2-N(S-*CHMePh)(PPh_2)\}]$ (13b) (Abbildung Verbindungen 13a und 13b wurden mittels ¹H- und ³¹P{¹H}-NMR-Spektroskopie sowie Elementaranalyse charakterisiert. Die Molekülstrukturen 13a von und 13b im Festkörper wurden durch Einkristallröntgenstrukturanalyse aufgeklärt.

Im 1 H-NMR-Spektrum beobachtet man für die Protonen der Cp-Einheit aufgrund der Kopplung mit dem Phosphoratom ein scharfes Dublett (δ 5.95ppm), welches im Vergleich zur Ausgangsverbindung [η^5 -Cp₂ZrCl₂] (δ 6.50ppm) hochfeldverschoben ist. Für die Protonen des

 $\{N(R,S-*CHMePh)(PPh_2)\}$ - Liganden findet man das charakteristische Dublett für die CH_3 -Gruppe (δ 1.66ppm) und ein Quartett des CH Protones (δ 4.93ppm), welche im Vergleich zu **12a** und **12b** tieffeldverschoben sind. Im charakteristischen ³¹P{1H} NMR Spektrum von **13a** und **13b** beobachtet man ein Signal (δ -19.5ppm), welches im Vergleich zu **12a** und **12b** (δ 48.8ppm) deutlich tieffeldverschoben ist.

Die Enantiomere **13a** und **13b** kristallisieren in der chiralen, monoklinen Raumgruppe $P2_1$ mit zwei Molekülen in der Elementarzelle (Abbildung 57).

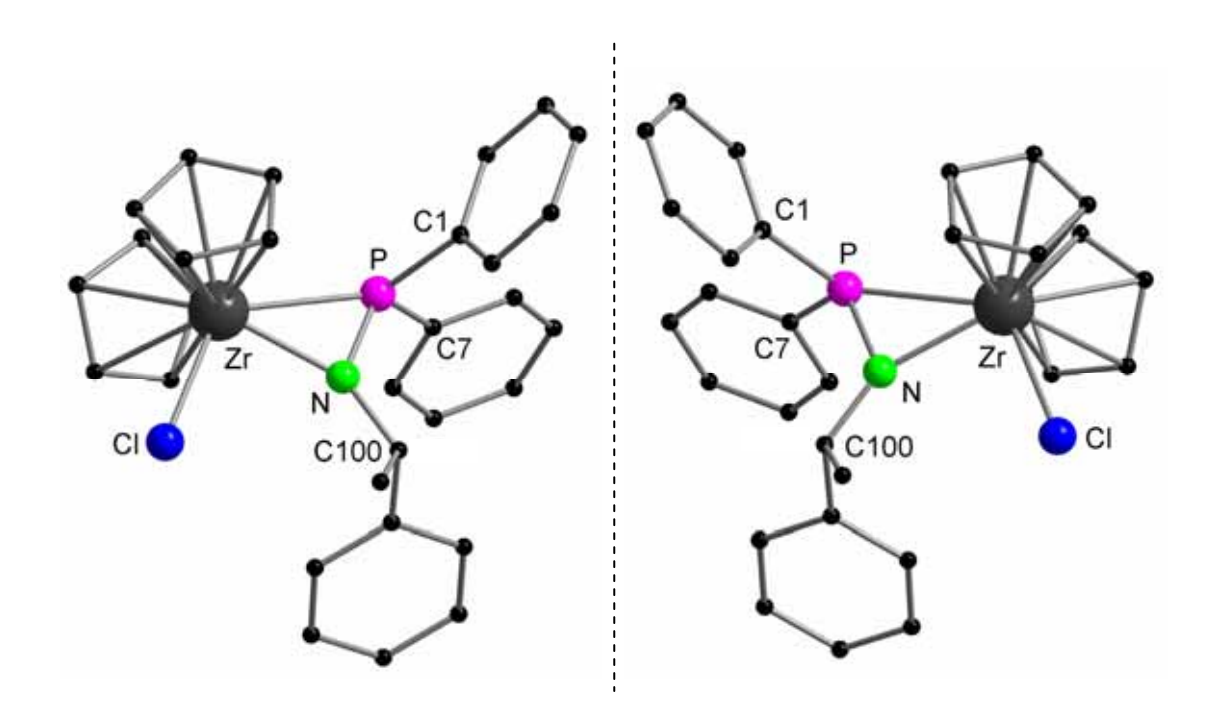


Abbildung 57 Molekülstruktur von **13a** (links) und **13b** (rechts) im Festkörper (ohne Darstellung der Wasserstoffatome). Ausgewählte Abstände [pm] und Winkel [°]: **13a**: Zr–N 219.27(14), Zr–P 265.2(1), Zr–Cl 253.86(5), N–C100 148.0(2), N–P1 163.23(15), P–C1 182.2(2), P–C7 184.0(2), Zr–Cg1 225.4(10), Zr–Cg2 225.2(4); N–Zr–Cl 85.44(1), N–Zr–P 38.09(10), C100–N–P 123.09(12), C100–N–Zr 150.49(12), P–N–Zr 86.38(6), N–P–C1 112.34(8), N–P–C7 110.66(8), C1–P–C7, 103.70(8), N–P–Zr 55.68(5), C1–P–Zr 122.42(6), C7–P–Zr 133.84(6), Cg1–Zr–Cg2 124.73(10), Cg1–Zr–N 116.92(10), Cg1–Zr–Cl 101.26(10). **13b**: Zr–N 219.85(10), Zr–P 265.0(1), Zr–Cl 254.75(5), N–P 163.94(10), P–C1 182.02(12), P–C7 184.02(12), Zr–Cg1 225.4(10), Zr–Cg2 225.5(4); N–Zr–Cl 85.44(3), N–Zr–Cl 85.67(4), N–Zr–P 37.94(10), C100–N–P, 123.07(8), C100–N–Zr 150.79(8), P–N–Zr 86.10(4), N–P–C1 112.26(6), N–P–C7 110.57(5), C1–P–C7 103.59(5), N–P–Zr 55.81(4), C1–P–Zr, 122.42(4), C7–P–Zr 133.95(4), Cg1–Zr–Cg2 124.67(1), Cg1–Zr–N, 116.91(1), Cg1–Zr–Cl 101.19(1) (Cg = Schwerpunkt des Cp-Ringes).

Der {N(CHMePh)(PPh₂)} Ligand ist chelatisierend (η²) über die P-N-Einheit an das Zirkonium gebunden. Das Zirkoniumatom liegt pseudo fünffach koordiniert vor, wenn man den Schwerpunkt der Cyclopentadienylliganden als Koordinationspositionen betrachtet. Die P- und N-Atome koordinieren an das $\{(\eta^5-C_5H_5)_2ZrCl\}^-$ Fragment, und die N, P, Zr und Cl-Atome sind fast coplanar, was der Torsionswinkel N-P-Zr-Cl von 1.52(1)° (13a) und 1.36(1)° (13b) zeigt. Eine ähnliche Geometrie besitzen die achiralen Verbindungen $[\eta^5-Cp_2Zr(Cl)\{\eta^2-N(SiMe_3)P(H)N(SiMe_3)_2\}]$, darstellbar durch die Reaktion von N(PPh₂)₂}].⁷⁹ Die Zr-N- Bindungslängen von **13a** und **13b** (219.27(14)pm (13a), 219.85(10)pm (13b)) sind kürzer als die in $[\eta^5-Cp_2Zr(CI)\{\eta^2-L^2\}]$ $N(SiMe_3)P(H)N(SiMe_3)_2$ (226.7(3)pm) und $[\eta^5-Cp_2Zr(Cl)\{\eta^2-N(PPh_2)_2\}]$ (224.9(5)pm), wogegen die Zr-P Bindungslängen von 13a und 13b (265.2 (1)pm (13a), 265.0(1)pm (13b)) in den gleichen Größenordnungen liegen wie in den kürzlich vorgestellten Verbindungen $(265.2(1)pm in [\eta^5-Cp_2Zr(Cl)\{\eta^2-N(SiMe_3)P(H)N(SiMe_3)_2\}] und 264.9(2)pm in$ $[\eta^5-Cp_2Zr(Cl)N(PPh_2)_2]$). Die C_a-Zr (C_a = Schwerpunkt von Cp) Abstände C_a1-Zr 225.4(10)pm (13a), 225.4(10)pm (13b) und C_{α} 2-Zr 225.2(4)pm (13a), 225.5(4)pm (13b) sowie der Bindungswinkel C_g1-Zr-C_g2 (125.95(1)°) liegen in der erwarteten Größenordnung.

3.5.2.4 Synthese von [(PhCH₂)₃Zr $\{\eta^2$ -N(S-*CHMePh)(PPh₂)}] (**14**)

Kürzlich wurde die Synthese von anderen, chiralen Zirkoniumverbindungen ausgehend von der Protolyse von [(PhCH₂)₄Zr]¹⁶⁶ mit Aminen, z.B. Aminooxazoline, 168 Aminopyridine¹⁶⁷ und beschrieben. Bei diesen Verbindungen ist das Metallzentrum der Träger der chiralen Information. **Basierend** auf diesen Ergebnissen wurde [(PhCH₂)₄Zr]mit $HN(S-*CHMePh)(PPh_2)$ zu $[(PhCH_2)_3Zr\{\eta^2-N(S-*CHMePh)(PPh_2)\}]$ **(14)** umgesetzt (Abbildung 55).

Im Vergleich mit der Literatur besitzt Verbindung **14** die chirale Information nicht am Metallzentrum, sondern der Ligand ist der Träger dieser Information.

Bei der Reaktion von [(PhCH₂)₄Zr] mit HN(S-*CHMePh)(PPh₂) findet keine quantitative Umsetzung statt. Es ist anzunehmen, dass sich Produktgemisch der Phosphanylamid-Ligand bildet. bei dem in unterschiedlichen Verhältnissen an das Metallzentrum koordiniert ist. Aus dieser Mischung konnte Verbindung 14 als kristallines Produkt erhalten werden. Verbindung 14 ist eine luft- und feuchtigkeitsempfindliche Substanz, die mittels ¹H- und ³¹P{¹H}-NMR-Spektroskopie sowie Elementaranalyse untersucht wurde. Im ¹H-NMR-Spektrum von **14** beobachtet man das charakteristische Dublett der CH₃-Gruppe (δ 1.45ppm) und ein Quartett für das CH-Proton (δ 4.94ppm) des {N(CHMePh)(PPh₂)} Liganden sowie die erwarteten Signale für die Benzylgruppen. Im ³¹P{¹H}NMR-Spektrum beobachtet man ein Signal bei δ -7.0ppm.

Die Molekülstruktur 14 im Festkörper von wurde durch Einkristallröntgenstrukturanalyse aufgeklärt (Abbildung 58). Verbindung 14 kristallisiert in der chiralen, monoklinen Raumgruppe P2₁ mit zwei Molekülen in der Elementarzelle. Analog zu 13a und 13b ist der {N(CHMePh)(PPh₂)} Ligand chelatisierend (n²) an das Zirkoniumatom gebunden. Die Zr-N-Bindungslänge beträgt 209.6(2)pm sowie 263.20(9)pm für den Zr-P-Abstand. Der Zr-N-Bindungsabstand ist somit ungefähr 10pm kürzer als die beobachteten Abstände von 13a und 13b. Dieser Unterschied basiert auf einer anderen elektrostatischen Zr-N- Wechselwirkung. Sie entsteht durch die Benzylliganden, die eine veränderte Elektronendichte am Zirkoniumatom bewirken. Während in den Verbindungen 13a und 13b die Cp-Liganden Elektronendichtedonatoren als fungieren und das Zirkoniumatom 18 Valenzelektronen besitzt (12 Elektronen von Cp., je zwei Elektronen von N⁻, Cl⁻, P), ist eine vergleichbare Interaktion in Verbindung **14** nicht möglich. Diese These wird durch die Koordinationsweise der Benzylgruppen unterstützt. Während zwei der drei Benzylliganden η¹ gebunden sind, findet beim dritten Liganden eine zusätzliche η^2 π -Bindung des Phenylringes an das Zentralmetall statt (12 statt 10 Valenzelektronen). Diese π -Bindung resultiert somit aus dem elektronendefizitären Charakter des Zentralmetalls. Die Bindungsabstände des Zirkoniums zu den π -gebundenen Kohlenstoffatomen

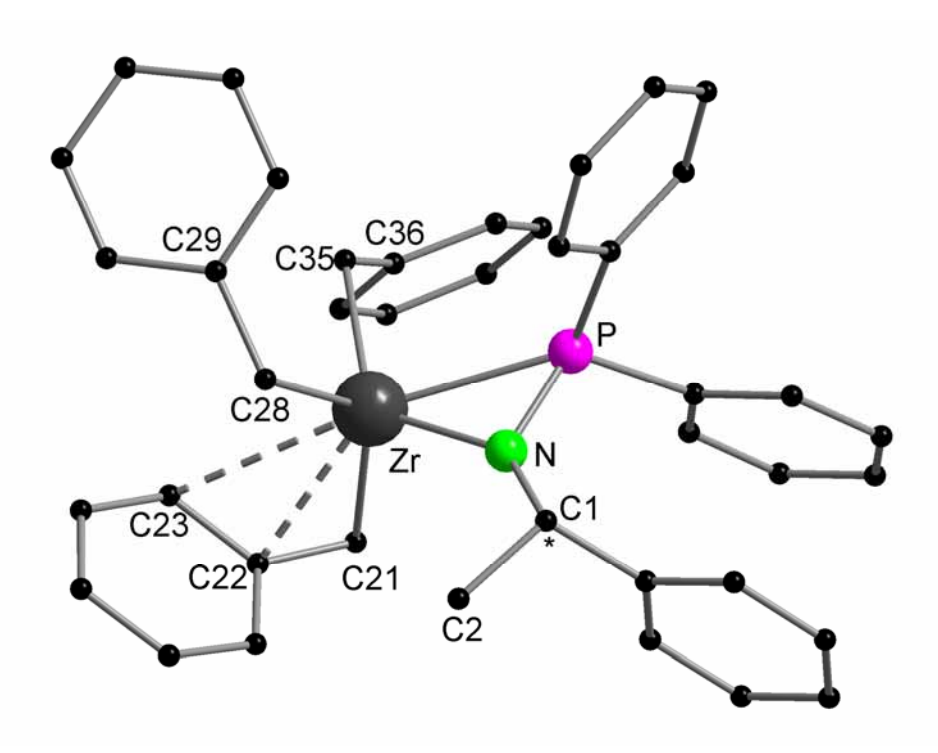


Abbildung 58 Molekülstruktur von **14** im Festkörper (ohne Darstellung der Wasserstoffatome). Ausgewählte Abstände [pm] und Winkel [°]: Zr–N 209.6(2), Zr–P 263.20(9), Zr–C21 229.1(3), Zr–C22 254.2(3), Zr–C23 287.9(1), Zr–C28 230.6(2), Zr–C35 227.8(3), N–P 166.4(2); N–Zr–P 39.18(6), N–Zr–C21 103.81(10),N–Zr–C28 94.47(12), N–Zr–C22 115.60(10), N–Zr–C35 127.79(10), C21–Zr–C22 34.21(10), C21–Zr–C28 128.56(12), C21–Zr–C35 101.44(11), C22–Zr–C28 94.60(11), C22–Zr–C35 111.00(10), C28–Zr–C35 104.16(9), C22–Zr–P 141.23(7), C21–Zr–P 111.42(8), C28–Zr–P 112.86(11), C35–Zr–P 89.01(8), C22–C21–Zr 82.5(2), C29–C28–Zr 108.3(2), C36–C35–Zr 115.8(2), C1–N–P 127.8(2), P–N–Zr 88.09(10), N–P–Zr 52.73(8), C1–N–Zr 143.8(2).

betragen für Zr-C22 254.2(3)pm und Zr-C23 287.9(1)pm. Aufgrund der π -Bindung ist ein Phenylring deutlich zum Metallzentrum gebogen. Die Winkel zwischen dem Zirkoniumatom, der CH₂-Benzyl-Gruppe und dem ipso-Kohlenstoffatom des Phenylringes betragen 108.3(2)° (C29-C28-Zr) und 115.8(2)° (C36-C35-Zr) für die η^1 -gebundenen Benzylgruppen, wogegen der Winkel beim η^3 -gebundenen Ligand auf 82.5(2)° (C22-C21-Zr) erniedrigt ist.

4 Experimenteller Teil

4.1 Allgemeines

4.1.1 Arbeitstechnik

Die Handhabung sämtlicher luftempfindlicher Verbindungen erfolgte unter Luft- und Feuchtigkeitsausschluss in ausgeheizten Schlenkgefäßen an Hochvakuumapparaturen (~0.1Pa) oder in einer Glove-Box der Firma M.BRAUN unter einer Schutzgasatmosphäre aus Stickstoff bzw. Argon. Vorratsund Reaktionsgefäße wurden im Allgemeinen über Schlauchverbindungen oder direkt über Schliffverbindungen an die Apparaturen angeschlossen, auf Maximalvakuum evakuiert und mit Stickstoff gefüllt. Der verwendete Stickstoff des Reinheitsgrades 5.0 wurde über eine zentrale Gasversorgung direkt aus der Gasflasche entnommen und ohne weitere Reinigung verwendet.

4.1.2 Lösungsmittel

Etherische Lösungsmittel (THF und Diethylether) wurden über Natriumdraht Na/K-Legierung vorgetrocknet und über mit Benzophenon unter Stickstoffatmosphäre destilliert. Kohlenwasserstoffe (Toluol und *n*-Pentan) wurden ebenfalls über Natriumdraht vorgetrocknet, über LiAlH4 unter Stickstoffatmosphäre getrocknet und anschließend abdestilliert. Sämtliche für Arbeiten an der Vakuumapparatur verwendeten Lösungsmittel wurden in wiederverschließbaren Gefäßen unter vermindertem Druck aufbewahrt. Die Lösungsmittel in den Vorratsgefäßen an der Kondensationsapparatur wurden zusätzlich über LiAlH₄ gelagert und bei -196°C direkt auf den Reaktionsansatz kondensiert. Deuterierte Lösungsmittel (C₆D₆, d₈-Toluol und d₈-THF) wurden Chemiehandelsgesellschaft von der Chemotrade mbH bezogen (99 Atom% D), entgast, getrocknet und unter vermindertem Druck über Na/K-Legierung gelagert.

4.1.3 Spektroskopie

Die NMR-Messungen wurden mit einem JL400 FT-NMR-Spektrometer von JEOL durchgeführt. Die chemischen Verschiebungen (in ppm) sind auf Tetramethylsilan (1 H-, 13 C-NMR) bzw. 85%ige Phosphorsäure (31 P-NMR) als externen Standard bezogen. Die Elementaranalyse wurde mit einem Elementaranalysator Vario EL von *Elementar Analysensysteme GmbH* durchgeführt. Die Aufnahme der Ramanspektren erfolgte mit in Kapillaren eingeschmolzenen Proben und einem FT-Raman Spektrometer RFS 100 der Firma Bruker (Nd-YAG-Laser λ = 1064nm).

4.2 Darstellung der bekannten Ausgangsverbindungen

Die folgenden Verbindungen wurden nach literaturbekannten Vorschriften dargestellt:

```
LnCl<sub>3</sub> (Ln = Y, La, Sm, Ho, Er, Lu)<sup>169</sup> KN(SiHMe<sub>2</sub>)<sub>2</sub><sup>40</sup> (Me<sub>3</sub>SiNPPh<sub>2</sub>)<sub>2</sub>CH<sub>2</sub><sup>34</sup> [{(Me<sub>3</sub>SiNPPh<sub>2</sub>)<sub>2</sub>CH}K]<sup>75</sup> [{(Me<sub>3</sub>SiNPPh<sub>2</sub>)<sub>2</sub>CH}LnCl<sub>2</sub>]<sub>2</sub> (Ln = Y, Sm)<sup>75</sup> [La{N(SiMe<sub>3</sub>)<sub>2</sub>}<sub>3</sub>]<sup>45b</sup> cis-[(tBuNH)<sub>2</sub>(PNtBu)<sub>2</sub>]<sup>124</sup> cis-[(tBuNLi·THF)<sub>2</sub>(PNtBu)<sub>2</sub>]<sup>124</sup> (Ph<sub>2</sub>N)K<sup>135</sup> AIMe<sub>2</sub>Br<sup>170</sup> HN(R, S-*CHMePh)(PPh<sub>2</sub>)<sup>160</sup> [\eta<sup>5</sup>-Cp<sub>2</sub>ZrCl<sub>2</sub>]<sup>163</sup> [Zr(CH<sub>2</sub>Ph)<sub>4</sub>]<sup>166</sup>
```

4.3 Darstellung der neuen Verbindungen

4.3.1 Bis(phosphinimino)methanid-bis-dimethylsilylamid-Komplexe

4.3.1.1 Synthese von $[Ln{N(SiHMe_2)_2}_3(THF)_2]$ (Ln = Y (**1a**), La (**1b**), Sm (**1c**), Ho (**1d**) und Lu (**1e**)).

Basierend auf der Syntheseroute beschrieben von Anwander *et al.* wurden die Ausgangsverbindungen wie folgt synthetisiert: $LnCl_3$ (Ln = Y (1a), La (1b), Sm (1c), Ho (1d) und Lu (1e)) und 2.9 Äquivalente $KN(SiHMe_2)_2$ werden in THF gelöst und über Nacht bei Raumtemperatur gerührt. Die Suspension wird im Vakuum bis zur Trockene eingeengt und das Produkt mit Toluol (Ln = Y (1a), Lu (1e)) bzw. n-Pentan (Ln = La (1b), Sm (1c), Ho (1d)) extrahiert. Das so erhaltene Rohprodukt wird mit n-Pentan bei -78°C gewaschen (2ml) und im Vakuum getrocknet.

 $[Y{N(SiHMe_2)_2}_3(THF)_2]$ (1a): 0.500g (2.56mmol) YCl₃ und 1.272g (7.42mmol) KN(SiHMe₂)₂. Ausbeute: 1.033g, 66%.

¹H-NMR (C₆D₆, 400MHz, 20°C): δ = 0.38 (d, 36H, SiH(C**H**₃)₂, ³*J*(H,H) = 2.92Hz); 1.30 (m, 8H, O-C**H**₂); 3.84 (m, 8H, C**H**₂); 4.98 (sept, 6H, Si**H**(CH₃)₂, ³*J*(H,H) = 2.94Hz). - ¹³C{¹H}-NMR (C₆D₆, 100.4MHz, 20°C): δ = 3.3 (SiH(**C**H₃)₂); 25.3 (O-**C**H₂); 71.15 (**C**H₂).

[La{N(SiHMe₂)₂}₃(THF)₂] (1b): 0.400g (0.82mmol) LaCl₃ und 0.810g (2.37mmol) KN(SiHMe₂)₂. Ausbeute: 0.789g. Eine zweite Extraktion mit n-Pentan gibt eine zusätzliche Ausbeute von 0.240g. Gesamtausbeute 1.029g, 93%.

¹H-NMR (C₆D₆, 400MHz, 20°C): δ = 0.38 (d, 36H, SiH(C**H**₃)₂, ³*J*(H,H) = 2.92Hz); 1.35 (m, 8H, O-C**H**₂); 3.91 (m, 8H, C**H**₂); 5.03 (sept, 6H, Si**H**(CH₃)₂, ³*J*(H,H) = 2.95Hz). - ¹³C{¹H}-NMR (C₆D₆, 100.4MHz, 20°C): δ = 3.2 (SiH(**C**H₃)₂); 25.3 (O-**C**H₂); 70.8 (**C**H₂).

 $[Sm{N(SiHMe₂)₂}₃(THF)₂]$ (1c): 0.2g (0.78mmol) SmCl₃ und 0.387g (2.26mmol) KN(SiHMe₂)₂. Ausbeute: 0.473g, 88%.

¹H-NMR (C₆D₆, 400MHz, 20°C): δ = -2.19 (br, 6H, SiH(CH₃)₂); 0.37 (8H, O-CH₂); 1.03 (36H, SiH(CH₃)₂); 1.79 (8H, CH₂); 5.03 (sept, 6H, SiH(CH₃)₂, ³J(H,H) = 2.95Hz). - ¹³C{¹H}-NMR (C₆D₆, 100.4MHz, 20°C): δ = 2.7 (SiH(CH₃)₂); 23.7 (O-CH₂); 68.3 (CH₂). FT-Raman (Einkristall, cm⁻¹): 399 (w), 615 (s), 681 (m), 760 (w), 926 (w), 1240 (w), 1427 (w), 2013 (w, vSi-H), 2075 (w, vSi-H), 2896 (s), 2951 (s, vCH). Elementaranalyse (%) berechnet C₂₀H₅₈N₃O₂Si₆Sm (691.57): C, 34.73; H, 8.45; N, 6.08; gefunden: C, 34.04; H, 8.87; N, 5.70.

[Ho{N(SiHMe₂)₂}₃(THF)₂] (1d): 0.400g (1.47mmol) HoCl₃ und 0.733g (4.28mmol) KN(SiHMe₂)₂. Ausbeute: 1.360g, 97%. Das Produkt 1d wird aus einer konzentrierten THF-Lösung kristallisiert.

FT-Raman (Einkristall, cm⁻¹): 400 (w), 625 (s), 681 (m), 761 (w), 926 (w), 1240 (w), 1427 (w), 2013 (w, vSi-H), 2076 (w, vSi-H), 2896 (s), 2895 (m), 2952 (s, vCH). Elementaranalyse (%): berechnet $C_{20}H_{58}N_3OSi_6Ho$ (706.14): C, 34.02; H, 8.28; N, 5.95; gefunden: C, 33.89; H, 8.92; N 5.86.

[Lu{N(SiHMe₂)₂}₃(THF)₂] (1e): 0.500g (1.78mmol) LuCl₃ und 0.914g (5.16mmol) KN(SiHMe₂)₂. Ausbeute: 0.808g, 63%.

¹H-NMR (C₆D₆, 400MHz, 20°C): δ = 0.39 (d, 36H, SiH(C**H**₃)₂, ³*J*(H,H) = 3.04Hz); 1.25 (m, 8H, O-C**H**₂); 3.85 (m, 8H, C**H**₂); 4.94 (sept, 6H, Si**H**(CH₃)₂, ³*J*(H,H) = 2.98Hz). - ¹³C{¹H}-NMR (C₆D₆, 100.4MHz, 20°C): δ = 3.2 (SiH(**C**H₃)₂); 25.3 (O-**C**H₂); 72.1 (**C**H₂).

4.3.1.2 Synthese von $[\{(Me_3SiNPPh_2)_2CH\}Ln\{N(SiHMe_2)_2\}_2]$ (Ln = Y (2a), La (2b), Sm (2c), Ho (2d) und Lu (2e))

Die Synthese der Verbindungen **2a-2e** erfolgt auf drei unterschiedlichen Reaktionswegen:

<u>Variante A:</u> Eine Mischung von einem Äquivalent **1a-e** und einem Äquivalent (Me₃SiNPPh₂)₂CH₂ wird in 20mL Toluol gelöst und 36h unter Rückfluss erhitzt. Die Suspension wird im Vakuum bis zur Trockene eingeengt und mit 25mL *n*-Pentan versetzt. Die Suspension wird abfiltriert und das Lösungsmittel im Vakuum abdestilliert. Abschließend erhält man das weiße (**2a**, **2b**, **2e**) bis schwach gelbliche (**2c**) und gelb/rosane (**2d**), mikrokristalline Produkt aus *n*-Pentan bei -78°C.

<u>Variante B:</u> Eine Mischung von einem Äquivalent [{(Me₃SiNPPh₂)₂CH}LnCl₂]₂ (Ln = Y, Sm) und zwei Äquivalenten KN(SiHMe₂)₂ wird mit 20mL versetzt und 24h bei Raumtemperatur gerührt. Die Suspension wird im Vakuum bis zur Trockene eingeengt und mit 25mL *n*-Pentan versetzt. Die Suspension wird abfiltriert und das Lösungsmittel im Vakuum abdestilliert. Abschließend erhält man das mikrokristalline Produkt aus Pentan bei -78°C.

<u>Variante C:</u> Eine Mischung von einem Äquivalent LaCl₃, einem Äquivalent [{(Me₃SiNPPh₂)₂CH}K] und zwei Äquivalenten KN(SiHMe₂)₂ wird mit 20mL THF versetzt und 48h bei Raumtemperatur gerührt. Die Suspension wird im Vakuum bis zur Trockene eingeengt und mit 25mL *n*-Pentan versetzt. Die Suspension wird abfiltriert und das Lösungsmittel im Vakuum abdestilliert. Abschließend erhält man das mikrokristalline Produkt aus Pentan bei -78°C.

[{(Me₃SiNPPh₂)₂CH}Y{N(SiHMe₂)₂}₂] (2a): Variante A: 0.150g (0.24mmol) Y{N(SiHMe₂)₂}₃(THF)₂] (1a) und 0.134g (0.24 mmol) (Me₃SiNPPh₂)₂CH₂. Ausbeute: 0.102g, 79%. Variante B: 0.331g (0.23mmol) [{(Me₃SiNPPh₂)₂CH}YCl₂]₂ und 0.158g (0.92mmol) KN(SiHMe₂)₂. Ausbeute: 0.371g, 88%. Einkristalle von 2a erhält man durch Kristallisation aus siedendem n-Pentan.

¹H-NMR (C₆D₆, 400MHz, 20°C): δ = 0.12 (s, 18H, Si(C**H**₃)₃); 0.60 (d, 24H, SiH(C**H**₃)₂, ³J(H,H) = 2.80Hz); 2.63 (t, 1H, C**H**. ³J(H,P) = 6.83Hz.); 5.50 (sept, 4H, Si**H**(CH₃)₂, ³J(H,H) = 2.76Hz); 6.8-7.5 (m, 20H, Ph). ³¹P{¹H}-NMR (C₆D₆, 161.7MHz, 20°C): δ = 20.1 (d, ²J(P,Y)= 6.00Hz). - FT-Raman (Einkristall, cm⁻¹): 406 (w), 622 (s), 661 (w), 679 (w), 999 (s, vPC), 1027 (m), 1109 (w), 1159 (w), 1575 (w), 1590 (m, vC=C), 2044 (w, vSi-H), 2140 (w, vSi-H), 2896 (m), 2950 (s, vCH), 3061 (m, vC=C-H). - Elementaranalyse (%) berechnet C₃₉H₆₇N₄P₂Si₆Y (961.34): C, 51.40; H, 7.41; N, 6.15; gefunden: C, 51.15; H, 7.18; N, 5.43.

[{(Me₃SiNPPh₂)₂CH}La{N(SiHMe₂)₂}₂] (2b): <u>Variante A:</u> 0.100g (0.15mmol) [La{N(SiHMe₂)₂}₃(THF)₂] (1b) und 0.082g (0.15mmol) (Me₃SiNPPh₂)₂CH₂. Ausbeute: 0.133g, 94%. Einkristalle von 2b erhält man durch Kristallisation aus siedendem n-Pentan.

<u>Variante C:</u> 0.123g (0.5mmol) LaCl₃, 0.300g (0.5mmol) [{(Me₃SiNPPh₂)₂CH}K] und 0.171g (1mmol) KN(SiHMe₂)₂. Ausbeute: 0.390g (66%).

¹H-NMR (C₆D₆, 400MHz, 20°C): δ = 0.13 (s, 18H, Si(C**H**₃)₃); 0.56 (d, 24H, SiH(C**H**₃)₂, ³J(H,H) = 2.92Hz); 2.35 (t, 1H, C**H**, ³J(H,P) = 6.33Hz); 5.44 (sept, 4H, Si**H**(CH₃)₂, ³J(H,H) = 2.92Hz); 6.8-7.5 (m, 20H, Ph). - ³¹P{¹H}-NMR (C₆D₆, 161.7MHz, 20°C): δ = 17.1 (s). - FT-Raman (Einkristall, cm⁻¹): 407 (w), 626 (s), 662 (w), 678 (w), 999 (s, vPC), 1027 (m), 1107 (w), 1159 (w), 1578 (w), 1590 (m, vC=C), 2044 (w, vSi-H), 2147 (w, vSi-H), 2895 (m), 2949 (s, vCH), 3062 (m, vC=C-H). - Elementaranalyse (%) berechnet C₃₉H₆₇LaN₄P₂Si₆ (961.34): C, 48.73; H, 7.02; N, 5.83; gefunden: C, 48.72; H, 7.33; N, 5.34.

[{(Me₃SiNPPh₂)₂CH}Sm{N(SiHMe₂)₂}₂] (2c): <u>Variante A:</u> 0.100g (0.15mmol) [Sm{N(SiHMe₂)₂}₃(THF)₂] (1c) und 0.082g (0.15mmol) (Me₃SiNPPh₂)₂CH₂. Ausbeute: 0.133g, 94%. Einkristalle von 2c erhält man durch Kristallisation aus siedendem n-Pentan.

<u>Variante B:</u> 0.331g (0.21mmol) [$\{(Me_3SiNPPh_2)_2CH\}SmCl_2\}_2$ und 0.145g (0.85mmol) KN(SiHMe₂)₂. Ausbeute: 0.335g, 80%.

 $^{31}P\{^{1}H\}$ NMR (C₆D₆, 161.7 MHz, 20 °C): δ = 26.3 (s, br). - FT-Raman (Einkristall, cm $^{-1}$): 402 (w), 618 (s), 659 (w), 680 (w), 999 (s, vPC), 1027 (m), 1108 (w), 1159 (w), 1575 (w), 1590 (m, vC=C), 2047 (w, vSi-H), 2122 (w, vSi-H), 2895 (m), 2948 (s, vCH), 3060 (m, vC=C-H). - Elementaranalyse (%) berechnet $C_{39}H_{67}N_4P_2Si_6Sm$ (972.80): C, 48.15; H, 6.94; N, 5.76; gefunden C, 49.80; H, 6.83; N, 5.13.

[{(Me₃SiNPPh₂)₂CH}Ho{N(SiHMe₂)₂}₂] (2d): <u>Variante A:</u> 0.500g (0.71mmol) [Ho{N(SiHMe₂)₂}₃(THF)₂] (1d) und 0.396g (0.71mmol) (Me₃SiNPPh₂)₂CH₂. Ausbeute: 0.404g, 58%. Einkristalle von 2d erhält man durch Kristallisation aus siedendem n-Pentan.

FT-Raman (Einkristall, cm⁻¹): 405 (w), 623 (s), 661 (w), 679 (w), 999 (s, vPC), 1027 (m), 1108 (w), 1159 (w), 1575 (w), 1590 (m, vC=C), 2045 (w, vSi-H), 2137 (w, vSi-H), 2895 (m), 2950 (s, vCH), 3061 (m, vC=C-H). - Elementaranalyse (%) berechnet $C_{39}H_{67}HoN_4P_2Si_6$ (987.37): C, 47.44; H, 6.84; N, 5.67; gefunden: C, 47.56; H, 6.89; N, 5.28.

[{(Me₃SiNPPh₂)₂CH}Lu{N(SiHMe₂)₂}₂] (2e): <u>Variante A:</u> 0.150g (0.24mmol) [Lu{N(SiHMe₂)₂}₃(THF)₂] (1e) und 0.134g (0.24mmol) (Me₃SiNPPh₂)₂CH₂. Ausbeute: 0.102g, 79%. Einkristalle von 2e erhält man durch Kristallisation aus siedendem n-Pentan.

¹H-NMR (C₆D₆, 400MHz, 20°C): δ = 0.12 (s, 18H, SiH(C**H**₃)₂); 0.64 (d, 24H, Si(C**H**₃)₃, ³*J*(H,H) = 2.92Hz); 2.77 (t, 1H, C**H**, ³*J*(H,P) = 6.65Hz)); 5.45 (sept, 4H, Si**H**(CH₃)₂, ³*J*(H,H) = 2.90Hz)); 6.8-7.5 (m, 20H Ph). ³¹P{¹H}-NMR (C₆D₆, 161.7MHz, 20°C): δ = 20.6 (s). - FT-Raman (Einkristall, cm⁻¹): 407 (w), 626 (s), 662 (w), 677 (w), 999 (s, vPC), 1027 (m), 1108 (w), 1159 (w), 1575 (w), 1590 (m, vC=C), 2044 (w, vSi-H), 2150 (w, vSi-H), 2895 (m), 2949 (s, vCH), 3062 (m, vC=C-H). Elementaranalyse (%) berechnet C₃₉H₆₇LuN₄P₂Si₆ (997.40): C, 46.96; H, 6.77; N, 5.62; gefunden: C, 47.26; H, 6.65; N, 4.62.

4.3.2 Bis(t-butylamido)cyclodiphosph(III)azan-Komplexe

4.3.2.1 Synthese von cis-[{(tBuN)₂(PNtBu)₂}Ln(Cl_2){Li(THF)₄}] (Ln = Y (**3a**), Ho (**3b**) und Er (**3c**))

Eine Mischung von einem Äquivalent $LnCl_3$ (Ln = Y ($\bf 3a$), Er ($\bf 3b$) und Ho ($\bf 3c$)) und einem Äquivalent cis-[($tBuNLi\cdot THF$)₂(PNtBu)₂] wird mit 20mL THF versetzt und 12h zur Siede erhitzt. Die Suspension wird im Vakuum bis zur Trockene eingeengt und mit 20mL Toluol versetzt. Die Suspension wird abfiltriert und das Lösungsmittel im Vakuum abdestilliert. Abschließend erhält man das Produkt durch Kristallisation aus THF/n-Pentan (1:3).

 $cis-[\{(tBuN)_2(PNtBu)_2\}Y(Cl_2)\{Li(THF)_4\}]$ (3a): 0.121g (0.8mmol) YCl₃ und 0.404g (0.8mmol) $cis-[(tBuNP)_2(tBuNLi\cdot THF)_2]$. Ausbeute: 0.205g (27%) farblose Kristalle.

¹H-NMR (d₈-THF, 400MHz, 20°C): δ = 2.71 (s, 18H, tBu); 2.91 (s, 18, tBu) - ³¹P{¹H} NMR (d₈-THF, 161.7 MHz, 20 °C): δ = 91.6 (s). - FT-Raman (Einkristall, cm⁻¹): 134 (m), 155 (s), 247 (s), 351 (w), 474 (m), 536 (m), 762 (w), 801 (w), 912 (w), 1223 (m), 1449 (m), 2897 (s), 2921 (s), 2962 (s, vCH).- Elementaranalyse (%) berechnet für **3a** - 3 THF C₂₀H₄₄Cl₂LiN₄OP₂Y (584.16): C, 41.04; H, 7.58; N, 9.57; gefunden: C, 40.98; H, 7.65; N, 9.49.

cis-[{(tBuN)₂(PNtBu)₂}Ho(Cl_2){Li(THF)₄}] (3b): 0.230g (0.8mmol) HoCl₃ und 0.404g (0.8mmol) cis-[(tBuNLi-THF)₂(PNtBu)₂]. Ausbeute: 0.127g (18%) gelb/rosa Kristalle.

FT-Raman (Einkristall, cm⁻¹): 119 (m), 133 (m), 156 (s), 240 (s), 350 (w), 473 (m), 536 (m), 764 (w), 802 (w), 912 (w), 1223 (m), 1449 (m), 2897 (s), 2921 (s), 2962 (s, vCH). - Elementaranalyse (%) berechnet für 3c - 3 THF $C_{20}H_{44}Cl_2HoLiN_4OP_2$ (661.31): C, 36.32; H, 6.71; N, 8.47; gefunden: C, 35.72; H, 6.61; N, 8.17.

cis-[{(tBuN)₂(PNtBu)₂}Er(Cl_2){Li(THF)₄}] (3c): 0.219g (0.8mmol) ErCl₃ und 0.404g (0.8mmol) cis-[(tBuNLi·THF)₂(PNtBu)₂]. Ausbeute: 0.035g (5%) rosa Kristalle.

FT-Raman (Einkristall, cm $^{-1}$): 118 (m), 133 (m), 156 (s), 240 (s), 350 (w), 473 (m), 536 (m), 764 (w), 802 (w), 912 (w), 1223 (m), 1449 (m), 2896 (s), 2921 (s), 2962 (s, vCH). - Elementaranalyse (%) berechnet für **3b** - 3 THF $C_{20}H_{44}Cl_2ErLiN_4OP_2$ (663.6): C, 36.20; H, 6.68; N, 8.44; gefunden: C, 35.68; H, 6.69; N, 8.34.

4.3.2.2 Synthese von $[\{(tBuN)_2(PNtBu)_2\}SmCl_3Li_2(THF)_4]$ (4).

cis-[{(tBuN)₂(PNtBu)₂}SmCl₃Li₂(THF)₄] (4): Eine Mischung von 0.210g (0.8mmol) SmCl₃ und 0.404g (0.8mmol) cis-[(tBuNLi·THF)₂(PNtBu)₂] werden mit 20 mL THF versetzt und 12h zur Siede erhitzt. Die Suspension wird im Vakuum bis zur Trockene eingeengt und mit 20mL Toluol versetzt. Die Suspension wird abfiltriert und das Lösungsmittel im Vakuum abdestilliert. Abschließend erhält man das Produkt durch Kristallisation aus THF/n-Pentan (1:3). Ausbeute: 0.219g (30%) schwach gelbe Kristalle.

FT-Raman (Einkristall, cm $^{-1}$): 121 (m), 151 (s), 238 (s), 347 (w), 471 (s), 535 (s), 761 (s), 801 (s), 911 (m), 1222 (w), 1449 (m), 2896 (m), 2922 (s), 2962 (s, vCH). Elementaranalyse (%) berechnet für **4** - 3 THF $C_{20}H_{44}CI_3Li_2N_4OP_2Sm$ (689.14): C, 34.86; H, 6.44; N, 8.13; gefunden: C, 33.80; H, 6.75; N, 7.64.

4.3.2.3 Synthese von $[{(tBuN)_2(PNtBu)_2}Y{(NPh_2)_2}{Li(THF)_4}]$ (5)

cis-[{(tBuN)₂(PNtBu)₂}Y{(NPh₂)₂}{Li(THF)₄}] (5): Eine Mischung von 0.854g (0.8mmol) [{(tBuN)₂(PNtBu)₂}YCl₂·Li(THF)₄] **3b** und 0.332g (1.6mmol) KNPh₂ werden mit 20mL THF versetzt und 12h bei Raumtemperatur gerührt. Die Suspension wird im Vakuum bis zur Trockene eingeengt und mit 20mL Toluol versetzt. Die Suspension wird abfiltriert und das Lösungsmittel im Vakuum

abdestilliert. Abschließend erhält man das Produkt durch Kristallisation aus THF/*n*-Pentan (1:3). Ausbeute: 0.203g (24%) gelbe Kristalle.

¹H-NMR (C₆D₆, 400MHz, 20°C): δ = 1.00 (s, 18H, tBu); 1.22 (s, 18, tBu); 1.6 (m, THF), 3.5 (m, THF); 6.2-6.9 (m, Ph) - ³¹P{¹H}-NMR (C₆D₆, 161.7MHz, 20°C): δ = 127.6 (s). - FT-Raman (Einkristall, cm⁻¹): 103 (s), 118 (s), 214 (m), 318 (w), 411 (w), 523 (m), 535 (w), 646 (m), 865 (w), 985 (s), 995 (m), 1027 (m), 1149 (w), 1205 (w), 1448 (w), 1575 (m), 1591 (m), 2891 (m), 2919 (m), 2958 (m), 3021 (w), 2048 (m). - Elementaranalyse (%) berechnet C₅₆H₈₈LiN₆O₄P₂Y (1067.13): C, 63.02; H, 8.31; N, 7.88; gefunden: C, 62.55; H, 9.81; N, 7.76.

4.3.2.4 Synthese von cis-[{ $(tBuN)_2(PNtBu)_2$ }LnCI·THF] (Ln = Y (**6a**), La (**6b**) und Sm (**6c**))

Eine Mischung von einem Äquivalent LnCl₃ (Ln = Y (**6a**), La (**6b**) und Sm, (**6c**)) und einem Äquivalent *cis*-[(*t*BuNLi·THF)₂(PN*t*Bu)₂] wird mit 20mL THF versetzt und 12h zur Siede erhitzt. Die Suspension wird im Vakuum bis zur Trockene eingeengt und mit 20mL Toluol versetzt. Die Suspension wird zur Siede erhitzt, abfiltriert und das Lösungsmittel im Vakuum abdestilliert. Abschließend erhält man das Produkt durch Kristallisation aus heißem Toluol.

cis-[{(tBuN)₂(PNtBu)₂}YCI-THF] (6a): 0.404g (0.8mmol) cis-[(tBuNLi-THF)₂(PNtBu)₂] und 0.156g (0.8mmol) YCI₃. Ausbeute: 0.065g (15%) farblose Kristalle.

¹H-NMR (d₈-THF, 400MHz, 20°C): δ = 1.23 (s, 18H, tBu); 1.37 (s, 18, tBu) - ³¹P{¹H}-NMR (d₈-THF, 161.7MHz, 20°C): δ = 99.7 (s). - FT-Raman (Einkristall, cm⁻¹): 119 (s), 260 (m), 533 (w), 548 (w), 607 (w), 743 (m), 810 (w), 914 (m), 1033 (w), 1225 (m), 1448 (s), 1464 (s), 2912 (s), 2926 (s), 2971 (s, vCH). - Elementaranalyse (%) berechnet für **6a** - THF C₁₆H₃₆ClN₄P₂Y (470.79): C, 40.82; H, 7.71; N, 11.90; gefunden: C, 40.97; H, 7.62; N, 9.50.

cis-[{(tBuN)₂(PNtBu)₂}LaCl-THF] (6b): 0.218g (0.63mmol) cis-[(tBuNLi-THF)₂(PNtBu)₂] und 0.122g (0.63mmol) LaCl₃. Ausbeute: 0.085g (18%) farblose Kristalle.

 1 H-NMR (d₈-THF, 400MHz, 20°C): δ= 1.24 (s, 18H, tBu); 1.35 (s, 18, tBu) - 31 P{ 1 H}-NMR (d₈-THF, 161.7MHz, 20°C): δ = 93.2. - FT-Raman (Einkristall, cm $^{-1}$): 118 (s), 264 (m), 533 (w), 546 (w), 603 (w), 743 (m), 811 (w), 913 (m), 1030 (w), 1222 (m), 1447 (s), 1461 (s), 2912 (s), 2928 (s), 2971 (s, vCH). - Elementaranalyse (%) berechnet C_{16} H₃₆ClLaN₄P₂ (520.79): C, 40.52; H, 7.48; N, 9.45; gefunden: C, 40.52; H, 7.17; N, 7.01.

cis-[{(tBuN)₂(PNtBu)₂}SmCI-THF] (6c): 0.404g (0.8mmol) cis-[(tBuNLi-THF)₂(PNtBu)₂] und 0.206g (0.8mmol) SmCl₃. Ausbeute: 0.097g (20%) gelbe Kristalle.

FT-Raman (Einkristall, cm $^{-1}$): 118 (s), 260 (m), 533 (w), 543 (w), 603 (w), 742 (m), 808 (w), 915 (m), 1032 (w), 1222 (m), 1448 (s), 1461 (s), 2910 (s), 2925 (s), 2972 (s, vCH). - Elementaranalyse (%) berechnet $C_{16}H_{36}CIN_4P_2Sm$ (604.35): C, 39.75; H, 7.34; N, 9.27; gefunden: C, 41.80; H, 8.08; N, 11.57.

4.3.3 Bis(t-butylamido)cyclodiphosph(III)azan-Aluminiumalkyl-Addukte

4.3.3.1 Synthese von cis-[(tBuNH)₂(PNtBu)($P(\cdot AlMe_2X)NtBu$)] (X = Me (**7a**), Cl (**7b**) und Br (**7c**))

Eine Lösung von einem Äquivalent cis-[(tBuNH)₂(PNtBu)₂] in 2mL Toluol wird mit einer Lösung von einem Äquivalent AlMe₂X (X = Me (**7a**), Cl (**7b**) und Br (**7c**)) in Toluol bei 0°C tropfenweise versetzt. Abschließend erhält man das Produkt durch Kristallisation bei -20°C.

cis-[(tBuNH)₂(PNtBu)($P(\cdot AlMe_3)NtBu$)] (7a): $\cdot 0.348$ (1.0mmol) cis-[(tBuNP)₂(tBuNH)₂] und 0.5ml einer 2M Lösung von AlMe₃ in Toluol. Ausbeute: 0.270g (64%) farblose Kristalle.

¹H-NMR (C₆D₆,, 400MHz, 20°C): δ = -0.16 (s, 9H, AlMe₃); 1.14 (s, 18, tBu); 1.42 (s, 18H, tBu); 2.96 (br, 2H, N**H**). - ³¹P{¹H}-NMR (C₆D₆, 161.7MHz, 20°C): δ = 62.7 (br), 88.6 (br). Elementaranalyse (%) berechnet C₁₉H₄₇AlN₄P₂ (420.53): C, 54.27; H, 11.27; N, 13.32; gefunden: C, 54.03; H, 11.27; N, 13.53.

cis-[(tBuNH)₂(PNtBu)(P(·AIMe₂CI)NtBu)] (7b): ·0.348g (1.0mmol) cis-[(tBuNP)₂(tBuNH)₂] und 1ml einer 1M Lösung von AlMe₂Cl in Hexan. Ausbeute: 0.189g (43%) farblose Kristalle.

¹H-NMR (d₈-Toluol, 400MHz, 20°C): δ = -0.14 (s, 6H, AlMe₂Cl); 1.14 (s, 18, tBu); 1.39 (s, 18H, tBu); 3.12 (br, 2H, N**H**). - ³¹P{¹H}-NMR (d₈-Toluol, 161.7MHz, 20°C): δ = 49.2 (br), 88.1 (br). Elementaranalyse (%) berechnet C₁₈H₄₄AlClN₄P₂ (440.95): C, 49.03; H, 10.06; N, 12.71; gefunden: C, 48.69; H, 10.66; N, 12.69.

cis-[(tBuNH)₂(PNtBu)(P(·AIMe₂Br)NtBu)] (7c): ·0.174g (0.5mmol) cis-[(tBuNP)₂(tBuNH)₂] und 1ml einer 0.5M Lösung von AlMe₂Br in Toluol. Ausbeute: 0.133g (47%) farblose Kristalle.

Elementaranalyse (%) berechnet $C_{18}H_{44}AlBrN_4P_2$ (485.40): C, 44.54; H, 9.14; N, 11.54; gefunden: C, 47.68; H, 10.59; N, 12.90.

4.3.3.2 Synthese von *cis*-[(*t*BuNH)(PN*t*Bu₂)(*t*BuN·AlMeCl₂)(P(H)N*t*Bu)] (**7d**)

cis-[(tBuNH)(PNtBu)(tBuN·AIMeCl₂)(P(H)NtBu)] (7d): 0.348g (0.5mmol) cis-[(tBuNH)₂(PNtBu)₂] und 1ml einer 1M Lösung von AlMeCl₂ in Toluol. Die Lösung wird über Nacht bei Raumtemperatur gerührt. Abschließend erhält man das Produkt durch Kristallisation bei -20°C. Ausbeute: 0.228g (49%) farblose Kristalle.

¹H-NMR (C₆D₆, 400MHz, 20°C): δ = 0.30 (s, 3H, AlMeCl₂); 0.91 (d, 9H, tBu, ³J(P,H) = 1.6 Hz); 1.30 (s, 18H, tBu), 1.50 (s, 9H, tBu), 1.65 (s, 1H, N**H**), 8.18 (dd, 1H, P**H**, ¹J(P,H) = 612 Hz, ³J(P,H) = 4.18 Hz); - ³¹P-NMR (C₆D₆, 161.7MHz, 20°C): δ = -6.8 (d, ¹J(P,H) = 612 Hz), 76.2 (s). Elementaranalyse (%) berechnet C₁₈H₄₄AlBrN₄P₂ (485.40): C, 44.54; H, 9.14; N, 11.54; gefunden: C, 44.26; H, 8.96; N, 12.14.

4.3.3.3 Synthese von *cis*-[(tBuNH)(PNtBu)(tBuN·AlCl₃)(P(H)NtBu)] (**7e**)

cis-[(tBuNH)(PNtBu)(tBuN·AICI₃)(P(H)NtBu)] (7e): ·0.131g (0.37mmol) cis-[(tBuNH)₂(PNtBu)₂], gelöst in 10ml Toluol, werden langsam zu einer Lösung von 0.050g (0.37mmol) AlCl₃ in 10ml Toluol getropft. Die Lösung wird über Nacht bei Raumtemperatur gerührt. Abschließend erhält man das Produkt durch Kristallisation bei -20°C. Ausbeute: 0.228g (52%) farblose Kristalle.

Elementaranalyse (%) berechnet $C_{16}H_{38}AlCl_3N_4P_2$ (481.79): C, 39.89; H, 7.95; N, 11.63; gefunden: C, 38.45; H, 8.09; N, 10.82.

4.3.4 Bis(amido)cyclodiphosph(III)azan-Derivate

Eine Lösung von einem Äquivalent *cis*-[(CIPN*t*Bu)₂] in THF wird mit einem Überschuss NEt₃ versetzt. Anschließend werden zwei Äquivalente des primären Amines in THF bei Raumtemperatur zugetropft und 4d zur Siede erhitzt. Die Suspension wird im Vakuum bis zur Trockene eingeengt und mit 20mL Pentan versetzt. Das Hydrochlorid wird abfiltriert und das Lösungsmittel im Vakuum abdestilliert. Zum Schluss wird das farblose, ölige Produkt bei -20°C kristallisiert.

4.3.4.1 Synthese von cis-[(PhMeHC(R)*NH)₂(PNtBu)₂] (8a) und cis-[(PhMeHC(S)*NH)₂(PNtBu)₂] (8b)

cis-[(PhMeHC(*R*)*NH)₂(PN*t*Bu)₂] (8a) und *cis*-[(PhMeHC(*S*)*NH)₂(PN*t*Bu)₂] (8b): 5g (18.2mmol) *cis*-[(ClPN*t*Bu)₂], 3.69g (36.4mmol) NEt₃ und 4.40g (36.4mmol) PhMeHC(*R*)*NH₂ (8a) bzw. 7.465g (27.0mmol) *cis*-[(ClPN*t*Bu)₂], 10.983g (108.5mmol) NEt₃ und 6.577g (54.3mmol) PhMeHC(*S*)*NH₂ (8b). Ausbeute 8a: 7.207g (89%). Ausbeute 8b: 10.215g (85%).

¹H-NMR (C₆D₆, 400MHz, 20°C): δ = 1.25 (s, 18H, tBu); 1.32 (d, 6H, CH₃, ³J(H,H) = 6.83Hz); 3.01 (dd, 2H, NH, ²J(H,P) = 14.27 Hz, ³J(H,H) = 9.41Hz); 4.6 (m, 2H, CH); 7.0-7.2 (m, 20H, Ph). ³¹P{¹H}-NMR (C₆D₆, 161.7MHz, 20°C): δ = 96.2 (s, br). - Elementaranalyse (%) berechnet C₂₄H₃₈N₄P₂ (444.53): C, 64.84; H, 8.62; N, 12.60; gefunden: C, 64.43; H, 8.72; N, 12.18.

4.3.4.2 Synthese von cis-[(Me₂NCH₂CH₂NH)₂(PNtBu)₂] (9)

cis-[(Me₂NCH₂CH₂NH)₂(PN*t*Bu)₂] (9): 0.352g (12.8mmol) *cis*-[(CIPN*t*Bu)₂], 12.9g (128mmol) NEt₃ und 9.0g (102.4mmol) Me₂NCH₂CH₂NH₂. Ausbeute: 3.37g (70%)

¹H-NMR (C₆D₆, 400 MHz, 20 °C): δ = 1.17 (s, 18H, *t*Bu); 1.78 (s, 12H, CH₃); 1.97 (t, 4H, NCH₂, ³J(H,H) = 6.21 Hz); 2.86 (m, 4H, CH₂N); 3.01 (td, 2H, NH). ³¹P{¹H}-NMR (C₆D₆, 161.7MHz, 20°C): δ = 96.2 (s, br). - Elementaranalyse (%) berechnet C₁₆H₄₀N₆P₂ (378.48): C, 50.77; H, 10.65 N, 22.20; gefunden: C, 49.14; H, 10.73; N, 21.93.

4.3.4.3 Synthese von cis-[(2,6-iPr₂C₆H₃NH)₂(PNtBu)₂] (**10**)

cis-[(2,6-iPr₂C₆H₃NH)₂(PNtBu)₂] (10): 4.0g (14.5mmol) cis-[(CIPNtBu)₂], 5.87g (58.0mmol) NEt₃ und 5.15g (29.0mmol) 2,6-iPr₂C₆H₃NH₂. Ausbeute: 7.202g (89%)

¹H NMR (C₆D₆, 400MHz, 20°C): δ = 1.28 (s, 18H, tBu); 1.33 (d, 24H, CH(C**H**₃)₂, ³J(H,H) = 6.83 Hz); 3.88 (Septett, 4H, CH(C**H**₃)₂, ³J(H,H) = 6.83 Hz); 4.91 (s, 2H, N**H**); 6.9-7.2 (m, 6H, Ph). ³¹P{¹H}-NMR (C₆D₆, 161.7MHz, 20°C): δ = 115.4.

4.3.5 HN(*R*,*S*-*CHMePh)(PPh₂) als Ligandsystem in der Zirkoniumchemie

4.3.5.1 Synthese von $HN(R-^*CHMePh)(P(=O)Ph_2)$ (11a) und $HN(S-^*CHMePh)(P(=O)Ph_2)$ (11b).

HN(*R*-*CHMePh)(P(=O)Ph₂) (11a) und HN(*S*-*CHMePh)(P(=O)Ph₂) (11b): Eine Lösung von 1.436g HN(*R*-*CHMePh)(PPh₂) bzw. 1.754g HN(*S*-*CHMePh)(PPh₂) in 5mL Toluol werden mit 2ml 30% H₂O₂-Lösung versetzt und mehrere Tage der Luft ausgesetzt. Unter Umrühren der erhaltenen, konzentrierten Lösung bildet sich ein eiweißfarbiger, mikokristalliner Niederschlag. Dieser wird in dest. Wasser aufgeschlämmt, abfiltriert, mit Pentan nachgewaschen und bei 100°C getrocknet. Ausbeute 11a: 1.014g, 71%. Ausbeute 11b: 1.026g, 59%.

¹H-NMR (CDCl₃, 400 MHz, 25°C): δ = 1.42 (d, 3H, Me, ³*J*(H,H) = 6.8 Hz), 3.43 (br, 1H, NH), 4.23 (br, 1H, CH), 7.15-7.50 (m, 11H, Ph) 7.73-7.93 (m, 4 H_{ortho}, PPh₂). - ¹³C{¹H}-NMR (CDCl₃, 100.4 MHz, 25°C): δ = 25.76 (d, CH₃, ²*J*(C,C) =), 50.85 (s, CH), 125.79 (s, 2 C_{ortho}, Ph), 126.83 (s, C_{para}, Ph), 128,09-128.30 (m, PPh₂), 128.31 (s, 2 C_{meta}, Ph). 131.33- 133.62 (m, PPh₂), 144.94 (d, C_{ipso}, Ph) - ³¹P{¹H}-NMR (CDCl₃, 161.7 MHz, 25°C): δ = 23.15 (s). C₂₀H₂₀NOP (321.36): berechnet C, 74.70; H, 6.27; N, 4.36; gefunden C, 73.78; H, 6.22; N, 4.28.

4.3.5.2 Synthese von $LiN(R-*CHMePh)(PPh_2)$ (12a) und $LiN(S-*CHMePh)(PPh_2)$ (12b).

LiN(*R*-*CHMePh)(PPh₂)·(12a) und LiN(*S*-*CHMePh)(PPh₂) (12b): 69mL (110 mmol) einer 1.6M Lösung von *n*BuLi in Hexan wird langsam unter Rühren zu einer Lösung von 3.05g (100mmol) HN(*R*-*CHMePh)(PPh₂) bzw. HN(*S*-*CHMePh)(PPh₂) in 40mL THF bei 0°C gegeben. Es bildet sich sogleich ein gelber Niederschlag. Die Mischung wird für eine Stunde bei Raumtemperatur gerührt, anschließend bei -78°C filtriert. Der verbleibende gelbe Rückstand wird in 5mL *n*-Pentan aufgeschlämmt, die organische Phase wird abfiltriert und der verbleibende gelbe Rückstand *in vacuo* getrocknet. Ausbeute 12a: 2.65 g (85.3%). Ausbeute 12b: 2.93g (94.5%).

¹H-NMR (d₈-THF, 400MHz, 25°C): δ = 1.08 (d, 3H, CH₃, ³*J*(H-H) = 6.4 Hz), 4.30 (q, 1H, CH, ³*J*(H-H) = 6.4 Hz), 6.86-7.32 (m, 15H, Ph). ³¹P{¹H}-NMR (d₈-THF, 161.7MHz, 25°C): δ = 48.8.

4.3.5.3 Synthese von $[(\eta^5-Cp)_2Zr(Cl)\{\eta^2-N(R-*CHMePh)(PPh_2)\}]$ (13a) und $[(\eta^5-Cp)_2Zr(Cl)\{\eta^2-N(S-*CHMePh)(PPh_2)\}]$ (13b).

[(η⁵-Cp)₂Zr(Cl){η²-N(R-*CHMePh)(PPh₂)}] (13a) und [(η⁵-Cp)₂Zr(Cl){η²-N(S-*CHMePh)(PPh₂)}] (13b): Eine Mischung von 480mg (1.65mmol) [η⁵-Cp₂ZrCl₂] und 0.515g (1.65mmol) **12a,b** wird mit 10mL THF versetzt und 48h bei Raumtemperatur gerührt. Die violette Suspension wird im Vakuum bis zur Trockene eingeengt und mit 25mL Toluol versetzt. Die Suspension wird abfiltriert und das Lösungsmittel im Vakuum abdestilliert. Das so erhaltene Rohprodukt wird mit n-Pentan gewaschen (3x10ml) und im Vakuum getrocknet. Abschließend erhält man das Produkt durch Kristallisation aus heißem Toluol. Ausbeute (**13a**): 0.740g (80%). Ausbeute (**13b**): 0.790g (85%).

¹H-NMR (d₈-THF, 400MHz, 25°C): δ = 1.66 (3H, d, CH₃, ³*J*(H-H) = 7.43 Hz), 4.93 (1H, q, CH), 5.95 (d, 10H, Cp, ³J(H,P) = 17.5 Hz), 7.0-7.5 (m, 15H, Ph). - ³¹P{¹H}-NMR (d₈-THF, 161.7MHz, 25°C): δ = -19.5. C₃₀ClH₂₉NPZr

(561.21): berechnet: C, 64.20; H, 5.21; N, 2.50; gefunden: C, 63.97; H, 5.29; N, 2.47%.

4.3.5.4 Synthese von [(PhCH₂)₃Zr{ η^2 -N(S-*CHMePh)(PPh₂)}] (**14**).

[(PhCH₂)₃Zr{η²-N(S-*CHMePh)(PPh₂)}] (14): 498mg (1.09mmol) [(PhCH₂)₄Zr] werden mit 20mL Toluol gelöst. Anschließend werden 666 mg (2.18mmol) 11b in 2mL Toluol zugegeben und 17h bei Raumtemperatur gerührt. Langsam bildet sich ein brauner Niederschlag und eine orange Lösung. Die Suspension wird abfiltriert und das Lösungsmittel im Vakuum abdestilliert. Das so erhaltene Rohprodukt wird mit *n*-Pentan gewaschen (2x10ml) und im Vakuum getrocknet. Abschließend erhält man das Produkt durch Kristallisation aus Toluol/*n*-Pentan (1:3). Ausbeute: 0.100g (14%).

¹H-NMR(C₆D₆, 400 MHz, 20.9 °C): δ = 1.45 (d, 3H, CH₃), 2.00-2.11 (br, 6H, CH₂), 4.94 (q, 1H, CH), 6.63–6.65 (d, 4H, Ph), 6.92–7.13 (m, 22H, Ph), 7.35–7.49 (m, 4H, Ph). ³¹P{¹H}-NMR (C₆D₆, 161.7MHz, 23.2°C): δ = -7.0. C₄₁H₄₀NPZr (668.93): berechnet: C, 73.61; H, 6.03; N, 2.09%; gefunden: C, 72.40; H, 6.40; N, 2.13%.

5 Kristallstrukturuntersuchungen

5.1 Datensammlung und Verfeinerung

Die Messung von Reflexlagen und -intensitäten erfolgte in der vorliegenden Arbeit mit Hilfe eines STOE IPDS 2T und einem BRUKER SMART 1000 CCD Diffraktometer. Beide arbeiten mit einer Mo-Anode (Mo-K $_{\alpha}$ -Strahlung; λ = 71.073pm) und nachgeschaltetem Graphitmonochromator. Die zu messenden Kristalle wurden mit Hilfe eines Polarisationsmikroskopes unter Mineralöl ausgesucht und mit etwas Öl in einem kalten Stickstoffstrom an einem Glasfaden auf dem Goniometerkopf befestigt.

Die Strukturanalysen gliedern sich in folgende Schritte:

- Bestimmung der Orientierungsmatrix und der Gitterkonstanten anhand der Orientierungsparameter.
 - a) von 25-30 Reflexen mit $10^{\circ} < 2\theta < 25^{\circ}$
 - b) von 500-1500 Reflexen im gesamten Meßbereich aus mehreren Aufnahmen.
- 2. Bestimmung der Reflexintensitäten.
 - a) in ω oder $2\theta\omega$ -Abtastmodus
 - b) durch Anpassen der Integrationsbedingungen an das gemittelte Reflexprofil und anschließendes Auslesen aller Aufnahmen.
- 3. Datenreduktion und Korrekturen.
 - a) Skalierung der Rohdaten anhand dreier Standardreflexe; empirische Absorptionskorrektur;
 - b) Lorentz- und Polarisationsfaktorkorrektur.
- 4. Die Strukturbestimmung wurde mit den Programmen SHELXS¹⁷¹, SHELXL¹⁷² und X-STEP32¹⁷³ auf verschiedenen Rechnersystemen (Windows XP, 2000; PENTIUM II, IV, M PCs) durchgeführt. Die Lösung

der Kristallstruktur erfolgte mit Hilfe von direkten Methoden und anschließenden Differenzfouriersynthesen; Optimierung der Atomparameter durch Verfeinerung nach der Methode der kleinsten Fehlerquadrate gegen F_0^2 für die gesamte Matrix. Dabei wurde folgende Gewichtung verwendet:

$$W = \frac{1}{\sigma^2 F_0^2 + (aP)^2 + bP} \qquad P = \frac{2F_c^2 + \max(0, F_0^2)}{3}$$

Als Koeffizienten *a* und *b* wurden die von *SHELXL* vorgeschlagenen Werte übernommen. Für die ermittelten Gütewerte gilt damit:

$$R_{1} = \frac{\sum_{hkl} ||F_{0}| - |F_{c}||}{\sum_{hkl} |F_{0}|} \qquad WR_{2} = \sqrt{\frac{\sum_{hkl} w(F_{0}^{2} - F_{c}^{2})^{2}}{\sum_{hkl} w(F_{0}^{2})^{2}}}$$

 Zur Erstellung von visuellen Darstellungen der Strukturen wurde das Programm Diamond 2.1e verwendet.¹⁷⁴

Atome mit zu großen Schwingungsellipsoiden sowie Atome, für die eine Split-Lage berechnet wurde, wurden isotrop verfeinert. Die H-Atomlagen wurden üblicherweise mit einer idealisierten Geometrie berechnet. Nur die aciden Protonen der Neutralliganden wurden nach Möglichkeit verfeinert. Die Zuverlässigkeitswerte R_1 und ωR_2 sind für beobachtete Reflexe ($F_0 > 4_{\mathscr{F}}(F_0)$) angegeben.

5.2 Daten zu den Kristallstrukturanalysen

Die kristallographischen Daten der bereits publizierten Strukturen wurden an das Cambridge Crystallographic Data Centre als Zusatzpublikationen übermittelt. Kopien können bei Anfrage an CCDC, 12 Union Road, Cambridge CB21EZ, UK (fax: +(44)1223-336-033; email: deposit@ccdc.cam.ac.uk) unter Angabe der jeweiligen CCDC-Nummer kostenfrei erhalten werden. Für die unveröffentlichen Verbindungen wurden die Lageparameter, die Koeffizienten U_{eq} bzw. U_{iso} [10⁴ pm²] und die Koeffizienten des Schwingungstensors U_{ii} [10⁴ pm²] aufgelistet.

5.2.1 Kristallstruktur von [$Ho\{N(SiHMe_2)_2\}_3(THF)_2$] (1d)

CCDC-Nummer		624685	
Summenformel		$C_{20}H_{58}HoN_3O_2Si_6$	
Molare Masse [g·mol ⁻¹]		706.14	
Raumgruppe		P2 ₁ /c (No. 14)	
Gitterkonstanten	a, b, c [pm]	1306.98(7), 1627.85(11), 1679.77(8)	
	β [°]	91.463(4)	
Zellvolumen[10 ⁶ pr	n ³]	3572.7(4)	
Z		4	
Röntgenographisc	he Dichte [g·cm ⁻³]	1.313	
Messgerät		STOE IPDS 2T	
Strahlungsquelle		Mo- $K_α$ ($λ = 71.073 \text{ pm}$)	
Messtemperatur [K]		200(2)	
Absorptionskorrektur		Integration	
Absorptionskoeffiz	ient [mm ⁻¹]	2.435	
Gemessene Reflex	ке	21094	
Unabhängige Refle	exe	9505 [R _{int} = 0.0695]	
Beobachtete Reflexe [I>2σ(I)]		5765	
Daten/Parameter		9505/325	
GooF		0.859	
R1; wR2		0.0206; 0.0454	

5.2.2 Kristallstruktur von [${(Me_3SiNPPh_2)_2CH}Y{N(SiHMe_2)_2}_2$] (2a)

CCDC-Nummer	624686
Summenformel	C ₃₉ H ₆₇ N4P ₂ Si ₆ Y
Molare Masse [g·mol ⁻¹]	911.36
Raumgruppe	<i>P</i> 2₁/n
Gitterkonstanten a, b, c [pm]	1170.8(2), 2137.9(4), 1977.0(4)
β, [°]	92.531(5)
Zellvolumen[10 ⁶ pm ³]	4943.7(17)
Z	4
Röntgenographische Dichte [g·cm	⁻³] 1.224
Messgerät	Bruker Kappa CCD
Strahlungsquelle	Mo-K _α (λ = 71.073 pm)
Messtemperatur [K]	200(2)
Absorptionskorrektur	empirisch
Absorptionskoeffizient [mm ⁻¹]	1.420
Gemessene Reflexe	23.696
Unabhängige Reflexe	8698 [R _{int} = 0.0611]
Beobachtete Reflexe [I>2σ(I)]	6409
Daten/Parameter	8698/483
GooF	1.035
R1; wR2	0.0555; 0.1524

5.2.3 Kristallstruktur von [$\{(Me_3SiNPPh_2)_2CH\}La\{N(SiHMe_2)_2\}_2$] (2b)

CCDC-Nummer	286336	
Summenformel	C ₃₉ H ₆₇ LaN ₄ P ₂ Si ₆	
Molare Masse [g⋅mol ⁻¹]	961.36	
Raumgruppe	P 2 ₁ /n (No. 14)	
Gitterkonstanten a, b, c [pm]	1177.80(7), 2170.67(10), 1976.88(15)	
β [°]	92.381(6)	
Zellvolumen[10 ⁶ pm ³]	5049.8(5)	
Z	4	
Röntgenographische Dichte [g·cm ⁻³]	1.265	
Messgerät	STOE IPDS 2T	
Strahlungsquelle	Mo-K _α (λ = 71.073 pm)	
Messtemperatur [K]	200(2)	
Absorptionskorrektur	Integration	
Absorptionskoeffizient [mm ⁻¹]	1.081	
Gemessene Reflexe	23698	
Unabhängige Reflexe	8793 [R _{int} = 0.0615]	
Beobachtete Reflexe [I>2σ(I)]	5997	
Daten/Parameter	8793/483	
GooF	0.962	
R1; wR2	0.0320; 0.0575	

5.2.4 Kristallstruktur von [${(Me_3SiNPPh_2)_2CH}Sm{N(SiHMe_2)_2}_2$] (2c)

CCDC-Nummer		624687	
Summenformel		$C_{39}H_{67}N_4P_2Si_6Sm$	
Molare Masse [g·m	nol ^{–1}]	972.80	
Raumgruppe		P 2 ₁ /n (No. 14)	
Gitterkonstanten	a, b, c [pm]	1173.61(6), 2156.44(13), 1974.94(10)	
	β [°]	92.327(4)	
Zellvolumen[10 ⁶ pr	m ³]	4994.1(5)	
z		4	
Röntgenographisc	he Dichte [g·cm ⁻³]	1.294	
Messgerät		STOE IPDS 2T	
Strahlungsquelle		Mo-K _α (λ = 71.073 pm)	
Messtemperatur [K]		200(2)	
Absorptionskorrektur		Integration	
Absorptionskoeffiz	ient [mm ⁻¹]	1.414	
Gemessene Reflex	ке	18582	
Unabhängige Refle	exe	8671 [R _{int} = 0.0496]	
Beobachtete Refle	xe [I>2σ(I)]	6428	
Daten/Parameter		8671/483	
GooF		1.003	
R1; wR2		0.0286; 0.0509	

5.2.5 Kristallstruktur von [${(Me_3SiNPPh_2)_2CH}Ho{N(SiHMe_2)_2}_2$] (2d)

CCDC-Nummer		624688	
Summenformel		$C_{39}H_{67}HoN_4P_2Si_6$	
Molare Masse [g·m	nol ^{–1}]	987.38	
Raumgruppe		P 2 ₁ /n (No. 14)	
Gitterkonstanten	a, b, c [pm]	1171.21(5), 2141.83(11), 1974.51(9)	
	β [°]	92.426(3)	
Zellvolumen[10 ⁶ pr	n ³]	4948.7(4)	
z		4	
Röntgenographisch	ne Dichte [g⋅cm ⁻³]	1.325	
Messgerät		STOE IPDS 2T	
Strahlungsquelle		Mo- $K_α$ ($λ = 71.073 \text{ pm}$)	
Messtemperatur [K]		200(2)	
Absorptionskorrektur		Integration	
Absorptionskoeffizi	ent [mm ⁻¹]	1.839	
Gemessene Reflex	(e	19303	
Unabhängige Refle	exe	8598 [R _{int} = 0.0401]	
Beobachtete Reflexe [I>2σ(I)]		6881	
Daten/Parameter		8598/483	
GooF		1.004	
R1; wR2		0.0275; 0.0582	

5.2.6 Kristallstruktur von [$\{(Me_3SiNPPh_2)_2CH\}Lu\{N(SiHMe_2)_2\}_2$] (2e)

CCDC-Nummer		624689	
Summenformel		$C_{39}H_{67}LuN_4P_2Si_6$	
Molare Masse [g·m	nol ^{–1}]	997.42	
Raumgruppe		P 2 ₁ /n (No. 14)	
Gitterkonstanten	a, b, c [pm]	1170.56(6), 2132.41(8), 1972.48(11)	
	β [°]	92.458(4)	
Zellvolumen[10 ⁶ pr	m ³]	4919.0(4)	
z		4	
Röntgenographisc	he Dichte [g·cm ⁻³]	1.347	
Messgerät		STOE IPDS 2T	
Strahlungsquelle		Mo-K _α (λ = 71.073 pm)	
Messtemperatur [K]		200(2)	
Absorptionskorrektur		Integration	
Absorptionskoeffiz	ient [mm ⁻¹]	2.248	
Gemessene Reflex	ке	22774	
Unabhängige Refle	exe	8532 [R _{int} = 0.0478]	
Beobachtete Reflexe [I>2σ(I)]		6562	
Daten/Parameter		8532/483	
GooF		1.016	
R1; wR2		0.0212; 0.0817	

5.2.7 Kristallstruktur von cis-[{(tBuN)₂(PNtBu)₂}Y(Cl₂){Li(THF)₄}] (3a)

Summenformel $C_{32}H_{68}CI_2LiN_4O_4P_2Y$ Molare Masse [g·mol⁻¹] 800.33 Raumgruppe *P*bca (No. 61) Gitterkonstanten 1837.54(14),2538.48(14),1896.68(14) a, b, c [pm] Zellvolumen[10⁶ pm³] 8847.2(11) Ζ 8 Röntgenographische Dichte [g·cm⁻³] 1.108 STOE IPDS 2T Messgerät Strahlungsquelle Mo-K_α (λ = 71.073 pm) Messtemperatur [K] 200(2) Absorptionskorrektur Integration Absorptionskoeffizient [mm⁻¹] 1.546 Gemessene Reflexe 19871 Unabhängige Reflexe $7702 [R_{int} = 0.0863]$ 4886 Beobachtete Reflexe [I>2σ(I)] Daten/Parameter 7702/414 GooF 1.062 R1; wR2 0.0766; 0.1673

Atom	Х	Υ	Z	U _{eq/iso}
C1	0.1724(3)	0.0083(2)	-0.0502(3)	0.0429(15)
C2	0.1717(4)	0.0495(3)	-0.1091(3)	0.060(2)
C3	0.1970(5)	-0.0455(3)	-0.0787(4)	0.068(2)
C4	0.0966(4)	0.0039(3)	-0.0181(4)	0.063(2)
C5	0.3862(4)	0.0108(3)	0.1151(4)	0.049(2)
C6	0.4137(5)	-0.0419(3)	0.0860(5)	0.079(2)
C7	0.3716(4)	0.0061(3)	0.1937(4)	0.068(2)
C8	0.4449(4)	0.0528(3)	0.1026(4)	0.069(2)
C9	0.1434(4)	0.0154(3)	0.1986(3)	0.049(2)
C10A	0.1689(11)	-0.0345(7)	0.2338(10)	0.072(5)

Atom	X	Y	Z	U _{eq/iso}
C10B	0.143(2)	-0.0464(9)	0.2118(14)	0.072(7)
C11A	0.0646(9)	0.0094(9)	0.1749(8)	0.070(5)
C11B	0.1425(14)	0.0642(9)	0.2511(11)	0.057(6)
C12A	0.1641(12)	0.0448(9)	0.2628(9)	0.084(6)
C12B	0.0656(14)	0.0327(14)	0.1794(13)	0.078(8)
C13	0.3453(4)	0.1472(2)	-0.0509(4)	0.048(2)
C14A	0.4186(10)	0.1285(6)	-0.0780(9)	0.081(5)
C14B	0.4148(11)	0.1662(7)	-0.0155(10)	0.079(6)
C15A	0.3531(11)	0.1984(6)	-0.0111(9)	0.088(6)
C15B	0.2927(12)	0.1911(8)	-0.0644(11)	0.091(7)
C16A	0.2990(9)	0.1565(6)	-0.1178(8)	0.070(5)
C16B	0.3682(12)	0.1234(7)	-0.1240(10)	0.081(6)
C17	-0.0009(7)	-0.1527(4)	0.1063(6)	0.109(3)
C18	0.0527(6)	-0.1461(5)	0.0520(6)	0.121(4)
C19	0.1207(6)	-0.1685(4)	0.0760(5)	0.098(3)
C20	0.1009(5)	-0.1953(4)	0.1445(5)	0.086(3)
C21	-0.1170(7)	-0.2182(5)	0.3389(5)	0.120(4)
C22	-0.1881(7)	-0.1960(4)	0.3565(5)	0.103(3)
C23	-0.2083(7)	-0.1647(5)	0.2956(6)	0.128(4)
C24	-0.1400(6)	-0.1562(3)	0.2559(6)	0.105(4)
C25A	0.0811(8)	-0.2699(4)	0.3034(7)	0.059(4)
C25B	0.046(2)	-0.2742(9)	0.3313(15)	0.047(9)
C26	0.0914(7)	-0.3129(4)	0.3516(5)	0.121(4)
C27	0.0631(6)	-0.3601(4)	0.3193(6)	0.105(4)
C28	0.0176(6)	-0.3407(3)	0.2608(5)	0.096(3)
C29A	-0.0787(11)	-0.2889(11)	0.0740(10)	0.106(7)
C29B	-0.063(2)	-0.316(2)	0.089(2)	0.066(13
C30	-0.1236(9)	-0.3386(6)	0.0612(8)	0.168(6)
C31	-0.1919(9)	-0.3256(6)	0.0975(7)	0.150(5)
C32	-0.1716(6)	-0.2907(4)	0.1557(6)	0.104(3)
Li	-0.0360(6)	-0.2388(5)	0.2058(6)	0.054(3)
N1	0.2238(3)	0.0260(2)	0.0057(2)	0.0309(10)
N2	0.3191(3)	0.0272(2)	0.0790(2)	0.0356(11)
N3	0.1911(3)	0.0318(2)	0.1402(2)	0.0368(11)
N4	0.3082(3)	0.1082(2)	-0.0053(2)	0.0408(12)
01	0.0252(3)	-0.1941(2)	0.1514(3)	0.0719(15)
O2	-0.0959(3)	-0.2004(2)	0.2712(3)	0.0711(15)
О3	0.0214(3)	-0.2863(2)	0.2591(3)	0.0657(14)
04	-0.0990(3)	-0.2760(2)	0.1432(3)	0.080(2)
P1	0.23544(9)	-0.00790(5)	0.08701(8)	0.0360(3)
P2	0.31551(9)	0.04395(6)	-0.01232(8)	0.0356(3)

Atom	Х	Υ	Z	U _{eq/iso}
CI1	0.11791(11)	0.16093(8)	0.05169(11)	0.0715(6)
CI2	0.28568(13)	0.16819(8)	0.18148(10)	0.0766(6)
Υ	0.23055(3)	0.10769(2)	0.08744(3)	0.0360(2)

Atom	U ₁₁	U ₂₂	U ₃₃	U ₂₃	U ₁₃	U ₁₂
C1	0.040(4)	0.053(4)	0.036(3)	-0.012(3)	-0.010(3)	-0.009(3)
C2	0.068(5)	0.081(5)	0.032(3)	0.004(3)	-0.014(3)	-0.005(4)
C3	0.084(6)	0.063(4)	0.057(4)	-0.035(4)	-0.006(4)	-0.014(4)
C4	0.039(4)	0.092(6)	0.057(4)	-0.011(4)	-0.012(4)	-0.014(4)
C5	0.033(4)	0.059(4)	0.058(4)	0.005(3)	-0.003(3)	0.007(3)
C6	0.071(6)	0.068(5)	0.098(6)	0.003(5)	0.004(5)	0.038(4)
C7	0.057(5)	0.094(6)	0.053(4)	0.015(4)	-0.020(4)	0.009(4)
C8	0.037(4)	0.091(6)	0.081(5)	0.014(5)	-0.022(4)	-0.001(4)
C9	0.055(5)	0.059(4)	0.033(3)	0.000(3)	0.011(3)	0.004(3)
C13	0.046(4)	0.045(4)	0.055(4)	0.003(3)	0.005(3)	-0.005(3)
C18	0.089(9)	0.171(11)	0.103(8)	0.069(8)	0.004(7)	-0.019(8)
C19	0.080(7)	0.118(8)	0.095(7)	0.024(6)	0.025(6)	0.004(6)
C20	0.053(6)	0.101(7)	0.104(7)	0.031(6)	-0.002(5)	0.012(5)
C21	0.111(10)	0.168(11)	0.079(7)	0.043(7)	0.032(6)	0.039(8)
C22	0.128(10)	0.079(6)	0.103(7)	0.001(6)	0.045(7)	-0.004(6)
C23	0.111(10)	0.144(10)	0.130(9)	0.030(8)	0.042(8)	0.050(8)
C24	0.137(10)	0.070(6)	0.108(8)	0.023(6)	0.038(7)	0.026(6)
C26	0.138(11)	0.126(9)	0.098(8)	0.020(7)	-0.062(7)	-0.033(8)
C27	0.092(8)	0.076(6)	0.148(9)	0.050(6)	-0.046(7)	-0.002(5)
C28	0.110(8)	0.051(4)	0.127(8)	-0.008(5)	-0.058(7)	-0.004(5)
C32	0.081(8)	0.092(7)	0.139(9)	-0.027(7)	-0.001(7)	-0.009(6)
Li	0.048(7)	0.065(7)	0.050(6)	0.000(6)	-0.002(5)	0.002(6)
N1	0.033(3)	0.037(2)	0.023(2)	-0.002(2)	0.001(2)	0.001(2)
N2	0.034(3)	0.039(2)	0.035(2)	0.000(2)	-0.002(2)	0.003(2)
N3	0.041(3)	0.039(3)	0.031(2)	0.000(2)	0.005(2)	0.006(2)
N4	0.048(3)	0.036(2)	0.039(3)	0.003(2)	0.001(2)	-0.005(2)
O1	0.050(3)	0.083(4)	0.083(4)	0.040(3)	-0.001(3)	0.004(3)
O2	0.089(4)	0.057(3)	0.067(3)	0.010(3)	0.014(3)	0.012(3)
O3	0.086(4)	0.044(2)	0.068(3)	-0.004(2)	-0.030(3)	0.004(3)
O4	0.064(4)	0.119(5)	0.059(3)	-0.018(3)	0.002(3)	-0.013(3)
P1	0.0373(8)	0.0347(7)	0.0358(7)	-0.0026(7)	-0.0005(8)	0.0023(7)
P2	0.0357(9)	0.0367(8)	0.0343(7)	-0.0035(7)	0.0044(7)	0.0004(7)
CI1	0.0666(13)	0.0678(12)	0.0799(13)	-0.0113(10)	-0.0196(11)	0.0318(10)
CI2	0.090(2)	0.0707(12)	0.0682(12)	-0.0321(10)	-0.0217(11)	-0.0057(11)
Υ	0.0401(3)	0.0337(3)	0.0343(3)	-0.0067(3)	-0.0025(3)	0.0057(3)

5.2.8 Kristallstruktur von cis-[{(tBuN)₂(PNtBu)₂}Ho(Cl₂){Li(THF)₄}] (3b)

Summenformel $C_{32}H_{68}CI_2HoLiN_4O_4P_2$ Molare Masse [g·mol⁻¹] 877.63 Raumgruppe *P*bca (No. 61) Gitterkonstanten 1836.23(9), 2531.33(11), 1893.45(9) a, b, c [pm] Zellvolumen[10⁶ pm³] 8801.0(7) Ζ 8 Röntgenographische Dichte [g·cm⁻³] 1.325 STOE IPDS 2T Messgerät Strahlungsquelle Mo-K_α (λ = 71.073 pm) Messtemperatur [K] 200(2) Absorptionskorrektur Integration Absorptionskoeffizient [mm⁻¹] 2.027 Gemessene Reflexe 23466 Unabhängige Reflexe $7661 [R_{int} = 0.0323]$ 5545 Beobachtete Reflexe [I>2σ(I)] Daten/Parameter 7661/418 GooF 0.877 R1; wR2 0.0278; 0.0671

C1 0.1728(2) 0.00821(15) -0.0502(2)	0.0432(8)
C2 0.1716(2) 0.0491(2) -0.1092(2)	0.0586(11)
C3 0.1971(2) -0.0452(2) -0.0788(2)	0.0636(11)
C4 0.0964(2) 0.0040(2) -0.0180(2)	0.0620(12)
C5 0.3869(2) 0.0103(2) 0.1151(2)	0.0475(9)
C6 0.4136(2) -0.0422(2) 0.0860(3)	0.0766(14)
C7 0.3720(2) 0.0057(2) 0.1937(2)	0.0642(12)
C8 0.4447(2) 0.0536(2) 0.1023(3)	0.0688(13)
C9 0.1444(2) 0.0158(2) 0.1990(2)	0.0486(9)

Atom	Х	Υ	Z	U _{eq/iso}
C10A	0.1498(8)	-0.0458(5)	0.2154(8)	0.073(3)
C11A	0.0657(5)	0.0286(7)	0.1800(6)	0.063(3)
C12A	0.1460(7)	0.0619(5)	0.2531(6)	0.065(3)
C10B	0.1699(7)	-0.0335(5)	0.2353(7)	0.067(3)
C11B	0.0652(5)	0.0065(7)	0.1724(6)	0.062(3)
C12B	0.1673(8)	0.0440(7)	0.2647(7)	0.083(4)
C13	0.3444(2)	0.1476(2)	-0.0509(2)	0.0503(9)
C14A	0.4194(5)	0.1289(4)	-0.0771(5)	0.079(3)
C14B	0.3677(7)	0.1238(5)	-0.1227(7)	0.087(4)
C15A	0.3537(6)	0.1976(5)	-0.0092(6)	0.097(4)
C15B	0.4157(5)	0.1660(5)	-0.0166(6)	0.074(3)
C16A	0.2980(5)	0.1580(4)	-0.1165(5)	0.072(3)
C16B	0.2940(7)	0.1917(5)	-0.0624(7)	0.090(4)
C17A	0.0003(3)	-0.1492(4)	0.1096(4)	0.069(2)
C17B	-0.0070(12)	-0.1749(13)	0.0814(15)	0.066(9)
C18	0.0520(3)	-0.1464(3)	0.0512(3)	0.099(2)
C19	0.1208(3)	-0.1671(3)	0.0769(3)	0.094(2)
C20	0.1019(2)	-0.1952(2)	0.1442(3)	0.087(2)
C21	-0.1165(3)	-0.2187(3)	0.3396(3)	0.116(2)
C22	-0.1874(3)	-0.1958(2)	0.3574(3)	0.095(2)
C23	-0.2087(4)	-0.1650(3)	0.2968(4)	0.125(3)
C24	-0.1403(3)	-0.1562(2)	0.2559(3)	0.098(2)
C25A	0.0810(4)	-0.2696(3)	0.3037(4)	0.048(2)
C28A	0.0259(5)	-0.3405(3)	0.2508(5)	0.065(2)
C25B	0.0489(11)	-0.2735(7)	0.3323(10)	0.080(5)
C28B	0.0037(6)	-0.3408(4)	0.2751(7)	0.035(3)
C26	0.0922(4)	-0.3141(3)	0.3513(4)	0.117(2)
C27	0.0631(3)	-0.3606(2)	0.3185(4)	0.100(2)
C29	-0.1716(3)	-0.2911(2)	0.1569(4)	0.098(2)
C30	-0.1921(5)	-0.3263(3)	0.0980(4)	0.131(2)
C31	-0.1255(5)	-0.3381(4)	0.0612(5)	0.184(5)
C32A	-0.0791(6)	-0.2896(8)	0.0750(6)	0.106(4)
C32B	-0.0682(12)	-0.3157(15)	0.0892(14)	0.082(9)
Li	-0.0373(3)	-0.2386(3)	0.2068(4)	0.056(2)
N1	0.22363(13)	0.02595(10)	0.00588(13)	0.0317(6)
N2	0.31906(12)	0.02695(11)	0.07861(14)	0.0342(6)
N3	0.19155(14)	0.03218(11)	0.14045(14)	0.0372(6)
N4	0.30813(15)	0.10865(11)	-0.00515(14)	0.0407(6)
01	0.02509(14)	-0.19365(14)	0.1513(2)	0.0736(9)
O2	-0.0955(2)	-0.20007(12)	0.2717(2)	0.0681(8)
O3	0.02148(15)	-0.28660(11)	0.25920(15)	0.0624(7)

Atom	Х	Υ	Z	U _{eq/iso}
04	-0.09913(15)	-0.2755(2)	0.1431(2)	0.0797(10)
P1	0.23558(4)	-0.00812(3)	0.08719(4)	0.0339(2)
P2	0.31550(4)	0.04413(3)	-0.01228(4)	0.0350(2)
CI1	0.11795(6)	0.16071(5)	0.05155(7)	0.0710(3)
CI2	0.28607(6)	0.16826(5)	0.18177(6)	0.0739(3)
Но	0.230579(7)	0.107820(6)	0.087723(8)	0.03497(6)

Atom	U ₁₁	U ₂₂	U ₃₃	U ₂₃	U ₁₃	U ₁₂
C1	0.037(2)	0.057(2)	0.034(2)	-0.013(2)	-0.0058(14)	-0.008(2)
C2	0.062(2)	0.077(3)	0.037(2)	-0.001(2)	-0.015(2)	-0.006(2)
C3	0.070(2)	0.062(3)	0.059(3)	-0.029(2)	-0.007(2)	-0.013(2)
C4	0.034(2)	0.099(4)	0.052(2)	-0.009(2)	-0.007(2)	-0.016(2)
C5	0.030(2)	0.055(2)	0.057(2)	0.006(2)	-0.009(2)	0.007(2)
C6	0.057(2)	0.076(3)	0.097(4)	0.006(3)	0.000(2)	0.037(2)
C7	0.047(2)	0.089(4)	0.057(3)	0.016(2)	-0.017(2)	0.005(2)
C8	0.029(2)	0.092(4)	0.085(3)	0.014(3)	-0.017(2)	-0.010(2)
C9	0.045(2)	0.064(3)	0.036(2)	0.002(2)	0.009(2)	0.004(2)
C13	0.048(2)	0.046(2)	0.056(2)	0.010(2)	0.004(2)	-0.006(2)
C19	0.078(3)	0.103(5)	0.101(4)	0.023(4)	0.025(3)	0.002(3)
C20	0.050(2)	0.104(4)	0.107(4)	0.033(3)	0.004(3)	0.008(3)
C21	0.105(4)	0.163(7)	0.079(4)	0.050(4)	0.027(3)	0.037(4)
C22	0.097(4)	0.098(4)	0.092(4)	-0.003(4)	0.034(3)	-0.003(3)
C23	0.109(5)	0.132(6)	0.134(6)	0.028(5)	0.042(4)	0.055(4)
C24	0.132(5)	0.064(3)	0.100(4)	0.023(3)	0.036(4)	0.030(3)
C26	0.138(5)	0.108(5)	0.105(5)	0.018(4)	-0.068(4)	-0.024(4)
C27	0.089(4)	0.074(4)	0.137(6)	0.036(4)	-0.034(4)	-0.003(3)
C29	0.062(3)	0.091(4)	0.142(5)	-0.013(4)	0.001(3)	-0.014(3)
C31	0.178(9)	0.200(11)	0.174(9)	-0.115(8)	0.008(7)	-0.033(7)
Li	0.053(3)	0.057(4)	0.061(4)	0.003(3)	0.000(3)	-0.001(3)
N1	0.0303(13)	0.0365(14)	0.0284(13)	-0.0046(11)	-0.0027(10)	-0.0019(11)
N2	0.0249(12)	0.0394(15)	0.0382(15)	-0.0025(12)	-0.0029(11)	0.0029(11)
N3	0.0317(13)	0.047(2)	0.0329(14)	-0.0007(12)	0.0020(11)	0.0034(12)
N4	0.0391(14)	0.0397(15)	0.0432(15)	0.0013(14)	0.0024(12)	-0.0031(13)
O1	0.0469(15)	0.092(2)	0.081(2)	0.036(2)	0.0009(14)	0.0038(15)
O2	0.074(2)	0.062(2)	0.067(2)	0.013(2)	0.0124(15)	0.0117(15)
О3	0.070(2)	0.0479(15)	0.068(2)	-0.0008(15)	-0.0244(15)	-0.0008(13)
O4	0.053(2)	0.125(3)	0.060(2)	-0.017(2)	0.0024(14)	-0.017(2)
P1	0.0318(4)	0.0342(4)	0.0358(4)	-0.0010(4)	0.0001(4)	0.0015(3)
P2	0.0299(4)	0.0385(5)	0.0367(4)	-0.0036(4)	0.0034(3)	0.0000(4)

Atom	U ₁₁	U ₂₂	U ₃₃	U ₂₃	U ₁₃	U ₁₂
CI1	0.0600(6)	0.0724(8)	0.0807(8)	-0.0109(6)	-0.0190(5)	0.0322(5)
Cl2	0.0811(7)	0.0724(8)	0.0683(7)	-0.0305(6)	-0.0179(6)	-0.0074(6)
Но	0.03479(8)	0.03427(8)	0.03585(8)	-0.00642(7)	-0.00225(7)	0.00500(7)

5.2.9 Kristallstruktur von cis-[{(tBuN)₂(PNtBu)₂}Er(Cl_2){Li(THF)₄}] (3c)

Summenformel $C_{32}H_{68}CI_2ErLiN_4O_4P_2$ Molare Masse [g·mol⁻¹] 879.96 Raumgruppe Pbca (No. 61) Gitterkonstanten 1835.43(13), 2529.95(11), 1892.82(11) a, b, c [pm] Zellvolumen[10⁶ pm³] 8789.4(9) Ζ 8 Röntgenographische Dichte [g·cm⁻³] 1.330 STOE IPDS 2T Messgerät Strahlungsquelle Mo-K_α (λ = 71.073 pm) Messtemperatur [K] 200(2) Absorptionskorrektur Integration Absorptionskoeffizient [mm⁻¹] 2.139 Gemessene Reflexe 32368 Unabhängige Reflexe $10075 [R_{int} = 0.0436]$ 5908 Beobachtete Reflexe [I>2σ(I)] Daten/Parameter 10075/412 GooF 0.753 R1; wR2 0.0293; 0.0670

C1 0.1724(2) 0.00826(15) -0.0501(2) 0.0417(9) C2 0.1722(3) 0.0494(2) -0.1091(2) 0.0575(12) C3 0.1966(3) -0.0451(2) -0.0792(2) 0.0632(12) C4 0.0966(2) 0.0037(2) -0.0183(2) 0.0603(12) C5 0.3869(2) 0.0105(2) 0.1152(2) 0.0464(9) C6 0.4139(3) -0.0423(2) 0.0867(3) 0.0730(13) C7 0.3721(2) 0.0061(2) 0.1943(2) 0.0638(13) C8 0.4450(2) 0.0530(2) 0.1027(2) 0.0668(13)	Atom	Χ	Υ	Z	$U_{\text{eq/iso}}$
C3 0.1966(3) -0.0451(2) -0.0792(2) 0.0632(12) C4 0.0966(2) 0.0037(2) -0.0183(2) 0.0603(12) C5 0.3869(2) 0.0105(2) 0.1152(2) 0.0464(9) C6 0.4139(3) -0.0423(2) 0.0867(3) 0.0730(13) C7 0.3721(2) 0.0061(2) 0.1943(2) 0.0638(13)	C1	0.1724(2)	0.00826(15)	-0.0501(2)	0.0417(9)
C4 0.0966(2) 0.0037(2) -0.0183(2) 0.0603(12) C5 0.3869(2) 0.0105(2) 0.1152(2) 0.0464(9) C6 0.4139(3) -0.0423(2) 0.0867(3) 0.0730(13) C7 0.3721(2) 0.0061(2) 0.1943(2) 0.0638(13)	C2	0.1722(3)	0.0494(2)	-0.1091(2)	0.0575(12)
C5 0.3869(2) 0.0105(2) 0.1152(2) 0.0464(9) C6 0.4139(3) -0.0423(2) 0.0867(3) 0.0730(13) C7 0.3721(2) 0.0061(2) 0.1943(2) 0.0638(13)	C3	0.1966(3)	-0.0451(2)	-0.0792(2)	0.0632(12)
C6 0.4139(3) -0.0423(2) 0.0867(3) 0.0730(13) C7 0.3721(2) 0.0061(2) 0.1943(2) 0.0638(13)	C4	0.0966(2)	0.0037(2)	-0.0183(2)	0.0603(12)
C7 0.3721(2) 0.0061(2) 0.1943(2) 0.0638(13)	C5	0.3869(2)	0.0105(2)	0.1152(2)	0.0464(9)
	C6	0.4139(3)	-0.0423(2)	0.0867(3)	0.0730(13)
C8 0.4450(2) 0.0530(2) 0.1027(2) 0.0668(13)	C7	0.3721(2)	0.0061(2)	0.1943(2)	0.0638(13)
	C8	0.4450(2)	0.0530(2)	0.1027(2)	0.0668(13)
C9 0.1439(2) 0.0157(2) 0.1989(2) 0.0485(10)	C9	0.1439(2)	0.0157(2)	0.1989(2)	0.0485(10)

Atom	X	Y	Z	U _{eq/iso}
C10A	0.0650(6)	0.0088(6)	0.1733(5)	0.070(3)
C10B	0.0656(7)	0.0307(8)	0.1801(7)	0.067(4)
C11A	0.1477(6)	0.0618(5)	0.2542(5)	0.063(3)
C11B	0.1683(9)	0.0418(7)	0.2663(7)	0.073(4)
C12A	0.1506(7)	-0.0442(4)	0.2177(6)	0.068(3)
C12B	0.1734(9)	-0.0314(6)	0.2386(8)	0.067(4)
C13	0.3446(2)	0.14741(15)	-0.0508(2)	0.0475(10)
C14A	0.4183(6)	0.1291(4)	-0.0772(5)	0.081(3)
C14B	0.4139(7)	0.1670(5)	-0.0159(6)	0.078(4)
C15A	0.3537(6)	0.1984(4)	-0.0087(6)	0.091(4)
C15B	0.2922(7)	0.1926(5)	-0.0620(7)	0.091(4)
C16A	0.2982(6)	0.1582(4)	-0.1166(5)	0.072(3)
C16B	0.3684(7)	0.1242(5)	-0.1225(6)	0.081(4)
C17A	-0.0010(4)	-0.1498(3)	0.1090(4)	0.069(3)
C17B	-0.0093(14)	-0.1799(13)	0.0784(15)	0.072(10)
C18	0.0515(4)	-0.1457(3)	0.0512(4)	0.108(2)
C19	0.1203(3)	-0.1675(2)	0.0760(3)	0.093(2)
C20	0.1011(3)	-0.1953(2)	0.1445(3)	0.084(2)
C21	-0.1174(4)	-0.2188(3)	0.3383(3)	0.107(2)
C22	-0.1884(4)	-0.1960(2)	0.3571(3)	0.094(2)
C23	-0.2095(4)	-0.1646(3)	0.2967(4)	0.121(3)
C24	-0.1405(3)	-0.1566(2)	0.2564(3)	0.089(2)
C25A	0.0810(5)	-0.2704(2)	0.3034(4)	0.057(2)
C25B	0.0479(12)	-0.2750(6)	0.3333(10)	0.058(6)
C26A	0.0998(7)	-0.3165(4)	0.3463(5)	0.086(3)
C26B	0.0724(11)	-0.3064(6)	0.3641(8)	0.047(4)
C27	0.0634(4)	-0.3603(2)	0.3194(3)	0.098(2)
C28	0.0166(4)	-0.3415(2)	0.2605(3)	0.093(2)
C29A	-0.0692(9)	-0.3116(10)	0.0858(10)	0.123(5)
C29B	-0.0796(8)	-0.2856(7)	0.0740(6)	0.072(5)
C30A	-0.1229(6)	-0.3468(6)	0.0705(7)	0.082(5)
C30B	-0.1315(14)	-0.3188(14)	0.0454(14)	0.160(10)
C31	-0.1922(4)	-0.3276(3)	0.0961(5)	0.147(3)
C32	-0.1721(3)	-0.2911(2)	0.1556(4)	0.100(2)
Li	-0.0366(4)	-0.2387(3)	0.2063(4)	0.058(2)
N1	0.2236(2)	0.02604(10)	0.00576(13)	0.0316(6)
N2	0.31906(15)	0.02687(10)	0.07885(14)	0.0337(6)
N3	0.1916(2)	0.03202(11)	0.14038(14)	0.0360(7)
N4	0.3083(2)	0.10868(11)	-0.00461(14)	0.0384(6)
01	0.0248(2)	-0.19377(13)	0.1512(2)	0.0714(9)
<u>O2</u>	-0.0955(2)	-0.20057(11)	0.2714(2)	0.0672(9)

Atom	Х	Y	Z	U _{eq/iso}
О3	0.0212(2)	-0.28650(10)	0.2589(2)	0.0615(8)
04	-0.0996(2)	-0.27537(15)	0.1431(2)	0.0766(10)
P1	0.23573(5)	-0.00821(3)	0.08713(5)	0.0336(2)
P2	0.31552(5)	0.04406(3)	-0.01233(5)	0.0344(2)
Er	0.230841(9)	0.107280(6)	0.087638(7)	0.03471(5)
CI1	0.11868(7)	0.15995(5)	0.05204(7)	0.0686(3)
CI2	0.28602(7)	0.16716(5)	0.18150(6)	0.0730(4)

Atom	U ₁₁	U ₂₂	U ₃₃	U ₂₃	U ₁₃	U ₁₂
C1	0.037(2)	0.057(2)	0.034(2)	-0.013(2)	-0.0058(14)	-0.008(2)
C2	0.062(2)	0.077(3)	0.037(2)	-0.001(2)	-0.015(2)	-0.006(2)
C3	0.070(2)	0.062(3)	0.059(3)	-0.029(2)	-0.007(2)	-0.013(2)
C4	0.034(2)	0.099(4)	0.052(2)	-0.009(2)	-0.007(2)	-0.016(2)
C5	0.030(2)	0.055(2)	0.057(2)	0.006(2)	-0.009(2)	0.007(2)
C6	0.057(2)	0.076(3)	0.097(4)	0.006(3)	0.000(2)	0.037(2)
C7	0.047(2)	0.089(4)	0.057(3)	0.016(2)	-0.017(2)	0.005(2)
C8	0.029(2)	0.092(4)	0.085(3)	0.014(3)	-0.017(2)	-0.010(2)
C9	0.045(2)	0.064(3)	0.036(2)	0.002(2)	0.009(2)	0.004(2)
C13	0.048(2)	0.046(2)	0.056(2)	0.010(2)	0.004(2)	-0.006(2)
C19	0.078(3)	0.103(5)	0.101(4)	0.023(4)	0.025(3)	0.002(3)
C20	0.050(2)	0.104(4)	0.107(4)	0.033(3)	0.004(3)	0.008(3)
C21	0.105(4)	0.163(7)	0.079(4)	0.050(4)	0.027(3)	0.037(4)
C22	0.097(4)	0.098(4)	0.092(4)	-0.003(4)	0.034(3)	-0.003(3)
C23	0.109(5)	0.132(6)	0.134(6)	0.028(5)	0.042(4)	0.055(4)
C24	0.132(5)	0.064(3)	0.100(4)	0.023(3)	0.036(4)	0.030(3)
C26	0.138(5)	0.108(5)	0.105(5)	0.018(4)	-0.068(4)	-0.024(4)
C27	0.089(4)	0.074(4)	0.137(6)	0.036(4)	-0.034(4)	-0.003(3)
C29	0.062(3)	0.091(4)	0.142(5)	-0.013(4)	0.001(3)	-0.014(3)
C31	0.178(9)	0.200(11)	0.174(9)	-0.115(8)	0.008(7)	-0.033(7)
Li	0.053(3)	0.057(4)	0.061(4)	0.003(3)	0.000(3)	-0.001(3)
N1	0.0303(13)	0.0365(14)	0.0284(13)	-0.0046(11)	-0.0027(10)	-0.0019(11)
N2	0.0249(12)	0.0394(15)	0.0382(15)	-0.0025(12)	-0.0029(11)	0.0029(11)
N3	0.0317(13)	0.047(2)	0.0329(14)	-0.0007(12)	0.0020(11)	0.0034(12)
N4	0.0391(14)	0.039(2)	0.0432(15)	0.0013(14)	0.0024(12)	-0.0031(13)
01	0.0469(15)	0.092(2)	0.081(2)	0.036(2)	0.0009(14)	0.0038(15)
O2	0.074(2)	0.062(2)	0.067(2)	0.013(2)	0.0124(15)	0.0117(15)
О3	0.070(2)	0.047(2)	0.068(2)	-0.0008(15)	-0.0244(15)	-0.0008(13)
04	0.053(2)	0.125(3)	0.060(2)	-0.017(2)	0.0024(14)	-0.017(2)
P1	0.0318(4)	0.0342(4)	0.0358(4)	-0.0010(4)	0.0001(4)	0.0015(3)

Atom	U ₁₁	U ₂₂	U ₃₃	U ₂₃	U ₁₃	U ₁₂
P2	0.0299(4)	0.0385(5)	0.0367(4)	-0.0036(4)	0.0034(3)	0.0000(4)
CI1	0.0600(6)	0.0724(8)	0.0807(8)	-0.0109(6)	-0.0190(5)	0.0322(5)
Cl2	0.0811(7)	0.0724(8)	0.0683(7)	-0.0305(6)	-0.0179(6)	-0.0074(6)
Но	0.03479(8)	0.03427(8)	0.03585(8)	-0.00642(7)	-0.00225(7)	0.00500(7)

5.2.10 Kristallstruktur von cis-[{(tBuN)₂(PNtBu)₂}SmCl₃Li₂THF₂] (4)

Summenformel $C_{32}H_{68}CI_3Li_2N_4O_4P_2Sm$ Molare Masse [g·mol⁻¹] 905.42 Raumgruppe $P 2_1/c$ (No. 14) Gitterkonstanten 1098.80(7), 2350.01(13), 1801.15(10) a, b, c [pm] 98.250(5) β [°] Zellvolumen[10⁶ pm³] 4602.8(5) Ζ 4 Röntgenographische Dichte [g·cm⁻³] 1.307 STOE IPDS 2T Messgerät Strahlungsquelle Mo-K_α (λ = 71.073 pm) Messtemperatur [K] 200(2) Absorptionskorrektur Integration Absorptionskoeffizient [mm⁻¹] 1.554 Gemessene Reflexe 28006 $8066 [R_{int} = 0.0591]$ Unabhängige Reflexe Beobachtete Reflexe [I>2σ(I)] 5082 Daten/Parameter 8066/335 0.888 GooF R1; wR2 0.0501; 0.1256

Atom	Χ	Υ	Z	$U_{\text{eq/iso}}$
C1	0.6646(11)	0.7637(3)	0.1186(5)	0.091(3)
C2	0.5294(10)	0.7723(5)	0.1197(6)	0.106(3)
C3	0.7013(11)	0.7007(6)	0.1204(7)	0.129(4)
C4	0.7034(9)	0.7910(5)	0.0485(6)	0.103(3)
C5	0.9462(7)	0.7912(3)	0.3625(4)	0.057(2)
C6	0.8929(7)	0.8106(4)	0.4309(4)	0.078(3)
C7	0.9692(9)	0.7271(4)	0.3657(5)	0.090(3)
C8	1.0674(6)	0.8215(4)	0.3573(5)	0.072(2)

Atom	X	Υ	Z	U _{eq/iso}
C9	0.5164(7)	0.8275(4)	0.3353(5)	0.070(2)
C10	0.4081(7)	0.8564(5)	0.2854(6)	0.097(3)
C11	0.4815(8)	0.7658(4)	0.3511(6)	0.102(4)
C12	0.5424(8)	0.8601(5)	0.4105(5)	0.094(3)
C13	0.9990(9)	0.8909(5)	0.1389(5)	0.090(3)
C14	0.9495(10)	0.9442(5)	0.1007(6)	0.103(3)
C15	1.017(2)	0.8513(9)	0.0731(11)	0.208(8)
C16	1.1149(15)	0.9012(8)	0.1861(10)	0.178(6)
C17	0.3340(12)	1.0794(6)	0.2127(8)	0.139(5)
C18	0.2023(10)	1.0872(5)	0.1959(6)	0.105(3)
C19	0.1833(11)	1.0834(6)	0.1128(7)	0.125(4)
C20	0.2821(9)	1.0449(5)	0.0925(6)	0.099(3)
C21	0.5863(9)	1.1158(5)	0.0726(6)	0.098(3)
C22	0.6924(11)	1.1312(6)	0.0370(8)	0.135(5)
C23	0.7938(13)	1.0953(7)	0.0760(8)	0.144(5)
C24	0.7611(11)	1.0859(6)	0.1472(8)	0.126(4)
C25	0.8266(13)	0.9687(6)	0.5214(8)	0.137(5)
C26	0.7692(12)	0.9646(6)	0.5889(8)	0.133(4)
C27	0.719(2)	1.0166(8)	0.5956(10)	0.183(7)
C28	0.694(2)	1.0414(9)	0.5175(11)	0.193(7)
C29	0.6954(11)	1.1467(5)	0.3373(8)	0.121(4)
C30	0.7680(14)	1.2008(7)	0.3278(9)	0.158(6)
C31	0.8728(14)	1.1933(7)	0.3812(9)	0.163(6)
C32	0.9014(12)	1.1298(6)	0.3768(8)	0.127(4)
Li1	0.5381(13)	1.0197(6)	0.1656(8)	0.072(4)
Li2	0.7674(14)	1.0245(6)	0.3715(8)	0.073(4)
N1	0.7315(6)	0.7922(3)	0.1870(3)	0.062(2)
N2	0.8571(5)	0.8057(2)	0.2944(3)	0.0473(13)
N3	0.6257(5)	0.8327(2)	0.2980(3)	0.0502(14)
N4	0.9016(6)	0.8682(3)	0.1797(3)	0.062(2)
01	0.3735(5)	1.0459(3)	0.1545(3)	0.085(2)
02	0.6293(5)	1.0838(3)	0.1363(4)	0.086(2)
O3A	0.788(3)	1.0181(8)	0.4748(8)	0.069(7)
O3B	0.739(3)	1.0081(7)	0.4774(7)	0.071(6)
04	0.7861(5)	1.1039(3)	0.3613(4)	0.093(2)
P1	0.7065(2)	0.77650(8)	0.27945(11)	0.0573(5)
P2	0.8936(2)	0.80137(10)	0.20135(11)	0.0666(6)
CI1	0.6023(2)	0.93771(9)	0.11095(10)	0.0702(6)
Cl2	0.9065(2)	0.96528(10)	0.32976(15)	0.0855(7)
CI3	0.5947(2)	0.99212(8)	0.29120(10)	0.0576(5)
Sm	0.73911(3)	0.899305(14)	0.24061(2)	0.04141(12)

Atom	U ₁₁	U ₂₂	U ₃₃	U ₂₃	U ₁₃	U ₁₂
C1	0.170(10)	0.039(5)	0.056(5)	-0.017(4)	-0.014(6)	0.007(5)
C5	0.067(4)	0.051(4)	0.047(4)	0.003(3)	-0.014(4)	0.002(4)
C6	0.072(5)	0.118(8)	0.039(4)	0.013(5)	-0.010(4)	-0.020(5)
C7	0.111(7)	0.054(5)	0.093(7)	0.025(5)	-0.020(6)	0.007(5)
C8	0.048(4)	0.079(6)	0.085(6)	0.026(5)	0.000(4)	-0.002(4)
C9	0.048(4)	0.091(6)	0.071(6)	0.032(5)	0.010(4)	-0.003(4)
C10	0.055(5)	0.131(9)	0.100(8)	0.043(7)	-0.002(5)	-0.006(5)
C11	0.080(6)	0.113(8)	0.113(8)	0.055(7)	0.010(6)	-0.033(6)
C12	0.083(6)	0.145(10)	0.060(6)	0.025(6)	0.029(5)	0.015(6)
C13	0.103(7)	0.106(8)	0.069(6)	0.036(6)	0.038(5)	0.033(6)
Li1	0.082(9)	0.069(9)	0.066(9)	0.013(7)	0.013(7)	0.021(7)
Li2	0.094(10)	0.062(8)	0.057(8)	-0.013(6)	-0.008(7)	0.001(7)
N1	0.096(5)	0.051(4)	0.036(3)	-0.008(3)	-0.009(3)	0.009(3)
N2	0.060(3)	0.041(3)	0.039(3)	0.006(2)	0.002(3)	0.001(3)
N3	0.051(3)	0.055(4)	0.043(3)	0.010(3)	0.001(3)	-0.014(3)
N4	0.068(4)	0.072(4)	0.054(4)	0.018(3)	0.032(3)	0.023(3)
01	0.080(4)	0.117(5)	0.057(4)	-0.016(3)	-0.002(3)	0.042(4)
O2	0.076(4)	0.094(5)	0.092(5)	0.035(4)	0.013(3)	0.013(3)
04	0.081(4)	0.049(3)	0.142(6)	-0.005(4)	-0.011(4)	-0.008(3)
P1	0.0740(12)	0.0425(11)	0.0491(11)	0.0058(9)	-0.0130(9)	-0.0134(9)
P2	0.097(2)	0.0590(13)	0.0448(12)	0.0031(10)	0.0138(11)	0.0321(12)
CI1	0.0921(14)	0.0756(14)	0.0404(10)	0.0009(9)	0.0006(9)	0.0230(11)
CI2	0.0608(12)	0.0692(14)	0.119(2)	-0.0272(13)	-0.0135(12)	-0.0028(10)
CI3	0.0641(11)	0.0579(11)	0.0495(11)	-0.0034(8)	0.0043(8)	0.0115(9)
Sm	0.0514(2)	0.0377(2)	0.0350(2)	0.0011(2)	0.00616(12)	0.0009(2)

5.2.11 Kristallstruktur von cis-[{(tBuN)₂(PNtBu)₂}Y{(NPh₂)₂}{Li(THF)₄}] (5)

Summenformel C₅₆H₈₈Li N₆O₄P₂Y Molare Masse [g·mol⁻¹] 1067.11 Raumgruppe $P2_1/c$ (No. 14) Gitterkonstanten 1424.59(9), 1779.70(14), 2330.24(15) a, b, c [pm] 93.323(5) β [°] Zellvolumen[10⁶ pm³] 5898.0(7) Ζ 4 Röntgenographische Dichte [g·cm⁻³] 1.330 STOE IPDS 2T Messgerät Strahlungsquelle Mo-K_α (λ = 71.073 pm) Messtemperatur [K] 200(2) Absorptionskorrektur Integration Absorptionskoeffizient [mm⁻¹] 1.090 Gemessene Reflexe 24443 $10174 [R_{int} = 0.0705]$ Unabhängige Reflexe Beobachtete Reflexe [I>2σ(I)] 4584 Daten/Parameter 10174/481 0.827 GooF R1; wR2 0.0677; 0.1774

Atom	Х	Υ	Z	U _{eq/iso}
C1	0.5023(4)	0.2700(4)	0.1093(3)	0.056(2)
C2	0.5614(5)	0.3379(5)	0.0922(4)	0.084(3)
C3	0.5312(5)	0.2012(5)	0.0760(4)	0.078(2)
C4	0.5143(5)	0.2573(5)	0.1734(3)	0.071(2)
C5	0.2875(7)	0.4497(6)	0.0279(5)	0.100(3)
C6A	0.409(2)	0.4810(12)	0.0210(9)	0.092(7)
C6B	0.350(2)	0.4930(12)	0.0255(9)	0.107(7)
C7A	0.212(2)	0.4367(12)	-0.0287(9)	0.087(7)

Atom	Х	Υ	Z	U _{eq/iso}
C7B	0.270(2)	0.4453(13)	-0.0347(9)	0.116(8)
C8A	0.2639(15)	0.5048(11)	0.0685(8)	0.079(6)
C8B	0.1971(14)	0.4853(11)	0.0601(9)	0.099(7)
C9	0.2224(5)	0.3412(4)	0.2096(3)	0.060(2)
C10	0.2969(6)	0.3507(5)	0.2580(3)	0.082(2)
C11	0.1485(5)	0.2847(4)	0.2281(3)	0.080(2)
C12	0.1714(6)	0.4162(4)	0.1965(4)	0.086(3)
C13	0.2690(4)	0.1973(4)	-0.0438(3)	0.056(2)
C14	0.3542(6)	0.1570(6)	-0.0648(4)	0.097(3)
C15	0.1893(6)	0.1432(5)	-0.0404(4)	0.092(3)
C16	0.2396(7)	0.2566(6)	-0.0887(3)	0.106(3)
C17	0.3174(4)	0.0311(4)	0.0984(3)	0.0487(15)
C18A	0.3975(10)	0.0088(8)	0.0709(6)	0.055(4)
C18B	0.3731(14)	0.0298(12)	0.0531(9)	0.059(5)
C19A	0.3953(11)	-0.0485(8)	0.0319(7)	0.062(4)
C19B	0.3668(13)	-0.0279(11)	0.0113(9)	0.058(5)
C20	0.3074(6)	-0.0823(5)	0.0160(4)	0.085(2)
C21A	0.2392(9)	-0.0795(8)	0.0606(7)	0.062(4)
C21B	0.2282(15)	-0.0567(13)	0.0337(11)	0.076(6)
C22A	0.2472(9)	-0.0226(7)	0.1005(7)	0.051(3)
C22B	0.2309(14)	-0.0032(12)	0.0768(11)	0.068(6)
C23	0.3544(4)	0.0753(3)	0.1945(3)	0.046(2)
C24	0.4031(5)	0.0099(4)	0.2098(3)	0.062(2)
C25	0.4378(5)	-0.0022(5)	0.2668(4)	0.082(2)
C26	0.4235(6)	0.0473(5)	0.3080(4)	0.087(2)
C27	0.3760(5)	0.1138(5)	0.2948(4)	0.080(2)
C28	0.3444(5)	0.1273(4)	0.2384(3)	0.066(2)
C29	0.0583(4)	0.1132(5)	0.1134(3)	0.068(2)
C30	0.0172(7)	0.0600(6)	0.0750(5)	0.108(3)
C31	-0.0069(7)	-0.0119(7)	0.0945(5)	0.118(3)
C32	0.0044(7)	-0.0313(6)	0.1492(5)	0.102(3)
C33	0.0441(6)	0.0202(5)	0.1881(4)	0.086(2)
C34	0.0702(5)	0.0912(4)	0.1696(3)	0.061(2)
C35	0.0263(4)	0.2313(5)	0.0692(3)	0.075(3)
C36	-0.0707(6)	0.2087(6)	0.0595(4)	0.096(3)
C37	-0.1342(9)	0.2585(7)	0.0346(5)	0.131(4)
C38	-0.1109(7)	0.3247(6)	0.0215(5)	0.113(3)
C39	-0.0153(8)	0.3529(7)	0.0263(5)	0.128(4)
C40	0.0552(6)	0.3023(5)	0.0519(4)	0.085(2)
C41	-0.3480(5)	0.0787(4)	0.2187(3)	0.070(2)
C42	-0.3501(5)	0.0348(4)	0.1639(4)	0.072(2)

Atom	Х	Υ	Z	U _{eq/iso}
C43	-0.2503(6)	0.0374(5)	0.1470(4)	0.080(2)
C44	-0.2173(6)	0.1134(5)	0.1665(4)	0.082(3)
C45	-0.0780(11)	0.1219(10)	0.3155(8)	0.181(6)
C46	0.0061(12)	0.1368(10)	0.3568(8)	0.197(6)
C47	-0.0085(12)	0.2182(10)	0.3745(8)	0.196(6)
C48	-0.1018(15)	0.2358(13)	0.3620(11)	0.261(9)
C49	-0.1348(9)	0.3070(7)	0.1906(6)	0.142(4)
C50	-0.1098(8)	0.3859(6)	0.1784(5)	0.125(4)
C51	-0.1994(8)	0.4219(7)	0.1849(6)	0.142(4)
C52	-0.2448(7)	0.3769(6)	0.2284(5)	0.117(3)
C53	-0.3838(10)	0.2943(9)	0.3270(7)	0.178(6)
C54	-0.4438(12)	0.2790(10)	0.3693(9)	0.208(7)
C55	-0.4047(10)	0.2169(8)	0.4029(6)	0.159(5)
C56	-0.3672(11)	0.1749(9)	0.3531(7)	0.185(6)
Li	-0.2384(8)	0.2130(7)	0.2668(6)	0.074(4)
N1	0.3995(3)	0.2837(3)	0.0940(2)	0.0438(12)
N2	0.3049(5)	0.3750(3)	0.0543(2)	0.065(2)
N3	0.2637(4)	0.3098(3)	0.1575(2)	0.0480(13)
N4	0.2883(3)	0.2302(3)	0.0134(2)	0.0426(12)
N5	0.3187(3)	0.0924(3)	0.1388(2)	0.0450(12)
N6	0.0909(4)	0.1837(3)	0.0956(2)	0.059(2)
01	-0.2706(3)	0.1318(3)	0.2157(2)	0.0716(14)
02	-0.1288(4)	0.1852(4)	0.3114(3)	0.106(2)
О3	-0.2051(4)	0.3034(3)	0.2258(2)	0.086(2)
04	-0.3306(4)	0.2303(4)	0.3196(3)	0.096(2)
P1	0.34349(14)	0.36124(9)	0.12522(8)	0.0545(5)
P2	0.36311(12)	0.30256(10)	0.02106(7)	0.0512(4)
Υ	0.25420(4)	0.20282(3)	0.10429(2)	0.0367(2)

Atom	U_{11}	U_{22}	U_{33}	U_{23}	U ₁₃	U ₁₂
C1	0.045(3)	0.067(5)	0.058(4)	0.008(4)	-0.007(3)	-0.019(3)
C2	0.076(5)	0.095(6)	0.080(6)	0.021(5)	0.000(4)	-0.043(5)
C3	0.050(4)	0.084(6)	0.099(6)	0.001(5)	0.004(4)	0.007(4)
C4	0.065(4)	0.081(6)	0.064(5)	0.016(4)	-0.016(4)	-0.017(4)
C9	0.093(5)	0.046(4)	0.044(4)	-0.012(3)	0.012(4)	0.003(4)
C10	0.130(7)	0.070(5)	0.046(5)	-0.008(4)	0.008(5)	0.002(5)
C11	0.094(5)	0.083(6)	0.066(5)	-0.014(4)	0.033(4)	0.004(5)
C12	0.120(7)	0.070(5)	0.070(6)	-0.015(5)	0.014(5)	0.026(5)
C13	0.061(4)	0.074(5)	0.034(3)	-0.011(4)	0.000(3)	0.000(4)

Atom	U ₁₁	U_{22}	U_{33}	U_{23}	U_{13}	U ₁₂
C14	0.081(5)	0.131(8)	0.078(6)	-0.052(6)	0.000(5)	0.010(5)
C16	0.154(8)	0.123(8)	0.039(5)	0.003(5)	-0.031(5)	0.004(7)
C23	0.042(3)	0.041(4)	0.058(4)	0.009(3)	0.012(3)	-0.001(3)
C29	0.048(4)	0.096(6)	0.062(5)	-0.017(4)	0.012(4)	-0.024(4)
C35	0.044(4)	0.143(8)	0.038(4)	0.003(4)	-0.004(3)	0.019(4)
C41	0.065(4)	0.070(5)	0.075(6)	0.002(4)	0.009(4)	-0.004(4)
C42	0.078(5)	0.060(5)	0.075(6)	0.007(4)	-0.014(4)	0.000(4)
C43	0.087(5)	0.086(6)	0.067(5)	-0.002(5)	0.008(5)	0.007(5)
C44	0.074(5)	0.093(6)	0.082(6)	-0.021(5)	0.018(5)	-0.012(5)
Li	0.076(7)	0.066(8)	0.082(9)	-0.003(7)	0.021(7)	0.005(7)
N1	0.058(3)	0.037(3)	0.036(3)	0.000(2)	0.000(2)	-0.011(2)
N2	0.123(5)	0.031(3)	0.041(3)	0.012(3)	-0.005(3)	0.013(3)
N3	0.070(3)	0.036(3)	0.039(3)	-0.004(2)	0.005(2)	0.000(3)
N4	0.049(3)	0.049(3)	0.030(3)	-0.002(2)	0.002(2)	-0.001(2)
N5	0.050(3)	0.038(3)	0.047(3)	0.003(2)	0.007(3)	0.001(2)
N6	0.049(3)	0.081(5)	0.048(3)	0.003(3)	0.005(3)	-0.001(3)
01	0.059(3)	0.082(4)	0.075(4)	-0.018(3)	0.012(3)	-0.010(3)
O2	0.112(4)	0.104(5)	0.098(5)	-0.028(4)	-0.027(4)	-0.007(4)
O3	0.097(4)	0.071(3)	0.094(4)	-0.012(3)	0.035(3)	0.005(3)
P1	0.0872(13)	0.0348(9)	0.0409(10)	-0.0001(8)	-0.0005(9)	-0.0088(9)
P2	0.0684(10)	0.0482(10)	0.0372(9)	0.0055(9)	0.0040(8)	-0.0087(9)
Y	0.0423(3)	0.0365(3)	0.0311(3)	-0.0011(3)	-0.0007(2)	-0.0011(3)

5.2.12 Kristallstruktur von cis-[{(tBuN)₂(PNtBu)₂}YCI·THF] (6a)

Summenformel $C_{20}H_{44}CIN_4OP_2Y$ Molare Masse [g·mol⁻¹] 542.89 Raumgruppe P1 (No. 2) Gitterkonstanten 1033.98(7), 1045.58(8), 1344.50(9) a, b, c [pm] 107.784(5), 100.043(5), 90.058(6) α, β, γ [°] Zellvolumen[10⁶ pm³] 1360.6(2) Ζ 2 Röntgenographische Dichte [g·cm⁻³] 1.325 STOE IPDS 2T Messgerät Strahlungsquelle Mo-K_α (λ = 71.073 pm) Messtemperatur [K] 200(2) Absorptionskorrektur Integration Absorptionskoeffizient [mm⁻¹] 2.367 Gemessene Reflexe 10249 Unabhängige Reflexe $4796 [R_{int} = 0.0395]$ Beobachtete Reflexe [I>2σ(I)] 4251 Daten/Parameter 4796/265 1.048 GooF 0.0397; 0.0946 R1; wR2

Atom	Χ	Υ	Z	$U_{\text{eq/iso}}$
C1	0.4816(3)	0.9748(3)	0.7297(3)	0.0246(7)
C2	0.5155(4)	1.0069(4)	0.6333(3)	0.0311(8)
C3	0.5105(4)	1.1003(3)	0.8275(3)	0.0334(8)
C4	0.3361(4)	0.9288(4)	0.7073(3)	0.0357(9)
C5	0.8134(4)	0.7838(4)	0.9445(3)	0.0291(8)
C6	0.9461(4)	0.7468(4)	0.9124(3)	0.0378(9)
C7	0.7685(4)	0.6853(4)	0.9965(3)	0.0409(10)

Atom	X	Υ	Z	U _{eq/iso}
C8	0.8253(4)	0.9261(4)	1.0235(3)	0.0432(10)
C9	0.8591(3)	0.7911(4)	0.5954(3)	0.0275(7)
C10A	0.9672(8)	0.9042(11)	0.6590(6)	0.048(2)
C10B	0.9886(15)	0.852(2)	0.6595(11)	0.050(4)
C11A	0.7820(8)	0.8324(10)	0.5033(7)	0.043(2)
C11B	0.8038(15)	0.882(2)	0.5334(14)	0.048(4)
C12A	0.9307(9)	0.6650(7)	0.5528(7)	0.043(2)
C12B	0.877(2)	0.6511(14)	0.5154(14)	0.048(4)
C13	0.3685(3)	0.5842(3)	0.8101(3)	0.0281(7)
C14A	0.3427(8)	0.6506(8)	0.9220(6)	0.050(2)
C14B	0.4079(14)	0.5766(15)	0.9288(11)	0.060(4)
C15A	0.3851(7)	0.4367(6)	0.7935(6)	0.035(2)
C15B	0.3502(11)	0.4366(10)	0.7405(10)	0.037(3)
C16A	0.2445(8)	0.6007(9)	0.7315(7)	0.057(2)
C16B	0.2494(13)	0.6508(14)	0.7960(12)	0.057(4)
C17	0.7173(4)	0.3578(4)	0.7628(3)	0.0364(9)
C18A	0.8415(9)	0.3092(11)	0.8122(11)	0.042(3)
C18B	0.8442(12)	0.2861(14)	0.7810(13)	0.043(3)
C19A	0.9424(10)	0.3346(12)	0.7469(11)	0.051(3)
C19B	0.9101(12)	0.2882(14)	0.6971(13)	0.049(4)
C20	0.8726(4)	0.4149(4)	0.6750(3)	0.0433(10)
N1	0.5630(3)	0.8637(2)	0.7486(2)	0.0189(5)
N2	0.7148(3)	0.7768(3)	0.8479(2)	0.0202(5)
N3	0.7687(3)	0.7631(3)	0.6614(2)	0.0221(6)
N4	0.4851(3)	0.6436(3)	0.7862(2)	0.0211(6)
0	0.7587(2)	0.4610(2)	0.72205(19)	0.0275(5)
P1	0.73803(8)	0.88042(8)	0.76839(6)	0.0200(2)
P2	0.54540(8)	0.79920(8)	0.85400(6)	0.0199(2)
CI	0.43601(11)	0.63738(9)	0.48979(8)	0.0451(3)
Υ	0.61021(3)	0.61113(3)	0.65953(2)	0.01831(10)

Atom	U_{11}	U_{22}	U_{33}	U_{23}	U_{13}	U ₁₂
C1	0.030(2)	0.017(2)	0.027(2)	0.0060(13)	0.0079(14)	0.0063(13)
C2	0.042(2)	0.026(2)	0.029(2)	0.0152(15)	0.007(2)	0.009(2)
C3	0.048(2)	0.017(2)	0.035(2)	0.0036(15)	0.017(2)	0.0055(15)
C4	0.027(2)	0.036(2)	0.047(2)	0.016(2)	0.010(2)	0.011(2)
C5	0.031(2)	0.031(2)	0.021(2)	0.0091(14)	-0.0041(14)	-0.0063(15)
C6	0.026(2)	0.048(2)	0.036(2)	0.013(2)	-0.0035(15)	-0.000(2)
C7	0.043(2)	0.052(3)	0.032(2)	0.025(2)	-0.003(2)	-0.007(2)

Atom	U ₁₁	U ₂₂	U ₃₃	U ₂₃	U ₁₃	U ₁₂
C8	0.048(2)	0.043(2)	0.026(2)	-0.003(2)	-0.004(2)	-0.008(2)
C9	0.028(2)	0.030(2)	0.028(2)	0.0105(15)	0.0134(14)	0.0031(14)
C13	0.025(2)	0.024(2)	0.034(2)	0.0066(15)	0.0104(14)	-0.0050(14)
N1	0.0219(14)	0.0150(13)	0.0212(13)	0.0063(10)	0.0065(11)	0.0026(10)
N2	0.0226(14)	0.0183(13)	0.0175(13)	0.0041(10)	0.0004(10)	-0.0020(11)
N3	0.0223(14)	0.0207(14)	0.0226(14)	0.0046(11)	0.0064(11)	0.0012(11)
N4	0.0231(14)	0.0179(13)	0.0213(13)	0.0041(11)	0.0050(11)	-0.0024(11)
0	0.0262(12)	0.0213(12)	0.0342(13)	0.0087(10)	0.0037(10)	0.0016(10)
P1	0.0227(4)	0.0162(4)	0.0196(4)	0.0033(3)	0.0037(3)	-0.0024(3)
P2	0.0234(4)	0.0179(4)	0.0176(4)	0.0032(3)	0.0054(3)	-0.0003(3)
CI	0.0643(7)	0.0197(4)	0.0330(5)	-0.0037(4)	-0.0178(4)	0.0109(4)
Y	0.0197(2)	0.0149(2)	0.0181(2)	0.00188(11)	0.00391(11)	-0.00006(11)

5.2.13 Kristallstruktur von cis-[{(tBuN)₂(PNtBu)₂}LaCl·THF] (6b)

Summenformel $C_{20}H_{44}CILaN_4OP_2$ Molare Masse [g·mol⁻¹] 592.89 Raumgruppe P1 (No. 2) Gitterkonstanten 1034.1(7), 1050.0(5), 1362.5(7) a, b, c [pm] 74.00(4), 81.51(5), 89.40(5) α, β, γ [°] Zellvolumen[10⁶ pm³] 1405.9(13) Ζ 2 Röntgenographische Dichte [g·cm⁻³] 1.401 STOE IPDS 2T Messgerät Strahlungsquelle Mo-K_α (λ = 71.073 pm) Messtemperatur [K] 200(2) Absorptionskorrektur Integration Absorptionskoeffizient [mm⁻¹] 1.745 Gemessene Reflexe 8995 Unabhängige Reflexe 4891 [R_{int} = 0.0904] Beobachtete Reflexe [I>2σ(I)] 4134 Daten/Parameter 4891/275 1.081 GooF 0.0534; 0.1325 R1; wR2

Atom	Х	Y	Z	U _{eq/iso}
C1	0.0207(7)	-0.4877(6)	-0.2676(5)	0.0319(14)
C2	-0.0038(9)	-0.6125(7)	-0.1760(6)	0.043(2)
C3	0.1643(7)	-0.4449(8)	-0.2858(7)	0.043(2)
C4	-0.0132(8)	-0.5198(8)	-0.3644(6)	0.041(2)
C5	-0.3099(7)	-0.2919(7)	-0.0596(5)	0.035(2)
C6	-0.4424(7)	-0.2543(9)	-0.0944(7)	0.047(2)
C7	-0.2659(8)	-0.1897(8)	-0.0088(7)	0.046(2)

Atom	Х	Υ	Z	U _{eq/iso}
C8	-0.3214(9)	-0.4290(8)	0.0178(6)	0.046(2)
C9	-0.3612(7)	-0.3050(8)	-0.4027(6)	0.040(2)
C10A	-0.296(2)	-0.342(2)	-0.491(2)	0.073(6)
C10B	-0.326(2)	-0.426(2)	-0.442(2)	0.065(6)
C11A	-0.476(2)	-0.402(2)	-0.340(2)	0.065(6)
C11B	-0.494(3)	-0.303(3)	-0.353(2)	0.084(8)
C12A	-0.432(2)	-0.172(2)	-0.441(2)	0.071(6)
C12B	-0.339(2)	-0.186(2)	-0.498(2)	0.066(6)
C13	0.1292(7)	-0.1010(7)	-0.1762(6)	0.037(2)
C14A	0.110(2)	0.0443(14)	-0.1966(13)	0.052(4)
C14B	0.154(2)	0.034(2)	-0.254(2)	0.048(6)
C15A	0.257(2)	-0.127(2)	-0.2468(14)	0.062(5)
C15B	0.240(3)	-0.186(3)	-0.156(3)	0.080(9)
C16A	0.155(2)	-0.1586(15)	-0.0684(12)	0.054(4)
C16B	0.079(3)	-0.071(3)	-0.071(2)	0.068(8)
C17	-0.2306(8)	0.1435(8)	-0.2299(7)	0.046(2)
C18A	-0.357(2)	0.191(2)	-0.178(2)	0.042(6)
C18B	-0.357(3)	0.215(4)	-0.212(4)	0.070(9)
C19A	-0.459(2)	0.160(3)	-0.236(3)	0.057(8)
C19B	-0.440(3)	0.198(3)	-0.283(3)	0.068(9)
C20	-0.3899(9)	0.0897(10)	-0.3165(8)	0.056(2)
N1	-0.0615(5)	-0.3788(5)	-0.2475(4)	0.0261(11)
N2	-0.2137(5)	-0.2894(5)	-0.1515(4)	0.0277(11)
N3	-0.2674(6)	-0.2803(6)	-0.3380(4)	0.0322(12)
N4	0.0145(5)	-0.1612(5)	-0.2048(4)	0.0297(12)
0	-0.2735(5)	0.0437(5)	-0.2729(4)	0.0376(11)
P1	-0.2355(2)	-0.3926(2)	-0.23205(13)	0.0288(4)
P2	-0.0444(2)	-0.3131(2)	-0.14293(13)	0.0269(4)
CI	0.0792(2)	-0.1448(2)	-0.5102(2)	0.0563(6)
La	-0.11067(4)	-0.11493(4)	-0.34139(3)	0.02605(14)

Atom	U_{11}	U_{22}	U_{33}	U_{23}	U_{13}	U ₁₂
C1	0.035(4)	0.030(3)	0.032(4)	-0.013(3)	-0.003(3)	0.003(3)
C2	0.051(5)	0.034(4)	0.047(5)	-0.009(3)	-0.013(4)	0.007(3)
C3	0.029(4)	0.048(4)	0.056(5)	-0.019(4)	-0.004(3)	0.006(3)
C4	0.045(4)	0.046(4)	0.039(4)	-0.022(3)	-0.005(3)	0.005(3)
C5	0.034(4)	0.045(4)	0.023(3)	-0.006(3)	0.010(3)	-0.010(3)
C6	0.026(4)	0.069(5)	0.046(5)	-0.018(4)	0.007(3)	0.001(4)
C7	0.045(5)	0.058(5)	0.041(4)	-0.029(4)	0.008(4)	-0.001(4)

Atom	U ₁₁	U ₂₂	U ₃₃	U ₂₃	U ₁₃	U ₁₂
C8	0.048(5)	0.051(4)	0.030(4)	0.002(3)	0.009(3)	-0.014(4)
C9	0.029(4)	0.057(4)	0.037(4)	-0.013(3)	-0.011(3)	0.000(3)
C13	0.025(4)	0.039(4)	0.051(5)	-0.015(3)	-0.010(3)	-0.004(3)
C17	0.038(4)	0.048(4)	0.055(5)	-0.021(4)	0.004(4)	0.003(3)
C20	0.044(5)	0.068(6)	0.060(6)	-0.023(5)	-0.013(4)	0.014(4)
N1	0.024(3)	0.030(3)	0.026(3)	-0.011(2)	-0.001(2)	-0.001(2)
N2	0.023(3)	0.035(3)	0.024(3)	-0.008(2)	0.003(2)	-0.004(2)
N3	0.031(3)	0.038(3)	0.029(3)	-0.010(2)	-0.006(2)	-0.004(2)
N4	0.026(3)	0.031(3)	0.029(3)	-0.004(2)	-0.003(2)	-0.006(2)
0	0.029(3)	0.038(3)	0.045(3)	-0.012(2)	0.001(2)	0.003(2)
P1	0.0262(9)	0.0309(8)	0.0281(9)	-0.0078(7)	-0.0013(7)	-0.0054(7)
P2	0.0254(8)	0.0295(8)	0.0249(8)	-0.0064(6)	-0.0031(7)	-0.0011(6)
CI	0.0705(14)	0.0369(10)	0.0439(11)	0.0032(8)	0.0193(10)	0.0123(9)
La	0.0222(2)	0.0287(2)	0.0249(2)	-0.00431(13)	-0.00160(13)	-0.00129(13)

5.2.14 Kristallstruktur von cis-[{(tBuN)₂(PNtBu)₂}SmCl·THF] (6c)

Summenformel $C_{20}H_{44}CIN_4OP_2Sm$ Molare Masse [g·mol⁻¹] 604.33 Raumgruppe P1 (No. 2) Gitterkonstanten 1033.15(7), 1048.98(7), 1350.15(9) a, b, c [pm] 72.824(5), 80.453(5), 89.833(6) α, β, γ [°] Zellvolumen[10⁶ pm³] 1376.9(2) Ζ 2 Röntgenographische Dichte [g·cm⁻³] 1.458 STOE IPDS 2T Messgerät Strahlungsquelle Mo-K_α (λ = 71.073 pm) Messtemperatur [K] 200(2) Absorptionskorrektur Integration Absorptionskoeffizient [mm⁻¹] 2.363 Gemessene Reflexe 10178 Unabhängige Reflexe $4846 [R_{int} = 0.0249]$ Beobachtete Reflexe [I>2σ(I)] 4494 Daten/Parameter 4846/275 GooF 1.037 0.0252; 0.0617 R1; wR2

Atom	Χ	Υ	Z	$U_{\text{eq/iso}}$
C1	1.0184(3)	0.5194(3)	0.7311(3)	0.0269(7)
C2	0.9843(4)	0.4885(4)	0.6348(3)	0.0354(8)
C3	0.9906(4)	0.3946(3)	0.8267(3)	0.0365(8)
C4	1.1632(4)	0.5643(4)	0.7102(3)	0.0382(8)
C5	0.6872(4)	0.7135(4)	0.9436(3)	0.0326(7)
C6	0.5548(4)	0.7508(4)	0.9099(3)	0.0432(9)
C7	0.7331(4)	0.8128(4)	0.9948(3)	0.0462(10)

Atom	X	Υ	Z	11
		<u> </u>		U _{eq/iso}
C8	0.6752(4)	0.5730(4)	1.0220(3)	0.0474(10)
C9	0.6393(3)	0.7051(4)	0.5957(3)	0.0322(7)
C10A	0.5268(7)	0.6031(8)	0.6591(5)	0.052(2)
C10B	0.504(2)	0.682(2)	0.6519(15)	0.070(5)
C11A	0.7125(7)	0.6604(8)	0.5061(6)	0.048(2)
C11B	0.684(2)	0.594(2)	0.5464(14)	0.056(4)
C12A	0.5733(8)	0.8344(7)	0.5515(6)	0.057(2)
C12B	0.639(2)	0.841(2)	0.5073(15)	0.066(5)
C13	1.1307(3)	0.9097(3)	0.8141(3)	0.0321(7)
C14A	1.1138(7)	1.0558(7)	0.7964(6)	0.043(2)
C14B	1.1518(12)	1.0516(11)	0.7408(11)	0.047(3)
C15A	1.2563(8)	0.8878(8)	0.7406(7)	0.055(2)
C15B	1.2475(15)	0.8346(16)	0.8138(13)	0.069(4)
C16A	1.1560(8)	0.8464(8)	0.9257(6)	0.055(2)
C16B	1.0877(14)	0.9291(14)	0.9280(11)	0.060(4)
C17	0.7768(4)	1.1433(4)	0.7667(3)	0.0437(9)
C18A	0.6515(9)	1.1914(12)	0.8159(11)	0.047(3)
C18B	0.6530(12)	1.2182(15)	0.7833(14)	0.052(4)
C19A	0.5493(11)	1.1646(13)	0.7536(11)	0.060(4)
C19B	0.5817(14)	1.2110(15)	0.7024(14)	0.061(4)
C20	0.6212(4)	1.0879(5)	0.6785(4)	0.0517(11)
N1	0.9368(3)	0.6302(2)	0.7505(2)	0.0224(5)
N2	0.7853(2)	0.7182(3)	0.8484(2)	0.0233(5)
N3	0.7313(3)	0.7303(3)	0.6619(2)	0.0257(6)
N4	1.0152(3)	0.8495(3)	0.7891(2)	0.0244(5)
0	0.7351(2)	1.0409(2)	0.7254(2)	0.0341(5)
P1	0.76225(8)	0.61523(8)	0.76864(6)	0.0227(2)
P2	0.95445(8)	0.69526(8)	0.85529(6)	0.0223(2)
CI	1.06889(12)	0.85858(9)	0.48916(8)	0.0524(3)
Sm	0.88964(2)	0.887370(15)	0.658832(12)	0.02228(6)
Sm	0.88964(2)	0.887370(15)	0.658832(12)	0.02228(6)

Atom	U ₁₁	U_{22}	U_{33}	U_{23}	U_{13}	U ₁₂
C1	0.031(2)	0.0222(15)	0.029(2)	-0.0088(13)	-0.0076(13)	0.0045(13)
C2	0.047(2)	0.032(2)	0.031(2)	-0.0171(15)	-0.008(2)	0.009(2)
C3	0.048(2)	0.024(2)	0.037(2)	-0.0070(15)	-0.014(2)	0.0052(15)
C4	0.030(2)	0.039(2)	0.047(2)	-0.015(2)	-0.007(2)	0.0103(15)
C5	0.033(2)	0.036(2)	0.024(2)	-0.0090(14)	0.0050(14)	-0.0076(15)
C6	0.026(2)	0.060(3)	0.042(2)	-0.019(2)	0.006(2)	-0.001(2)
C7	0.045(2)	0.061(3)	0.036(2)	-0.028(2)	0.006(2)	-0.008(2)

Atom	U ₁₁	U ₂₂	U ₃₃	U ₂₃	U ₁₃	U ₁₂
C8	0.051(2)	0.054(2)	0.024(2)	0.0006(17)	0.007(2)	-0.015(2)
C9	0.029(2)	0.040(2)	0.030(2)	-0.0130(15)	-0.0125(14)	0.0018(15)
C13	0.028(2)	0.031(2)	0.038(2)	-0.0101(15)	-0.0116(15)	-0.0056(14)
C17	0.041(2)	0.040(2)	0.053(2)	-0.021(2)	-0.006(2)	-0.000(2)
C20	0.037(2)	0.059(3)	0.065(3)	-0.023(2)	-0.018(2)	0.013(2)
N1	0.0240(13)	0.0205(12)	0.0223(13)	-0.0059(10)	-0.0043(10)	0.0013(10)
N2	0.0215(13)	0.0276(13)	0.0204(12)	-0.0078(11)	-0.0012(10)	-0.0036(10)
N3	0.0243(14)	0.0264(14)	0.0257(13)	-0.0053(11)	-0.0065(11)	-0.0021(11)
N4	0.0229(13)	0.0245(13)	0.0248(13)	-0.0054(11)	-0.0050(11)	-0.0026(10)
0	0.0307(13)	0.0312(12)	0.0403(14)	-0.0113(11)	-0.0049(11)	0.0009(10)
P1	0.0235(4)	0.0220(4)	0.0213(4)	-0.0048(3)	-0.0035(3)	-0.0044(3)
P2	0.0243(4)	0.0230(4)	0.0191(4)	-0.0045(3)	-0.0047(3)	-0.0022(3)
CI	0.0714(7)	0.0294(5)	0.0373(5)	0.0037(4)	0.0188(5)	0.0091(4)
Sm	0.02243(9)	0.02093(9)	0.02094(9)	-0.00184(6)	-0.00469(6)	-0.00218(6)

5.2.15 Kristallstruktur von cis-[(tBuNH)₂(PNtBu)(P(·AIMe₃)NtBu)] (7a)

Summenformel $C_{19}H_{47}AIN_4P_2$ Molare Masse [g·mol⁻¹] 420.53 Raumgruppe P2₁ (No. 4) Gitterkonstanten 930.26(8), 1625.92(9), 964.74(8) a, b, c [pm] 113.293(6) β [°] Zellvolumen[10⁶ pm³] 1340.2(2) Ζ 2 Röntgenographische Dichte [g·cm⁻³] 1.042 STOE IPDS 2T Messgerät Strahlungsquelle Mo-K_α (λ = 71.073 pm) Messtemperatur [K] 200(2) Absorptionskorrektur Integration Absorptionskoeffizient [mm⁻¹] 0.205 Gemessene Reflexe 7253 $4550 [R_{int} = 0.0273]$ Unabhängige Reflexe Beobachtete Reflexe [I>2σ(I)] 4218 Daten/Parameter 4550/262 Flack 0.02(9)1.039 GooF R1; wR2 0.0348; 0.0836

Atom	Х	Y	Z	U _{eq/iso}
C1	0.3650(3)	0.37703(15)	0.6889(2)	0.0301(5)
C2	0.3501(3)	0.4323(2)	0.8100(3)	0.0369(6)
C3	0.4555(4)	0.4208(2)	0.6088(3)	0.0476(7)
C4	0.2021(3)	0.3542(2)	0.5758(3)	0.0461(8)
C5	0.7316(3)	0.1293(2)	0.8621(3)	0.0340(6)
C6A	0.8420(8)	0.1566(4)	0.7889(8)	0.052(2)

		\ \ \ \ \ \ \ \ \ \ \ \ \ \ \ \ \ \ \		
Atom	X	Υ	Z	U _{eq/iso}
C6B	0.7887(10)	0.1289(6)	0.7339(10)	0.047(2)
C7A	0.8231(7)	0.1185(4)	1.0319(5)	0.0405(15)
C7B	0.8673(11)	0.1472(6)	1.0087(10)	0.054(3)
C8A	0.6537(7)	0.0466(4)	0.8010(9)	0.050(2)
C8B	0.6548(12)	0.0457(6)	0.8644(15)	0.063(3)
C9	0.5034(3)	0.25276(15)	1.1463(3)	0.0304(5)
C10A	0.3749(7)	0.2030(4)	1.0387(5)	0.0377(13)
C10B	0.3375(12)	0.2274(7)	1.0220(10)	0.037(2)
C11A	0.4385(7)	0.3260(3)	1.2075(6)	0.0392(14)
C11B	0.4902(15)	0.3086(7)	1.2578(14)	0.056(3)
C12A	0.6082(6)	0.2007(4)	1.2807(7)	0.0479(15)
C12B	0.5806(12)	0.1725(7)	1.2303(13)	0.050(3)
C13	0.2001(3)	0.1024(2)	0.5278(3)	0.0382(6)
C14A	0.0279(8)	0.1466(7)	0.4723(9)	0.034(2)
C14B	0.0404(9)	0.1207(8)	0.4993(11)	0.056(2)
C15	0.2422(4)	0.1094(2)	0.3931(3)	0.0456(7)
C16A	0.1825(15)	0.0206(5)	0.5769(8)	0.042(2)
C16B	0.2330(13)	0.0077(5)	0.5776(7)	0.045(2)
C17	0.9108(4)	0.3728(2)	0.7909(4)	0.0567(8)
C18	0.7696(4)	0.4925(2)	0.9905(4)	0.0545(8)
C19A	0.9908(9)	0.3521(7)	1.1664(8)	0.039(2)
C19B	1.0150(11)	0.3278(8)	1.1466(10)	0.042(3)
N1	0.4444(2)	0.29974(11)	0.7602(2)	0.0229(4)
N2	0.6067(2)	0.19232(12)	0.8348(2)	0.0274(4)
N3	0.6029(2)	0.28937(14)	1.0739(2)	0.0271(4)
N4	0.3089(3)	0.15204(14)	0.6559(2)	0.0347(5)
Al	0.84762(9)	0.38257(5)	0.96215(8)	0.0351(2)
P1	0.61799(6)	0.28746(3)	0.90898(6)	0.02189(13)
P2	0.45426(7)	0.21176(4)	0.66071(6)	0.02521(14)

Atom	U ₁₁	U ₂₂	U ₃₃	U ₂₃	U ₁₃	U ₁₂
C1	0.0339(13)	0.0295(12)	0.0242(11)	0.0027(10)	0.0086(10)	0.0115(11)
C2	0.0435(15)	0.0289(13)	0.0368(13)	-0.0024(11)	0.0144(12)	0.0109(11)
C3	0.066(2)	0.042(2)	0.0377(14)	0.0168(12)	0.0248(14)	0.0111(14)
C4	0.0399(15)	0.050(2)	0.0330(14)	-0.0022(12)	-0.0010(12)	0.0204(13)
C5	0.0367(14)	0.0317(13)	0.0372(13)	0.0062(11)	0.0183(11)	0.0121(11)
C9	0.0361(13)	0.0364(12)	0.0253(12)	0.0013(10)	0.0192(11)	-0.0027(11)
C13	0.0365(14)	0.0461(15)	0.0297(13)	-0.0123(11)	0.0106(11)	-0.0153(12)
C15	0.053(2)	0.055(2)	0.0275(13)	-0.0153(12)	0.0156(13)	-0.0125(14)

Atom	U_{11}	U_{22}	U_{33}	U_{23}	U_{13}	U_{12}
C17	0.052(2)	0.068(2)	0.061(2)	0.016(2)	0.036(2)	0.000(2)
C18	0.055(2)	0.047(2)	0.062(2)	-0.0150(15)	0.024(2)	-0.0181(15)
N1	0.0236(9)	0.0234(11)	0.0201(9)	-0.0003(7)	0.0071(7)	0.0038(8)
N2	0.0266(10)	0.0284(11)	0.0264(9)	-0.0009(8)	0.0097(8)	0.0027(8)
N3	0.0288(10)	0.0323(10)	0.0206(9)	-0.0020(9)	0.0102(8)	-0.0066(10)
N4	0.0416(12)	0.0438(12)	0.0220(10)	-0.0104(9)	0.0160(10)	-0.0133(10)
Al	0.0293(4)	0.0440(4)	0.0315(4)	0.0052(3)	0.0112(3)	-0.0086(3)
P1	0.0224(3)	0.0257(3)	0.0184(3)	0.0011(2)	0.0090(2)	-0.0002(2)
P2	0.0268(3)	0.0285(3)	0.0208(3)	-0.0023(2)	0.0100(2)	0.0019(3)

5.2.16 Kristallstruktur von cis-[(tBuNH)₂(PNtBu)(P(·AlMe₂Cl)NtBu)] (7b)

Summenformel	C ₁₈ H ₄₄ AICIN ₄ P ₂		
Molare Masse [g·mol ⁻¹]	440.94		
Raumgruppe	P2 ₁ (No. 4)		
Gitterkonstanten a, b, c [pm]	903.40(10), 1724.24(12), 940.85(10)		
β [°]	115.795(8)		
Volumen[10 ⁶ pm ³]	1319.5(2)		
Z	2		
Röntgenographische Dichte [g·cm ⁻³]	1.110		
Messgerät	STOE IPDS 2T		
Strahlungsquelle	Mo-K _α (λ = 71.073 pm)		
Messtemperatur [K]	200(2)		
Absorptionskorrektur	Integration		
Absorptionskoeffizient [mm ⁻¹]	0.205		
Gemessene Reflexe	6784		
Unabhängige Reflexe	4596 [R _{int} = 0.0448]		
Beobachtete Reflexe [I>2σ(I)]	3747		
Daten/Parameter	4596/258		
Flack	0.08(9)		
GooF	0.943		
R1; wR2	0.0428; 0.0917		

Atom	Χ	Υ	Z	$U_{\text{eq/iso}}$
C1	0.8442(4)	0.1574(2)	0.9440(4)	0.0357(8)
C2	0.9942(5)	0.1978(3)	1.0678(5)	0.0599(12)
C3	0.8720(6)	0.1413(3)	0.7994(6)	0.0646(13)
C4	0.8158(6)	0.0808(3)	1.0109(6)	0.0610(12)
C5	0.3523(4)	0.3461(2)	0.7368(4)	0.0284(7)
C6	0.3320(5)	0.3951(2)	0.8621(4)	0.0433(9)

Atom	Х	Υ	Z	U _{eq/iso}
C7	0.4023(5)	0.3970(3)	0.6318(4)	0.0418(9)
C8	0.1903(4)	0.3055(2)	0.6355(5)	0.0412(9)
C9	0.5926(5)	0.2420(2)	1.2289(4)	0.0356(8)
C10	0.4779(6)	0.1828(2)	1.1205(5)	0.0500(11)
C11	0.7327(6)	0.2031(3)	1.3666(5)	0.076(2)
C12	0.4984(7)	0.2954(3)	1.2887(6)	0.0710(15)
C13	0.3166(5)	0.0780(2)	0.5949(4)	0.0407(9)
C14	0.3868(6)	-0.0020(3)	0.6498(5)	0.0648(13)
C15	0.1360(6)	0.0789(3)	0.5633(6)	0.0660(13)
C16	0.3348(7)	0.0996(3)	0.4482(5)	0.0638(13)
C17	1.0436(5)	0.3951(3)	1.1936(5)	0.0548(11)
C18	0.8781(4)	0.3869(2)	0.7863(4)	0.0397(9)
N1	0.6949(3)	0.2071(2)	0.9009(3)	0.0288(6)
N2	0.4765(3)	0.28490(15)	0.8171(3)	0.0253(6)
N3	0.6657(4)	0.2904(2)	1.1440(3)	0.0330(7)
N4	0.4079(4)	0.1337(2)	0.7245(4)	0.0347(7)
Al	0.85578(13)	0.39927(7)	0.98431(12)	0.0315(2)
P1	0.66541(10)	0.29283(5)	0.96958(9)	0.0246(2)
P2	0.52148(10)	0.20818(5)	0.72080(10)	0.0270(2)
CI	0.72540(12)	0.50633(6)	0.98016(12)	0.0486(3)

Atom	U ₁₁	U_{22}	U_{33}	U_{23}	U_{13}	U ₁₂
C1	0.036(2)	0.032(2)	0.040(2)	0.010(2)	0.016(2)	0.015(2)
C2	0.035(2)	0.072(3)	0.060(3)	0.005(2)	0.008(2)	0.020(2)
C3	0.064(3)	0.081(3)	0.061(3)	0.016(3)	0.039(3)	0.034(3)
C4	0.061(3)	0.046(2)	0.076(3)	0.017(2)	0.030(3)	0.018(2)
C5	0.020(2)	0.029(2)	0.031(2)	-0.0017(15)	0.0076(15)	0.0043(13)
C6	0.034(2)	0.044(2)	0.050(2)	-0.008(2)	0.016(2)	0.009(2)
C7	0.038(2)	0.039(2)	0.043(2)	0.014(2)	0.012(2)	0.008(2)
C8	0.026(2)	0.040(2)	0.046(2)	-0.002(2)	0.005(2)	0.003(2)
C9	0.050(2)	0.034(2)	0.028(2)	-0.003(2)	0.023(2)	-0.010(2)
C10	0.062(3)	0.052(3)	0.045(2)	-0.004(2)	0.031(2)	-0.022(2)
C11	0.070(3)	0.102(4)	0.040(3)	0.035(3)	0.009(2)	-0.015(3)
C12	0.110(4)	0.056(3)	0.087(4)	-0.007(3)	0.081(3)	-0.017(3)
C13	0.052(2)	0.036(2)	0.029(2)	-0.003(2)	0.013(2)	-0.006(2)
C14	0.092(4)	0.039(3)	0.049(3)	-0.007(2)	0.018(3)	0.003(3)
C15	0.054(3)	0.072(3)	0.059(3)	-0.013(3)	0.013(2)	-0.013(2)
C16	0.098(4)	0.059(3)	0.030(2)	-0.013(2)	0.023(2)	-0.019(3)
C17	0.046(3)	0.050(2)	0.047(2)	0.012(2)	0.001(2)	-0.005(2)

Atom	U ₁₁	U ₂₂	U ₃₃	U ₂₃	U ₁₃	U ₁₂
C18	0.037(2)	0.048(2)	0.045(2)	0.008(2)	0.028(2)	0.0008(2)
N1	0.0288(14)	0.0284(13)	0.0275(14)	0.0064(13)	0.0106(12)	0.0056(13)
N2	0.0228(13)	0.0281(14)	0.0248(13)	0.0001(12)	0.0103(11)	0.0027(12)
N3	0.039(2)	0.034(2)	0.0263(15)	-0.0026(15)	0.0150(13)	-0.012(2)
N4	0.045(2)	0.035(2)	0.025(2)	-0.0031(14)	0.017(2)	-0.0050(14)
Al	0.0270(6)	0.0335(5)	0.0317(5)	0.0050(5)	0.0108(5)	-0.0030(4)
P1	0.0242(4)	0.0275(4)	0.0232(4)	0.0024(4)	0.0112(3)	0.0005(4)
P2	0.0311(5)	0.0272(4)	0.0235(4)	0.0019(4)	0.0127(4)	0.0036(4)
CI	0.0470(6)	0.0350(5)	0.0598(6)	-0.0064(5)	0.0196(5)	-0.0017(5)

5.2.17 Kristallstruktur von cis-[(tBuNH)₂(PNtBu)(P(·AIMe₂Br)NtBu)₂] (7c)

Summenformel		$C_{18}H_{44}AIBrN_4P_2$		
Molare Masse [g⋅mol ⁻¹]		485.40		
Raumgruppe		P2 ₁ (No. 4)		
Gitterkonstanten	a, b, c [pm]	935.85(9), 1635.58(12), 964.47(9)		
	β [°]	113.523(7)		
Volumen[10 ⁶ pm ³]		1319.5(2)		
z		2		
Röntgenographiscl	he Dichte [g·cm ⁻³]	1.191		
Messgerät		STOE IPDS 2T		
Strahlungsquelle		Mo- $K_α$ ($λ = 71.073 \text{ pm}$)		
Messtemperatur [K	()	200(2)		
Absorptionskorrekt	tur	Integration		
Absorptionskoeffiz	ient [mm ⁻¹]	1.679		
Gemessene Reflex	ке	5966		
Unabhängige Refle	exe	4102 [R _{int} = 0.0420]		
Beobachtete Refle	xe [I>2σ(I)]	3720		
Daten/Parameter		4102/195		
Flack		0.06(9)		
GooF		0.9484		
R1; wR2		0.1111; 0.2880		

Atom	Χ	Υ	Z	$U_{\text{eq/iso}}$
C1	0.745(2)	0.1308(8)	0.8718(13)	0.049(3)
C2	0.842(3)	0.1233(15)	1.037(3)	0.106(7)
C3	0.844(3)	0.1474(15)	0.784(3)	0.110(7)
C4	0.653(3)	0.0507(15)	0.828(3)	0.115(7)
C5	0.3692(15)	0.3760(7)	0.6961(11)	0.043(3)
C6	0.3558(14)	0.4292(8)	0.8199(13)	0.045(3)

Atom	X	Y	Z	U _{eq/iso}
C7	0.210(2)	0.3518(9)	0.583(2)	0.060(3)
C8	0.459(2)	0.4223(9)	0.6205(15)	0.057(3)
C9	0.5212(13)	0.2522(7)	1.1608(11)	0.038(2)
C10	0.625(3)	0.1960(14)	1.282(2)	0.096(6)
C11	0.382(2)	0.2079(11)	1.051(2)	0.069(4)
C12	0.466(2)	0.3194(11)	1.230(2)	0.076(4)
C13	0.2147(15)	0.1032(9)	0.5358(13)	0.053(3)
C14A	0.254(4)	0.007(2)	0.581(2)	0.057(6)
C14B	0.189(5)	0.023(2)	0.582(4)	0.044(10)
C15A	0.042(3)	0.142(2)	0.490(3)	0.072(8)
C15B	0.058(4)	0.108(3)	0.522(4)	0.041(10)
C16A	0.253(2)	0.1107(13)	0.398(2)	0.031(5)
C16B	0.206(7)	0.137(4)	0.395(5)	0.060(13)
C17	1.0113(8)	0.3571(4)	1.1788(7)	0.0061(12)
C18	0.905(2)	0.3723(11)	0.784(2)	0.071(4)
N1	0.6201(10)	0.1934(5)	0.8424(9)	0.033(2)
N2	0.4556(10)	0.2991(5)	0.7690(8)	0.031(2)
N3	0.6178(10)	0.2903(6)	1.0824(8)	0.035(2)
N4	0.3229(11)	0.1524(6)	0.6651(8)	0.039(2)
Al	0.8544(5)	0.3759(3)	0.9588(4)	0.0578(11)
P1	0.6269(3)	0.28683(15)	0.9162(2)	0.0281(5)
P2	0.4648(3)	0.2116(2)	0.6682(3)	0.0311(6)
Br	0.7855(3)	0.49926(15)	1.0155(3)	0.0992(8)

Atom	U_{11}	U_{22}	U_{33}	U_{23}	U_{13}	U_{12}
C1	0.053(7)	0.052(7)	0.045(6)	0.003(5)	0.023(5)	0.027(6)
C5	0.058(7)	0.044(6)	0.028(5)	0.012(4)	0.017(5)	0.025(6)
C9	0.041(6)	0.052(6)	0.031(5)	0.001(4)	0.024(4)	-0.004(5)
C13	0.048(7)	0.069(9)	0.034(5)	-0.029(6)	0.006(5)	-0.018(6)
N1	0.027(4)	0.046(6)	0.025(4)	0.002(3)	0.008(3)	0.014(4)
N2	0.035(4)	0.034(5)	0.026(4)	0.001(3)	0.013(3)	0.012(4)
N3	0.042(5)	0.046(5)	0.022(3)	-0.006(4)	0.017(3)	-0.009(4)
N4	0.041(5)	0.050(6)	0.019(4)	-0.010(3)	0.005(3)	-0.006(4)
Al	0.058(2)	0.080(3)	0.043(2)	-0.003(2)	0.028(2)	-0.030(2)
P1	0.0304(12)	0.0338(13)	0.0221(10)	0.0033(9)	0.0126(9)	0.0024(11)
P2	0.0347(13)	0.0371(14)	0.0229(11)	-0.0032(10)	0.0129(9)	0.0045(12)
Br	0.1009(15)	0.0839(13)	0.117(2)	-0.0270(12)	0.0481(12)	-0.0270(12)

5.2.18 Kristallstruktur von *cis*-[(*t*BuNH)(PN*t*Bu)(*t*BuN·AlMeCl₂)(P(H)N*t*Bu)] (7d)

Summenformel		C ₁₇ H ₄₁ AlCl ₂ N ₄ P ₂	
Molare Masse [g·m	nol ^{–1}]	461.36	
Raumgruppe		P2 ₁ /n (No. 14)	
Gitterkonstanten	a, b, c [pm]	993.95(7), 1917.09(12), 1371.00(10)	
	β [°]	94.608(6)	
Volumen[10 ⁶ pm ³]		2604.0(3)	
z		4	
Röntgenographisch	ne Dichte [g⋅cm ⁻³]	1.177	
Messgerät		STOE IPDS 2T	
Strahlungsquelle		Mo-K _α (λ = 71.073 pm)	
Messtemperatur [K	[]	200(2)	
Absorptionskorrekt	ur	Integration	
Absorptionskoeffizi	ent [mm ⁻¹]	0.415	
Gemessene Reflex	(e	11748	
Unabhängige Refle	exe	4549 [R _{int} = 0.0794]	
Beobachtete Reflex	xe [I>2σ(I)]	3570	
Daten/Parameter		4549/256	
GooF		0.971	
R1; wR2		0.0456; 0.1245	

Atom	Χ	Υ	Z	$U_{\text{eq/iso}}$
C1	0.8610(3)	0.34551(14)	0.8028(2)	0.0377(6)
C2	0.7291(3)	0.33222(19)	0.8482(3)	0.0570(9)
C3	0.9131(4)	0.41820(16)	0.8303(2)	0.0513(8)
C4	0.8406(4)	0.33816(18)	0.6914(2)	0.0527(8)
C5	1.2363(3)	0.16227(14)	0.84413(19)	0.0347(6)
C6	1.2152(3)	0.09701(16)	0.9043(2)	0.0441(7)

Atom	Х	Υ	Z	U _{eq/iso}
C7	1.3714(3)	0.1957(2)	0.8767(3)	0.0550(9)
C8	1.2322(4)	0.14345(18)	0.7356(2)	0.0508(8)
C9	0.8692(3)	0.16775(14)	1.0186(2)	0.0332(6)
C10	0.9083(4)	0.0961(2)	1.0610(2)	0.0481(8)
C11	0.7268(3)	0.1873(2)	1.0431(2)	0.0463(8)
C12	0.9686(3)	0.2220(2)	1.0636(2)	0.0442(7)
C13	1.3012(3)	0.3986(2)	0.9486(2)	0.0397(7)
C14	1.4193(3)	0.3733(2)	1.0167(2)	0.0530(8)
C15	1.2385(4)	0.4628(2)	0.9927(2)	0.0522(8)
C16	1.3514(4)	0.4178(2)	0.8498(2)	0.0559(9)
C17	0.6287(2)	0.03767(12)	0.9019(2)	0.0250(5)
N1	0.9644(2)	0.29484(11)	0.84361(14)	0.0285(5)
N2	1.1296(2)	0.21435(11)	0.86243(14)	0.0279(4)
N3	0.8702(2)	0.16286(11)	0.90777(13)	0.0266(5)
N4	1.1977(2)	0.34263(12)	0.9374(2)	0.0320(5)
Al	0.75925(8)	0.09523(4)	0.83524(5)	0.0288(2)
P1	0.96368(6)	0.20859(3)	0.84329(4)	0.0245(2)
P2	1.13966(7)	0.30398(3)	0.83556(4)	0.0280(2)
CI1	0.89808(7)	0.02702(4)	0.76738(5)	0.0418(2)
Cl2	0.65110(7)	0.15252(4)	0.71604(5)	0.0406(2)

Atom	U ₁₁	U_{22}	U_{33}	U_{23}	U_{13}	U ₁₂
C1	0.037(2)	0.0305(15)	0.0439(14)	0.0053(11)	-0.0045(12)	0.0089(12)
C2	0.039(2)	0.051(2)	0.081(2)	0.014(2)	0.007(2)	0.018(2)
C3	0.057(2)	0.029(2)	0.064(2)	0.0009(13)	-0.0101(15)	0.0143(15)
C4	0.061(2)	0.045(2)	0.047(2)	0.0115(13)	-0.0184(15)	0.007(2)
C5	0.0309(15)	0.0334(15)	0.0405(13)	0.0003(11)	0.0071(11)	0.0073(12)
C6	0.042(2)	0.034(2)	0.055(2)	0.0082(13)	0.0039(13)	0.0116(14)
C7	0.0272(16)	0.053(2)	0.085(2)	-0.007(2)	0.0069(15)	0.0055(15)
C8	0.064(2)	0.045(2)	0.045(2)	-0.0059(13)	0.0179(15)	0.014(2)
C9	0.042(2)	0.0371(15)	0.0198(11)	-0.0002(10)	0.0043(10)	-0.0031(12)
C10	0.065(2)	0.047(2)	0.0314(13)	0.0111(12)	0.0028(13)	0.0007(2)
C11	0.048(2)	0.058(2)	0.0342(14)	-0.0120(13)	0.0127(13)	-0.003(2)
C12	0.048(2)	0.060(2)	0.0240(12)	-0.0047(12)	0.0014(11)	-0.014(2)
C13	0.043(2)	0.040(2)	0.0353(13)	-0.0023(11)	0.0063(12)	-0.0150(14)
C14	0.037(2)	0.070(2)	0.050(2)	-0.0057(15)	0.0000(13)	-0.012(2)
C15	0.063(2)	0.037(2)	0.055(2)	-0.0069(13)	0.006(2)	-0.012(2)
C16	0.064(2)	0.060(2)	0.045(2)	0.0014(15)	0.0174(15)	-0.026(2)
C17	0.0264(13)	0.0189(12)	0.0302(11)	-0.0003(9)	0.0057(9)	-0.0057(10)

Atom	U ₁₁	U ₂₂	U ₃₃	U ₂₃	U ₁₃	U ₁₂
N1	0.0289(12)	0.0251(11)	0.0309(10)	0.0032(8)	-0.0014(8)	0.0035(9)
N2	0.0262(11)	0.0263(11)	0.0313(10)	0.0022(8)	0.0023(8)	0.0029(9)
N3	0.0297(12)	0.0274(11)	0.0227(9)	-0.0001(8)	0.0019(8)	0.0042(9)
N4	0.0342(13)	0.0348(13)	0.0276(10)	0.0010(9)	0.0062(9)	-0.0072(10)
Al	0.0296(4)	0.0277(4)	0.0291(4)	-0.0020(3)	0.0008(3)	0.0017(3)
P1	0.0261(3)	0.0248(3)	0.0228(3)	0.0003(2)	0.0016(2)	0.0034(3)
P2	0.0308(4)	0.0278(4)	0.0257(3)	0.0021(2)	0.0039(2)	0.0000(3)
CI1	0.0378(4)	0.0385(4)	0.0488(4)	-0.0143(3)	0.0018(3)	0.0073(3)
CI2	0.0361(4)	0.0490(4)	0.0355(3)	0.0037(3)	-0.0043(3)	0.0060(3)

5.2.19 Kristallstruktur von *cis*-[(*t*BuNH)(PN*t*Bu)(*t*BuN·AICI₃)(P(H)N*t*Bu)] (7e)

Summenformel		$C_{16}H_{38}AICI_3N_4P_2$	
Molare Masse [g·m	nol ^{–1}]	481.77	
Raumgruppe		P2 ₁ /n (No. 14)	
Gitterkonstanten	a, b, c [pm]	995.57(6), 1904.1(2), 1374.98(8)	
	β [°]	94.590(5)	
Volumen[10 ⁶ pm ³]		2598.1(3)	
z		4	
Röntgenographisch	ne Dichte [g·cm ⁻³]	1.232	
Messgerät		STOE IPDS 2T	
Strahlungsquelle		Mo- $K_α$ ($λ = 71.073 \text{ pm}$)	
Messtemperatur [K	[]	200(2)	
Absorptionskorrekt	ur	keine	
Absorptionskoeffizi	ent [mm ⁻¹]	0.519	
Gemessene Reflex	(e	19000	
Unabhängige Refle	exe	6983 [R _{int} = 0.0786]	
Beobachtete Reflex	xe [I>2σ(I)]	4536	
Daten/Parameter		6983/250	
GooF		0.998	
R1; wR2		0.0614; 0.1783	

Atom	Χ	Υ	Z	$U_{\text{eq/iso}}$
C1	0.2602(3)	0.83958(18)	0.1526(2)	0.0402(7)
C2	0.1253(3)	0.8067(2)	0.1177(4)	0.0601(11)
C3	0.2632(4)	0.8587(2)	0.2601(3)	0.0565(10)
C4	0.2829(4)	0.9044(2)	0.0921(3)	0.0515(9)
C5	0.6327(3)	0.6537(2)	0.1997(3)	0.0417(7)
C6	0.5801(4)	0.5801(2)	0.1738(3)	0.0585(10)

Atom	Χ	Υ	Z	U _{eq/iso}
C7	0.6520(4)	0.6619(2)	0.3101(3)	0.0596(10)
C8	0.7647(4)	0.6657(2)	0.1544(4)	0.0631(11)
C9	0.1950(4)	0.6006(2)	0.0501(3)	0.0477(8)
C10	0.0777(4)	0.6279(3)	-0.0193(3)	0.0621(11)
C11	0.1439(5)	0.5812(3)	0.1481(3)	0.0669(12)
C12	0.2581(4)	0.5364(2)	0.0058(3)	0.0607(10)
C13	0.6294(3)	0.8314(2)	-0.0182(2)	0.0378(7)
C14	0.5911(4)	0.9022(2)	-0.0621(3)	0.0533(9)
C15	0.5317(4)	0.7761(2)	-0.0620(2)	0.0506(9)
C16	0.7717(4)	0.8101(2)	-0.0415(3)	0.0519(9)
N1	0.3670(2)	0.78651(14)	0.1358(2)	0.0340(5)
N2	0.5306(2)	0.70507(14)	0.1576(2)	0.0348(5)
N3	0.6272(2)	0.83688(13)	0.0921(2)	0.0312(5)
N4	0.2980(3)	0.6571(2)	0.0613(2)	0.0401(6)
Al	0.73528(8)	0.90377(5)	0.16640(6)	0.0341(2)
P1	0.53204(7)	0.79133(4)	0.15633(5)	0.0303(2)
P2	0.35474(8)	0.69622(4)	0.16350(5)	0.0342(2)
CI1	0.87176(11)	0.96351(6)	0.09296(9)	0.0656(3)
CI2	0.84738(8)	0.84761(5)	0.28287(6)	0.0454(2)
CI3	0.60059(8)	0.97403(5)	0.23212(6)	0.0474(2)

Atom	U ₁₁	U_{22}	U_{33}	U_{23}	U ₁₃	U ₁₂
C1	0.0345(14)	0.041(2)	0.045(2)	-0.0009(14)	0.0083(12)	0.0096(12)
C2	0.0316(15)	0.061(3)	0.088(3)	-0.011(2)	0.006(2)	0.0048(15)
C3	0.062(2)	0.059(2)	0.051(2)	-0.004(2)	0.018(2)	0.011(2)
C4	0.045(2)	0.049(2)	0.060(2)	0.010(2)	0.0032(15)	0.0115(15)
C5	0.0400(15)	0.038(2)	0.045(2)	0.0074(14)	-0.0020(13)	0.0092(13)
C6	0.061(2)	0.042(2)	0.071(3)	0.006(2)	-0.006(2)	0.012(2)
C7	0.069(2)	0.058(2)	0.049(2)	0.008(2)	-0.015(2)	0.006(2)
C8	0.042(2)	0.060(3)	0.087(3)	0.012(2)	0.007(2)	0.017(2)
C9	0.050(2)	0.052(2)	0.041(2)	-0.000(2)	0.0095(14)	-0.0133(15)
C10	0.045(2)	0.085(3)	0.054(2)	-0.009(2)	0.000(2)	-0.015(2)
C11	0.075(3)	0.076(3)	0.052(2)	0.004(2)	0.019(2)	-0.034(2)
C12	0.075(3)	0.051(2)	0.056(2)	-0.006(2)	0.005(2)	-0.010(2)
C13	0.0411(15)	0.049(2)	0.0232(13)	-0.0006(12)	0.0060(11)	-0.0018(13)
C14	0.065(2)	0.062(2)	0.032(2)	0.012(2)	0.0008(14)	-0.002(2)
C15	0.053(2)	0.070(3)	0.0287(15)	-0.006(2)	0.0048(13)	-0.013(2)
C16	0.052(2)	0.064(2)	0.041(2)	-0.010(2)	0.0154(15)	-0.001(2)
N1	0.0337(11)	0.0368(13)	0.0320(12)	0.0019(11)	0.0049(9)	0.0048(10)

Atom	U ₁₁	U ₂₂	U ₃₃	U ₂₃	U ₁₃	U ₁₂
N2	0.0356(12)	0.0368(13)	0.0318(12)	0.0024(11)	0.0016(9)	0.0044(10)
N4	0.0427(14)	0.046(2)	0.0325(13)	0.0012(12)	0.0091(11)	-0.0094(11)
Al	0.0340(4)	0.0373(5)	0.0308(4)	-0.0025(4)	0.0020(3)	0.0034(3)
P1	0.0326(3)	0.0343(4)	0.0240(3)	0.0006(3)	0.0021(2)	0.0044(3)
P2	0.0378(4)	0.0375(4)	0.0279(3)	0.0017(3)	0.0047(3)	0.0005(3)
CI1	0.0677(6)	0.0632(7)	0.0672(6)	0.0025(5)	0.0134(5)	-0.0090(5)
CI2	0.0387(4)	0.0587(5)	0.0376(4)	0.0046(4)	-0.0037(3)	0.0067(3)
CI3	0.0428(4)	0.0482(5)	0.0512(5)	-0.0154(4)	0.0030(3)	0.0092(3)

5.2.20 Kristallstruktur von cis-[(PhMeHC(R)*NH)₂(PNtBu)₂] (8a)

Summenformel		$C_{24}H_{38}N_4P_2$		
Molare Masse [g⋅mol ⁻¹]		444.52		
Raumgruppe		C2 (No. 5)		
Gitterkonstanten	a, b, c [pm]	2689.7(12), 582.77(18), 2078.8(10)		
	β [°]	126.19(4)		
Volumen[10 ⁶ pm ³]		2629(2)		
z		4		
Röntgenographiscl	he Dichte [g·cm ⁻³]	1.123		
Messgerät		STOE IPDS 2T		
Strahlungsquelle		Mo- $K_α$ ($λ = 71.073 \text{ pm}$)		
Messtemperatur [K	()	200(2)		
Absorptionskorrekt	tur	Integration		
Absorptionskoeffiz	ient [mm ⁻¹]	0.182		
Gemessene Reflex	ке	9195		
Unabhängige Refle	exe	4394 [R _{int} = 0.0735]		
Beobachtete Reflexe [I>2σ(I)]		3612		
Daten/Parameter		4394/287		
Flack		-0.13(11)		
GooF		1.009		
R1; wR2		0.0483; 0.1093		

Atom	Χ	Υ	Z	$U_{\text{eq/iso}}$
C1	0.8845(2)	1.0887(6)	0.8972(2)	0.0351(8)
C2	0.8802(2)	1.3482(7)	0.8925(2)	0.0521(11)
C3	0.8462(2)	0.9948(7)	0.9240(2)	0.0488(10)
C4	0.8598(2)	0.9907(7)	0.8154(2)	0.0469(10)
C5	1.0904(2)	1.4939(5)	0.6462(2)	0.0325(8)
C6	1.0923(2)	1.7542(6)	0.6509(2)	0.0502(11)

Atom	Χ	Υ	Z	U _{eq/iso}
C7	1.0783(2)	1.3947(6)	0.7040(2)	0.0430(10)
C8	1.1508(2)	1.4037(7)	0.6661(2)	0.0472(10)
C9	1.0146(2)	0.7811(6)	0.8392(2)	0.0326(8)
C10	0.9678(2)	0.6117(7)	0.7777(2)	0.0456(10)
C11	1.0791(2)	0.7244(6)	0.8667(2)	0.0318(8)
C12	1.1127(2)	0.8783(7)	0.8558(2)	0.0433(9)
C13	1.1733(2)	0.8213(9)	0.8830(3)	0.0591(13)
C14	1.1986(2)	0.6153(9)	0.9205(3)	0.0609(13)
C15	1.1652(2)	0.4641(8)	0.9309(2)	0.0540(10)
C16	1.1063(2)	0.5180(7)	0.9045(2)	0.0422(9)
C17	1.1054(2)	1.2080(7)	0.4441(2)	0.0378(8)
C18	1.0795(2)	1.0585(10)	0.3709(2)	0.0624(13)
C19	1.1699(2)	1.1311(6)	0.5131(2)	0.0338(8)
C20	1.2205(2)	1.2677(7)	0.5399(2)	0.0491(10)
C21	1.2787(2)	1.1986(8)	0.6045(3)	0.0612(12)
C22	1.2869(2)	0.9942(8)	0.6409(2)	0.0558(11)
C23	1.2375(2)	0.8554(7)	0.6135(2)	0.0511(10)
C24	1.1791(2)	0.9230(7)	0.5498(2)	0.0442(9)
N1	0.94839(13)	1.0111(4)	0.95478(15)	0.0308(6)
N2	1.03982(13)	1.4160(4)	0.56447(14)	0.0267(6)
N3	1.00995(15)	0.7982(6)	0.9058(2)	0.0351(7)
N4	1.06293(15)	1.2139(5)	0.4666(2)	0.0332(7)
P1	1.00644(4)	1.04536(14)	0.94265(5)	0.0306(2)
P2	1.03755(4)	1.45461(14)	0.48012(5)	0.0287(2)

Atom	U ₁₁	U ₂₂	U ₃₃	U ₂₃	U ₁₃	U ₁₂
C1	0.031(2)	0.039(2)	0.035(2)	0.0052(15)	0.019(2)	0.009(2)
C2	0.051(3)	0.047(2)	0.054(2)	0.005(2)	0.028(2)	0.012(2)
C3	0.035(2)	0.069(3)	0.046(2)	0.006(2)	0.026(2)	0.009(2)
C4	0.038(2)	0.062(3)	0.035(2)	0.003(2)	0.018(2)	0.008(2)
C5	0.038(2)	0.032(2)	0.0252(14)	-0.0067(13)	0.0176(14)	-0.0100(15)
C6	0.073(3)	0.034(2)	0.041(2)	-0.009(2)	0.032(2)	-0.013(2)
C7	0.056(3)	0.046(2)	0.026(2)	-0.0054(14)	0.024(2)	-0.011(2)
C8	0.037(2)	0.058(3)	0.034(2)	-0.006(2)	0.014(2)	-0.009(2)
C9	0.040(2)	0.037(2)	0.0252(15)	0.0037(14)	0.022(2)	0.007(2)
C10	0.037(2)	0.064(3)	0.034(2)	-0.004(2)	0.020(2)	0.002(2)
C11	0.037(2)	0.038(2)	0.0222(15)	-0.0041(14)	0.0186(15)	-0.001(2)
C12	0.050(3)	0.047(2)	0.043(2)	-0.012(2)	0.032(2)	-0.013(2)
C13	0.052(3)	0.083(3)	0.058(3)	-0.029(2)	0.041(2)	-0.034(3)

Atom	U ₁₁	U ₂₂	U ₃₃	U ₂₃	U ₁₃	U ₁₂
C14	0.037(3)	0.091(4)	0.053(2)	-0.031(2)	0.026(2)	-0.010(2)
C15	0.042(2)	0.070(3)	0.044(2)	-0.004(2)	0.022(2)	0.007(2)
C16	0.041(2)	0.052(2)	0.035(2)	0.002(2)	0.023(2)	0.003(2)
C17	0.044(2)	0.043(2)	0.035(2)	0.0028(15)	0.028(2)	0.005(2)
C18	0.054(3)	0.097(3)	0.031(2)	-0.005(2)	0.023(2)	0.027(3)
C19	0.038(2)	0.038(2)	0.036(2)	-0.0027(14)	0.028(2)	-0.002(2)
C20	0.060(3)	0.045(2)	0.054(2)	0.004(2)	0.039(2)	-0.008(2)
C21	0.038(3)	0.076(3)	0.062(3)	-0.011(2)	0.025(2)	-0.025(2)
C22	0.037(2)	0.069(3)	0.043(2)	0.000(2)	0.013(2)	-0.005(2)
C23	0.041(3)	0.053(2)	0.048(2)	0.007(2)	0.020(2)	0.001(2)
C24	0.035(2)	0.046(2)	0.046(2)	0.001(2)	0.020(2)	-0.009(2)
N1	0.0333(15)	0.034(2)	0.0298(12)	0.0010(11)	0.0216(12)	0.0030(12)
N2	0.0290(15)	0.032(2)	0.0226(12)	-0.0053(11)	0.0172(11)	-0.0051(12)
N3	0.054(2)	0.030(2)	0.038(2)	0.0051(13)	0.037(2)	0.0008(14)
N4	0.041(2)	0.029(2)	0.040(2)	0.0011(13)	0.0306(15)	-0.0003(14)
P1	0.0329(5)	0.0354(5)	0.0298(4)	0.0023(4)	0.0220(4)	0.0006(4)
P2	0.0350(5)	0.0296(4)	0.0272(4)	0.0006(3)	0.0215(4)	-0.0007(4)

5.2.21 Kristallstruktur von cis-[(PhMeHC(S)*NH)₂(PNtBu)₂] (8b)

Summenformel $C_{24}H_{38}N_4P_2$ Molare Masse [g·mol⁻¹] 444.52 Raumgruppe C2 (No. 5) Gitterkonstanten 2689.0(2), 583.08(2), 2076.7(2) a, b, c [pm] 126.192(5) β [°] Volumen[10⁶ pm³] 2627.9(3) Ζ 4 Röntgenographische Dichte [g·cm⁻³] 1.124 STOE IPDS 2T Messgerät Strahlungsquelle Mo-K_α (λ = 71.073 pm) Messtemperatur [K] 200(2) Absorptionskorrektur Integration Absorptionskoeffizient [mm⁻¹] 0.200 Gemessene Reflexe 15103 Unabhängige Reflexe $4180 [R_{int} = 0.0604]$ Beobachtete Reflexe [I>2σ(I)] 3353 Daten/Parameter 4180/275 Flack -0.07(12) GooF 0.975 0.0302; 0.1223 R1; wR2

Atom	Χ	Υ	Z	$U_{\text{eq/iso}}$
C1	0.11576(14)	-0.0863(7)	0.1026(2)	0.0336(9)
C2	0.1199(2)	-0.3504(8)	0.1066(3)	0.0538(12)
C3	0.15356(15)	0.0042(8)	0.0755(2)	0.0479(12)
C4	0.1399(2)	0.0073(8)	0.1846(2)	0.0431(10)
C5	-0.09021(15)	-0.4940(7)	0.3537(2)	0.0343(9)
C6	-0.0916(2)	-0.7558(8)	0.3491(3)	0.0507(11)

Atom	Х	Υ	Z	U _{eq/iso}
C7	-0.0785(2)	-0.3937(7)	0.2961(2)	0.0417(10)
C8	-0.1508(2)	-0.4050(7)	0.3339(2)	0.0420(10)
C9	-0.01451(15)	0.2188(7)	0.1608(2)	0.0312(8)
C10	0.03237(15)	0.3884(8)	0.2224(2)	0.0429(10)
C11	-0.07933(14)	0.2743(7)	0.1332(2)	0.0302(8)
C12	-0.1126(2)	0.1220(8)	0.1444(2)	0.0427(10)
C13	-0.1731(2)	0.1774(10)	0.1170(3)	0.0570(13)
C14	-0.1981(2)	0.3837(10)	0.0800(3)	0.0584(14)
C15	-0.1654(2)	0.5360(9)	0.0693(2)	0.0506(11)
C16	-0.10623(15)	0.4818(8)	0.0958(2)	0.0403(10)
C17	-0.10521(15)	-0.2066(7)	0.5558(2)	0.0358(9)
C18	-0.0798(2)	-0.0606(11)	0.6295(2)	0.0626(15)
C19	-0.16989(15)	-0.1285(7)	0.4871(2)	0.0327(8)
C20	-0.2201(2)	-0.2689(9)	0.4603(3)	0.0504(11)
C21	-0.2788(2)	-0.1971(10)	0.3956(3)	0.0642(15)
C22	-0.2871(2)	0.0062(8)	0.3588(2)	0.0523(12)
C23	-0.2376(2)	0.1443(9)	0.3860(2)	0.0529(12)
C24	-0.17918(15)	0.0747(8)	0.4503(2)	0.0461(11)
N1	0.05123(11)	-0.0090(5)	0.04478(15)	0.0312(7)
N2	-0.04007(12)	-0.4154(5)	0.43574(15)	0.0280(7)
N3	-0.01010(12)	0.2024(6)	0.0941(2)	0.0328(7)
N4	-0.06279(12)	-0.2135(6)	0.5337(2)	0.0319(7)
P1	-0.00647(4)	-0.0454(2)	0.05737(5)	0.0304(2)
P2	-0.03765(4)	-0.4547(2)	0.51983(5)	0.0280(2)

Atom	U ₁₁	U ₂₂	U ₃₃	U ₂₃	U ₁₃	U ₁₂
C1	0.029(2)	0.036(3)	0.032(2)	0.002(2)	0.0171(14)	0.0048(15)
C2	0.053(2)	0.039(3)	0.060(3)	0.004(2)	0.028(2)	0.010(2)
C3	0.032(2)	0.065(4)	0.049(2)	0.005(2)	0.025(2)	0.006(2)
C4	0.038(2)	0.046(3)	0.032(2)	0.002(2)	0.0146(15)	0.008(2)
C5	0.036(2)	0.039(3)	0.0225(15)	-0.006(2)	0.0147(13)	-0.0087(15)
C6	0.070(3)	0.031(3)	0.042(2)	-0.012(2)	0.028(2)	-0.014(2)
C7	0.051(2)	0.047(3)	0.024(2)	-0.006(2)	0.020(2)	-0.011(2)
C8	0.036(2)	0.043(3)	0.035(2)	-0.006(2)	0.014(2)	-0.008(2)
C9	0.036(2)	0.036(2)	0.024(2)	0.005(2)	0.0197(14)	0.006(2)
C10	0.035(2)	0.055(3)	0.033(2)	-0.006(2)	0.0174(15)	-0.002(2)
C11	0.033(2)	0.038(2)	0.0221(15)	-0.004(2)	0.0176(14)	-0.0045(15)
C12	0.052(2)	0.044(3)	0.040(2)	-0.008(2)	0.031(2)	-0.010(2)
C13	0.051(2)	0.077(4)	0.057(3)	-0.032(3)	0.040(2)	-0.036(3)

Atom	U ₁₁	U ₂₂	U ₃₃	U ₂₃	U ₁₃	U ₁₂
C14	0.034(2)	0.084(4)	0.049(2)	-0.028(3)	0.020(2)	-0.008(2)
C15	0.036(2)	0.064(3)	0.041(2)	-0.003(2)	0.017(2)	0.008(2)
C16	0.037(2)	0.050(3)	0.033(2)	0.001(2)	0.0214(15)	0.002(2)
C17	0.039(2)	0.042(2)	0.032(2)	0.003(2)	0.025(2)	0.008(2)
C18	0.053(2)	0.098(4)	0.031(2)	-0.007(3)	0.021(2)	0.027(3)
C19	0.034(2)	0.038(2)	0.030(2)	-0.0006(2)	0.0221(15)	-0.0004(15)
C20	0.056(2)	0.052(3)	0.052(2)	0.001(2)	0.036(2)	-0.008(2)
C21	0.037(2)	0.082(4)	0.062(3)	-0.008(3)	0.022(2)	-0.023(2)
C22	0.032(2)	0.059(3)	0.045(2)	0.002(2)	0.011(2)	-0.004(2)
C23	0.041(2)	0.055(3)	0.048(2)	0.012(2)	0.017(2)	0.003(2)
C24	0.029(2)	0.058(3)	0.043(2)	0.005(2)	0.017(2)	-0.004(2)
N1	0.0305(13)	0.038(2)	0.0268(13)	0.0005(13)	0.0179(11)	0.0035(12)
N2	0.0312(13)	0.032(2)	0.0223(12)	-0.0056(13)	0.0169(11)	-0.0064(12)
N3	0.040(2)	0.036(2)	0.0319(15)	0.0043(14)	0.0274(14)	0.0022(13)
N4	0.0374(15)	0.029(2)	0.037(2)	0.0000(14)	0.0268(14)	-0.0001(13)
P1	0.0320(4)	0.0342(6)	0.0289(4)	0.0024(4)	0.0202(4)	0.0003(4)
P2	0.0337(4)	0.0276(5)	0.0266(4)	-0.0002(4)	0.0200(4)	-0.0014(4)

5.2.22 Kristallstruktur von cis-[(Me₂NCH₂CH₂NH)₂(PNtBu)₂] (9)

Summenformel $C_{16}H_{40}N_6P_2$ Molare Masse [g·mol⁻¹] 378.48 Raumgruppe P1 (No. 2) Gitterkonstanten a, b, c [pm] 748.59(8), 1131.63(12), 1513.9(2) 83.818(9), 75.687(9), 70.696(8) α, β, γ [°] Volumen[10⁶ pm³] 1172.4(2) Ζ 2 Röntgenographische Dichte [g·cm⁻³] 1.072 Messgerät STOE IPDS 2T Strahlungsquelle Mo- K_{α} (λ = 71.073 pm) Messtemperatur [K] 200(2) Absorptionskorrektur Integration Absorptionskoeffizient [mm⁻¹] 0.200 Gemessene Reflexe 8420 $4109 [R_{int} = 0.0628]$ Unabhängige Reflexe Beobachtete Reflexe [I>2σ(I)] 2791 Daten/Parameter 4109/225 GooF 1.035 R1; wR2 0.0659; 0.1793

Atom	Χ	Υ	Z	$U_{\text{eq/iso}}$
C1	-0.1513(8)	0.7935(4)	0.4182(3)	0.0801(14)
C2	-0.3673(8)	0.8220(8)	0.4189(4)	0.129(3)
C3	-0.0910(11)	0.6785(6)	0.4786(4)	0.119(2)
C4	-0.1213(14)	0.9062(7)	0.4507(5)	0.153(3)
C5	0.0611(8)	0.7061(4)	0.0821(3)	0.0804(14)
C6	-0.1264(12)	0.6779(7)	0.0818(4)	0.126(3)
C7	0.2348(12)	0.5936(7)	0.0486(5)	0.157(3)
C8	0.0650(10)	0.8218(6)	0.0221(4)	0.118(2)
C9A	0.4082(9)	0.5891(6)	0.2993(6)	0.050(2)

Atom	Х	Υ	Z	U _{eq/iso}
C9B	0.4361(10)	0.5781(7)	0.2488(6)	0.041(2)
C10A	0.5465(10)	0.4943(7)	0.3454(5)	0.061(2)
C10B	0.6042(13)	0.4606(9)	0.2424(6)	0.058(3)
C11A	0.7237(12)	0.3552(9)	0.2212(6)	0.083(3)
C11B	0.735(2)	0.2509(12)	0.3003(10)	0.082(4)
C12A	0.7113(13)	0.2775(10)	0.3735(7)	0.093(3)
C12B	0.602(2)	0.4183(15)	0.3997(10)	0.097(4)
C13A	0.2971(9)	0.9106(6)	0.2007(6)	0.049(2)
C13B	0.2624(10)	0.9226(7)	0.2508(6)	0.041(2)
C14A	0.3832(10)	1.0069(7)	0.1549(5)	0.060(2)
C14B	0.3075(13)	1.0391(9)	0.2577(6)	0.060(3)
C15A	0.3596(14)	1.2247(10)	0.1282(8)	0.093(3)
C15B	0.420(2)	1.0805(14)	0.1000(10)	0.092(4)
C16A	0.2986(13)	1.1445(10)	0.2785(6)	0.087(3)
C16B	0.284(2)	1.2498(13)	0.2020(10)	0.088(4)
N1	-0.0311(4)	0.7691(3)	0.3241(2)	0.0494(7)
N2	0.0624(4)	0.7310(3)	0.1759(2)	0.0496(7)
N3	0.2515(5)	0.5459(3)	0.2819(3)	0.0776(13)
N4	0.0788(5)	0.9536(3)	0.2184(3)	0.0760(13)
N5	0.5975(4)	0.3691(3)	0.3148(2)	0.0523(7)
N6	0.2817(4)	1.1309(3)	0.1852(2)	0.0522(7)
P1	0.03257(11)	0.63055(8)	0.26852(7)	0.0448(3)
P2	-0.0683(11)	0.86947(8)	0.23152(7)	0.0445(3)

Atom	U ₁₁	U ₂₂	U ₃₃	U ₂₃	U ₁₃	U ₁₂
C1	0.127(4)	0.047(3)	0.059(3)	-0.004(2)	-0.034(3)	-0.008(2)
C2	0.098(4)	0.154(7)	0.077(4)	0.016(4)	0.022(3)	0.002(4)
C3	0.203(7)	0.074(4)	0.067(4)	0.011(3)	-0.043(4)	-0.020(4)
C4	0.297(10)	0.085(5)	0.090(5)	-0.027(4)	-0.043(5)	-0.070(6)
C5	0.117(4)	0.045(2)	0.059(3)	-0.002(2)	0.010(2)	-0.019(2)
C6	0.209(7)	0.141(6)	0.078(4)	0.012(4)	-0.065(4)	-0.103(6)
C7	0.214(8)	0.084(5)	0.094(5)	-0.027(4)	0.013(5)	0.030(5)
C8	0.183(6)	0.070(4)	0.069(4)	0.009(3)	0.006(4)	-0.029(4)
N1	0.055(2)	0.0328(15)	0.064(2)	0.0006(14)	-0.0277(14)	-0.0087(12)
N2	0.0464(14)	0.035(2)	0.061(2)	0.0015(14)	-0.0023(13)	-0.0129(12)
N3	0.052(2)	0.025(2)	0.159(4)	0.014(2)	-0.037(2)	-0.0129(14)
N4	0.054(2)	0.028(2)	0.152(4)	0.013(2)	-0.044(2)	-0.0127(14)
N5	0.0479(15)	0.037(2)	0.068(2)	0.0063(14)	-0.0188(14)	-0.0075(12)
N6	0.055(2)	0.036(2)	0.069(2)	0.0059(14)	-0.0178(14)	-0.0194(13)
P1	0.0398(4)	0.0312(5)	0.0663(6)	0.0015(4)	-0.0159(4)	-0.0132(3)
P2	0.0358(4)	0.0313(5)	0.0654(6)	0.0010(4)	-0.0156(4)	-0.0072(3)

5.2.23 Kristallstruktur von cis-[(2,6-iPrC₆H₃NH)₂(PNtBu)₂] (10)

 $C_{32}H_{54}N_4P_2$ Summenformel Molare Masse [g·mol⁻¹] 556.73 Raumgruppe P 21/c (No. 14) Gitterkonstanten 1052.03(9), 2894.3(2), 1120.44(9) a, b, c [pm] 92.518(7) β [°] Volumen[10⁶ pm³] 3408.4(5) Ζ 4 Röntgenographische Dichte [g·cm⁻³] 1.085 STOE IPDS 2T Messgerät Strahlungsquelle Mo-K_α (λ = 71.073 pm) Messtemperatur [K] 200(2) Absorptionskorrektur Integration Absorptionskoeffizient [mm⁻¹] 0.153 Gemessene Reflexe 15066 $5659 [R_{int} = 0.0493]$ Unabhängige Reflexe Beobachtete Reflexe [I>2σ(I)] 3843 Daten/Parameter 5659/355 GooF 0.990 R1; wR2 0.0484; 0.1158

Atom	Χ	Υ	Z	$U_{\text{eq/iso}}$
C1	0.1329(2)	0.04953(8)	0.2092(2)	0.0400(6)
C2A	0.1654(8)	0.0003(3)	0.2017(7)	0.056(2)
C2B	0.1636(7)	-0.0011(2)	0.1661(7)	0.046(2)
C3A	0.1294(7)	0.0499(3)	0.3431(6)	0.047(2)
C3B	0.1095(8)	0.0634(3)	0.3400(7)	0.055(2)
C4A	0.0139(6)	0.0589(2)	0.1283(6)	0.039(2)
C4B	0.0057(6)	0.0673(2)	0.1582(6)	0.047(2)
C5	0.5365(2)	0.10168(8)	0.0183(2)	0.0373(6)

Atom	Х	Υ	Z	U _{eq/iso}
C6A	0.6488(5)	0.1127(2)	0.1061(4)	0.0377(11)
C6B	0.6446(5)	0.0863(2)	0.1050(5)	0.0490(14)
C7A	0.5557(6)	0.0570(2)	-0.0462(6)	0.053(2)
C7B	0.5341(7)	0.0668(2)	-0.0850(6)	0.059(2)
C8A	0.5340(5)	0.1422(2)	-0.0757(5)	0.0328(11)
C8B	0.5479(8)	0.1487(3)	-0.0218(8)	0.077(2)
C9	0.5044(2)	0.14752(9)	0.3631(2)	0.0358(6)
C10	0.5872(2)	0.12205(9)	0.4399(2)	0.0429(6)
C11	0.7020(3)	0.14339(11)	0.4779(3)	0.0557(7)
C12	0.7323(3)	0.18746(11)	0.4458(3)	0.0601(8)
C13	0.6473(2)	0.21228(11)	0.3743(3)	0.0528(7)
C14	0.5329(2)	0.19314(9)	0.3307(2)	0.0395(6)
C15	0.5583(3)	0.07445(10)	0.4861(2)	0.0489(7)
C16	0.6504(3)	0.03808(11)	0.4417(3)	0.0657(8)
C17	0.5582(3)	0.07386(12)	0.6225(2)	0.0673(9)
C18	0.4404(2)	0.22223(9)	0.2556(2)	0.0450(6)
C19	0.3387(3)	0.24203(10)	0.3346(3)	0.0589(8)
C20	0.5017(3)	0.26067(10)	0.1850(3)	0.0651(8)
C21	0.1008(2)	0.15127(8)	-0.0872(2)	0.0339(5)
C22	0.0841(2)	0.13485(9)	-0.2050(2)	0.0374(6)
C23	-0.0330(2)	0.14237(10)	-0.2640(2)	0.0467(7)
C24	-0.1293(2)	0.16606(10)	-0.2123(3)	0.0533(7)
C25	-0.1100(2)	0.18299(9)	-0.0985(2)	0.0460(6)
C26	0.0032(2)	0.17591(8)	-0.0333(2)	0.0370(6)
C27	0.1893(2)	0.11145(9)	-0.2720(2)	0.0399(6)
C28	0.1594(3)	0.06131(10)	-0.2994(3)	0.0607(8)
C29	0.2179(3)	0.13783(10)	-0.3859(2)	0.0524(7)
C30	0.0236(2)	0.19684(9)	0.0902(2)	0.0441(6)
C31	0.0846(3)	0.24438(10)	0.0817(3)	0.0593(8)
C32	-0.0973(3)	0.20112(12)	0.1608(3)	0.0650(9)
N1	0.2344(2)	0.08121(7)	0.1694(2)	0.0346(5)
N2	0.4155(2)	0.10025(8)	0.0811(2)	0.0411(5)
N3	0.3891(2)	0.12647(8)	0.3165(2)	0.0349(5)
N4	0.2180(2)	0.14271(8)	-0.0211(2)	0.0357(5)
P1	0.39073(5)	0.07987(2)	0.22302(5)	0.0347(2)
P2	0.26684(5)	0.08907(2)	0.01938(5)	0.0352(2)

Atom	U ₁₁	U ₂₂	U ₃₃	U ₂₃	U ₁₃	U ₁₂
C9	0.0259(12)	0.0494(15)	0.0317(12)	-0.0089(11)	-0.0028(10)	-0.0002(10)
C10	0.0343(13)	0.058(2)	0.0345(13)	-0.0056(12)	-0.0085(11)	0.0037(12)
C11	0.0362(15)	0.075(2)	0.053(2)	-0.0093(15)	-0.0177(13)	0.0049(14)
C12	0.0361(15)	0.072(2)	0.070(2)	-0.015(2)	-0.0151(14)	-0.0109(15)
C13	0.042(2)	0.059(2)	0.056(2)	-0.0105(14)	0.0014(14)	-0.0122(13)
C14	0.0326(13)	0.049(2)	0.0365(13)	-0.0086(12)	0.0011(10)	-0.0027(11)
C15	0.0420(14)	0.061(2)	0.0421(14)	0.0005(13)	-0.0155(12)	0.0045(13)
C16	0.068(2)	0.067(2)	0.060(2)	0.002(2)	-0.009(2)	0.014(2)
C17	0.063(2)	0.091(2)	0.046(2)	0.006(2)	-0.0137(14)	0.005(2)
C18	0.0470(15)	0.0444(15)	0.0432(14)	-0.0066(12)	-0.0033(12)	-0.0030(12)
C19	0.054(2)	0.056(2)	0.065(2)	-0.0028(15)	-0.0022(15)	0.0094(14)
C20	0.079(2)	0.057(2)	0.058(2)	0.0022(15)	0.002(2)	-0.0075(16)
C21	0.0247(11)	0.0407(14)	0.0359(13)	0.0039(11)	-0.0032(10)	-0.0018(10)
C22	0.0304(12)	0.0479(15)	0.0334(13)	0.0021(11)	-0.0023(10)	-0.0024(11)
C23	0.0333(14)	0.067(2)	0.0380(14)	-0.0013(13)	-0.0108(11)	-0.0014(13)
C24	0.0287(13)	0.076(2)	0.054(2)	0.0078(15)	-0.0115(12)	0.0047(13)
C25	0.0285(13)	0.057(2)	0.052(2)	0.0019(13)	0.0016(11)	0.0071(12)
C26	0.0291(12)	0.0429(15)	0.0389(13)	0.0046(11)	0.0015(10)	-0.0004(10)
C27	0.0355(13)	0.050(2)	0.0333(13)	-0.0030(11)	-0.0035(10)	0.0038(11)
C28	0.062(2)	0.059(2)	0.060(2)	-0.0061(15)	0.0033(15)	0.0026(15)
C29	0.050(2)	0.064(2)	0.0430(15)	-0.0022(14)	0.0068(13)	0.0027(14)
C30	0.0360(14)	0.052(2)	0.0441(14)	-0.0041(12)	0.0025(11)	0.0039(12)
C31	0.050(2)	0.061(2)	0.066(2)	-0.0129(15)	0.0029(14)	-0.0013(14)
C32	0.053(2)	0.081(2)	0.061(2)	-0.014(2)	0.0179(15)	0.0002(2)
N1	0.0241(9)	0.0454(12)	0.0336(10)	0.0019(9)	-0.0068(8)	-0.0010(8)
N2	0.0222(10)	0.0690(15)	0.0317(11)	-0.0012(10)	-0.0023(8)	0.0064(9)
N3	0.0251(10)	0.0439(13)	0.0349(11)	-0.0017(9)	-0.0086(8)	0.0021(10)
N4	0.0264(10)	0.0448(13)	0.0350(11)	-0.0045(11)	-0.0084(9)	0.0005(9)
P1	0.0254(3)	0.0458(4)	0.0322(3)	-0.0012(3)	-0.0069(2)	0.0022(3)
P2	0.0263(3)	0.0480(4)	0.0309(3)	-0.0030(3)	-0.0061(2)	0.0040(3)

5.2.24 Kristallstruktur von HN(R-*CHMePh)(P(=O)Ph₂) (11a)

Summenformel	$C_{20}H_{20}NOP$		
Molare Masse [g·mol ⁻¹]	321.34		
Raumgruppe	P4 ₁ (No. 76)		
Gitterkonstanten a, b, c [pm]	1145.25(16), 1145.2(2), 1333.5(3)		
Volumen[10 ⁶ pm ³]	1749.0(5)		
z	4		
Röntgenographische Dichte [g·cm ⁻³]	1.235		
Messgerät	Bruker Kappa CCD		
Strahlungsquelle	Mo- $K_α$ ($λ = 71.073 \text{ pm}$)		
Messtemperatur [K]	210(2)		
Absorptionskorrektur	keine		
Absorptionskoeffizient [mm ⁻¹]	0.161		
Gemessene Reflexe	16970		
Unabhängige Reflexe	4205 [R _{int} = 0.0276]		
Beobachtete Reflexe [I>2σ(I)]	3849		
Daten/Parameter	4205/205		
Flack	0.01(6)		
GooF	1.009		
R1; wR2	0.0291; 0.0754		

Atom	Χ	Υ	Z	$U_{\text{eq/iso}}$
N	0.29466(10)	0.64092(11)	0.78489(9)	0.0389(2)
0	0.26769(10)	0.49904(8)	0.94054(8)	0.0479(2)
Р	0.27392(3)	0.62177(2)	0.90504(2)	0.03193(8)
C1	0.22517(12)	0.57667(12)	0.71094(10)	0.0422(3)
C2	0.3003(2)	0.48740(15)	0.65570(15)	0.0592(4)
C3	0.16425(12)	0.65716(13)	0.63680(10)	0.0413(3)
C4	0.05328(14)	0.6284(2)	0.60178(15)	0.0600(4)
C5	-0.0032(2)	0.6971(2)	0.5318(2)	0.0748(6)

Atom	Χ	Υ	Z	U _{eq/iso}
C6	0.0494(2)	0.7968(2)	0.49680(14)	0.0746(6)
C7	0.1593(2)	0.8271(2)	0.53059(13)	0.0625(4)
C8	0.21758(14)	0.75698(15)	0.59931(11)	0.0498(3)
C9	0.13871(11)	0.69524(11)	0.93688(11)	0.0378(3)
C10	0.09474(13)	0.78634(14)	0.87989(13)	0.0501(3)
C11	-0.00904(15)	0.8416(2)	0.9086(2)	0.0713(6)
C12	-0.06660(15)	0.8066(2)	0.9934(2)	0.0790(7)
C13	-0.0240(2)	0.7158(2)	1.0495(2)	0.0770(7)
C14	0.07863(14)	0.65915(15)	1.02254(13)	0.0521(4)
C15	0.39206(11)	0.70345(11)	0.96143(9)	0.0345(2)
C16	0.50653(12)	0.66755(13)	0.94379(11)	0.0432(3)
C17	0.59841(14)	0.7244(2)	0.98983(13)	0.0538(4)
C18	0.57785(15)	0.8162(2)	1.05442(13)	0.0598(4)
C19	0.4651(2)	0.8525(2)	1.0725(2)	0.0644(5)
C20	0.37232(13)	0.79636(14)	1.02574(13)	0.0504(3)

Atom	U ₁₁	U ₂₂	U ₃₃	U ₂₃	U ₁₃	U ₁₂
N	0.0349(5)	0.0480(6)	0.0338(5)	-0.0011(4)	0.0014(4)	-0.0093(4)
0	0.0605(6)	0.0336(4)	0.0497(6)	0.0058(4)	-0.0034(5)	0.0011(4)
Р	0.03373(15)	0.02961(15)	0.03245(13)	0.00156(12)	0.00123(12)	0.00134(12)
C1	0.0425(7)	0.0448(7)	0.0394(7)	-0.0049(6)	0.0013(5)	-0.0105(6)
C2	0.0679(10)	0.0498(8)	0.0601(9)	-0.0136(8)	-0.0059(9)	0.0065(7)
C3	0.0374(6)	0.0527(7)	0.0339(6)	-0.0122(5)	0.0010(5)	0.0003(5)
C4	0.0400(8)	0.0752(11)	0.0646(10)	-0.0120(9)	-0.0049(7)	-0.0018(7)
C5	0.0472(9)	0.099(2)	0.0775(13)	-0.0112(12)	-0.0177(9)	0.0106(10)
C6	0.0686(12)	0.107(2)	0.0476(9)	-0.0065(10)	-0.0113(8)	0.0352(12)
C7	0.0757(12)	0.0691(11)	0.0428(8)	0.0043(8)	0.0026(8)	0.0089(9)
C8	0.0504(8)	0.0628(9)	0.0361(7)	-0.0023(7)	-0.0023(6)	-0.0029(7)
C9	0.0324(6)	0.0380(6)	0.0430(6)	-0.0057(5)	0.0025(5)	-0.0044(5)
C10	0.0440(7)	0.0450(7)	0.0612(9)	-0.0025(6)	-0.0026(6)	0.0083(6)
C11	0.0465(9)	0.0610(10)	0.106(2)	-0.0252(11)	-0.0173(11)	0.0180(7)
C12	0.0336(8)	0.0835(14)	0.119(2)	-0.0527(13)	0.0089(10)	-0.0006(8)
C13	0.0518(9)	0.0900(15)	0.0890(15)	-0.0374(12)	0.0339(10)	-0.0237(10)
C14	0.0460(7)	0.0578(9)	0.0525(8)	-0.0100(7)	0.0136(6)	-0.0131(7)
C15	0.0362(6)	0.0369(6)	0.0305(6)	0.0025(5)	-0.0012(5)	0.0007(5)
C16	0.0411(7)	0.0474(7)	0.0411(7)	-0.0006(6)	-0.0013(6)	0.0055(6)
C17	0.0373(7)	0.0716(10)	0.0524(9)	0.0028(7)	-0.0079(6)	0.0033(7)
C18	0.0509(8)	0.0761(11)	0.0524(9)	-0.0048(8)	-0.0150(7)	-0.0113(7)
C19	0.0591(9)	0.0696(11)	0.0644(11)	-0.0293(9)	-0.0056(8)	-0.0061(8)
C20	0.0429(7)	0.0529(8)	0.0555(9)	-0.0148(7)	0.0009(6)	0.0013(6)

5.2.25 Kristallstruktur von HN(S-*CHMePh)(P(=O)Ph₂) (11b)

CCDC-Nummer	265442	
Summenformel	C ₂₀ H ₂₀ NOP	
Molare Masse [g·mol ⁻¹]	321.34	
Raumgruppe	P4 ₃ (No. 78)	
Gitterkonstanten a, b, c [pm]	1140.9(2), 1140.9(4), 1679.77(8)	
Volumen[10 ⁶ pm ³]	1728.6(6)	
z	2	
Röntgenographische Dichte [g·cm ⁻³]	1.235	
Messgerät	Bruker Kappa CCD	
Strahlungsquelle	Mo-K _α (λ = 71.073 pm)	
Messtemperatur [K]	173	
Absorptionskorrektur	empirisch	
Absorptionskoeffizient [mm ⁻¹]	0.617	
Gemessene Reflexe	21279	
Unabhängige Reflexe	5226 [R _{int} = 0.0151]	
Beobachtete Reflexe [I>2σ(I)]	5069	
Daten/Parameter	5226/213	
Flack	0.05(4)	
GooF	1.073	
R1; wR2	0.0263; 0.0742	

5.2.26 Kristallstruktur von [$(\eta^5$ -Cp)₂Zr(Cl) $\{\eta^2$ -N(R-*CHMePh)(PPh₂)}] (13a)

CCDC-Nummer	265443	
Summenformel	C ₃₀ H ₂₉ CINOPZr	
Molare Masse [g·mol ⁻¹]	516.18	
Raumgruppe	P2 ₁ / (No. 4)	
Gitterkonstanten a, b, c [pm]	869.73(6), 1084.36(6), 1359.09(6)	
β [°]	94.583(4)	
Volumen[10 ⁶ pm ³]	1277.65(13)	
z	2	
Röntgenographische Dichte [g⋅cm ⁻³]	1.459	
Messgerät	Bruker Kappa CCD	
Strahlungsquelle	Mo-K _α (λ = 71.073 pm)	
Messtemperatur [K]	173	
Absorptionskorrektur	empirisch	
Absorptionskoeffizient [mm ⁻¹]	0.617	
Gemessene Reflexe	9926	
Unabhängige Reflexe	5472 [R _{int} = 0.0263]	
Beobachtete Reflexe [I>2σ(I)]	5319	
Daten/Parameter	9472/308	
Flack	-0.03(2)	
GooF	1.047	
R1; wR2	0.0205; 0.0526	

5.2.27 Kristallstruktur von [$(\eta^5$ -Cp)₂Zr(Cl) $\{\eta^2$ -N(S-*CHMePh)(PPh₂)}] (13b)

CCDC-Nummer		265444	
Summenformel		$C_{30}H_{29}CINOPZr$	
Molare Masse [g·mol	l ⁻¹]	516.18	
Raumgruppe		P2 ₁ / (No. 4)	
Gitterkonstanten a	a, b, c [pm]	871.2(2), 1083.3(2), 1359.3(3)	
ļ ļ	β [°]	94.471(4)	
Volumen[10 ⁶ pm ³]		1279.0(4)	
Z		2	
Röntgenographische	Dichte [g·cm ⁻³]	1.457	
Messgerät		Bruker Kappa CCD	
Strahlungsquelle		Mo- $K_α$ ($λ = 71.073 \text{ pm}$)	
Messtemperatur [K]		173	
Absorptionskorrektur	-	empirisch	
Absorptionskoeffizier	nt [mm ⁻¹]	0.616	
Gemessene Reflexe		15936	
Unabhängige Reflexe	е	7689 [R _{int} = 0.0188]	
Beobachtete Reflexe	e [I>2σ(I)]	7480	
Daten/Parameter		7689/308	
Flack		0.004(15)	
GooF		1.039	
R1; wR2		0.0167; 0.0443	

5.2.28 Kristallstruktur von [(PhCH $_2$) $_3$ Zr{ η^2 -N(S-*CHMePh)(PPh $_2$)}] (14)

CCDC-Nummer	265445	
Summenformel	C ₄₁ H ₄₀ NPZr	
Molare Masse [g·mol ⁻¹]	668.93	
Raumgruppe	P2 ₁ (No. 4)	
Gitterkonstanten a, b, c [pm]	879.8(2), 997.5(3), 1911.0(5)	
β [°]	95.067(6)	
Volumen[10 ⁶ pm ³]	1670.7(7)	
Z	2	
Röntgenographische Dichte [g·cm ⁻³]	1.330	
Messgerät	Bruker Kappa CCD	
Strahlungsquelle	Mo-K _α (λ = 71.073 pm)	
Messtemperatur [K]	173(2)	
Absorptionskorrektur	empirisch	
Absorptionskoeffizient [mm ⁻¹]	0.407	
Gemessene Reflexe	20675	
Unabhängige Reflexe	10067 [R _{int} = 0.0328]	
Beobachtete Reflexe [I>2σ(I)]	7951	
Daten/Parameter	10067/398	
Flack	-0.02(3)	
GooF	1.053	
R1; wR2	0.0400; 0.0767	

6 Zusammenfassung/Summary

6.1 Zusammenfassung

Der aktuelle Trend im Bereich der Komplexchemie der d- und f-Elemente geht in Richtung der Substitution von Cyclopentadienylderivaten durch alternative Liganden. In der vorliegenden Arbeit wurde ein solcher Ansatz anhand der Bis(phosphinimino)methanid {(Me₃SiNPPh₂)₂CH}⁻, P-N-Ligandensysteme $\{(tBuN)_2(PNtBu)_2\}^{2-}$ Bis(*t*-butylamido)cyclodiphosph(III)azanid Diphenyl(phenylethyl)phosphanamid $\{N(R, S-*CHMePh)(PPh_2)\}^{-}$ realisiert. In der ersten Phase dieser Arbeit wurden neuartige Bis(phosphinimino)methanid-Seltenerdmetallamidokomplexe synthetisiert. literaturbekannten Ausgangsverbindungen [Ln{N(SiHMe₂)₂}₃(THF)₂] Die (Ln = Y (1a), La (1b), Sm (1c), Lu (1e)) sowie die neue Verbindung [Ho{N(SiHMe₂)₂}₃(THF)₂] (**1d**) konnten in einer optimierten Synthese durch direkte Umsetzung von LnCl₃ mit KN(SiHMe₂)₂ gewonnen werden. Im Vergleich zur zweistufigen Originalvorschrift von Anwander et al. gelingt dies mit sehr guten Ausbeuten in einer Eintopfreaktion.

$$LnCl_3 + 3 KN(SiHMe_2)_2 \xrightarrow{THF} [Ln\{N(SiHMe_2)_2\}(THF)_2]$$

$$Ln = Y (1a), La (1b), Sm (1c), Ho (1d), Lu (1e)$$

Die Zielverbindungen [{(Me₃SiNPPh₂)₂CH}Ln{N(SiHMe₂)₂}₂] (Ln = Y (**2a**), La (**2b**), Sm (**2c**), Ho (**2d**), Lu (**2e**)) konnten auf drei unterschiedlichen Syntheserouten hergestellt werden. Über eine Amineliminierungsreaktion durch Umsetzung der Seltenerdamide **1a-e** mit (Me₃SiNPPh₂)₂CH₂ konnten die höchsten Ausbeuten und die saubersten Produkte erhalten werden. Ebenso sind als alternative Reaktionswege Salzmetathesen entweder ausgehend von [{(Me₃SiNPPh₂)₂CH}LnCl₂]₂ (Ln = Y, Sm) und KN(SiHMe₂)₂ oder LaCl₃, KN(SiHMe₂)₂ und [{(Me₃SiNPPh₂)₂CH}K] möglich, jedoch in geringeren Ausbeuten, da die Produkte durch Umkristallisation aufgereinigt werden müssen.

Die Bis(phosphinimino)methanid-Seltenerdmetallkomplexe **2a-e** wurden in Zusammenarbeit mit Agustino Zulys in unserer Arbeitsgruppe auf ihre Wirksamkeit als Hydroaminierungs- und Hydrosilylierungskatalysatoren untersucht. Die Auswertung der Daten ergab eine Abhängigkeit der Zyklisierungsgeschwindigkeit vom Ionenradius. So verläuft die Hydroaminierung/Zyklisierung von 1-(2-Propenyl)-cyclohexanmethanamin in Abhängigkeit von der Größe des Zentralmetalls mit dem Katalysator La **(2b)**, dem Komplex mit dem größten Seltenerd-Zentralmetall, ca. 13-mal schneller als mit dem kleinsten Seltenerdmetall Lu **(2e)**.

Die gleiche Abhängigkeit wurde für die Umsetzung der Substrate 1-Hexen und PhSiH₃ mittels der Katalysatoren **2a-e** beobachtet. Die Hydrosilylierung verläuft mit Katalysator **2b** bei Raumtemperatur mehr als doppelt so schnell wie mit dem Katalysator **2e** bei 100°C.

Mit den diamagnetischen Katalysatoren 2a und 2b wurden zum ersten Mal Seltenerdamide für eine sequentielle Hydroaminierungs-/Silylierungsreaktion verwendet. Bei dieser Reaktion wird in einem ersten Schritt eine intramolekulare Hydroaminierung mit einem ungesättigten Aminoalkin

durchgeführt, und anschließend Phenylsilan an die entstandene Doppelbindung addiert.

Im zweiten Abschnitt der Arbeit wurde das Koordinationsverhalten von Bis(amido)cyclodiphosph(III)azanen in der Seltenerd-Komplexchemie untersucht. Die Umsetzung der kleineren Seltenerdmetalle $LnCl_3$ (Ln = Y ($\bf 3a$), Ho ($\bf 3b$), Er ($\bf 3c$)) mit dem Lithiumsalz von $\it cis$ -[($\it tBuNH$)₂(PN $\it tBu$)₂] führte zu den anionischen " $\it at$ "-Komplexen $\bf 3a$ - $\bf 3c$.

$$LnCl_{3} + cis-[(tBuNLi\cdot THF)_{2}(PNtBu)_{2}] \xrightarrow{1. THF, \Delta \\ 2. Toluol \\ -LiCl} tBu \xrightarrow{N} tBu \xrightarrow{N} tBu$$

$$Ln = Y (3a), Ho (3b), Er (3c)$$

Im Falle des größeren SmCl₃ konnte Komplex **4** erhalten werden. Beide Verbindungsklassen wurden dabei aus THF/*n*-Pentan kristallisiert.

Die Synthese lithiumchloridfreier Bis(*t*-butylamido)cyclodiphosph(III)azan-Verbindungen gelang durch analoge Reaktionsführung, jedoch durch anschließende Extraktion und Kristallisation aus siedendem Toluol.

LnCl₃ +
$$cis$$
-[$(tBuNLi \cdot THF)_2(PNtBu)_2$]

Ln = Y (6a), La (6b), Sm (6c)

1. THF, Δ
2. Toluol, Δ
- 2 LiCl

P
P
P

In der dritten Phase der Arbeit sollten Aluminiumalkylbis(t-butylamido)cyclodiphosph(III)azan-Komplexe über eine Methaneliminierung ausgehend von freien Liganden und $AlMe_2X$ (X = Me (7a), CI (7b), Br (7c)) hergestellt werden. Überraschenderweise wurde anstatt des erwarteten Produktes cis-[{(tBuN)₂(PNtBu)₂}AIX] das Lewis-Säure/Base-Paar cis-[(tBuNH)₂(PNtBu)(P(·AIMe₂X)NtBu)] (X = Me (**7a**), Cl (**7b**), Br (**7c**)) in guten Ausbeuten erhalten.

Dies sind die ersten Beispiele für eine Koordination eines Aluminiumalkyles an ein Phosphoratom mit α -ständiger NH-Funktion. Die Umsetzung von einem Äquivalent cis-[$(tBuNH)_2(PNtBu)_2$] mit einem Äquivalent AlXCl₂ (X = Me (7d), Cl (7e)) in Toluol lieferte hingegen das Lewis-Säure/Base-Paar cis-[$(tBuNH)(PNtBu)(tBuN·AlXCl_2)(P(H)NtBu)$] (X = Me (7d), Cl (7e)) in guten Ausbeuten.

$$tBu$$
 NH
 HN
 P
 P
 $AIXCI_2$
 $Toluol$
 P
 tBu
 NH
 tBu
 tBu

Diese 1,2-H-Umlagerung und Koordination der Aluminiumverbindungen an das Imino-Stickstoffatom wurde schon früher beobachtet. Eine mögliche Erklärung basiert auf der größeren Lewis-Acidität von AlMeCl₂ und AlCl₃ im Vergleich zu den Aluminiumalkylen AlMe₃, AlMe₂Cl und AlMe₂Br. Die Bindung erfolgt an die im Vergleich zu Phosphor stärkere Lewis-Base Stickstoff. In der vierten Phase der Arbeit sollten auch Derivate des

Hauptaugenmerk lag dabei auf der Synthese sterisch anspruchsvollerer

Ligandsystemes

synthetisiert werden.

Bis(amido)cyclodiphosph(III)azan

Bis(amino)cyclodiphosph(III)azankomplexe. Die chiralen Verbindungen cis-[(PhMeHC(R)*NH)₂(PNtBu)₂] (**8a**) und cis-[(PhMeHC(S)*NH)₂(PNtBu)₂] (**8b**) konnten durch Umsetzung von cis-[Cl(PNtBu)]₂ mit zwei Äquivalenten α -Methylbenzylmethanamin hergestellt werden.

8a, 8b

Diese Verbindungen sind die ersten beiden Beispiele für chirale Bis(amino)cyclodiphosph(III)azane überhaupt.

Um die Koordinationsfähigkeit des Ligandsystems an den axialen Positionen zu erhöhen, wurde das Bis(chloro)cyclodiphosph(III)azan mit *N,N*-Dimethylethylendiamin unter analogen Bedingungen wie für die eben beschriebenen chiralen Phosphazane umgesetzt

9

In der letzten Phase der Arbeit sollte das Koordinationsverhalten eines chiralen Amines untersucht werden. Dazu wurde das chirale P-N-Ligandensystem HN(R,S-*CHMePh)(PPh₂) ausgewählt, welches in Form der Lithiumkomplexe LiN(R,S-*CHMePh)(PPh₂) für die Darstellung der eigentlichen Komplexe durch Metathesereaktionen mit Zirkonocendichlorid verwendet werden sollte.

Zur Bestimmung der absoluten Konfiguration der Liganden wurden die öligen, chiralen Phosphanylamine $HN(R-*CHMePh)(PPh_2)$ und $HN(S-*CHMePh)(PPh_2)$ mit H_2O_2 an der Luft zu $HN(R-*CHMePh)(P(=O)Ph_2)$ **11a** und $HN(S-*CHMePh)(P(=O)Ph_2)$ **11b** oxidiert.

Die neuen Lithiumverbindungen LiN(R-*CHMePh)(PPh₂) (**12a**) und LiN(S-*CHMePh)(PPh₂) (**12b**) erhält man durch Umsetzung der Neutralliganden mit einem Äquivalent n-Butyllithium.

Die Reaktion von einem äquimolaren Verhältnis **12a** oder **12b** mit Zirkonocendichlorid liefert die enantiomerenreinen Komplexe $[(\eta^5-C_5H_5)_2Zr(CI)\{\eta^2-N(R-*CHMePh)(PPh_2)\}]$ (**13a**) und $[(\eta^5-C_5H_5)_2Zr(CI)-\{\eta^2-N(S-*CHMePh)(PPh_2)\}]$ (**13b**).

Chirale Zirkoniumkomplexe konnten ebenfalls durch direkte Umsetzung des neutralen Liganden mit (PhCH₂)₄Zr hergestellt werden (Verbindung **14**). Die Ausbeute sowie die Reinheit des erhaltenen Komplexes sind im Vergleich zu der Route der Salzeliminierung jedoch wesentlich schlechter.

6.2 Summary

The current development in d and f transition metal complex chemistry is the formal substitution of Cp by alternative ligands. In the thesis at hand a basic approach is realized with the P,N ligand systems bis(phosphinimino)methanide $\{(Me_3SiNPPh_2)_2CH\}^-$, bis(t-butylamido)-

cyclodiphosph(III)azanide $\{(tBuN)_2(PNtBu)_2\}^{2-}$ and diphenyl(phenylethyl)-phosphinamide $\{N(R, S-*CHMePh)(PPh_2)\}^{-}$.

In the first phase of the thesis, the syntheses and structures of a series of new bis(phosphinimino)methanide rare earth complexes were described. The known starting materials $[Ln\{N(SiHMe_2)_2\}_3(THF)_2]$ (Ln = Y (1a), La (1b), Sm (1c), Lu (1e)) and the new compound $[Ho\{N(SiHMe_2)_2\}_3(THF)_2]$ (1d) could be obtained in a optimized synthesis by direct reaction from $LnCl_3$ and $KN(SiHMe_2)_2$. In comparisation of the two-step synthesis described by Anwander *et al.*, the compounds could be obtained in good yields in a one pot reaction.

$$LnCl_3 + 3 KN(SiHMe_2)_2 \xrightarrow{THF} [Ln\{N(SiHMe_2)_2\}(THF)_2]$$

$$Ln = Y (1a), La (1b), Sm (1c), Ho (1d), Lu (1e)$$

The target compounds [$\{(Me_3SiNPPh_2)_2CH\}Ln\{N(SiHMe_2)_2\}_2$] (Ln = Y (2a), La (2b), Sm (2c), Ho (2d), Lu (2e)) could be obtained by three different synthetic approaches. The first approach starts from 1a-e, which were reacted with $(Me_3SiNPPh_2)_2CH_2$ in boiling toluene to give 2a-e via an amine elimination.

This method gave the highest yield and pure products and thus was applied for the synthesis of all five complexes. Alternative approaches are salt metathesis reactions starting from [{(Me₃SiNPPh₂)₂CH}LnCl₂]₂ (Ln = Y, Sm) and KN(SiHMe₂)₂ or LaCl₃, KN(SiHMe₂)₂ and [{(Me₃SiNPPh₂)₂CH}K]. Unfortunately, the yields are lower compared to the first method and the products must be purified by recrystallization.

The target compounds [{(Me₃SiNPPh₂)₂CH}Ln{N(SiHMe₂)₂}₂] (Ln = Y (**2a**), La (**2b**), Sm (**2c**), Ho (**2d**), Lu (**2e**)) were tested for hydroamination- and hydrosilylation reactions in our working group. The reaction rate of these reactions depends from the ionic radii of the rare earth metal center. For example, the intramolecular hydroamination/cyclization reaction of 1-(2-propenyl)-cyclohexanmethanamine with the larged rare earth metal center La (**2b**) is about 13 times faster than with the complex with the smallest rare earth metal center Lu (**2e**).

The same behavior was observed for the reaction of 1-hexene and PhSiH₃ with the catalysts **2a-e**. The hydrosilylation with catalyst **2b** is at room temperature more than twice as fast than with catalyst **2e** at 100°C.

The catalysts **2a** and **2b** were also used for an sequential hydroamination/hydrosilylation reaction. This is the first time when rare earth amides were used for such a reaction type. The first step is a intramolecular hydroamination/cyclization reaction of an aminoalkine followed by addition of phenyl silane to the formed double bond.

In the second step of the thesis, the coordination behaviour of bis(amido)cyclodiphosph(III)azane ligands in rare earth chemistry was investigated. The reaction of the smaller rare earth compounds $LnCl_3$ (Ln = Y (3a), Ho (3b), Er (3c)) with the lithium salt of cis-[(tBuNH)₂(PNtBu)₂] led to the anionic "ate"-complexes 3a-3c.

$$LnCl_{3} + cis-[(tBuNLi\cdot THF)_{2}(PNtBu)_{2}] \xrightarrow{1. THF, \Delta \\ 2. Toluol \\ -LiCl} tBu \xrightarrow{N} tBu \xrightarrow{N} tBu$$

$$Ln = Y (3a), Ho (3b), Er (3c)$$

In the case of the reaction of the larger SmCl₃ with the lithium salt compound **4** could be isolated. Both types of coordination modes were crystallized from a mixture of THF/*n*-pentane.

The synthesis of the lithium free bis(*t*-butylamido)cyclodiphosph(III)azane-compounds were made in the same way, but extracted and crystallized from hot toluene.

LnCl₃ +
$$cis$$
-[$(tBuNLi\cdot THF)_2(PNtBu)_2$]

Ln = Y (**6a**), La (**6b**), Sm (**6c**)

$$\begin{array}{c}
1. \text{ THF, } \Delta \\
2. \text{ Toluol, } \Delta
\end{array}$$

$$\begin{array}{c}
tBu \\
N \\
P
\end{array}$$

$$\begin{array}{c}
tBu \\
N \\
P
\end{array}$$

$$\begin{array}{c}
tBu \\
N \\
P
\end{array}$$

In the third phase of aluminiumalkylthe work, bis(t-butylamido)cyclodiphosph(III)azane-compounds should be made via methane elimination starting from the neutral ligand and $AlMe_2X$ (X = Me (7a), CI (7b), Br (7c)). Surprisingly, instead of the expected product cis-[{(tBuN)₂(PNtBu)₂}AIX] the lewis acid/base pair cis-[{(tBuNH)₂(PNtBu)($P(\cdot AlMe_2X)NtBu$)] (X = Me (**7a**), Cl (**7b**), Br (**7c**)) could be obtained in good yields.

$$tBu$$
 NH
 HN
 P
 $N TOluol$
 $N TOlu$

This are the first examples of coordination of aluminium alkyles at a phosphorous atom with a NH-function in α -position. The reaction of cis-[(tBuNH)₂(PNtBu)₂] with one equivalent AlXCl₂ (X = Me (**7d**), Cl (**7e**)) in toluene formed the lewis acid/base pair cis-[(tBuNH)-(PNtBu)($tBuN·AlXCl_2$)(P(H)NtBu)] (X = Me (**7d**), Cl (**7e**)) in good yields.

$$tBu$$
 NH HN tBu NH tBu tBu NH tBu tB

$$X = Me (7d), Cl (7e)$$

The 1,2-H-shift and coordination of the aluminium compounds at the nitrogen atom was observed before. One explanation is the stronger lewis-acidity of AlMeCl₂ and AlCl₃ compared to the aluminium alkyles AlMe₃, AlMe₂Cl and AlMe₂Br. The compounds coordinate in comparization to the phosphorous atom to the stronger lewis base nitrogen.

ln the fourth phase of the thesis, more bulky bis(amino)cyclodiphosph(III)azane componds The should be made. chiral cis-[(PhMeHC(R)*NH)₂(PNtBu)₂] compounds (8a) and cis-[(PhMeHC(S)*NH)₂(PNtBu)₂] (8b) could be obtained via reaction of *cis*-[Cl(PN*t*Bu)]₂ with two equivalents α -methylbenzylmethane amine.

8a, 8b

Both compounds are the first examples of chiral bis(amino)cyclodiphosph(III)azane compounds at all.

To increase the coordination ability of the ligand system at the axial positions, bis(chloro)cyclodiphosph(III)azane was also reacted with N,N-dimethylethylenediamine under the same conditions described previous.

9

In the final phase of the dissertation, the coordination behaviour of an chiral amine should be investigated. Therefore the chiral P,N ligand system $HN(R,S-*CHMePh)(PPh_2)$ was chosen. The lithium salts $LiN(R,S-*CHMePh)(PPh_2)$ should be used for the synthesis of complexes with zirconocene dichloride.

To assure that the stereogenic centre is not affected by this procedure, the enantiomeres were oxidized with H_2O_2 in air to obtain $HN(R-*CHMePh)(P(=O)Ph_2)$ **11a** and $HN(S-*CHMePh)(P(=O)Ph_2)$ **11b**.

The new lithium compounds $LiN(R-*CHMePh)(PPh_2)$ (12a) and $LiN(S-*CHMePh)(PPh_2)$ (12b) were obtained by the reaction of the neutral ligands with one equivalent n-butyl lithium.

The reaction of 12a and **12b** with one equivalent zirconocene dichloride enantiomerically yielded the expected pure complexes $[(\eta^5-C_5H_5)_2Zr(CI)\{\eta^2-N(R-*CHMePh)(PPh_2)\}]$ (13a) and $[(\eta^5-C_5H_5)_2Zr(CI) \{\eta^2-N(S-*CHMePh)-(PPh_2)\}\]$ (13b).

Chiral zirkonium complexes could also be obtained starting from the neutral ligand and reaction with (PhCH₂)₄Zr. Unfortunately is the yield and the purity of the obtained complex **14** much lower than by the salt metathesis route.

7 Verwendete Abkürzungen

Bu Butyl

Cp Cyclopentadienyl

Cp* Pentamethylcyclopentadienyl

Cy Cyclohexyl

d Tage Et Ethyl

FT-Raman Fourier-Transform Raman

s strong
m medium
w weak
hs high spin

i, i- Iso

Is low spin

Me Methyl

n, n- Normal

Pr Propyl

Ph Phenyl

r.t. Raumtemperatur

t, t- Tertiär

THF Tetrahydrofuran KZ Koordinationszahl

NMR Kernmagnetische Resonanz

s Singulett
d Dublett
t Triplett
q Quartett
m Multiplett

br Verbreitertes Signal

8 Literatur

- ¹ E. Fluck, K. Rumpf Chem. uns. Zeit **1986**, 20, 111-116.
- ² A.F. Hollemann, E. Wiberg *Lehrbuch der Anorganischen Chemie*, 101. Auflage, Berlin, De Gruyter, **1995**.
- ³ K. Reinhardt *Chem. uns. Zeit* **1984**, *18*, 24-34.
- ⁴ D.N. Trifonov *The Price of Truth: The Story of Rare-Earth Elements*, MIR Publishers, Moskow, **1984**, S. 75.
- Römpp Lexikon Chemie, 10. Auflage. 6 Bände. Hrsg. von Jürgen Falbe und Manfred Regitz. Thieme, Stuttgart/New York 1996-1999.
- ⁶ F.A. Cotton, G. Wilkinson *Advanced Inorganic Chemistry*, 5. Auflage, John Wiley & Sons, INC. USA. **1988**.
- ⁷ R.D. Shannon Acta Cryst. **1976**, A32, 751-767.
- (a) F.H. Spedding, B.J. Beaudry J. Less Common. Met. 1971, 25, 61-73. (b) K.N.R. Taylor,
 M.J. Darby Physics of Rare Earth Solids, Chapman and Hall, London, 1972, 1-324.
- ⁹ K.S. Pitzer Acc. Chem. Res., 1979, 12, 271-275.
- ¹⁰ W.J. Evans, G. Zucchi, J. W. Ziller *J. Am. Chem. Soc.* **2003**, *125*, 10-11.
- ¹¹ Th. Moeller *The Lanthanides* J.C. Bailar, H.J. Emeleus, R. Nyholm, A.F. Trotman-Dickenson (eds.): *Comprehensive Inorganic Chemistry*, Pergamon Press, Oxford, Vol. 4, **1971**.
- ¹² Caudia Borger *Dissertation*, Ludwig-Maximillians-Universität München **2003**.
- ¹³ G. Wilkinson, J.M. Birmingham *J. Am. Chem. Soc.* **1954**, 76, 6210.
- ¹⁴ Ch. Elschenbroich *Organometallchemie*, Teubner, 4. Auflage, **2003**.
- ¹⁵ M.R. Gagné, C.L. Stern, T.J. Marks *J. Am. Chem. Soc.* **1992**, *114*, 275-294.
- (a) T. Hayashi, K. Yamasaki Chem. Rev. 2003, 103, 2829-2844. (b) K. Fagnou, M. Lautens Chem. Rev. 2003, 103, 169-196. (c) H. Brunner Chem. uns. Zeit 1980, 14, 177-183.
- M.E. Thompson, S.M. Baxter, A.R. Bulls, B.J. Burger, M.C. Nolan, B.D. Santarsiero, W.P. Schaefer, J.E. Bercaw *J. Am. Chem. Soc.* 1987, 109, 203-219.
- ¹⁸ P.L. Watson *J. Am. Chem. Soc.* **1983**, *105*, 6491-6493.
- (a) P.L. Watson *Polymer Preprints* **1982**, 23, 325-326. (b) P.L. Watson *J. Am. Chem. Soc.* **1982**, 104, 337-339. (c) P.L. Watson, D.C. Roe *J. Am. Chem. Soc.* **1982**, 104, 6471-6473.
- ²⁰ B. Cornils, W.A. Herrmann *Applied Homogenous Catalysis with Organometallic Compounds*, VCH, Weinheim, **1996**.
- ²¹ R. Anwander, W.A. Herrmann, Scherer, F.C. Munck *J. Organomet. Chem.* **1993**, *462*, 163-174.
- ²² W.J. Evans *J. Organomet. Chem.* **2002**, 647, 2-11.
- ²³ (a) F.T. Edelmann *Angew. Chem., Int. Ed.* **1995**, *34*, 2466-2488. (b) F.T. Edelmann, D.M.M. Freckmann, H. Schumann *Chem. Rev.* **2002**, *102*, 1851-1896.
- ²⁴ H. Schumann, A. Dietrich *J. Organomet. Chem.* **1991**, *401*, C33-C36.

²⁵ J.L. Atwood, J.H. Burns, P.G. Laubereau *J. Am. Chem. Soc.* **1973**, 95, 1830-1833.

- ²⁶ (a) T.G. Wetzel, P.W. Roesky *Organometallics* **1998**, *17*, 4009-4013. (b) T.G. Wetzel, S. Dehnen, P.W. Roesky *Organometallics* **1999**, *18*, 3835-3842. (c) P.W. Roesky *J. Organomet. Chem.* **2001**, 621, 277-283. (d) T.K. Panda, A. Zulys, M.T. Gamer, P.W. Roesky *Organometallics* **2005**, *24*, 2197-2202.
- ²⁷ (a) F.G.N. Cloke *Chem. Soc. Rev.* **1993**, 22, 17-24. (b) M.D. Fryzuk, J.B. Love, S.J. Rettig *J. Am.Chem. Soc.* **1997**, 119, 9071-9072.
- ²⁸ R. Taube, H. Windisch, F. Görlitz, H. Schumann *J. Organomet. Chem.* **1993**, *445*, 85-91.
- ²⁹ (a) P.B. Hitchcock, M.F. Lappert, R.G. Smith, R.A. Bartlett, P.P. Power *J. Chem. Soc., Chem. Commun.* **1988**, 15, 1007-1009. (b) C. Eaborn, P. B. Hitchcock, K. Izod, J. D. Smith *J. Am. Chem. Soc.* **1994**, *116*, 12071-12072.
- ³⁰ R. Kempe *Angew. Chem.* **2000**, *112*, 478-504; *Angew. Chem. Int. Ed.* **2000**, *39*, 468-493.
- ³¹ R. Pearson *J. Am Chem. Soc.* **1963**, *85*, 3533-3539.
- ³² R. Anwander *Top. Curr. Chem.* **1996**, *179*, 33-112.
- ³³ P.J. Davidson, M.F. Lappert, R. Pearce Acc. Chem. Res. **1974**, 7, 209.
- ³⁴ R. Appel, I. Ruppert Z. Aorg. Allg. Chem. **1974**, 406, 131-144.
- (a) U. Wannagat, H. Niederprüm Chem. Ber. 1961, 94, 1540-1547. (b) U. Wannagat Pure Appl. Chem. 1966, 13, 263-279.
- ³⁶ H. Bürger, U. Wannagat *Mh. Chem.* **1963**, *94*, 1007-1012; *Mh. Chem.* **1964**, *95*, 1099-1102.
- ³⁷ (a) M.B. Hursthouse, D.C. Bradley, P.F. Rodesiler *J. Chem. Soc., Chem. Commun.* **1969**, 14-15. (b) M.B. Hursthouse, P.F. Rodesiler *J. Chem. Soc., Dalton Trans.* **1972**, 2100-2102.
- (a) D.H. Harris, M.F. Lappert in: Organometallic Chemistry Reviews: Organosilicon reviews. Elsevier Scientific Publishing Company, Amsterdam, 1976, 13-102. (b) D.C. Bradley, M.H. Chisholm Acc. Chem. Res. 1976, 9, 273-280. (c) M.F. Lappert, P.P. Power, A.R. Sanger, R.C. Srivastava (eds.) Metal and Metalloid Amides Ellis Horwood, Chichester, 1980.
- ³⁹ V.V. Mainz, R.A. Andersen *Inorganic Chemistry* **1980**, *19*, 2165-9.
- ⁴⁰ J. Eppinger, E. Herdtweck, R. Anwander *Polyhedron* **1998**, *17*, 1195-1201.
- ⁴¹ R.R. Fraser, T.S. Mansour, S. Savard *J. Org. Chem.* **1985**, *50*, 3232-3234.
- ⁴² E.C. Alyea, D.C. Bradley, R.G. Copperthwaite *J. Chem. Soc., Dalton Trans.* **1972**, 1580-1584.
- ⁴³ F.T. Edelmann, A. Steiner, D. Stalke, J.W. Gilje, S. Jagner, M Håkansson *Polyhedron* **1994**, *13*, 539-546.
- ⁴⁴ M. Westerhausen, M. Hartmann, A. Pfitzner, W. Schwarz Z. Anorg. Allg. Chem. 1995, 621, 837-850.
- (a) D.C. Bradley, J.S. Ghotra, F.A. Hart *J. Chem. Soc., Chem. Commun.* 1972, 349-350. (b)
 D.C. Bradley, J.S. Ghotra, F.A. Hart *J. Chem. Soc., Dalton Trans.* 1973, 1021-1023. (c) J.S. Ghotra, M.B. Hursthouse, A.J. Welch *J. Chem. Soc., Chem. Commun.* 1973, 669-670.

L.M. Engelhardt, B.S. Jolly, P.C. Junk, C.L. Raston, B.W. Skelton, A.H. White *Aust. J. Chem.* 1986, 39, 1337-1345.

- ⁴⁷ R. Anwander, O. Runte, J. Eppinger, G. Gerstberger, E. Herdtweck, M. Spiegler *J. Chem. Soc., Dalton Trans.* **1998**, 847-858.
- ⁴⁸ G.W. Rabe, G.P.A. Yap *Z. Kristallogr, NCS* **2000**, *215*, 457-458.
- ⁴⁹ E.D. Bradey, D.L. Clark, J.C. Gordon, P.J. Hay, D.W. Keogh, R. Poli, B.L. Scott, J.G. Watkin *Inorg. Chem.* **2003**, *42*, 6682-6690.
- ⁵⁰ R. Anwander *Dissertation*, Technische Universität München (TU) **1992**.
- W.A. Herrmann, R. Anwander, F.C. Munck, W. Scherer, V. Dufaud, N.W. Huber, G.R.J. Artus Z. Naturforsch. 1994, B49, 1789-1797.
- ⁵² P.G. Eller, D.C. Bradley, M.B. Hursthouse, D.W. Meek *Coord. Chem. Rev.* **1977**, 24, 1-95.
- ⁵³ R.A. Andersen, D.H. Templeton, A. Zalkin *Inorg. Chem.* **1978**, *8*, 2317-2319.
- ⁵⁴ (a) T. Fjeldberg, R.A. Andersen *J. Mol. Struct.* **1985**, 128, 49-57. (b) T. Fjeldberg, R.A. Andersen *J. Mol. Struct.* **1985**, 129, 93-105.
- ⁵⁵ W. Scherer *Dissertation*, Technische Universität München (TU) **1994**.
- ⁵⁶ D.J. Burkey, E.K. Alexander, T.P. Hanusa *Organometallics*, **1994**, *13*, 2773-2786.
- ⁵⁷ P.B. Hitchcock, M.F. Lappert, A. Singh *J. Chem. Soc., Chem. Commun.* **1983**, 1499-1501.
- ⁵⁸ L.N. Bochkarev, S.B. Shustov, T.V. Guseva, S.F. Zhil`tsov *Zh. Obshch. Khim.* **1988**, *58*, 923-924.
- ⁵⁹ M. Booij, N.H. Kiers, H.J. Heeres, J.H. Teuben *J. Organomet. Chem.* **1989**, *364*, 79-86.
- ⁶⁰ G.A. Razuvaev, G.S. Kalinina, E.A. Fedorova *J. Organomet. Chem.* **1980**, *190*, 157-165.
- ⁶¹ W.J. Evans, M.A. Ansari, S.I. Khan unveröffentliche Ergebnisse.
- M. Allen, H.C. Aspinell, S.R. Moore, M.B. Hursthouse, A.I. Karvalov *Polyhedron* 1992, 11, 409-413.
- ⁶³ E.A. Fedorova, G.S. Kalinina, M.N. Bochkarev, G.A. Razuvaev *Zh. Obshch. Khim.* **1982**, *52*, 1187-1190.
- ⁶⁴ H.A. Stecher, A. Sen, A.L. Rheingold *Inorg. Chem.* **1989**, *28*, 3280-3282.
- ⁶⁵ M.J. McGeary, P.S. Coan, K. Folting, W.E. Streib, K.G. Caulton *Inorg. Chem.* **1989**, *28*, 3283-3283.
- ⁶⁶ B. Cetinkaya, P.B. Hitchcock, M.F. Lappert, R.G. Smith *J. Chem. Soc., Chem. Commun.* 1992, 932-934.
- ⁶⁷ (a) Y.F. Rad´kov, E.A. Fedorova, S.Y. Khorshev, G.S. Kalinina, M.N. Bochkarev, G.A. Razuvaev *Zh. Obshch. Khim.* **1986**, 56, 386-389. (b) D.R. Cary, J. Arnold *J. Am. Chem. Soc* **1993**, *115*, 2520-2521. (c) A.R. Strzelecki, C.L. Likar, B.A. Helsel, T. Utz, M. C. Lin, P.A. Bianconi *Inorg. Chem.* **1994**, 33, 5188-5194.
- ⁶⁸ W.A. Herrmann, R. Anwander, M. Kleine, W. Scherer *Chem. Ber.* **1992**, *125*, 1971-1979.
- ⁶⁹ M.T. Gamer, P.W. Roesky *Z. Anorg. Allg. Chem.* **2001**, 627,877-881.

P. Imhoff, J.H. Guelpen, K. Vrieze, W.J.J. Smeets, A.L. Spek, C.J. Elsevier *Inorg. Chim. Acta* 1995, 235, 77-88.

- (a) M.W. Avis, M.E. van der Boom, C.J. Elsevier, W.J.J. Smeets, A.L. Spek *J. Organomet. Chem.* 1997, 527, 263-276. (b) M.W. Avis, C.J. Elsevier, J.M. Ernsting, K. Vrieze, N. Veldman, A.L. Spek, K.V. Katti, C.L. Barnes *Organometallics* 1996, 15, 2376-2392. (c) M.W. Avis, K. Vrieze, H. Kooijman, N. Veldman, A.L. Spek, C.J. Elsevier *Inorg. Chem.* 1995, 34, 4092-4105. (d) P. Imhoff, R. van Asselt, J.M. Ernsting, K. Vrieze, C.J. Elsevier, W.J.J. Smeets, A.L. Spek, A.P.M. Kentgens *Organometallics* 1993, 12, 1523-1536.
- ⁷² C.M. Ong, P. McKarns, D.W. Stephan *Organometallics* **1999**, *18*, 4197-4208.
- (a) A. Kasani, R.P. Kamalesh Babu, R. McDonald, R.G. Cavell *Organometallics* 1999, 18, 3775-3777. (b) K. Aparna, R. McDonald, M. Ferguson, R.G. Cavell *Organometallics* 1999, 18, 4241-4243.
- (a) R.P Kamalesh Babu, R. McDonald, S.A. Decker, M. Klobukowski, R.G. Cavell Organometallics 1999, 18, 4226-4229. (b) R.G. Cavell, R.P. Kamalesh Babu, A. Kasani, R. McDonald Am. Chem. Soc 1999, 121, 5805-5806. (c) R.P. Kamalesh Babu, R. McDonald, R.G. Cavell Chem. Commun. 2000, 481-482. (d) A. Kasani, M Ferguson, R.G. Cavell J. Am. Chem. Soc. 2000, 112, 726-727.
- ⁷⁵ M.T. Gamer, S. Dehnen, P.W. Roesky *Organometallics* **2001**, *20*, 4230-4236.
- M.T. Gamer, P.W. Roesky, M. Rastätter, A. Steffens, M. Glanz Chem. Eur. J. 2005, 11, 3165-3172.
- (a) A. Zulys, T.K. Panda, M.T. Gamer, P.W. Roesky *Chem. Commun.* **2004**, 2584-2585. (b)
 A. Zulys, T.K. Panda, M.T. Gamer, P.W. Roesky *Organometallics* **2005**, *24*, 2197-2202.
- (a) H. Brunner, R. G. Gastinger J. Organomet. Chem. 1978, 145, 365-373. (b) H. Brunner,
 G. O. Nelson J. Organomet. Chem. 1979, 173, 389-395. (c) E. Frauendorfer, H. Brunner J. Organomet. Chem. 1982, 240, 371-379.
- ⁷⁹ M. T. Gamer, M. Rastätter, P.W. Roesky *Z. Anorg. Allg. Chem.* **2002**, 628, 2269-2272.
- (a) T.K. Panda, M.T. Gamer, P.W. Roesky *Inorg. Chem.* **2006**, *45*, 910-916. (b) T.K. Panda *Dissertation*, Freie Universität Berlin **2005**.
- Übersicht: (a) F. T. Edelmann Comprehensive Organometallic Chemisty II, E. W. Abel, F. G.
 A. Stone, G. Wilkinson, Eds.; Pergamon Press, Oxford, 1995; Vol. 4, 11-210. (b) F.T.
 Edelmann Top. Curr. Chem. 1996, 179, 247-276.
- ⁸² W. J. Evans, I. Bloom, W.E. Hunter, J.L. Atwood *J. Am. Chem. Soc.* **1983**, *105*, 1401-1403.
- (a) H. Mauermann, P.N. Swepston, T. J. Marks Organometallics 1985, 4, 200-202. (b) G. Jeske, H. Lauke, H. Mauermann, H. Schumann, T.J. Marks J. Am. Chem. Soc. 1985, 107, 8111-8118.
- (a) V.P. Conticello, L. Brard, M.A. Giardello, Y. Tsuji, M. Sabat, C.L. Stern, T.J. Marks *J. Am. Chem. Soc.* 1992, 114, 2761-2762. (b) D. Stern, M. Sabat, T.J. Marks *J. Am. Chem. Soc.* 1992, 112, 9558-9575. (c) C.M. Haar, C.L. Stern, T.J. Marks *Organometallics* 1996, 15,

1765-1784. (d) P.W. Roesky, U. Denninger, C.L. Stern, T.J. Marks *Organometallics*, **1997**, *16*, 4486-4492.

- M. Giardello, V.P. Conticello, L. Brard, M.R. Gagné, T.J. Marks J. Am. Chem. Soc. 1994, 114, 10241-10254.
- (a) P.L. Watson *J. Am. Chem. Soc.* 1982, 104, 337-339. (b) P.L. Watson, D.C. Roe *J. Am. Chem. Soc.* 1982, 104, 6471-6473. (c) E.B. Coughlin, J.E. Bercaw *J. Am. Chem. Soc.* 1992, 114, 7607-7608. (d) P.J. Shapiro, E.E. Bunel, W.P. Schäfer J.E. Bercaw, *Organometallics* 1990, 9, 867-876. (e) S. Hajela, J.E. Bercaw *Organometallics* 1994, 13, 1147-1154. (f) M.A. Giardello, Y. Yamamoto, L. Brard, T.J. Marks *J. Am. Chem. Soc.* 1995, 117, 3276-3277.
- ⁸⁷ (a) E.E. Bunel, B.J. Burger, J.E. Bercaw *J. Am. Chem. Soc.* **1988**, *110*, 976-981. (b) W. Piers, P.J. Shapiro, E.E. Bunel, J.E. Bercaw *Synlett* **1990**, *2*, 74-81.
- ⁸⁸ G. Jeske, H. Lauke, H. Mauermann, P.N. Swepston, H. Schumann, T.J. Marks *J. Am. Chem. Soc.* **1985**, *107*, 8091-8103.
- (a) M.R. Gagné, T.J. Marks J. Am. Chem. Soc. 1989, 111, 4108-4109. (b) M.R. Gagné, C.L. Stern, T.J. Marks J. Am. Chem. Soc. 1992, 114, 275-294. (c) Y. Li, T.J. Marks J. Am. Chem. Soc. 1996, 118, 9295-9306. (d) P.W. Roesky, C.L. Stern, T.J. Marks Organometallics 1997, 16, 4705-4711. (e) Y. Li, T.J. Marks J. Am. Chem. Soc. 1998, 120, 1757-1771. (f) V.M. Arredondo, F.E. McDonald, T.J. Marks J. Am. Chem. Soc. 1998, 120, 4871-4872. (g) V.M. Arredondo, S. Tian, F.E. McDonald, T.J. Marks J. Am. Chem. Soc. 1999, 121, 3633-3639. (h) S. Hong, T.J. Marks J. Am. Chem. Soc. 2002, 124, 7886-7887. (i) J.-S. Ryu, G.Y. Li, T.J. Marks J. Am. Chem. Soc. 2003, 125, 12584-12605.
- (a) S.P. Nolan, M. Porchia, T.J. Marks *Organometallics* 1991, 10, 1450-1457. (b) T. Sakakura, H.-J. Lautenschläger, M.J. Tanaka *J. Chem. Soc., Chem. Commun.* 1991, 40-41.
 (c) G.A. Molander, P.J. Nichols *J. Am. Chem. Soc.* 1995, 117, 4414-4416. (d) G.A. Molander, W.A. Retsch *Organometallics* 1995, 14, 4570-4575.
- ⁹¹ P.-F. Fu, L. Brard, Y. Li, T.J. Marks *J. Am. Chem. Soc.* **1995**, *117*, 7157-7168.
- (a) G. Erker, R. Aul Chem. Ber. 1991, 124, 1295-1300. (b) K.N. Harrison, T.J. Marks J. Am. Chem. Soc. 1992, 114, 9220-9221. (c) E.A. Bijpost, R. Duchateau, J.H. Teuben J. Mol. Catal. 1995, 95, 121-128.
- 93 M.R. Douglass, T.J. Marks J. Am. Chem. Soc. 2000, 122, 1824-1825.
- ⁹⁴ (a) M.R. Bürgstein, H. Berberich, P.W. Roesky *Organometallics* 1998, *17*, 1452-1454. (b)
 M.R. Bürgstein, H. Berberich, P.W. Roesky *Chem. Eur. J.* 2001, *7*, 3078-3085.
- (a) Y.K. Kim, T. Livinghouse, J.E. Bercaw *Tetrahedron Lett.* **2001**, *42*, 2933-2935. (b) Y.K. Kim, T. Livinghouse *Angew. Chem.* **2002**, *114*, 3797-3799; *Angew. Chem., Int. Ed.* **2002**, *41*, 3645-3647. (c) Y.K. Kim, T. Livinghouse, Y. Horino *J. Am. Chem. Soc.* **2003**, *125*, 9560-9561.
- P.N. O'Shaughnessy, P.D. Knight, C. Morton, K.M. Gillespie, P. Scott J. Chem. Soc., Chem. Commun. 2003, 1770-1771.

⁹⁷ (a) D.V. Gribkov, K.C. Hultzsch, F. Hampel *Chem. Eur. J.* **2003**, 9, 4796-4810. (b) K.C. Hultzsch, D.V. Gribkov *J. Chem. Soc., Chem. Commun.* **2004**, 730-731. (c) K.C. Hultzsch, F. Hampel, T. Wagner *Organometallics* **2004**, 23, 2601-2612.

- ⁹⁸ W.A. Herrmann, R. Anwander, F.C. Munck, W. Scherer, V. Dufaud, N.W. Huber, G.R.J. Artus *Z. Naturforsch.*, *Teil B*, **1994**, *49*, 1789-1797.
- ⁹⁹ A. Kasani, M. Furguson, R. G. Cavell *J. Am. Chem. Soc.* **2000**, *112*, 726-727.
- ¹⁰⁰ M.T. Gamer *Dissertation*, Freie Universität Berlin **2003**.
- M. G. Kimpel, H. W. Görlitzer, M. Tafipolsky, M. Spiegler, W. Scherer, R. Anwander J. Organomet. Chem. 2002, 647, 236-244.
- ¹⁰² J. Eppinger, M. Spiegler, W. Hieringer, W. A. Herrmann, R. Anwander *J. Am. Chem. Soc.* **2000**, *122*, 3080-3096.
- ¹⁰³ S. Hong, A. M. Kawaoka, T. J. Marks *J. Am. Chem. Soc.* **2003**, *125*, 15878-15892.
- (a) S. Tobisch J. Am. Chem. Soc. 2005, 127, 11979-11988. (b) S. Tobisch Chem. Eur. J. 2005, 11, 6372-6385. (c) S. Tobisch Chem. Eur. J. 2006, 12, 2520-2531.
- ¹⁰⁵ Y. Horino, T. Livinghouse *Organometallics* **2004**, 23, 12-14.
- ¹⁰⁶ A. Heutling, F. Pohlki, I. Bytschkov, S. Doye *Angew. Chem.* **2005**, *117*, 3011-3013; *Angew. Chem.*, *Int. Ed.* **2005**, *44*, 2951-2954.
- ¹⁰⁷ L.D. Field, B.A. Messerle, S.L. Wren *Organometallics* **2003**, 22, 4393-4395.
- R.H. Neilson, P. Wisian-Neilson Chem. Rev. 1988, 88 541-562. (b) C.W. Allen Coord. Chem. Rev. 1994, 130 137-173.
- ¹⁰⁹ C.W. Allen *The Chemistry of Inorganic Homo- and Heterocycles, Vol. II, Academic Press, London,* **1987**, 501-589.
- ¹¹⁰ L. Stahl Coord, Chem. Rev. **2000**, 210, 203-250.
- ¹¹¹ (a) M. Michaelis, G. Schroeter *Chem. Ber.* **1894**, 27, 490-497. (b) M. Michaelis *Annalen* **1903**, 326 129-258.
- ¹¹² (a) R.R. Holmes, J.A. Forstner *Inorg. Chem.* **1963**, 2, 380-384. (b) R.R. Holmes *J. Am. Chem. Soc.* **1961**, 83, 1334-1336.
- ¹¹³ R. Jefferson, J.F. Nixon, T.M. Painter J. Chem. Soc., Chem. Commun. **1969**, 622-623.
- ¹¹⁴ K.W. Muir, J.F. Nixon J. Chem. Soc., Chem. Commun. **1971**, 1405-1406.
- E. Niecke, W. Flick, S. Pohl Angew. Chem. 1976, 88 305-306; Angew. Chem. Int. Ed. Engl. 1976, 15, 309-310.
- ¹¹⁶ O.J. Scherer, G. Schmidt *Angew. Chem. Int. Ed. Engl.* **1976**, *15*, 772.
- ¹¹⁷ M.L. Thompson, A. Tarassoli, R.C. Haltiwanger, A.D. Norman *J. Chem. Soc., Chem. Commun.* **1979**, 647-648.
- ¹¹⁸ R. Jefferson, J.F. Nixon, T.M. Painter, R. Keat, L. Stobbs *J. Chem. Soc., Dalton Trans.* **1973**, 1414-1419.
- ¹¹⁹ L.N. Markovskii, V.D. Romanenko, A.V. Ruban, L.A. Robenko *Zh. Obshch. Khim.* **1980**, 50, 337-342.

O.J. Scherer, G. Wolmershäuser, H. Conrad Angew. Chem., Int. Ed. Engl. 1983, 22, 404-405.

- ¹²¹ R. Keat *Top. Curr. Chem.* **1982**, *102*, 89-116.
- ¹²² I. Silaghi-Dumitrescu, I. Haiduc *Phosphorus Sulfur Silicon* **1994**, *91*, 21-36.
- ¹²³ N.D. Reddy, A.J. Elias, A. Vij *J. Chem. Soc., Dalton Trans.* **1997**, 2167-2169.
- ¹²⁴ I. Schranz, L. Stahl, R.J. Staples *Inorg. Chem.* **1998** 37 1493-1498.
- ¹²⁵ (a) L. Horner, H. Winkler *Tetrahedron Lett.* **1964** 461-462. (b) G.H. Senkler Jr., K. Mislow *J. Am. Chem. Soc.* **1972**, 94, 291.
- ¹²⁶ I. Silaghi-Dumitrescu, F. Lara-Ochoa, I. Haiduc *Main Group Chem.* **1998**, *2*, 309-314.
- ¹²⁷ A.J. Arduengo, III, D.A. Dixon, D.C. Roe *J. Am. Chem. Soc.* **1986**, 108, 6821-6823.
- ¹²⁸ H.-J. Chen, R.C. Haltiwanger, T.G. Hill, M.L. Thompson, D.E. Coons, A.D. Norman *Inorg. Chem.* **1985**, *24*, 4725-4730.
- ¹²⁹ U. Wirringa, H. Voelker, H.W. Roesky, Y. Shermolovich, L. Markovski, I. Usón, M. Noltemeyer, H.-G. Schmidt *J. Chem. Soc.*, *Dalton Trans.* 1995, 1951-1956.
- ¹³⁰ I. Schranz, D.F. Moser, L. Stahl, R.J. Staples *Inorg. Chem.* **1999**, *38*, 5814-5819.
- ¹³¹ A.D. Bond, E.L. Doyle, F. Garcia, R.A. Kowenicki, D. Moncrieff, M. McPartlin, L. Riera, A.D. Woods, D.S. Wright *Chem. Eur. J.* **2004**, *10*, 2271-2276.
- ¹³² T.G. Wetzel, S. Dehnen, P.W. Roesky *Angew. Chem.* **1999**, *111*, 1155-1158; *Angew. Chem.*, *Int. Ed.* **1999**, *38*, 1086-1088.
- ¹³³ Y. Yao, X. Lu, Q. Shen, K. Yu *J. Chem. Crystallography*, **2004**, *34*, 275-279.
- E. Ihara, M. Tanaka, H. Yasuda, N. Kanehisa, T. Maruo, Y. Kai *J. Organomet. Chem.* **2000**, 613, 26-32
- M.A. Antunes, G.M. Ferrence, A. Domingos, R. McDonald, C.J. Burns, J. Takats, N. Marques *Inorg. Chem.* 2004, 43, 6640-6643.
- ¹³⁶ L.P. Grocholl, L. Stahl, R.J. Staples *J. Chem. Soc., Chem. Commun.* **1997**, 1465-1466.
- ¹³⁷ D.F. Moser, L. Grocholl, L. Stahl, R.J. Staples *J. Chem. Soc., Dalton Trans.* **2003**, 1402-1410.
- ¹³⁸ S.G. Bott, A. Alvanipour, S.D. Morley, D.A. Atwood, C.M. Means, A.W. Coleman, J.L. Atwood *Angew. Chem.* **1987**, 99, 476-478.
- ¹³⁹ T. Bauer, S. Schulz, M. Nieger, I. Krossing *Chem. Eur. J.* **2004**, *10*, 1729-1737.
- ¹⁴⁰ H. Friebolin *Ein- und zweidimensionale NMR-Spektroskopie*, 2. Auflage, VCH, Weinheim, **1992**.
- (a) A.R. Cullingworth, A. Pidcock, J.D. Smith J. Chem. Soc., Chem. Commun. 1966, 89-90.
 (b) B. M. Cohen, A.R. Cullingworth, J.D. Smith J. Chem. Soc., Inorg. Phys. Theor. 1969 2193-2196.
 (c) A. Almenningen, L. Fernholt, A. Haaland, J. Weidlein J. Organomet. Chem. 1978 145, 109-1199.
 (d) F.W. Reier, P. Wolfram, H. Schumann Journal of Crystal Growth 1986, 77, 23-26.
 (e) A.R. Barron J. Chem. Soc. Dalton Trans. 1988, 3047-3050.
 (f) A. Kuczkowski, S. Schulz, M. Nieger, P.R. Schreiner Organometallics 2002, 21, 1408-1419.

¹⁴² K.P.C. Vollhardt, N.E. Schore *Organische Chemie*, 2. Auflage, Wiley-VCH, **1995**.

- ¹⁴³ K.V. Axenov, M. Klinga, M. Leskelä, V. Kotov, T. Repo *Eur. J. Inorg. Chem.* **2004**, 4702-4709.
- ¹⁴⁴ T.G. Hill, R.C. Haltiwanger, M.L. Thompson, S.A. Katz *Inorg. Chem.* **1994**, 33, 1770-1777.
- (a) G. Schick, A. Loew, M. Nieger, K. Airola, E. Niecke *Chem. Ber.* 1996, 129, 911-917. (b)
 S. Schulz, M. Raab, M. Nieger, E. Niecke *Organometallics* 2000, 19, 2616-2620.
- ¹⁴⁶ R. Keat, D.S. Rycroft, D.G. Thompson *J. Chem. Soc., Dalton Trans.* **1980**, 321-326.
- ¹⁴⁷ K.V. Axenov, V.V. Kotov, M. Klinga, M. Leskelä, T. Repo *Eur. J. Inorg. Chem.* **2004**, 695-706.
- (a) A.R. Davies, A.T. Dronsfield, R.N. Haszeldine, D.R. Taylor *J. Chem. Soc., Perkin Trans.*1973, 379-385. (b) G. Bulloch, R. Keat, D.G. Thompson *J. Chem. Soc., Dalton Trans.* 1977, 99-104. (c) G. Bulloch, R. Keat, D.G. Thompson *J. Chem. Soc., Dalton Trans.* 1977, 1044-1048. (d) T.G. Hill, R.C. Haltiwanger, M.L. Thompson, S.A. Katz, A.D. Norman *Inorg. Chem.* 1994, 33, 1770-1777.
- ¹⁴⁹ D. Fenske, B. Maczek, K. Maczek *Z. Anorg. Allg. Chem.* **1997**, 623, 1113-1120.
- ¹⁵⁰ O. Kühl, T. Koch, F.B. Somoza, P.C. Junk, E. Hey-Hawkins, D. Plat, M.S. Eisen *J. Organomet. Chem.* **2000**, *604*, 116-125.
- ¹⁵¹ O. Kühl, P.C. Junk, E. Hey-Hawkins *Z. Anorg. Allg. Chem.* **2000**, 626, 1591-1594.
- ¹⁵² S. Wingerter, M. Pfeiffer, F. Baier, T. Stey, D. Stalke *Z. Anorg. Allg. Chem.* **2000**, *626*, 1121-1130.
- ¹⁵³ P.W. Roesky, M.T. Gamer, M. Puchner, A. Greiner *Chem. Eur. J.* **2002**, *8*, 5265-5271.
- ¹⁵⁴ (a) P. Braunstein, J. Durand, G. Kickelbick, M. Knorr, X. Morise, R. Pugin, A. Tiripicchio, F. Ugozzoli *J. Chem. Soc., Dalton Trans.* 1999, 4175-4186. (b) M. Knorr, C. Strohmann *Organometallics* 1999, 18, 248-257. (c) P. Braunstein, J. Cossy, M. Knorr, C. Strohmann, P. Vogel *New J. Chem.* 1999, 23, 1215-1222.
- ¹⁵⁵ (a) K. Dehnicke, F. Weller Coord. Chem. Rev. **1997**, 158, 103-169. (b) K. Dehnicke, M. Krieger, W. Massa Coord. Chem. Rev. **1999**, 182, 19-65.
- ¹⁵⁶ G. Aharonian, K. Feghali, S. Gambarotta, G.P.A. Yap *Organometallics* **2001**, *20*, 2616-2622.
- ¹⁵⁷ K. Aparna, R.P. Kamalesh Babu, R. McDonald, R.G. Cavell *Angew. Chem.* **2001**, *113*, 4535-4537; *Angew. Chem., Int. Ed.* **2001**, *40*, 4400-4402.
- (a) F.T. Edelmann Top. Curr. Chem. 1996, 179, 113-148. (b) U. Reissmann, P. Poremba, M. Noltemeyer, H.-G. Schmidt, F.T. Edelmann Inorg. Chim. Acta 2000, 303, 156-162. (c) A. Recknagel, A. Steiner, M. Noltemeyer, S. Brooker, D. Stalke, F.T. Edelmann J. Organomet. Chem. 1991, 414, 327-35. (d) A. Recknagel, M. Witt, F.T. Edelmann J. Organomet. Chem. 1989, 371, C40-C44.
- Übersicht: (a) G.J.P. Britovsek, V.C. Gibson, D.F. Wass Angew. Chem., 1999, 111, 448-468;
 Angew. Chem., Int. Ed. 1999, 38, 428-447. (b) R. Kempe Angew. Chem., 2000, 112, 478-504;
 Angew. Chem., Int. Ed. 2000, 39, 468-493.

- ¹⁶⁰ H. Brunner, J. Doppelberger *Chem. Ber.* **1978**, *111*, 673-691.
- ¹⁶¹ R.P. Kamalesh Babu, S. Krishnamurthy, S. Setharampattu M. Nethaji *Tetrahedron: Asymmetry* **1995**, *6*, 427-438.
- ¹⁶² B. Krzyzanowska, W. J. Stec Synthesis **1982**, 270-273.
- ¹⁶³ E. Samuel *Bull. Soc. Chim. Fr.* **1966**, *11*, 3548-3564.
- ¹⁶⁴ J. J. Eisch, F. A. Owuor, P. O. Otieno *Organometallics* **2001**, *20*, 4132-4134.
- ¹⁶⁵ N. Dufour, J.-P. Majoral, A.-M. Camiade, R. Choukroun, Y. Dromzee *Organometallics* **1991**, *10*, 45-48.
- ¹⁶⁶ U. Zucchini, E. Albizzati, U. Giannini *J. Organomet. Chem.* **1971**, 26, 357-372.
- ¹⁶⁷ E. J. Crust, A. J. Clarke, R. J. Deeth C. Morton, P. Scott, *J. Chem. Soc., Dalton Trans.* **2004**, 4050-4058.
- ¹⁶⁸ I. J. Munslow, A. R.Wade, R. J. Deeth, P. Scott *J. Chem. Soc., Chem. Commun.* **2004**, 2596-2597.
- ¹⁶⁹ G.M.D. Taylor, C.P. Carter *J. Inorg. Nucl. Chem.* **1962**, *24*, 387-391.
- ¹⁷⁰ J.A. Jegier, D.A. Atwood *Inorg. Chem.* **1997**, 36, 2034-2039.
- ¹⁷¹ G.M. Sheldrick *SHELXS-97*, Program for Crystal Structure Solution, Universität Göttingen, **1997**.
- ¹⁷² G.M. Sheldrick *SHELXL-97*, Program for Crystal Structure Refinement, Universität Göttingen, **1997**.
- ¹⁷³ X-STEP32 Version 1.07b, Stoe & Cie GmbH, Darmstadt **2000**.
- ¹⁷⁴ K. Brandenburg, M. Berndt *DIAMOND 2.1e*, Visual Crystal Structure Information System, Crystal Impact GbR, Bonn, **2001**.

Lebenslauf

Name Marcus Rastätter

Geburtsdatum 27.08.1976
Geburtsort Karlsruhe
Staatsbürgerschaft deutsch

Eltern Robert und Irene Rastätter

Geschwister Timo Rastätter

Familienstand ledig

Schulausbildung

09.1983-07.1987 Drais-Grundschule in Karlsruhe.08.1987-06.1993 Drais-Realschule in Karlsruhe.

Berufsausbildung

09.1993-07.1996 Ausbildung zum Chemielaboranten an der

Universität Karlsruhe (TH).

Schulausbildung

09.1996-06.1998 Carl-Engler-Schule; Technische Oberschule in

Karlsruhe.

Hochschulausbildung

09.1998-05.2003 Chemiestudium an der Universität Karlsruhe (TH).

11.2002-05.2003 Diplomarbeit in der Arbeitsgruppe von Prof. Dr. M.

Ballauff. Thema: "Untersuchung des Adsorptionsverhaltens der Proteine Albumin, Hämoglobin und Myoglobin auf Kern- und Kern-

Schale-Latices".

05.2003 Universitätsabschluss: Diplom-Chemiker der

Universität Karlsruhe (TH).

06.2003	Beginn der Dissertation am Institut für Chemie der		
	Freien Universität Berlin (FU) bei Prof. Dr. P. W.		
	Roesky.		
	Assistententätigkeit im anorganisch-chemischen		
	Grundpraktikum.		
10.2003-12.2005	Kollegiat im Graduiertenkolleg "Synthetische,		
	mechanistische und reaktionstechnische Aspekte		
	von Metallkatalysatoren" der TU-, FU und HU-		
	Berlin.		
08.2005-10.2005	Forschungsaufenthalt an der Monash University,		
	School of Chemistry, Melbourne, Australien.		

Sonstiges

08.2004	Einladung der BASF AG zum "108 th International
	BASF summer course 2004".
08.2005-10.2005	DAAD-Kurzzeitstipendium für Doktorranden.

Vorträge

1. M. Rastätter

"Neue Amidometallverbindungen der Lanthanoide"
Workshop des Graduiertenkollegs 352 "Synthetische, mechanistische und reaktionstechnische Aspekte von Metallkatalysatoren" der FU-, HU- und TU Berlin, Leipzig, 2004.

2. M. Rastätter

"Neue Lanthanoidkatalysatoren für die Hydroaminierung und Hydrosilylierung"

Wissenschaftliches Kolloquium von Arbeitsgruppen für Anorganische Chemie der Universitäten, Basel, Berlin, Hannover, Karlsruhe, Leipzig, Marburg, Münster, Regensburg und Tübingen, Hirschegg, **2006**.

Posterpräsentationen

- M.T. Gamer, M. Rastätter, P.W. Roesky "P-N Ligands in Rare Earth Chemistry" GDCh-Jahrestagung Chemie, München, 2003.
- M. Rastätter, A. Zulys, P.W. Roesky
 "Synthesis, Characterization and Application of a new Lanthanide Amide-Compound"
 XVIIth Workshop on Rare Earth Chemistry, Bayreuth, 2004.
- 3. M. Rastätter, A. Zulys, P.W. Roesky "Synthesis, Characterization and Application of new Lanthanide-Amide-Compounds"

Tag der Chemie, FU Berlin, 2005.

4. M. Rastätter, A. Zulys, P.W. Roesky

"Synthesis, Characterization and Application of new Lanthanide-Amide-Compounds"

Symposium des Graduiertenkollegs 352, TU Berlin, 2005.

5. M. Rastätter, P.W. Roesky

"Synthesis and Characterization of new Lanthanoid-bis(t-butylamido)cyclodiphosph(III)azane complexes"

XVIIIth Workshop on Rare Earth Chemistry, Bonn, **2005**.

Veröffentlichungen

- M.T. Gamer, M. Rastätter, P.W. Roesky "Reaction of Cp₂ZrCl₂ with inorganic amides" Z. Anorg. Allg. Chem. 2002 628 2269-2272.
- 2. M.T. Gamer, M. Rastätter, P.W. Roesky, A. Steffens, M. Glanz "Yttrium and lanthanide complexes with various P,N ligands in the coordination sphere: synthesis, structure, and polymerization studies" Chem. Eur. J. 2005, 11, 3165-3172.
- M. T. Gamer, M. Rastätter, P. W. Roesky
 "New homoleptic tris(diphosphanylamido) complexes of the lanthanides
 - synthesis and structure"
 Inorg. Chim. Acta 2005, 358, 4172-4176.
- 4. M. Wiecko, D. Girnt, M. Rastätter, T.K. Panda, P.W. Roesky "Zirconium complexes having a chiral phosphanylamide in the coordination sphere"
 - J. Chem. Soc., Dalton Trans. 2005, 12, 2147-2150.

5. M. Rastätter, A. Zulys, P.W. Roesky

"A bis(phosphinimino)methanide lanthanum amide as catalyst for the hydroamination/cyclization, hydrosilylation and sequential hydroamination/hydrosilylation catalysis"

J. Chem. Soc., Chem. Commun. 2006, 874-876.

6. M. Rastätter, A. Zulys, P.W. Roesky

"Bis(phosphinimino)methanide Lanthanide Amides – Synthesis, Structure, and Hydroamination / Cyclization, Hydrosilylation, and Sequential Hydroamination / Hydrosilylation Catalysis" Chem. Eur. J., 2007, angenommen.

7. M. Rastätter, P.W. Roesky

"Bis(t-butylamido)cyclodiphosph(III)azane Complexes of aluminium" Chem. Eur. J., eingereicht.

8. M. Rastätter, P.W. Roesky

"Bis(amido)cyclodiphosph(III)azane Complexes of Yttrium and the Lanthanides"

Inorg. Chem., in Vorbereitung.

Danksagung

Mein erster Dank gilt zuerst Herrn Prof. Dr. Peter W. Roesky für ein tolles Arbeitsklima, den kreativen Spielraum in der Forschung sowie die stetige Förderung und Unterstützung in allen Belangen, angefangen als Student an der Universität Karlsruhe (TH) und im Rahmen der Doktorarbeit.

Mein weiterer Dank gilt insbesondere meinem Laborkollegen Dr. Michael T. Gamer für seine stetige Hilfsbereitschaft, (stets) fachliche Diskussionen sowie die Durchführung der Kristallstrukturuntersuchungen. Wie es zu einer guten "Laborehe" gehört, waren wir nicht immer einer Meinung, wobei, im nachhinein betrachtet, zumeist er am längeren Hebel saß. Bedanken möchte ich mich auch für die schöne Zeit und Unterstützung neben dem Uni-Alltag bei Familie Gamer für diverse Grillabende, Videoabende, Autoreparaturen etc.

Weiterhin bedanke ich mich bei Agustino Zulys für die stets nette und erfolgreiche Zusammenarbeit bei den Katalyseuntersuchungen.

Mein Dank gilt weiterhin den (ehemaligen) Mitgliedern der Arbeitsgruppe Jost-S. Herrmann, Tarun K. Panda, Doris Plewinksky, Graciella C. Melchor, Sebastian Marks, Markus Peschke, Michal Wiecko, Karolin Löhnwitz, Nils Meyer, Paul Benndorf, Bernhardt Füger, Dr. Viswanathan Baskar, Dr. Zhida Pan, Brigitte Stromburg, Simmi Datta, Dr. Vladimir Kirin für die kollegiale Zusammenarbeit und netten Abende an der Uni.

Nicht zu vergessen ein großes Dankeschön an die Forschungspraktikanten Michal Wiecko, Denise Girnt, Jochen Brandt, Jelena Jenter, Eike Jahnke, Wilhelmine Kudernatsch für Ihre engagierte Mitarbeit.

Bedanken möchte ich mich auch bei dem Praktikumsleiter des Qualitativen Praktikums Herrn Dr. Johann Spandl sowie allen Assistenten und Tutoren für die nette, spannende Zeit während meiner bisherigen Assistententätigkeit.

Mein besonderer Dank gilt Herrn Dr. Helmut Poleschner, Dr. Stefan Willemsen, Dr. Stefan Seidel und Prof. Dr. Dieter Lenz für Ihre Hilfe bei der Bedienung des NMR-Spektrometers.

Bei Frau Stefanie Seelbinder bedanke ich mich für die Anfertigung zahlreicher, diverser Glasgeräte, ohne die meine Doktorarbeit in der dargestellten Form nicht möglich gewesen wäre.

Bei Frau Daniela Doppelstein und Frau Lamis Sires bedanke ich mich für Ihre stetige Hilfsbereitschaft bei allen Fragen "rund-um-den-Verwaltungskram".

Bei Frau Doris Plewinksy bedanke ich mich für die Durchführung der Elementaranalysen.

Bei Herrn Dr. Johann Spandl und Frau Regina Reinke bedanke ich mich für die Aufnahmen der FT-IR-Raman-Spektren.

Bei Herrn Karl Bohl und Herrn Joachim Völter bedanke ich mich für die Versorgung mit Chemikalien und diversen Verbrauchsmaterialien sowie den ein oder anderen netten Spruch.

Bei Herrn Prof. Dr. Ulrich Abram bedanke ich mich für die Begutachtung dieser Arbeit.

Bei den Mitarbeitern der Werkstatt Herrn Peter Scharmberg und Herrn Manfred Knabe bedanke ich mich für die technische Unterstützung sowie bei Herrn Böttcher und Herrn Sommer für die Instandhaltung des Gebäudes ("da tropft es wieder von der Decke…").

Bei meiner Familie möchte ich mich für Ihre Unterstützung während der langen Zeit der Ausbildung bedanken. Vor allem bei meinem Vater, der mich während der ganzen Zeit auch finanziell unterstützt hat. Ohne ihn wäre das Studium in dieser Form sicherlich nicht möglich gewesen.

Weiterhin möchte ich mich an dieser Stelle bei all jenen bisher Ungenannten aus dem Familien-, Freundes- und Bekanntenkreis bedanken, die mich während meiner bisherigen akademischen Laufbahn in irgendeiner Form (Diskussionen, Ratschläge, Kritik, materielle Zuwendungen,...) unterstützt haben.

Zum Schluß ein gaaaanz liebes Dankeschön an Silke, die mich stets treu und sorgsam all die ganzen Jahre begleitet hat.

Allen noch mal ein ganz herzliches

"Dankeschön"